

A90 Svincolo Tiburtina:
Intervento di potenziamento dallo svincolo
"Centrale del Latte" allo svincolo A24
2^a fase funzionale

PROGETTO DEFINITIVO

COD. RM105

PROGETTAZIONE: R.T.I.: PROGIN S.p.A. (capogruppo mandataria)
CREW Cremonesi Workshop S.r.l - TECNOSISTEM S.p.A
ART Risorse Ambiente Territorio S.r.l - ECOPLAME S.r.l.

RESPONSABILE INTEGRAZIONE PRESTAZIONI SPECIALISTICHE:

Dott. Ing. Antonio GRIMALDI (Progin S.p.A.)

CAPOGRUPPO MANDATARIA:



Direttore Tecnico:

Dott. Ing. Lorenzo INFANTE

IL GEOLOGO:

Dott. Geol. Giovanni CARRA (ART Ambiente Risorse e Territorio S.r.l.)

MANDANTI:



Direttore Tecnico:

Dott. Arch. Claudio TURRINI



Direttore Tecnico:

Dott. Ing. Andrea AVETA

IL COORDINATORE PER LA SICUREZZA IN FASE DI PROGETTAZIONE:

Dott. Ing. Michele CURIALE (Progin S.p.A.)

VISTO: IL RESPONSABILE DEL PROCEDIMENTO:

Dott. Ing. Achille DEVITOFRANCESCHI



Direttore Tecnico:

Dott. Ing. Ivo FRESIA



Direttore Tecnico:

Dott. Arch. Pasquale PISANO

PROTOCOLLO

DATA

_____ 201_

PROGETTO OPERE D'ARTE MINORI – OPERE DI SOSTEGNO CARR. INT.

Relazione tecnica e di calcolo MURO DI SOSTEGNO RAMPA 5

CODICE PROGETTO

D P R M 1 0 5 D 2 0

NOME FILE

T00 OS05 STR RE01 A

REVISIONE

SCALA:

CODICE

T 0 0 O S 0 5 S T R R E 0 1

A

FI AR.

A

Prima emissione in bozza

06/2021

V.Ricciardi

P. Valente

L. Infante

REV.

DESCRIZIONE

DATA

REDATTO

VERIFICATO

APPROVATO

Sommario

1	<i>PREMESSA</i>	1
1.1	Descrizione dell’opera	1
2	<i>DOCUMENTI E NORMATIVE DI RIFERIMENTO</i>	4
3	<i>CARATTERISTICHE DEI MATERIALI IMPIEGATI</i>	4
3.1	Calcestruzzo per Muri	4
3.2	Calcestruzzo per Pali	5
3.3	Acciaio per calcestruzzo armato	5
4	<i>CARATTERIZZAZIONE GEOTECNICA E SISMICA</i>	6
4.1	Terreno di riempimento e rinterro	7
4.2	Terreno di fondazione	7
4.3	Vita nominale e classe d’uso	7
4.4	Parametri di pericolosità sismica	8
5	<i>CRITERI GENERALI DI VERIFICA DELLE OPERE</i>	8
5.1	Metodo agli stati limite ed approcci di progetto	8
5.2	Criteri di analisi e verifica dei muri di sostegno	11
5.3	Prescrizioni generali per le verifiche in fase sismica	13
5.4	Prescrizioni generali per le verifiche dovute a carichi eccezionali	13
6	<i>CRITERI DI ANALISI E VERIFICHE DELLE OPERE</i>	14
6.1	Verifiche geotecniche	14
6.1.1	Verifica allo scorrimento	14
6.1.2	Verifica a ribaltamento	15
6.1.3	Verifica di stabilità globale	15
6.1.4	Capacità portante dei pali nei confronti dei carichi verticali	16
6.1.5	Capacità portante dei pali nei confronti dei carichi orizzontali	17
6.1.5.1	Unità a comportamento coesivo	18

8.1.5.1	Unità a comportamento incoerente	19
6.1.6	Verifica a carico limite per fondazioni superficiali.....	20
6.2	Verifiche Strutturali- SLU	22
6.2.1	Pressoflessione	22
6.2.2	Taglio.....	23
6.2.3	Verifiche strutturali- SLE	24
6.2.4	Stato limite di limitazione delle tensioni	24
6.2.5	Stato limite di fessurazione.....	25
7	<i>ANALISI DEI CARICHI E COMBINAZIONI.....</i>	<i>26</i>
7.1	Pesi propri e carichi permanenti	26
7.2	Carichi permanenti non strutturali	26
7.3	Carichi variabili da traffico.....	26
7.4	Azione eccezionale dovuta all’urto dell’autoveicolo in fase di svio	26
7.5	Spinte del terreno in fase statica	29
7.6	Spinta del terreno in presenza di falda.....	30
7.7	Coefficienti sismici.....	30
7.8	Spinte del terreno in fase sismica.....	31
7.9	Combinazioni di carico	31
8	<i>CODICI DI CALCOLO.....</i>	<i>36</i>
8.1	Affidabilità dei codici di calcolo.....	36
8.2	Informazioni generali sull’elaborazione	36
8.3	Giudizio motivato di accettabilità dei risultati	37
9	<i>ANALISI E VERIFICHE DEL MURO DI SOSTEGNO.....</i>	<i>37</i>
9.1	MURO TIPOLOGICO 02 (H=3m-fondazione diretta).....	37
9.1.1	Risultati e Sollecitazioni	38
9.1.2	Armatura paramento e piastra di fondazione	40
9.1.3	Verifiche allo SLU.....	40
9.1.4	Verifiche allo SLE.....	40

9.1.5	Verifiche locali della mensola per azioni d'urto.....	41
9.2	MURO TIPOLOGICO 03 su 2 pali ($H_{\text{paramento}}=4\text{m}$).....	44
9.2.1	Sollecitazioni Paramento.....	46
9.2.2	Verifiche strutturali paramento e piastra fondazione	46
9.2.3	Sollecitazioni in testa ai pali.....	48
9.2.4	Verifiche strutturali pali	50
9.2.4.1	Verifiche SLU-Pressoflessione	50
9.2.4.2	Taglio	50
9.2.4.3	Verifiche SLE.....	51
9.2.5	Verifiche geotecniche pali.....	51
9.2.5.1	Verifica di capacità portante nei confronti dei carichi verticali	51
9.2.5.2	Verifica di capacità portante nei confronti dei carichi orizzontali.....	53
9.3	MURO TIPOLOGICO 04 su 2 pali ($H_{\text{paramento}}=5\text{m}$).....	55
9.3.1	Sollecitazioni Paramento.....	57
9.3.2	Verifiche strutturali paramento e piastra fondazione	58
9.3.3	Sollecitazioni in testa ai pali.....	59
9.3.4	Verifiche strutturali pali	61
9.3.4.1	Verifiche SLU-Pressoflessione	61
9.3.4.2	Taglio	61
9.3.4.3	Verifiche SLE.....	62
9.3.5	Verifiche geotecniche pali.....	62
9.3.5.1	Verifica di capacità portante nei confronti dei carichi verticali	62
9.3.5.2	Verifica di capacità portante nei confronti dei carichi orizzontali.....	64
10	TABULATI DI CALCOLO	64
10.1	MURO TIPOLOGICO 02 ($H=3\text{m}$ -fondazione diretta).....	64
10.1.1	Combinazione statica e sismica	64
10.1.2	Combinazione eccezionale d'urto	91
10.2	MURO TIPOLOGICO 03 su 2 pali ($H_{\text{paramento}}=4\text{m}$).....	101
10.2.1	Combinazione statica	101
10.2.2	Combinazione sismica.....	117
10.3	MURO TIPOLOGICO 04 su 2 pali ($H_{\text{paramento}}=5\text{m}$).....	131

10.3.1	Combinazione statica	131
10.3.2	Combinazione sismica.....	158

1 PREMESSA

Il presente documento viene emesso nell’ambito della redazione degli elaborati tecnici del “**Progetto definitivo 2° stralcio funzionale A90 – SVINCOLO TIBURTINA- Intervento di potenziamento dallo svincolo CENTRALE DEL LATTE allo svincolo A24**”. L’opera oggetto delle analisi riportate nei paragrafi seguenti rientra nel progetto delle “**Opere d’arte minori- Opere di sostegno carreggiata interna**”. In particolare, nel presente documento è affrontato il dimensionamento del “**MURO DI SOSTEGNO RAMPA 5**”.

Tutti i muri presentano generalmente tratti di sviluppo variabile caratterizzati da diverse sezioni tipologiche individuate in progetto con i numeri da 02 a 09, in funzione dell’altezza massima del paramento di elevazione. In particolare, il tipologico 02 è l’unico che presenta una fondazione diretta.

Quanto riportato di seguito consentirà di verificare che il dimensionamento delle strutture è stato effettuato nel rispetto dei requisiti di resistenza e deformabilità richiesti all’opera.

1.1 Descrizione dell’opera

L’opera consiste in un muro gettato in opera realizzato mediante tratti di muro tipologico del tipo 02-03-04

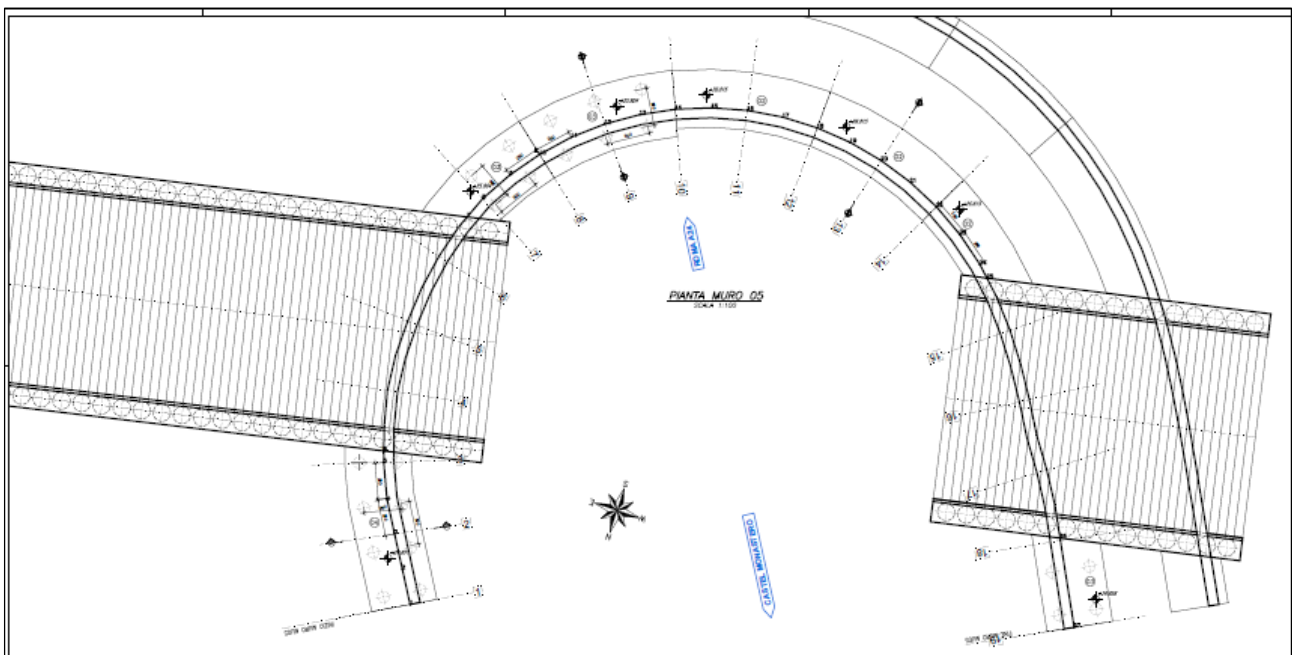


Figura 1: planimetria muro di sostegno

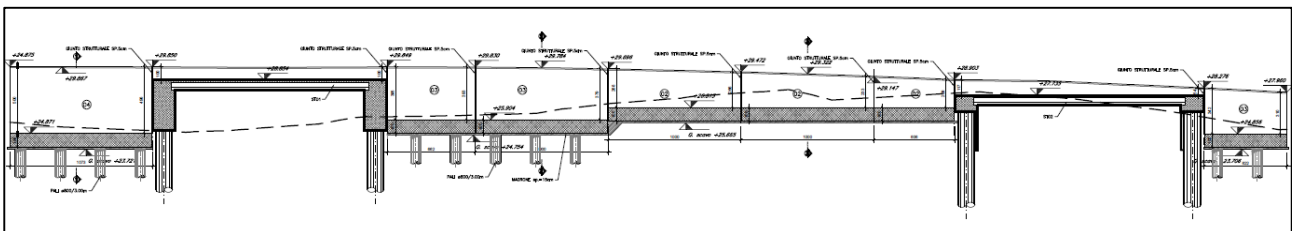


Figura 2: profilo longitudinale muro di sostegno

Nel seguito si riportano le principali caratteristiche geometriche dei muri in esame, ed a seguire alcune immagini rappresentative delle sezioni trasversali di calcolo analizzate

	Paramento	Fondazione				Pali				
TIPO	H [m]	L [m]	Spessore [m]	Mensola monte [m]	Mensola Valle [m]	Numero [-]	Diametro [m]	Lunghezza [m]	Interasse long. [m]	Interasse trasv. [m]
02	3.00	4.00	1.0	2.45	0.80	-	-	-	-	-
03	4.00	4.60	1.0	2.30	1.35	2	0.80	20	3.00	2.60
04	5.00	4.60	1.0	2.20	1.35	2	0.80	23	3.00	2.60

Tabella 1: caratteristiche geometriche muro di sostegno

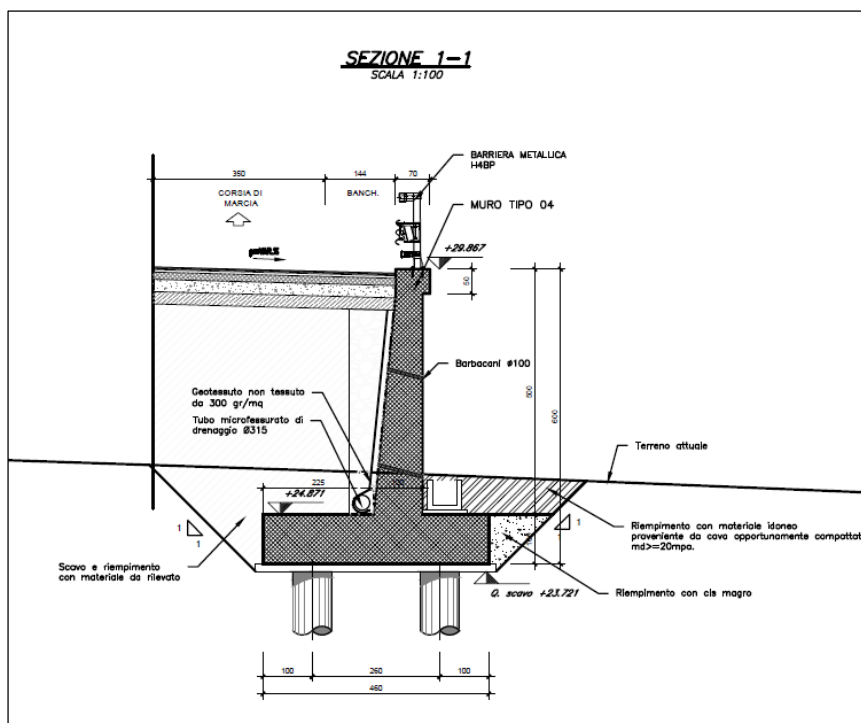
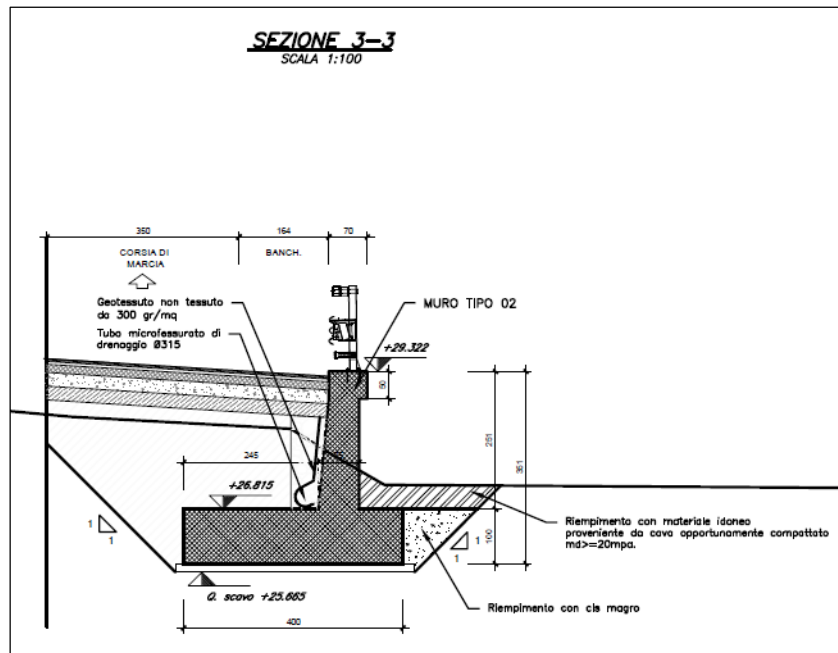
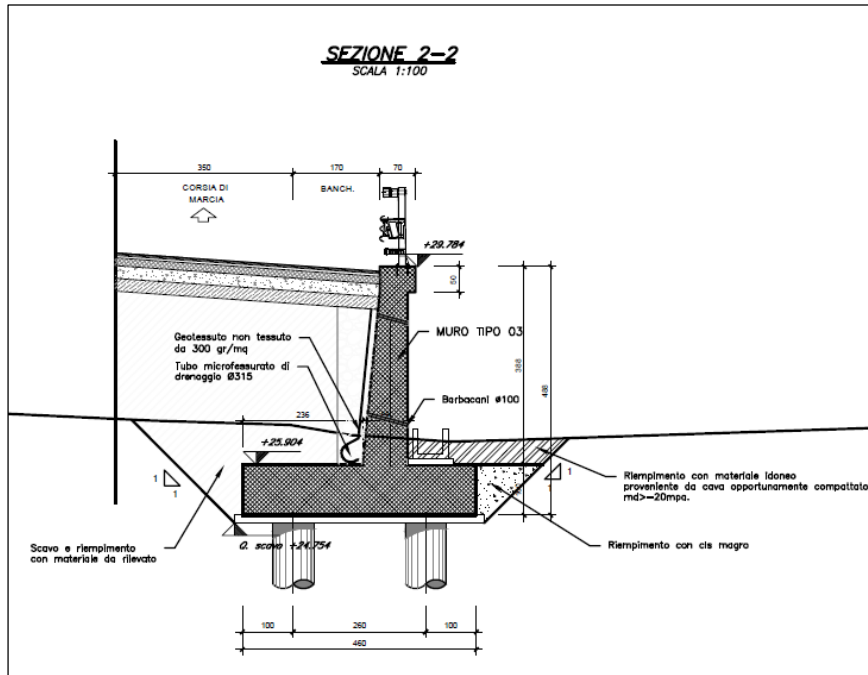


Figura 3: sezione trasversale muro tipologico 04



2 DOCUMENTI E NORMATIVE DI RIFERIMENTO

Di seguito è riportato l’elenco delle Normative e dei Documenti assunti come riferimento per il progetto delle opere trattate nell’ambito del presente documento.

- D.M. 17/01/2018 (NTC18): “Norme tecniche per le costruzioni”;
- Circolare 21/01/2019, n.7 CSLLP
- Norma Europea UNI ENV 1990: “Eurocodice 0 – Basi di calcolo”;
- Norma Europea UNI ENV 1991: “Eurocodice 1 - Azioni sulle strutture”;
- Norma Europea UNI ENV 1992: “Eurocodice 2 – Progettazione delle strutture in calcestruzzo”;
- Norma Europea UNI ENV 1997: “Eurocodice 7 – Progettazione Geotecnica”;
- Norma Europea UNI EN 1198: “Eurocodice 8 – Indicazioni progettuali per la resistenza sismica delle strutture”.

3 CARATTERISTICHE DEI MATERIALI IMPIEGATI

Di seguito sono riportati per ciascuno materiale, i valori delle resistenze e parametri generali da adottare in sede di calcolo secondo quanto stabilito dalla normativa vigente:

Di seguito sono riportati per ciascuno materiale, i valori delle resistenze e parametri generali da adottare in sede di calcolo secondo quanto stabilito dalla normativa vigente:

3.1 Calcestruzzo per Muri

Per le strutture in esame si adotta un calcestruzzo con le caratteristiche riportate di seguito:

Classe d’esposizione	C32/40	Classe minima di consistenza
XC4	$f_{ck} \geq 32 \text{ MPa}$ $R_{ck} \geq 40 \text{ MPa}$	S3 – S4

Tabella 2: caratteristiche calcestruzzo per muri

In accordo con le norme vigenti, risulta per il materiale in esame:

Resistenza caratteristica cubica a 28 giorni	R_{ck}	40	N/mm^2
Resistenza caratteristica cilindrica a 28 giorni	$f_{ck} = 0.83 R_{ck}$	33.20	N/mm^2
Valore medio della resistenza cilindrica	$f_{cm} = f_{ck} + 8$	41.2	N/mm^2
Coefficiente parziale di sicurezza	γ_c	1,5	[-]
Resistenza di calcolo breve durata	$f_{cd} \text{ (Breve durata)} = f_{ck} / 1.5$	22.13	N/mm^2
Resistenza di calcolo lunga durata	$f_{cd} \text{ (Lungo durata)} = 0.85 f_{cd}$	18.81	N/mm^2
Resistenza media a trazione assiale	$f_{ctm} = 0.3 (f_{ck})^{2/3} [R_{ck} < 50/60]$	3.09	N/mm^2
Resistenza caratteristica a trazione	$f_{ctk 0,05} = 0.7 f_{ctm}$	2.17	N/mm^2
Resistenza media a trazione per flessione	$f_{cfm} = 1.2 f_{ctm}$	3.71	N/mm^2
Resistenza di calcolo a trazione	$f_{ctd} = f_{ctk 0,05} / 1.5$	1.45	N/mm^2
Modulo di Young	$E = 22000 (f_{cm}/10)^{0.3}$	33642.8	N/mm^2

Tabella 3: caratteristiche meccaniche calcestruzzo per muri

Copriferro netto: 50mm

3.2 Calcestruzzo per Pali

Per le strutture in esame si adotta un calcestruzzo con le caratteristiche riportate di seguito:

Classe d'esposizione	C25/30	Classe minima di consistenza
XC2	$f_{ck} \geq 25 \text{ MPa}$ $R_{ck} \geq 30 \text{ MPa}$	S3 – S4

Tabella 4: caratteristiche calcestruzzo per muri

In accordo con le norme vigenti, risulta per il materiale in esame:

Resistenza caratteristica cubica a 28 giorni	R_{ck}	30	N/mm^2
Resistenza caratteristica cilindrica a 28 giorni	$f_{ck} = 0.83 R_{ck}$	24.9	N/mm^2
Valore medio della resistenza cilindrica	$f_{cm} = f_{ck} + 8$	32.9	N/mm^2
Coefficiente parziale di sicurezza	γ_C	1,5	[-]
Resistenza di calcolo breve durata	$f_{cd} \text{ (Breve durata)} = f_{ck} / 1.5$	21.93	N/mm^2
Resistenza di calcolo lunga durata	$f_{cd} \text{ (Lungo durata)} = 0.85 f_{cd}$	18.64	N/mm^2
Resistenza media a trazione assiale	$f_{ctm} = 0.3 (f_{ck})^{2/3} [R_{ck} < 50/60]$	2.56	N/mm^2
Resistenza caratteristica a trazione	$f_{ctk,0.05} = 0.7 f_{ctm}$	1.79	N/mm^2
Resistenza media a trazione per flessione	$f_{efm} = 1.2 f_{ctm}$	3.07	N/mm^2
Resistenza di calcolo a trazione	$f_{ctd} = f_{ctk,0.05} / 1.5$	1.19	N/mm^2
Modulo di Young	$E = 22000 (f_{cm}/10)^{0.3}$	31447.16	N/mm^2

Tabella 5: caratteristiche meccaniche calcestruzzo per muri

Copriferro netto: 60mm

3.3 Acciaio per calcestruzzo armato

Acciaio per calcestruzzo armato tipo B 450 C secondo le NTC18 avente le seguenti caratteristiche:

Modulo di elasticità longitudinale	E_s	=	210000	[MPa]
Coefficiente parziale di sicurezza	γ_s	=	1,15	[-]
Tensione caratteristica di snervamento	f_{yk}	=	450	[MPa]
Tensione caratteristica di rottura	f_{tk}	=	540	[MPa]
Allungamento	$A_{gt k}$	≥	7,50%	[-]
Resistenza di calcolo	f_{yd}	=	391,3	[MPa]

Tabella 6: caratteristiche meccaniche acciaio

Coefficiente sicurezza SLU

$$\gamma_s = 1,15$$

Resistenza di calcolo SLU

$$f_{yd} = f_{yk} / \gamma_s = 391,30 \text{ N/mm}^2$$

Tensione di calcolo SLE

$$\sigma_{y,ad} = 0,80 f_{yk} = 360 \text{ N/mm}^2$$

4 CARATTERIZZAZIONE GEOTECNICA E SISMICA

Analizzando il profilo geologico-geotecnico, con riferimento al tratto di ubicazione del muro in oggetto emerge quanto di seguito riportato. Per la caratterizzazione geotecnica del terreno si rimanda alla Relazione Geotecnica.

Dalla scheda stratigrafica si desume la stratigrafia di progetto con i relativi parametri caratteristici:

Unità geotecnica	Profondità da p.p. [m]	Tipo di sottosuolo
Terreno di riporto	0 - 3	C
PR	3-15	
CL	>15	

Tabella 7: unità geologiche del sito

Terreno di riporto	
$\gamma = 18.0 \text{ kN/m}^3$	peso di volume naturale
$c' = 0 \text{ kPa}$	coesione drenata
$\varphi' = 28^\circ$	angolo di attrito
$E_0 = 170 \div 200 \text{ MPa}$	modulo di deformazione elastico iniziale (a piccole deformazioni)

Tabella 8: caratteristiche geotecniche terreno di riporto

Unità PR (sabbia limosa e limo sabbioso)	
$\gamma = 16.0 \text{ kN/m}^3$	peso di volume naturale
$c' = 5 \div 15 \text{ kPa} \text{ (} 10 \text{ kPa)}$	coesione drenata (valore di progetto)
$\varphi' = 31 \div 33^\circ \text{ (} 32^\circ)$	angolo di attrito (valore di progetto)
$E = 110 \div 600 \text{ MPa}$	modulo di deformazione elastico iniziale (a piccole deformazioni)
$E'_{op} = 35 \text{ MPa}$	modulo di deformazione elastico operativo

Tabella 9: caratteristiche geotecniche unità PR

Unità CL (limo sabbioso argilloso)	
$\gamma = 18.0 \text{ kN/m}^3$	peso di volume naturale
$c' = 5 \text{ kPa}$	coesione drenata
$\varphi' = 29^\circ$	angolo di attrito
$C_u = 50 \div 170 \text{ kPa}$	resistenza a taglio in condizioni non drenate
$E_0 = 600 \div 650 \text{ MPa}$	modulo di deformazione elastico iniziale (a piccole deformazioni)
$E'_{op} = 40 \text{ MPa}$	modulo di deformazione elastico operativo

Tabella 10: caratteristiche geotecniche Unità CL

Il livello di falda da utilizzare nelle analisi deve tenere conto della relativa variabilità lungo i tratti interessati dalla realizzazione delle opere, nonché del livello medio di approfondimento del piano di posa delle fondazioni dei muri in funzione del tipologico di riferimento rispetto al piano campagna. Nel progetto in esame la falda interessa il volume significativo dell'opera in quanto essa è stata individuata a -5m da p.c..

4.1 Terreno di riempimento e rinterro

Il terreno di rinterro dell'opera è costituito da terreno di rilevato stradale per il quale sono state assunte le seguenti caratteristiche geotecniche:

Terreno di rinterro a tergo del muro (rilevato stradale)	
$\gamma = 20.0 \text{ kN/m}^3$	peso di volume naturale
$\varphi' = 35^\circ$	resistenza al taglio in condizioni non drenate
$c' = 0 \text{ kPa}$	coesione drenata

Tabella 11: caratteristiche geotecniche terreno di rinterro

4.2 Terreno di fondazione

Per il terreno di fondazione dell'opera sono state assunte le seguenti caratteristiche geotecniche:

Terreno di riporto	
$\gamma = 18 \text{ kN/m}^3$	peso di volume naturale
$c' = 0 \text{ kPa}$	coesione drenata
$\varphi' = 28^\circ$	angolo di resistenza al taglio

Tabella 12: valori geotecnici di progetto del terreno di riporto

Unità PR (sabbia limosa e limo sabbioso)	
$\gamma = 16 \text{ kN/m}^3$	peso di volume naturale
$c' = 10 \text{ kPa}$	coesione drenata
$\varphi' = 32^\circ$	angolo di resistenza al taglio

Tabella 13: valori geotecnici di progetto unità PR

Unità CL (limo sabbioso argilloso)	
$\gamma = 18 \text{ kN/m}^3$	peso di volume naturale
$c' = 5 \text{ kPa}$	coesione drenata
$\varphi' = 29^\circ$	angolo di resistenza al taglio

Tabella 14: valori geotecnici di progetto unità CL

4.3 Vita nominale e classe d'uso

Per la valutazione dei parametri di pericolosità sismica è necessario definire, oltre alla localizzazione geografica del sito, la Vita nominale dell'opera strutturale (V_N), intesa come il numero di anni nel quale la struttura, purché soggetta alla manutenzione ordinaria, deve potere essere usata per lo scopo al quale è destinata, e la Classe d'Uso a cui è associato un coefficiente d'uso (C_U).

Per l'opera in oggetto si considera una vita nominale: $V_N = 50$ anni. Riguardo invece la Classe d'Uso, all'opera in oggetto corrisponde una Classe IV a cui è associato un coefficiente d'uso pari a (NTC – Tabella 2.4.II): $C_U = 2.0$.

I parametri di pericolosità sismica vengono quindi valutati in relazione ad un periodo di riferimento V_R che si ricava per ciascun tipo di costruzione, moltiplicando la vita nominale V_N per il coefficiente d'uso C_U . Pertanto, per l'opera in oggetto, il periodo di riferimento è pari a $V_R = 50 \times 2.0 = 100$ anni.

Il calcolo viene eseguito con il metodo pseudostatico. In queste condizioni l'azione sismica è rappresentata da una forza statica equivalente pari al prodotto delle forze di gravità per un opportuno coefficiente sismico.

4.4 Parametri di pericolosità sismica

La categoria di sottosuolo riportata nella relazione geotecnica è la **categoria di sottosuolo C**.

Per l'individuazione dei parametri di pericolosità sismica, del caso in esame, è stato consultato il sito <https://www.acca.it/edilus-ms/>. Si riportano di seguito le immagini relative alla definizione dello spettro di risposta elastico

Latitudine (WGS84)	Longitudine (WGS84)			
41.92957293	12.60454902			
Latitudine (ED50)	Longitudine (ED50)			
41.931299	12.605337			
Altitudine (mt)	33			
Classe dell'edificio				
IV: Costruzioni con funzioni pubbliche o strategiche i ▼				
Vita Nominale Struttura	50 ▼			
Periodo di Riferimento per l'azione sismica	100			
Parametri di pericolosità Sismica				
Stato Limite	T_r [anni]	a_g/g [-]	F_o [-]	T^*_c [s]
Operatività	60	0.067	2.490	0.274
Danno	101	0.083	2.489	0.279
Salvaguardia Vita	949	0.182	2.572	0.290
Prevenzione Collasso	1950	0.225	2.533	0.303

Figura 6: individuazione della pericolosità sismica del sito

ag [g]	0.182	S [-]	1.418
Fo [-]	2.572	η [-]	1.000
T*C [s]	0.29	TB [s]	0.153
SS [-]	1.418	TC [s]	0.458
CC [-]	1.58	TD [s]	2.328
ST [-]	1.000		

Tabella 15: parametri sismici allo SLV

5 CRITERI GENERALI DI VERIFICA DELLE OPERE

Nel seguente paragrafo si riporta una descrizione riguardante procedure e criteri di calcolo adottati per l'effettuazione di tutte le verifiche prescritte dalla normativa vigente.

5.1 Metodo agli stati limite ed approcci di progetto

Il progetto di opere strutturali e geotecniche va effettuato, come prescritto dalle NTC 2018, con i criteri del metodo semiprobabilistico agli stati limite basati sull'impiego dei coefficienti parziali di sicurezza. Nel metodo semiprobabilistico agli stati limite, la sicurezza strutturale è verificata tramite il confronto tra la resistenza e l'effetto delle azioni.

La normativa distingue inoltre tra Stati Limite Ultimi e Stati Limite di Esercizio.

La verifica della sicurezza nei riguardi degli stati limite ultimi di resistenza è stata effettuata con il “metodo dei coefficienti parziali” di sicurezza espresso dalla equazione formale:

$$R_d \geq E_d.$$

dove:

R_d è la resistenza di progetto

$$R_d = \frac{1}{\gamma_R} R \left[\gamma_F F_k ; \frac{X_k}{\gamma_M} ; a_d \right]$$

E_d è il valore di progetto dell’effetto delle azioni

$$E_d = E \left[\gamma_F F_k ; \frac{X_k}{\gamma_M} ; a_d \right]$$

oppure

$$E_d = \gamma_E \cdot E \left[F_k ; \frac{X_k}{\gamma_M} ; a_d \right]$$

Il coefficiente γ_R opera direttamente sulla resistenza del sistema.

I coefficienti parziali di sicurezza, γ_{Mi} e $\gamma_{Fj} = \gamma_{Ej}$, associati rispettivamente al materiale i-esimo e all’azione j-esima, tengono in conto la variabilità delle rispettive grandezze e le incertezze relative alle tolleranze geometriche e all’affidabilità del modello di calcolo.

In accordo a quanto stabilito al §2.6.1 delle NTC 2018, la verifica della condizione $R_d \geq E_d$ deve essere effettuata impiegando diverse combinazioni di gruppi di coefficienti parziali, rispettivamente definiti per le azioni (A1 e A2), per i parametri geotecnici (M1 e M2) e per le resistenze (R1, R2 e R3). I diversi gruppi di coefficienti di sicurezza parziali sono scelti nell’ambito di due approcci progettuali distinti e alternativi.

Nel primo Approccio progettuale (Approccio 1) le verifiche si eseguono con due diverse combinazioni di gruppi di coefficienti ognuna delle quali può essere critica per differenti aspetti dello stesso progetto, convenzionalmente indicate come di seguito:

A1+M1+R1

A2+M2+R2

Nel secondo approccio progettuale (Approccio 2) le verifiche si eseguono con un’unica combinazione di gruppi di coefficienti.

Gli stati limite di verifica si distinguono in genere in:

- **EQU** perdita di equilibrio della struttura fuori terra, considerata come corpo rigido.
- **STR** raggiungimento della resistenza degli elementi strutturali.
- **GEO** raggiungimento della resistenza del terreno interagente con la struttura con sviluppo di meccanismi di collasso dell’insieme terreno-struttura;
- **UPL** perdita di equilibrio della struttura o del terreno, dovuta alla spinta dell’acqua (sollevamento per galleggiamento).
- **HYD** erosione e sifonamento del terreno dovuta ai gradienti idraulici.

I coefficienti parziali da applicare alle azioni sono quelli definiti alla Tab 2.6.I delle NTC 2018 di seguito riportata per chiarezza espositiva:

Tab. 2.6.I – Coefficienti parziali per le azioni o per l'effetto delle azioni nelle verifiche SLU

		Coefficiente	EQU	A1	A2
		γ_F			
Carichi permanenti G_1	Favorevoli	γ_{G1}	0,9	1,0	1,0
	Sfavorevoli		1,1	1,3	1,0
Carichi permanenti non strutturali $G_2^{(1)}$	Favorevoli	γ_{G2}	0,8	0,8	0,8
	Sfavorevoli		1,5	1,5	1,3
Azioni variabili Q	Favorevoli	γ_{Qk}	0,0	0,0	0,0
	Sfavorevoli		1,5	1,5	1,3

⁽¹⁾ Nel caso in cui l'intensità dei carichi permanenti non strutturali o di una parte di essi (ad es. carichi permanenti portati) sia ben definita in fase di progetto, per detti carichi o per la parte di essi nota si potranno adottare gli stessi coefficienti parziali validi per le azioni permanenti.

Nella Tab. 2.6.I il significato dei simboli è il seguente:

γ_{G1} coefficiente parziale dei carichi permanenti G_1 ;

γ_{G2} coefficiente parziale dei carichi permanenti non strutturali G_2 ;

γ_{Qk} coefficiente parziale delle azioni variabili Q.

Nel caso in cui l'azione sia costituita dalla spinta del terreno, per la scelta dei coefficienti parziali di sicurezza valgono le indicazioni riportate nel Capitolo 6.

I valori dei coefficienti parziali da applicare ai materiali e/o alle caratteristiche dei terreni (M) sono definiti nelle specifiche sezioni della norma, ed in particolare al Cap. 4 per ciò che concerne i coefficienti parziali da applicare ai materiali strutturali, mentre al Cap.6 sono indicati quelli da applicare alle caratteristiche meccaniche dei terreni.

I coefficienti parziali da applicare alle resistenze (R) sono infine unitari sulle capacità resistenti degli elementi strutturali, mentre assumono in genere valore diverso da 1 per ciò che concerne verifiche che attengono il controllo di meccanismi di stabilità locale o globale; i valori da adottare per ciascun meccanismo di verifica, sono definiti nelle specifiche sezioni di normativa dedicate al calcolo delle diverse opere geotecniche.

La verifica della sicurezza nei riguardi degli stati limite di esercizio viene effettuata invece controllando gli aspetti di funzionalità e lo stato tensionale e/o deformativo delle opere, con riferimento ad una combinazione di verifica caratterizzata da coefficienti parziali sulle azioni e sui materiali tutti unitari.

Al §2.5.3 delle NTC 2018, sono infine definiti i criteri con cui le diverse azioni presenti vanno combinate per ciascuno stato limite di verifica previsto dalla Normativa.

Nell'ambito della progettazione geotecnica, la normativa definisce inoltre nella Tab 6.2.II, i valori dei coefficienti parziali M1/M2 da applicare ai parametri caratteristici dei terreni nell'ambito delle diverse combinazioni contemplate dai due approcci di progetto:

Tabella 6.2.II – Coefficienti parziali per i parametri geotecnici del terreno

PARAMETRO	GRANDEZZA ALLA QUALE APPLICARE IL COEFFICIENTE PARZIALE	COEFFICIENTE PARZIALE γ_M	(M1)	(M2)
Tangente dell'angolo di resistenza al taglio	$\tan \phi'_k$	γ_ϕ	1,0	1,25
Coesione efficace	c'_k	γ_c	1,0	1,25
Resistenza non drenata	c_{uk}	γ_{cu}	1,0	1,4
Peso dell'unità di volume	γ	γ_γ	1,0	1,0

Tali valori agiscono sulle proprietà dei terreni, condizionando sia le azioni (spinte ed incrementi di spinta), sia le resistenze nei riguardi delle verifiche di stabilità dell'insieme terreno-opera interagente (Paratie, Muri, Pali di Fondazione ecc.)

Inoltre, ribadisce i valori dei coefficienti da applicare alle azioni nella Tab 6.2.II di seguito riportata:

Tabella 6.2.I – Coefficienti parziali per le azioni o per l'effetto delle azioni.

CARICHI	EFFETTO	Coefficiente Parziale γ_F (o γ_E)	EQU	(A1) STR	(A2) GEO
Permanenti	Favorevole	γ_{G1}	0,9	1,0	1,0
	Sfavorevole		1,1	1,3	1,0
Permanenti non strutturali ⁽¹⁾	Favorevole	γ_{G2}	0,0	0,0	0,0
	Sfavorevole		1,5	1,5	1,3
Variabili	Favorevole	γ_{Qi}	0,0	0,0	0,0
	Sfavorevole		1,5	1,5	1,3

(1) Nel caso in cui i carichi permanenti non strutturali (ad es. i carichi permanenti portati) siano compiutamente definiti, si potranno adottare gli stessi coefficienti validi per le azioni permanenti.

5.2 Criteri di analisi e verifica dei muri di sostegno

Per i muri di sostegno o per altre strutture miste ad essi assimilabili devono essere effettuate le verifiche con riferimento almeno ai seguenti stati limite, accertando che la condizione $R_d \geq E_d$ sia soddisfatta per ogni stato limite considerato:

SLU di tipo geotecnica (GEO)

- scorrimento sul piano di posa;
- collasso per carico limite del complesso fondazione-terreno;
- ribaltamento;
- stabilità globale del complesso opera di sostegno-terreno;

SLU di tipo strutturale (STR)

- raggiungimento della resistenza negli elementi strutturali.

In condizioni statiche, la verifica di stabilità globale del complesso opera di sostegno-terreno deve essere effettuata secondo la Combinazione 2 (A2+M2+R2) dell'Approccio 1, tenendo conto dei coefficienti parziali riportati nelle Tabelle 6.2.I, 6.2.II e 6.8.I delle NTC 2018; in aggiunta a quanto già mostrato in precedenza nel documento, si riporta anche la Tab 6.8.I appena menzionata:

Tab. 6.8.I - Coefficienti parziali per le verifiche di sicurezza di opere di materiali sciolti e di fronti di scavo

COEFFICIENTE	R2
γ_R	1,1

Le rimanenti verifiche, in condizioni statiche, devono essere effettuate secondo l'Approccio 2, con la combinazione (A1+M1+R3), tenendo conto dei valori dei coefficienti parziali riportati nelle Tabelle 6.2.I, 6.2.II e 6.5.I di seguito riportata.

Tab. 6.5.I - Coefficienti parziali γ_R per le verifiche agli stati limite ultimi di muri di sostegno

Verifica	Coefficiente parziale (R3)
Capacità portante della fondazione	$\gamma_R = 1,4$
Scorrimento	$\gamma_R = 1,1$
Ribaltamento	$\gamma_R = 1,15$
Resistenza del terreno a valle	$\gamma_R = 1,4$

Nella verifica a ribaltamento, i coefficienti R3 della Tab. 6.5.I, si applicano agli effetti delle azioni stabilizzanti.

Come già specificato al paragrafo precedente, trattandosi nel caso specifico di opere soggette ad azioni da traffico veicolare, in luogo dei coefficienti generici di cui alle Tab 6.2.I, si è fatto riferimento a quelli di cui alle Tab. 5.I.V e 5.I.VI del già citato DM.

Tab. 5.1.V – Coefficienti parziali di sicurezza per le combinazioni di carico agli SLU

		Coefficiente	EQU ⁽¹⁾	A1	A2
Azioni permanenti g_1 e g_3	favorevoli	γ_{G1} e γ_{G3}	0,90	1,00	1,00
	sfavorevoli		1,10	1,35	1,00
Azioni permanenti non strutturali ⁽²⁾ g_2	favorevoli	γ_{G2}	0,00	0,00	0,00
	sfavorevoli		1,50	1,50	1,30
Azioni variabili da traffico	favorevoli	γ_Q	0,00	0,00	0,00
	sfavorevoli		1,35	1,35	1,15
Azioni variabili	favorevoli	γ_{Qi}	0,00	0,00	0,00
	sfavorevoli		1,50	1,50	1,30
Distorsioni e presollecitazioni di progetto	favorevoli	$\gamma_{\epsilon 1}$	0,90	1,00	1,00
	sfavorevoli		1,00 ⁽³⁾	1,00 ⁽⁴⁾	1,00
Ritiro e viscosità, Cedimenti vincolari	favorevoli	$\gamma_{\epsilon 2}, \gamma_{\epsilon 3}, \gamma_{\epsilon 4}$	0,00	0,00	0,00
	sfavorevoli		1,20	1,20	1,00

Tab. 5.1.VI - Coefficienti ψ per le azioni variabili per ponti stradali e pedonali

Azioni	Gruppo di azioni (Tab. 5.1.IV)	Coefficiente ψ_0 di combinazione	Coefficiente ψ_1 (valori frequenti)	Coefficiente ψ_2 (valori quasi permanenti)
Azioni da traffico (Tab. 5.1.IV)	Schema 1 (carichi tandem)	0,75	0,75	0,0
	Schemi 1, 5 e 6 (carichi distribuiti)	0,40	0,40	0,0
	Schemi 3 e 4 (carichi concentrati)	0,40	0,40	0,0
	Schema 2	0,0	0,75	0,0
	2	0,0	0,0	0,0
	3	0,0	0,0	0,0
	4 (folla)	--	0,75	0,0
	5	0,0	0,0	0,0
Vento	a ponte scarico SLU e SLE	0,6	0,2	0,0
	in esecuzione	0,8	0,0	0,0
	a ponte carico SLU e SLE	0,6	0,0	0,0
Neve	SLU e SLE	0,0	0,0	0,0
	in esecuzione	0,8	0,6	0,5
Temperatura	SLU e SLE	0,6	0,6	0,5

Le spinte devono tenere conto del sovraccarico e dell'inclinazione del piano campagna, dell'inclinazione del paramento rispetto alla verticale, delle pressioni interstiziali e degli effetti della filtrazione nel terreno; nel calcolo della spinta si può tenere conto dell'attrito che si sviluppa fra parete e terreno.

Ai fini della verifica alla traslazione sul piano di posa di muri di sostegno con fondazioni superficiali, non si deve in generale considerare il contributo della resistenza passiva del terreno antistante il muro, salvo casi particolari in cui, in relazione caratteristiche meccaniche dei terreni ed alle modalità costruttive, è possibile portare in conto un'aliquota di tale resistenza, nella misura massima del 50% del valore teorico.

5.3 Prescrizioni generali per le verifiche in fase sismica

Sotto l'effetto dell'azione sismica di progetto, le verifiche agli stati limite ultimi di opere e sistemi geotecnici si riferiscono al solo stato limite di salvaguardia della vita (SLV); quelle agli stati limite di esercizio si riferiscono al solo stato limite di danno (SLD). Le verifiche devono essere eseguite ponendo pari a 1 i coefficienti parziali sulle azioni e sui parametri geotecnici e impiegando le resistenze di progetto con i coefficienti parziali γ_R indicati nella tabella 7.11.III riportata in seguito:

Tab. 7.11.III - Coefficienti parziali γ_R per le verifiche degli stati limite (SLV) dei muri di sostegno.

Verifica	Coefficiente parziale γ_R
Carico limite	1.2
Scorrimento	1.0
Ribaltamento	1.0
Resistenza del terreno a valle	1.2

Per i muri di sostegno ubicati in corrispondenza di versanti o in prossimità di pendii naturali devono essere soddisfatte le condizioni di stabilità del pendio, in presenza della nuova opera, con i metodi di analisi riportati al §7.11.3.5. delle NTC2018. Deve inoltre essere soddisfatta la verifica di stabilità del complesso muro-terreno con i criteri indicati al §7.11.4. ponendo pari all'unità i coefficienti parziali sulle azioni e sui parametri geotecnici e impiegando le resistenze di progetto calcolate con un coefficiente $\gamma_R=1.2$.

Il §7.11.6.2.1 delle NTC 2018, precisa che l'analisi della sicurezza dei muri di sostegno in condizioni sismiche, può essere eseguita mediante i metodi pseudo-statici o i metodi degli spostamenti. Nell'analisi pseudo-statica, l'azione sismica è rappresentata da una forza statica equivalente pari al prodotto delle forze di gravità per un opportuno coefficiente sismico. Nelle verifiche, i valori dei coefficienti sismici orizzontale k_h e verticale k_v possono essere valutati mediante le espressioni:

$$k_h = \beta_m \cdot \frac{a_{\max}}{g} \quad k_v = \pm 0,5 \cdot k_h$$

con:

g accelerazione di gravità;

$a_{\max} = S_S S_T a_g$ accelerazione massima attesa sul suolo di riferimento (a_g è l'accelerazione orizzontale massima attesa su sito di riferimento rigido, S_S e S_T sono i coefficienti di amplificazione stratigrafica e topografica, come già definiti nell'ambito del precedente paragrafo §0);

Per muri di sostegno liberi di traslare o di ruotare intorno al piede, β_m coefficiente di riduzione dell'accelerazione massima attesa al sito assume il valore di 0.38 nelle verifiche allo stato limite ultimo (SLV) e 0.47 nelle verifiche allo stato limite di esercizio (SLD). Inoltre, si può assumere che l'incremento di spinta dovuta al sisma agisca nello stesso punto di quella statica con distribuzione triangolare.

Per i muri non liberi di subire spostamenti relativi rispetto al terreno (MURI SU PALI), il coefficiente β_m assume valore unitario. Inoltre, si deve assumere che l'incremento di spinta dovuto al sisma sia applicato a metà altezza del muro secondo una distribuzione di tipo rettangolare.

5.4 Prescrizioni generali per le verifiche dovute a carichi eccezionali

Con riferimento al § 5.1.3.13 del D.M. 17.01.2018 “Norme Tecniche per le Costruzioni”, si puntualizza che le azioni d'urto agenti sugli elementi strutturali orizzontali al disopra della strada, sono da impiegarsi per la verifica di sicurezza

globale dell’impalcato nel suo insieme inteso come corpo rigido (sollevamento/ribaltamento). Occorre pertanto verificare la resistenza del muro di sostegno cui sono collegate le barriere di sicurezza nei confronti delle azioni da urto veicolare. Tali azioni, si ricorda, sono azioni eccezionali, quindi caratterizzate da coefficienti di sicurezza dei materiali e da coefficienti di amplificazione dei carichi unitari. Per le verifiche strutturali e geotecniche relative alla struttura in oggetto si fa riferimento a quanto riportato nel capitolo nel D.M. 17.01.2018 “Norme Tecniche per le Costruzioni”, par. 2.5.3. Sulla base di ciò è stata individuata la combinazione eccezionale, impiegata per gli stati limite ultimi connessi alle azioni eccezionali A:

$$F_d = \sum_{j=1}^m (G_{Kj}) + P + A_d + \sum_{i=2}^n (\psi_{2i} \gamma_{Qi} Q_{Ki})$$

dove:

γ_G e γ_Q rappresentano i coefficienti parziali di amplificazione dei carichi –

G_{Kj} rappresenta il valore caratteristico della j-esima azione permanente

Q_{k1} rappresenta il valore caratteristico dell’azione variabile di base in ogni combinazione

Q_{ki} rappresenta il valore caratteristico della i-esima azione variabile

Ψ_{0i} rappresentano i coefficienti di combinazione per tener conto della ridotta probabilità di concomitanza delle azioni variabili con i loro valori caratteristici

6 CRITERI DI ANALISI E VERIFICHE DELLE OPERE

Nel seguente paragrafo si riporta una descrizione riguardante le procedure e i criteri di calcolo adottati per l’effettuazione di tutte le verifiche prescritte dalla normativa vigente suddividendole in:

- **Verifiche geotecniche**
- **Verifiche strutturali**

6.1 Verifiche geotecniche

Le verifiche geotecniche sono quelle che coinvolgono la resistenza del terreno nell’ambito di quelle prescritte dalla normativa. Esse sono:

- **Verifica allo scorrimento**
- **Verifica a carico limite**
- **Verifica a ribaltamento**
- **Verifica di stabilità globale**

6.1.1 Verifica allo scorrimento

Per la verifica a scorrimento del muro lungo il piano di fondazione deve risultare che la somma di tutte le forze parallele al piano di posa che tendono a fare scorrere il muro, sia minore di tutte le forze resistenti lungo la stessa direzione.

La verifica a scorrimento risulta in particolare soddisfatta se il rapporto fra la risultante delle forze resistenti allo scivolamento (F_r) fattorizzata secondo un opportuno coefficiente parziale γ_r stabilito dalla normativa e la risultante delle forze mobilitanti (F_s) risulti non inferiore all’unità:

$$(F_r / \gamma_r) / F_s \geq 1$$

ovvero che il rapporto F_r/F_s risulti non inferiore di γ_r , fissato dalla normativa pari ad **1,1** in condizioni statiche e **1** in condizioni sismiche.

Le forze che intervengono nella F_s sono: la componente della spinta parallela al piano di fondazione e la componente delle forze d'inerzia parallela al piano di fondazione.

La forza resistente è data dalla resistenza d'attrito lungo la base della fondazione.

Detta N la componente normale al piano di fondazione del carico totale gravante in fondazione e indicando con δ_f l'angolo d'attrito terreno-fondazione, la forza resistente può esprimersi come:

$$F_r = N \operatorname{tg} \varphi$$

In casi particolari specificati dalla normativa è possibile eventualmente tener conto della resistenza passiva S_p del terreno a valle del muro.

La valutazione delle azioni resistenti e di quelle mobilitanti, dovrà tener conto dei coefficienti A ed M fissati dalla normativa per la combinazione di verifica specifica.

Per quanto riguarda l'attrito fondazione muro - terreno considerato ai fini delle verifiche di scorrimento sul piano di posa della fondazione, si è assunto quanto segue:

per $\varphi' < 30^\circ$ allora $\mu = \operatorname{tg} \varphi'$;

per $\varphi' > 35^\circ$ allora $\mu = 0.85 \operatorname{tg} \varphi'$;

per $30^\circ \leq \varphi' \leq 35^\circ$ allora μ si ricava per interpolazione lineare

In condizioni sismiche, la forza mobilitante per muri di sostegno diretti viene calcolata secondo il metodo pseudostatico considerando un coefficiente di riduzione dell'accelerazione massima attesa al sito β_m pari a 0.38.

Tale verifica perde di significato nel caso di muri su pali.

6.1.2 Verifica a ribaltamento

La verifica al ribaltamento di un muro di sostegno, prevede la valutazione del coefficiente di sicurezza nei confronti del meccanismo di rotazione dell'opera rispetto al vertice esterno della fondazione.

Nella fattispecie, detti M_{rib} , momento delle azioni ribaltanti, e M_{sta} , momento delle azioni stabilizzanti, occorrerà verificare quanto segue:

$$M_{sta} / R \geq M_{rib}$$

In accordo a quanto prescritto dalla normativa vigente, la verifica a ribaltamento deve essere effettuata in condizioni statiche secondo l'approccio 2 (A1+ M1+R3) in cui i coefficienti parziali γ_R pari a **1.15** si applicano alle azioni stabilizzanti. In condizioni sismiche, la verifica deve essere effettuata ponendo pari all'unità i coefficienti parziali sulle azioni e sui parametri geotecnici e impiegando un coefficiente parziale di sicurezza sulle azioni stabilizzanti γ_R pari a **1.0**. Lo stato limite di ribaltamento in condizioni sismiche deve essere trattato impiegando valori di β_m incrementati del 50% rispetto a quelli indicati al par. 7.3. e comunque non superiori all'unità.

Tale verifica perde di significato nel caso di muri su pali.

6.1.3 Verifica di stabilità globale

Le NTC 2018 affrontano il tema della Stabilità Globale distinguendo tra il caso dei Pendii Naturali (§ 6.3) e quello delle opere in terra in Materiali sciolti e Fronti di scavo (§ 6.8) fornendo prescrizioni differenti circa i criteri di verifica da

adottare nei due casi. Trattandosi nel caso in esame di valutare la Stabilità Globale di Opere a sostegno di scavi, si ricade nel caso dei “Fronti di Scavo e rilevati”.

Il punto 6.8 delle NTC 2018 e relativa circolare applicativa, tratta l’argomento della verifica di Stabilità di Materiali Sciolti e fronti di scavo, nella fattispecie, al punto 6.8.2 “Verifiche di Sicurezza (SLU)” viene prescritto quanto di seguito: Le verifiche devono essere effettuate secondo l’Approccio 1 - Combinazione 2 (A2+M2+R2) tenendo conto dei valori dei coefficienti parziali riportati nelle Tabelle 6.2.I, 6.2.II e 6.8.I.

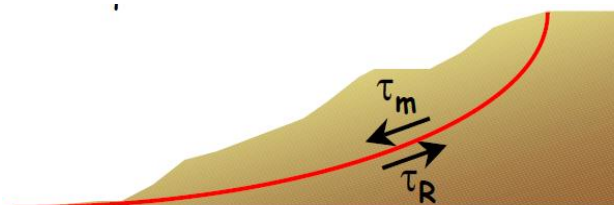
In aggiunta a quanto già riportato nei precedenti paragrafi, si riporta di seguito la Tab. 6.8.I, in cui è definito il valore del coefficiente parziale “R2” da applicare al valore della resistenza caratteristica calcolata per la generica superficie di potenziale scivolamento analizzata in condizioni statiche:

Tabella 6.8.I – Coefficienti parziali per le verifiche di sicurezza di opere di materiali sciolti e di fronti di scavo.

Coefficiente	R2
γ_R	1.1

In condizioni sismiche in accordo alle prescrizioni al § 7.11.4. le resistenze di progetto devono essere calcolate con un coefficiente parziale pari a $\gamma_R=1.2$.

Nel presente paragrafo sono illustrati i Criteri generali adottati per l’effettuazione delle Verifiche di Stabilità Globale prescritte dalla normativa. In generale, ciascuno metodo va alla ricerca del potenziali superfici di scivolamento, generalmente di forma circolare, in qualche caso anche di forma diversa, rispetto a cui effettuare un equilibrio alla rotazione (o roto-traslazione) della potenziale massa di terreno coinvolta nel possibile movimento e quindi alla determinazione di un coefficiente di sicurezza coefficiente di sicurezza disponibile, espresso in via generale tra la resistenza al taglio disponibile lungo la superficie S e quella effettivamente mobilitata lungo la stessa superficie, ovvero:



$$FS = \frac{\int_S \tau_{rott}}{\int_S \tau_{mob}}$$

Figura 7: illustrazione superficie di scorrimento

Si procede generalmente suddividendo la massa di terreno coinvolta nella verifica in una serie di conci di dimensione b, interessati da azioni taglianti e normali sulle superfici di delimitazione dello stesso come di seguito rappresentato.

Per il caso in esame, le verifiche sono state effettuate rispetto a superfici di forma circolare, utilizzando il metodo di Bishop, per i cui dettagli si rimanda a quanto esposto a riguarda nella letteratura tecnica.

Le verifiche sono state effettuate rispetto a famiglie di superfici potenziali di rottura disegnate in maniera tale da non intersecare le opere, escludendo quindi ai fini della stabilità la resistenza al taglio locale offerta dalle opere, fermo restando tutte le prescrizioni definite dalla normativa per questo tipo di verifica.

6.1.4 Capacità portante dei pali nei confronti dei carichi verticali

Tratti di muro dell’opera in oggetto presentano una fondazione indiretta costituita da una platea di fondazione su pali trivellati, il cui valore di progetto R_d della resistenza a carichi assiali dei singoli pali si ottiene a partire dal valore caratteristico R_k applicando i coefficienti parziali γ_R riportati nella tabella 6.4.II seguente:

Tab. 6.4.II – Coefficienti parziali γ_R da applicare alle resistenze caratteristiche a carico verticale dei pali

Resistenza	Simbolo	Pali infissi (R3)	Pali trivellati (R3)	Pali ad elica continua (R3)
Base	γ_b	1,15	1,35	1,3
Laterale in compressione	γ_s	1,15	1,15	1,15
Totale \varnothing	γ	1,15	1,30	1,25
Laterale in trazione	γ_{st}	1,25	1,25	1,25

\varnothing da applicare alle resistenze caratteristiche dedotte dai risultati di prove di carico di progetto.

In condizioni sismiche, i coefficienti parziali sulle azioni e sui parametri meccanici del terreno sono unitari mentre i coefficienti parziali γ_R da applicare alle resistenze sono riportati nella tabella 6.4.II.

La resistenza caratteristica R_k del singolo palo è determinata mediante metodi di calcolo analitici, dove R_k è calcolata a partire a da valori caratteristici dei parametri geotecnici e/o mediante l'impiego di relazioni empiriche che utilizzano direttamente i risultati di prove in situ.

La normativa vigente definisce per tali procedure, il valore caratteristico della resistenza $R_{c,k}$ (o $R_{t,k}$) come il valore minore tra quelli ottenuti applicando alle resistenze calcolate $R_{c,calc}$ ($R_{t,calc}$) i fattori di correlazione ξ riportati nella tabella seguente, in funzione del numero n di verticali di indagini:

$$R_{c,k} = \text{Min} \left\{ \frac{(R_{c,cal})_{media}}{\xi_3}; \frac{(R_{c,cal})_{min}}{\xi_4} \right\} \qquad R_{t,k} = \text{Min} \left\{ \frac{(R_{t,cal})_{media}}{\xi_3}; \frac{(R_{t,cal})_{min}}{\xi_4} \right\}$$

Tabella 13 - Fattori di correlazione ξ

n	1	2	3	4	5	7	≥ 10
ξ_3	1.70	1.65	1.60	1.55	1.50	1.45	1.40
ξ_4	1.70	1.55	1.48	1.42	1.34	1.28	1.21

La campagna di indagine condotta in fase di progettazione definitiva permette di assumere in sede di calcolo un fattore di correlazione pari a $\xi_3 = \xi_4 = 1.70$.

6.1.5 Capacità portante dei pali nei confronti dei carichi orizzontali

Il carico orizzontale limite H_{lim} è stato calcolato in accordo alla teoria proposta da Broms (1984).

Le ipotesi assunte da Broms sono le seguenti:

- terreno omogeneo;
- comportamento dell'interfaccia palo-terreno di tipo rigido-perfettamente plastico;
- la forma del palo è ininfluyente e l'interazione palo-terreno è determinata solo dalla dimensione caratteristica D della sezione del palo (il diametro per sezioni circolari, il lato per sezioni quadrate, etc.) misurata normalmente alla direzione del movimento;
- il palo ha comportamento rigido-perfettamente plastico, cioè si considerano trascurabili le deformazioni elastiche del palo.

Questa ultima ipotesi comporta che il palo abbia solo moti rigidi finché non si raggiunge il momento di plasticizzazione M_y del palo. A questo punto si ha la formazione di una cerniera plastica in cui la rotazione continua indefinitamente con momento costante.

In accordo alla condizione di vincolo dei pali nei plinti di fondazione, il palo è considerato impedito di ruotare in testa.

Per quanto riguarda la resistenza del terreno, si riportano in seguito le distribuzioni per terreno a comportamento coesivo e a comportamento incoerente, sulla base di analisi teoriche ed osservazioni sperimentali.

6.1.5.1 Unità a comportamento coesivo

Il diagramma di distribuzione della resistenza p offerta dal terreno lungo il fusto del palo è quello riportato in fig. 8-a. Broms adotta al fine delle analisi una distribuzione semplificata (b) con reazione nulla fino a $1.5 d$ e costante con valore $9 c_u d$ per profondità maggiori.

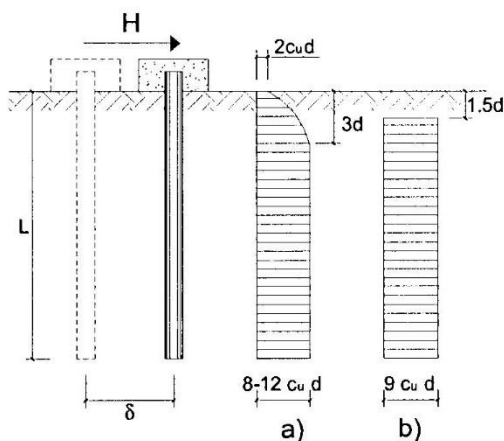


Figura 8: Distribuzione della resistenza offerta dal terreno a carichi orizzontali per pali impediti di ruotare alla testa (Broms, 1984)

I meccanismi di rottura del complesso palo-terreno sono condizionati dalla lunghezza del palo, dal momento di plasticizzazione della sezione e dalla resistenza esercitata dal terreno. I possibili meccanismi di rottura sono riportati nella figura seguente e sono solitamente indicati come "palo corto", "intermedio" e "lungo".

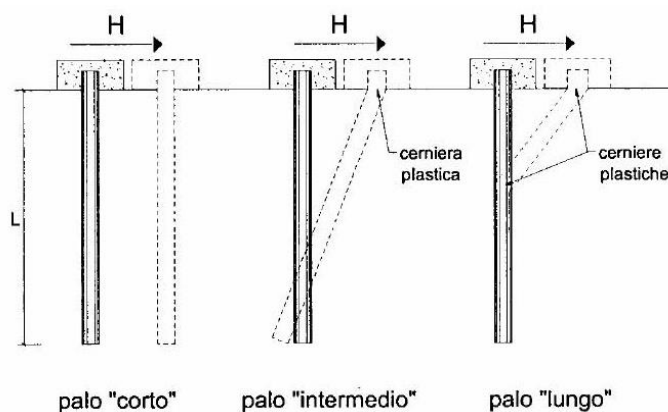


Figura 9 – Meccanismi di rottura del complesso palo-terreno per pali impediti di ruotare alla testa soggetti a carichi orizzontali (Broms, 1984)

Facendo ricorso a semplici equazioni di equilibrio ed imponendo la formazione di una cerniera plastica nelle sezioni che raggiungono un momento pari a M_y , è possibile calcolare il carico limite orizzontale corrispondente ai tre meccanismi di rottura:

$$H \lim = 9c_u D^2 \left(\frac{L}{D} - 1.5 \right) \quad \text{palo corto}$$

$$H \lim = -9c_u D^2 \left(\frac{L}{D} - 1.5 \right) + 9c_u D^2 \sqrt{2 \left(\frac{L}{D} \right)^2 + \frac{4}{9} \frac{My}{c_u D^3} + 4.5} \quad \text{palo intermedio}$$

$$H \lim = -13.5c_u D^2 + c_u D^2 \sqrt{182.25 + 36 \frac{My}{c_u D^3}} \quad \text{palo lungo}$$

Con riferimento al caso in oggetto, il meccanismo di rottura è sempre quello di palo lungo.

Nel caso di palo scalzato e per il caso di palo lungo, il valore di H_{\lim} si ottiene risolvendo le seguenti equazioni:

$$H \lim = 9c_u D \times (f - 1.5D)$$

$$H \lim \times (d_s + f) - 4.5c_u D (f - 1.5D)^2 - 2M_y = 0$$

Essendo:

f la profondità della cerniera plastica dal piano di campagna;

d_s l'altezza della testa del palo rispetto al piano di campagna.

8.1.5.1 Unità a comportamento incoerente

Per un terreno incoerente si assume che la resistenza opposta dal terreno alla traslazione del palo vari linearmente con la profondità con legge:

$$p = 3 k_p \gamma z D$$

essendo:

k_p il coefficiente di spinta passiva;

z la profondità da piano campagna;

γ il peso di volume del terreno, nel caso in cui il terreno sia sotto falda si assume γ' .

I valori del carico limite corrispondenti ai diversi meccanismi di rottura sono di seguito riportati:

$$H \lim = 1.5k_p \gamma D^3 \left(\frac{L}{D} \right)^2 \quad \text{palo corto}$$

$$H \lim = \frac{1}{2} k_p \gamma D^3 \left(\frac{L}{D} \right)^2 + \frac{M_y}{L} \quad \text{palo intermedio}$$

$$H \lim = k_p \gamma D^3 \sqrt[3]{\left(3.676 \frac{M_y}{k_p \gamma D^4} \right)^2} \quad \text{palo lungo}$$

Con riferimento ai casi in oggetto, il meccanismo di rottura è sempre quello di palo lungo.

Nel caso di palo scalzato e per il caso di palo lungo, il valore di H_{\lim} si ottiene risolvendo le seguenti equazioni:

$$H \lim = 1.5k_p \gamma D f^2$$

$$f^3 + 1.5Df^2 - \left(\frac{2M_y}{\gamma k_p D} \right) = 0$$

Essendo:

f la profondità della cerniera plastica dal piano di campagna;

d_s l'altezza della testa del palo rispetto al piano di campagna.

Il valore di progetto R_d della resistenza a carichi assiali dei singoli pali si ottiene a partire dal valore caratteristico R_k applicando il coefficiente parziale γ_R riportato nella tabella successiva:

Tab. 6.4.VI - Coefficiente parziale γ_T per le verifiche agli stati limite ultimi di pali soggetti a carichi trasversali

Coefficiente parziale (R3)
γ _T = 1,3

La resistenza caratteristica R_k del singolo palo è determinata mediante metodi di calcolo analitici, dove R_k è calcolata a partire da valori caratteristici dei parametri geotecnici e/o mediante l'impiego di relazioni empiriche che utilizzano direttamente i risultati di prove in situ. La normativa vigente definisce per tali procedure, il valore caratteristico della resistenza R_{c,k} (o R_{t,k}) come il valore minore tra quelli ottenuti applicando alle resistenze calcolate R_{c,calc} (R_{t,calc}) i fattori di correlazione ξ riportati nella tabella seguente, in funzione del numero n di verticali di indagini:

$$R_{c,k} = \text{Min} \left\{ \frac{(R_{c,calc})_{media}}{\xi_3}; \frac{(R_{c,calc})_{min}}{\xi_4} \right\} \quad R_{t,k} = \text{Min} \left\{ \frac{(R_{t,calc})_{media}}{\xi_3}; \frac{(R_{t,calc})_{min}}{\xi_4} \right\}$$

Tab. 6.4.IV - Fattori di correlazione ξ per la determinazione della resistenza caratteristica in funzione del numero di verticali indagate

Numero di verticali indagate	1	2	3	4	5	7	≥ 10
ξ ₃	1,70	1,65	1,60	1,55	1,50	1,45	1,40
ξ ₄	1,70	1,55	1,48	1,42	1,34	1,28	1,21

Tabella 16: Fattori di correlazione ξ

La campagna di indagine condotta in fase di progettazione definitiva permette di assumere in sede di calcolo un fattore di correlazione pari a ξ₃ = ξ₄ = 1.70.

6.1.6 Verifica a carico limite per fondazioni superficiali

I tratti di muro tipologico 02 presentano una fondazione diretta. Pertanto, si riporta nel presente paragrafo una trattazione teorica della valutazione del carico limite delle fondazioni dirette secondo il criterio di Brinch-Hansen:

Dette:

- c Coesione
- V Azione tagliante
- φ Angolo d'attrito
- δ Angolo di attrito terreno fondazione
- γ Peso specifico del terreno
- B Larghezza della fondazione
- L Lunghezza della fondazione
- D Profondità del piano di posa della fondazione
- η inclinazione piano posa della fondazione
- P Pressione geostatica in corrispondenza del piano di posa della fondazione
- q_{ult} Carico ultimo della fondazione

Risulta:

Caso generale

$$q_{ult} = c \cdot N_c \cdot s_c \cdot d_c \cdot i_c \cdot g_c \cdot b_c + q \cdot N_q \cdot s_q \cdot d_q \cdot i_q \cdot g_q \cdot b_q + 0.5 \cdot B \cdot \gamma \cdot N_\gamma \cdot s_\gamma \cdot d_\gamma \cdot i_\gamma \cdot g_\gamma \cdot b_\gamma$$

Caso di terreno puramente coesivo $\phi = 0$

$$q_{ult} = 5.14 \cdot c \cdot (1 + s_c + d_c - i_c - g_c - b_c) + q$$

in cui d_c, d_q e d_γ sono i fattori di profondità, s_c, s_q e s_γ sono i fattori di forma, i_c, i_q e i_γ sono i fattori di inclinazione del carico, b_c, b_q e b_γ , sono i fattori di inclinazione del piano di posa e g_c, g_q e g_γ sono fattori che tengono conto del fatto che la fondazione poggia su un terreno in pendenza.

I fattori N_c, N_q, N_γ sono espressi come:

$$N_q = Kp e^{\pi \cdot tg \phi}$$

$$N_c = (N_q - 1) ctg \phi$$

$$N_\gamma = 1.5(N_q - 1) tg \phi$$

Fattori di forma

per $\phi = 0$	per $\phi > 0$
$s_c = 0.2 \frac{B}{L}$	$s_c = 1 + \frac{N_q B}{N_c L}$
	$s_q = 1 + \frac{B}{L} tg \phi$
	$s_\gamma = 1 - 0.4 \frac{B}{L}$

Fattori di profondità

$$k = \frac{D}{B} \quad \text{se } \frac{D}{B} \leq 1$$

$$k = \arctg \frac{D}{B} \quad \text{se } \frac{D}{B} > 1$$

Fattori inclinazione del carico

Indicando con V e H le componenti del carico rispettivamente perpendicolare e parallela alla base e con A_f l'area efficace della fondazione ottenuta come $A_f = B' \cdot L'$ (B' e L' sono legate alle dimensioni effettive della fondazione B, L e all'eccentricità del carico e_B, e_L dalle relazioni $B' = B - 2e_B$ $L' = L - 2e_L$) con η l'angolo di inclinazione della fondazione espresso in gradi ($\eta=0$ per fondazione orizzontale).

I fattori di inclinazione del carico si esprimono come:

per $\phi = 0$	per $\phi > 0$	
$i_c = \frac{1}{2} \left(1 - \sqrt{1 - \frac{H}{A_f c_a}} \right)$	$i_c = i_q - \frac{1 - i_q}{N_q - 1}$	
	$i_q = \left(1 - \frac{0.5H}{V + A_f c_a \cot \phi} \right)^5$	
	Per $\eta = 0$	$i_\gamma = \left(1 - \frac{0.7H}{V + A_f c_a \cot \phi} \right)^5$
	Per $\eta > 0$	$i_\gamma = \left(1 - \frac{(0.7 - \eta^\circ / 450^\circ) H}{V + A_f c_a \cot \phi} \right)^5$

Fattori inclinazione del piano di posa della fondazione

Fattori di inclinazione del terreno

per $\phi = 0$	per $\phi > 0$
$b_c = \frac{\eta^\circ}{147^\circ}$	$b_c = 1 - \frac{\eta^\circ}{147^\circ}$ $b_q = e^{-2\eta\phi}$ $b_\gamma = e^{-2.7\eta\phi}$

per $\phi = 0$	per $\phi > 0$
$g_c = \frac{\beta^\circ}{147^\circ}$	$g_c = 1 - \frac{\beta^\circ}{147^\circ}$ $g_q = g_\gamma = (1 - 0.5\eta\beta)^\delta$

Si precisa infine che, in relazione alle specifiche di normativa, al valore di q_{ult} determinato con i criteri di cui sopra, va applicato un coefficiente parziale di sicurezza γ_R pari ad **1.4** per le verifiche in fase statica ovvero pari ad **1.2** per le verifiche in fase sismica, ovvero, equivalentemente, i coefficienti di sicurezza q_{ult}/q_d , dovranno risultare non inferiori ai predetti valori nelle due fasi di verifica citate.

6.2 Verifiche Strutturali- SLU

Le verifiche strutturali allo SLU (Stato Limite Ultimo) sono quelle che riguardano l’attingimento della resistenza degli elementi strutturali. Esse sono:

- **Verifica a pressoflessione**
- **Verifica a taglio**

Come per le verifiche geotecniche (ad eccezione della verifica di stabilità globale), esse devono essere condotte secondo l’approccio 2 (A1+M1+R3).

6.2.1 Pressoflessione

La determinazione della capacità resistente a flessione/pressoflessione della generica sezione, viene effettuata con i criteri di cui al punto 4.1.2.1.2.4 delle NTC 2018, secondo quanto riportato schematicamente nelle figure seguito, tenendo conto dei valori delle resistenze e deformazioni di calcolo riportate al paragrafo dedicato alle caratteristiche dei materiali:

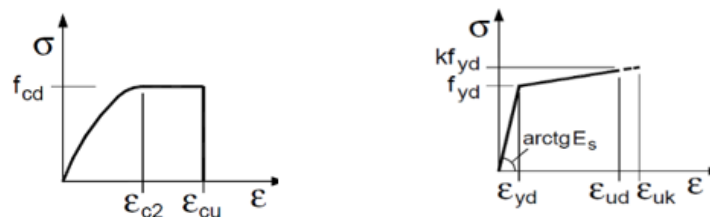


Figura 10: legami costitutivi calcestruzzo e acciaio

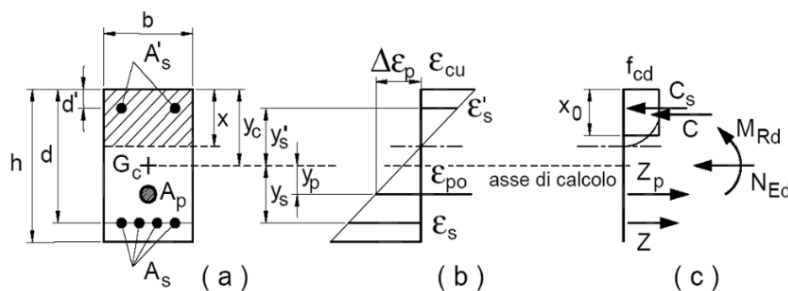


Figura 11: Schema di riferimento per la valutazione della capacità resistente a pressoflessione della generica sezione

La verifica consisterà nel controllare il soddisfacimento della seguente condizione:

$$M_{Rd} = M_{Rd}(N_{Ed}) \geq M_{Ed}$$

dove

- M_{Rd} è il valore di calcolo del momento resistente corrispondente a N_{Ed} ;
- N_{Ed} è il valore di calcolo della componente assiale (sforzo normale) dell'azione;
- M_{Ed} è il valore di calcolo della componente flettente dell'azione.

6.2.2 Taglio

La resistenza a taglio V_{Rd} della membratura priva di armatura specifica risulta pari a:

$$V_{Rd} = \left\{ 0.18 \cdot k \cdot \frac{(100 \cdot \rho_1 \cdot f_{ck})^{1/3}}{\gamma_c + 0.15 \cdot \sigma_{cp}} \right\} \cdot b_w \cdot d \geq v_{\min} + 0.15 \cdot \sigma_{cp} \cdot b_w d$$

dove:

$$v_{\min} = 0.035 \cdot k^{3/2} \cdot f_{ck}^{1/2};$$

$$k = 1 + (200/d)^{1/2} \leq 2;$$

$$\rho_1 = A_{sw} / (b_w d);$$

d = altezza utile per piedritti soletta superiore ed inferiore;

b_w = 1000 mm larghezza utile della sezione ai fini del taglio.

In presenza di armatura, invece, la resistenza a taglio V_{Rd} è il minimo tra la resistenza a taglio trazione V_{Rsd} e la resistenza a taglio compressione V_{Rcd} .

$$V_{Rsd} = 0.9 \cdot d \cdot \frac{A_{sw}}{s} \cdot f_{yd} \cdot (\text{ctg} \alpha + \text{ctg} \theta) \cdot \sin \alpha$$

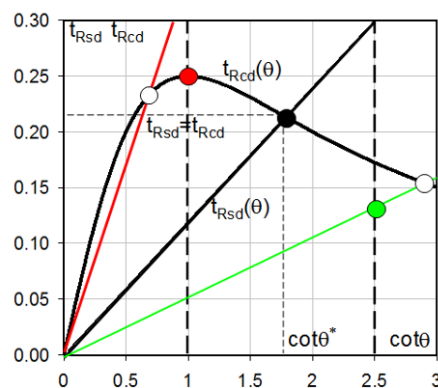
$$V_{Rcd} = 0.9 \cdot d \cdot b_w \cdot \alpha_c \cdot f_{cd}' \cdot \frac{(\text{ctg} \alpha + \text{ctg} \theta)}{(1 + \text{ctg}^2 \theta)}$$

essendo:

$$1 \leq \text{ctg} \theta \leq 2,5$$

Per quanto riguarda in particolare le verifiche a taglio per elementi armati a taglio, si è fatto riferimento al metodo del traliccio ad inclinazione variabile, in accordo a quanto prescritto al punto 4.1.2.1.3 delle NTC 2018, considerando ai fini delle verifiche, un angolo θ di inclinazione delle bielle compresse del traliccio resistente tale da rispettare la condizione.

$$1 \leq \text{ctg} \theta \leq 2,5 \quad 45^\circ \geq \theta \geq 21.8^\circ$$



L'angolo effettivo di inclinazione delle bielle (θ) assunto nelle verifiche è stato in particolare valutato, nell'ambito di un problema di verifica, tenendo conto di quanto di seguito indicato:

$$\cot \theta^* = \sqrt{\frac{v \cdot \alpha_c}{\omega_{sw}} - 1}$$

(θ^* angolo di inclinazione delle bielle cui corrisponde la crisi contemporanea di bielle compresse ed armature)

dove:

$$v = f'_{cd} / f_{cd} = 0.5;$$

f'_{cd} = resistenza a compressione ridotta del calcestruzzo d'anima;

f_{cd} = resistenza a compressione di calcolo del calcestruzzo d'anima;

ω_{sw} = percentuale meccanica di armatura trasversale $\omega_{sw} = \frac{A_{sw} f_{yd}}{b s f_{cd}}$;

α_c	coefficiente maggiorativo pari a	1	per membrature non compresse
		$1 + \sigma_{cp} / f_{cd}$	per $0 \leq \sigma_{cp} < 0.25 f_{cd}$
		1,25	per $0.25 f_{cd} \leq \sigma_{cp} \leq 0.5 f_{cd}$
		$2.5(1 - \sigma_{cp} / f_{cd})$	per $0.5 f_{cd} < \sigma_{cp} < f_{cd}$

- Se la $\cot \theta^*$ è compresa nell'intervallo (1,0-2,5) è possibile valutare il taglio resistente $V_{Rd}(=V_{Rcd}=V_{Rsd})$
- Se la $\cot \theta^*$ è maggiore di 2.5 la crisi è da attribuirsi all'armatura trasversale e il taglio resistente $V_{Rd}(=V_{Rsd})$ coincide con il massimo taglio sopportato dalle armature trasversali valutabile per una $\cot \theta = 2,5$.
- Se la $\cot \theta^*$ è minore di 1.0 la crisi è da attribuirsi alle bielle compresse e il taglio resistente $V_{Rd}(=V_{Rcd})$ coincide con il massimo taglio sopportato dalle bielle di calcestruzzo valutabile per una $\cot \theta = 1,0$.

6.2.3 Verifiche strutturali- SLE

La verifica nei confronti degli Stati limite di esercizio, consiste nel controllare, con riferimento alle sollecitazioni di calcolo corrispondenti alle Combinazioni di Esercizio il tasso di Lavoro nei Materiali e l'ampiezza delle fessure attesa, secondo quanto di seguito specificato.

6.2.4 Stato limite di limitazione delle tensioni

La verifica delle tensioni in esercizio consiste nel controllare il rispetto dei limiti tensionali previsti per il calcestruzzo e per l'acciaio per ciascuna delle combinazioni di carico caratteristiche “Rara” e “Quasi Permanente”; i valori tensionali nei materiali sono valutati secondo le note teorie di analisi delle sezioni in c.a. in campo elastico e con calcestruzzo “non reagente a trazione” adottando come limiti di riferimento quelli di seguito indicati, in accordo alle prescrizioni della normativa vigente:

riferimento,

Per il caso in esame risulta in particolare:

CALCESTRUZZO ELEVAZIONE/FONDAZIONE C32/40

$\sigma_{c,max,Q.P.} = 0,45 f_{cK}$	14.4	MPa	(combinazione di carico Quasi Permanente)
$\sigma_{c,max,R.} = 0,60 f_{cK}$	19.2	MPa	(combinazione di carico Rara)

Tabella 17: limiti tensione calcestruzzo

CALCESTRUZZO PALI C25/30

$\sigma_{c,max,Q.P.} = 0,45 f_{cK}$	11.25	MPa	(combinazione di carico Quasi Permanente)
$\sigma_{c,max,R.} = 0,60 f_{cK}$	15	MPa	(combinazione di carico Rara)

Tabella 18: limiti tensione calcestruzzo

ACCIAIO

$\sigma_{f,max} = 0,80 f_{yK}$	360	MPa	(combinazione di carico Rara)
--------------------------------	-----	-----	-------------------------------

Tabella 19: limiti tensione acciaio

6.2.5 Stato limite di fessurazione

La verifica di fessurazione consiste nel controllare l'ampiezza dell'apertura delle fessure sotto combinazione di carico “Frequente” e combinazione “Quasi Permanente”.

Essendo la struttura a contatto col terreno si considerano condizioni ambientali aggressive di tipo XC4; le armature di acciaio ordinario sono ritenute poco sensibili [NTC – Tabella 4.1.IV].

Tabella 4.1.III – Descrizione delle condizioni ambientali

CONDIZIONI AMBIENTALI	CLASSE DI ESPOSIZIONE
Ordinarie	X0, XC1, XC2, XC3, XF1
Aggressive	XC4, XD1, XS1, XA1, XA2, XF2, XF3
Molto aggressive	XD2, XD3, XS2, XS3, XA3, XF4

In relazione all'aggressività ambientale e alla sensibilità dell'acciaio, l'apertura limite delle fessure è riportato nel prospetto seguente.

Tabella 20 – Criteri di scelta dello stato limite di fessurazione e condizioni ambientali

Gruppi di esigenza	Condizioni ambientali	Combinazione di azione	Armatura			
			Sensibile		Poco sensibile	
			Stato limite	wd	Stato limite	wd
a	Ordinarie	Frequente	ap. fessure	$\leq w2$	ap. fessure	$\leq w3$
		Quasi Permanente	ap. fessure	$\leq w1$	ap. fessure	$\leq w2$
b	Aggressive	Frequente	ap. fessure	$\leq w1$	ap. fessure	$\leq w2$
		Quasi Permanente	decompressione	-	ap. fessure	$\leq w1$
c	Molto Aggressive	Frequente	formazione fessure	-	ap. fessure	$\leq w1$
		Quasi Permanente	decompressione	-	ap. fessure	$\leq w1$

Risultando:

w1= 0.2 mm;

w2= 0.3 mm;

w3= 0.4 mm.

Pertanto dovrà risultare:

Combinazione Quasi permanente : $w \leq 0.2mm$

Combinazione Frequente : $w \leq 0.3mm$

Riguardo infine il valore di calcolo delle fessure da confrontare con i valori limite fissati dalla norma, si è utilizzata la procedura riportata al C4.1.2.2.4.5 della Circolare n. 7/2019.

7 ANALISI DEI CARICHI E COMBINAZIONI

Nel presente paragrafo si descrivono i criteri di valutazione delle azioni sollecitanti le opere di sostegno e relative combinazioni di calcolo adottate.

7.1 Pesì propri e carichi permanenti

I pesi propri relativi alla struttura ed al terreno eventualmente gravante sulla fondazione, sono valutati tenendo conto dei pesi dell'unità di volume specifici γ come di seguito definiti:

Calcestruzzo strutturale	$\gamma = 25 \text{ kN/m}^3$
terreno di rinterro:	$\gamma = 20 \text{ kN/m}^3$

Tabella 21: pesi di unità di volume calcestruzzo e terreno di rinterro

7.2 Carichi permanenti non strutturali

Le opere di sostegno oggetto di dimensionamento prevedono anche un carico permanente non strutturale dovuto alla pavimentazione stradale. Tale carico è schematizzato, ai fini del calcolo, come un carico uniforme agente sul profilo del terreno, di valore pari a 2.5KN/m, agente su una larghezza che dipende dalla geometria dell'asse stradale.

7.3 Carichi variabili da traffico

Le opere di sostegno oggetto di dimensionamento sono soggette alle azioni accidentali da traffico stradale. I carichi variabili associati al passaggio dei veicoli sono schematizzati, ai fini del calcolo, con dei carichi uniformi, su una larghezza complessiva pari alla dimensione della pavimentazione stradale e valore pari a 20 kN/m.

7.4 Azione eccezionale dovuta all'urto dell'autoveicolo in fase di svio

Al fine di quantificare il valore del momento flettente e del carico orizzontale equivalente da applicare alla sommità dell'opera d'arte per tener conto dell'eventuale collisione accidentale di veicoli in svio sulle barriere collegate al muro di sostegno si possono seguire 2 differenti approcci:

- 1) Attraverso una forza orizzontale equivalente di collisione pari a **100 kN**. Essa rappresenta l'effetto dell'impatto da trasmettere ai vincoli e deve essere considerata agente trasversalmente ed orizzontalmente **100 mm** sotto la sommità della barriera o **1.0 m** sopra il livello del piano di marcia, a seconda di quale valore sia più piccolo (§3.6.3.3.2, NTC2018).

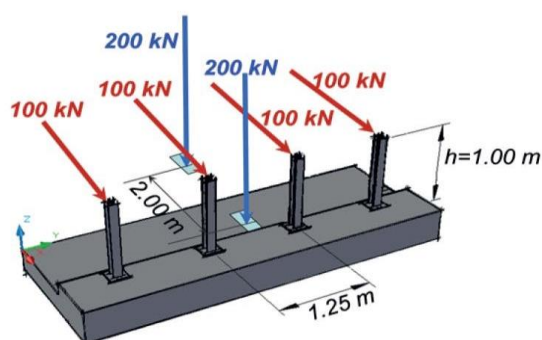


Figura 12: schema di carico azione d'urto

- 2) Considerando il momento plastico che il montante della barriera metallica di sicurezza utilizzata può fornire. Tale approccio ottempera quanto previsto dal § 4.7.3.3 della UNI EN 1991.2 così come emendato dall'appendice nazionale (G.U. 27 Marzo 2013, DM 31/07/2012).

Il primo approccio è da utilizzare in assenza di specifiche prescrizioni, ovvero quando non si conoscono in fase di progetto del muro di sostegno le caratteristiche geometriche della barriera che dovrà essere installata ovvero in caso di condizioni di progettazione “non ordinarie”. In alternativa, a discrezione del progettista è possibile utilizzare come azione di progetto il momento di plasticizzazione del montante (cfr UNI EN 1991.2). È tuttavia necessario sottolineare che tale metodologia è applicabile quando in fase di progetto si conosce già il dispositivo di ritenuta da installare e le sue caratteristiche geometriche e meccaniche.

Planimetricamente, si considera una redistribuzione delle azioni sollecitanti secondo un angolo di diffusione pari a 45°.

Nel caso in esame, è stato applicato il secondo approccio, più idoneo e realistico, in quanto, pur non conoscendo ancora il tipo di barriera da installare e tutte le caratteristiche geometriche e statiche utili (comprensivi del sistema di fissaggio sul supporto in calcestruzzo, in conformità a quanto adottato in sede di prova di crash), cautelativamente è stata scelta nella gamma delle barriere indicate nelle linee guida Anas quella che consente lo sviluppo dei calcoli e delle verifiche con maggiore cautela, in quanto caratterizzata da momento plastico più alto e, quindi, trasmettente maggiori sollecitazioni sul muro di sostegno.

In particolare, si è fatto riferimento a barriere H4-bordo ponte con montanti costituiti da paletti verticali con sezione a C in acciaio S275 R, posti ad un interasse di $i = 1,25$ m e ancorati al cordolo mediante piastra saldata e tirafondi. Si riportano le caratteristiche geometriche e meccaniche di tale barriera.

BARRIERA H4- BORDO PONTE- SEZIONE A C

B [mm]	H [mm]	C [mm]	S [mm]	W_{plastico} [cm ³]	M_{plastico} [KNm]	M_{ampl} [KNm]
160	120	40	5.5	154,22	42,41	63,62

Tabella 22: valori geometrici e meccanici barriera H4-bordo ponte

L'azione derivante dal momento plastico della barriera può essere determinata considerando che la massima sollecitazione che tale sezione può trasmettere al muro di sostegno è quella che determina la formazione della prima cerniera plastica. Essa si forma con sufficiente approssimazione in corrispondenza dell'irrigidimento della barriera ipotizzato ad un'altezza di 20cm dalla base del palletto. Pertanto, considerando che la forza d'urto è applicata ad una quota $d = 1,00$ m dal piano viabile, la distanza b_f tra la cerniera plastica e il punto di applicazione della forza è pari a 0.8m.

La forza d’urto associata alla formazione della prima cerniera plastica è quindi pari a:

$$H_{urto} = \frac{M_{ampl}}{b_f} = \frac{63.62}{0.8} = 79.53 \text{ KN}$$

Dove M_{ampl} è il momento plastico amplificato per un coefficiente di sicurezza pari a 1.5

In accordo con gli schemi statici forniti dalle NTC2018, si considera che tale azione d’urto sia esercitata singolarmente su 4 paletti consecutivi posti ad un interasse di 1.25m, pertanto lo sviluppo lineare di barriera coinvolta dall’azione d’urto è pari a 3.75m.

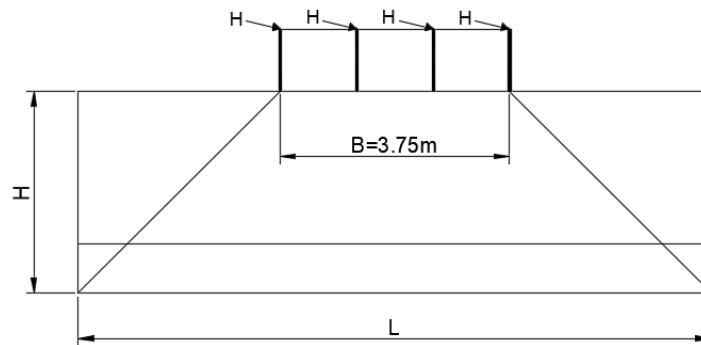


Figura 13: schema di ridistribuzione del carico d'urto

Per tener conto della ridistribuzione dell’azione d’urto lungo l’altezza del muro di sostegno, essa è schematizzata come un carico distribuito ottenuto dividendo la forza d’urto totale agente sui 4 paletti per la lunghezza d’azione del concio di muro L secondo la seguente espressione:

$$H_{urto,distr} = \frac{4 \cdot H_{urto}}{L}$$

A tale carico orizzontale occorre aggiungere il momento flettente distribuito generato dal trasporto dell’azione d’urto orizzontale dalla sommità della barriera alla sommità del muro di sostegno, pari a:

$$M_{urto} = H_{urto,distr} \cdot d$$

L’azione d’urto viene considerata esclusivamente per il muro tipologico 02 avente una fondazione diretta. Si riporta in seguito la tabella contenente le sollecitazioni dovute all’urto sul muro tipologico 02.

	$L_{,diff}$	$H_{,urto, distr}$	$M_{, urto,distr}$
	[m]	[KN/m]	[KNm/m]
TIP. 02	10.11	31.46	31.46

Tabella 23: valori del carico distribuito e del momento dovuti all'urto in testa al muro

Per le verifiche strutturali e geotecniche, i coefficienti di amplificazione dei carichi (γ_A) e i coefficienti riduttivi (γ_M) sono tutti unitari mentre i coefficienti riduttivi sulle resistenze sono quelli previsti dalle verifiche strutturali e geotecniche in funzione dello stato limite considerato.

7.5 Spinte del terreno in fase statica

Le spinte esercitate dal terrapieno e dagli eventuali carichi presenti su di esso sono state valutate con il metodo di Culmann.

Il metodo di Culmann adotta le stesse ipotesi di base del metodo di Coulomb. La differenza sostanziale è che mentre Coulomb considera un terrapieno con superficie a pendenza costante e carico uniformemente distribuito (il che permette di ottenere una espressione in forma chiusa per il coefficiente di spinta) il metodo di Culmann consente di analizzare situazioni con profilo di forma generica e carichi sia concentrati che distribuiti comunque disposti. Inoltre, rispetto al metodo di Coulomb, risulta più immediato e lineare tener conto della coesione del massa spingente.

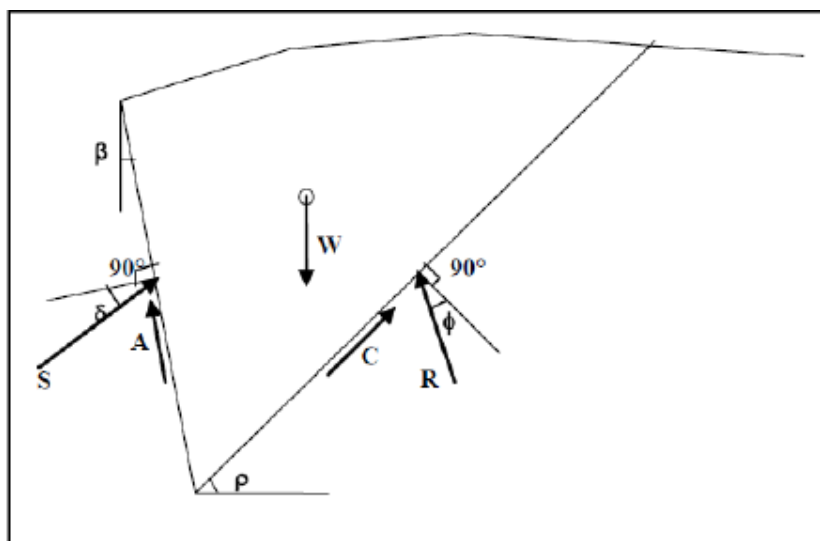


Figura 14: schema metodo di Culmann per calcolo della spinta

Il metodo di Culmann, nato come metodo essenzialmente grafico, si è evoluto per essere trattato mediante analisi numerica (noto in questa forma come metodo del cuneo di tentativo). Come il metodo di Coulomb anche questo metodo considera una superficie di rottura rettilinea. I passi del procedimento risolutivo sono i seguenti:

si impone una superficie di rottura (angolo di inclinazione ρ rispetto all'orizzontale) e si considera il cuneo di spinta delimitato dalla superficie di rottura stessa, dalla parete su cui si calcola la spinta e dal profilo del terreno;

si valutano tutte le forze agenti sul cuneo di spinta e cioè peso proprio del terreno tenendo conto anche dell'eventuale presenza della falda (W), carichi sul terrapieno, resistenza per attrito e per coesione lungo la superficie di rottura (R e C) e resistenza per coesione lungo la parete (A);

dalle equazioni di equilibrio si ricava il valore della spinta S sulla parete.

Questo processo viene iterato fino a trovare l'angolo di rottura per cui la spinta risulta massima. La convergenza non si raggiunge se il terrapieno risulta inclinato di un angolo maggiore dell'angolo d'attrito del terreno. Nei casi in cui è applicabile il metodo di Coulomb (profilo a monte rettilineo e carico uniformemente distribuito) i risultati ottenuti col metodo di Culmann coincidono con quelli del metodo di Coulomb.

Il metodo, per come è stato descritto, non permette di ricavare il diagramma delle pressioni agente sulla parete (e quindi le sollecitazioni lungo la parete) e inoltre risulta di difficile determinazione il punto di applicazione della spinta.

Nell’ambito dello specifico Software utilizzato, di cui al §10 sono riportati gli estremi, il procedimento è stato implementato suddividendo l’altezza della parete in tanti tratti di ampiezza dz , al fine di ricavare l’andamento delle pressioni lungo l’altezza del muro; in corrispondenza di ogni ordinata z_i si trova il cuneo di rottura e la spinta S_i ottenendo la distribuzione della spinta $S(z)$ lungo l’altezza della parete.

Nota la distribuzione delle spinte lungo l’altezza della parete, la pressione ad una generica profondità z , rispetto alla sommità della parete, è espressa da:

$$\sigma(z) = \frac{dS}{dz}$$

Noto il diagramma delle pressioni è possibile ricavare il punto di applicazione della spinta. Inoltre dal diagramma delle pressioni è facile ricavare l’andamento delle sollecitazioni lungo la parete, con gli usuali metodi della scienza delle costruzioni.

Per l’attrito paramento – terreno si utilizza il valore $\delta = 2/3\phi'$ mentre, per quanto riguarda l’attrito fondazione muro – terreno, in funzione dell’angolo d’attrito del terreno, si sono assunti i seguenti valori:

per $\phi < 30^\circ$ $\delta = \text{tg } \phi'$;

per $\phi > 35^\circ$ $\delta = 0.85 \text{ tg } \phi'$;

per $30^\circ \leq \phi \leq 35^\circ$ δ si ricava per interpolazione lineare

Infine, l’adesione c_a terra-opera sarà considerata nulla.

Nel caso di muri su pali, la spinta, in condizioni statiche, è stata calcolata facendo riferimento alla condizione di spinta a riposo del terreno.

7.6 Spinta del terreno in presenza di falda

Nel caso in cui a monte della parete sia presente la falda il diagramma delle pressioni sulla parete risulta modificato a causa della sottospinta che l’acqua esercita sul terreno. Il peso di volume del terreno al di sopra della linea di falda non subisce variazioni. Viceversa al di sotto del livello di falda va considerato il peso di volume di galleggiamento:

$$\gamma_a = \gamma_{\text{sat}} - \gamma_w$$

dove γ_{sat} è il peso di volume saturo del terreno (dipendente dall’indice dei pori) e γ_w è il peso di volume dell’acqua.

Quindi il diagramma delle pressioni al di sotto della linea di falda ha una pendenza minore. Al diagramma così ottenuto va sommato il diagramma triangolare legato alla pressione idrostatica esercitata dall’acqua.

Nel caso in esame, il regime di spinta non è influenzato dalla presenza della falda.

7.7 Coefficienti sismici

Il §7.11.6.2.1 delle NTC 2018, precisa che l’analisi della sicurezza dei muri di sostegno in condizioni sismiche, può essere eseguite mediante i metodi pseudo-statici o i metodi degli spostamenti. Nell’analisi pseudo-statica, l’azione sismica è rappresentata da una forza statica equivalente pari al prodotto delle forze di gravità per un opportuno coefficiente sismico. Nelle verifiche, i valori dei coefficienti sismici orizzontale k_h e verticale k_v possono essere valutati mediante le espressioni:

$$k_h = \beta_m \cdot \frac{a_{\text{max}}}{g} \quad k_v = \pm 0,5 \cdot k_h$$

con:

g accelerazione di gravità;

$a_{max} = S_S S_T a_g$ accelerazione massima attesa sul suolo di riferimento (a_g è l'accelerazione orizzontale massima attesa su sito di riferimento rigido, S_S e S_T sono i coefficienti di amplificazione stratigrafica e topografica, come già definiti nell'ambito del precedente paragrafo §40);

β_m coefficiente di riduzione dell'accelerazione massima attesa al sito assume il valore di 0.38 nelle verifiche allo stato limite ultimo (SLV) e 0.47 nelle verifiche allo stato limite di esercizio (SLD).

Nel caso di muri non liberi di subire spostamenti relativi rispetto al terreno (MURI SU PALI), nelle analisi eseguite con il metodo pseudostatico, il coefficiente β_m può essere assunto di valore unitario come definito al paragrafo 7.11.6.2.1 delle NTC 2018.

7.8 Spinte del terreno in fase sismica

Per muri indeformabili, tra i quali rientrano gli scatolari e quelli aventi pareti adeguatamente contrastate, le spinte del terreno in fase sismica, devono essere determinate mediante la teoria di Wood, secondo la quale la risultante dell'incremento di spinta per effetto del sisma su una parete di altezza H è pari a: $\Delta SE = Kh \cdot \gamma \cdot H^2$.

L'effetto del sisma è ottenuto applicando un incremento di spinta del terreno valutato secondo la teoria di Wood, agente direttamente sulla paratia secondo una distribuzione uniforme sull'intera altezza dell'opera. Utilizzando la formulazione seguente:

$$\Delta P_a = \frac{a_g}{g} \cdot S \gamma \cdot H^2 = E$$

Dove γ rappresenta il peso del volume di terreno che interagisce con l'opera, H rappresenta l'altezza totale dell'opera (comprensiva del tratto infisso), S è il coeff. di amplificazione locale mentre a_g è la PGA.

In condizioni sismiche si adotta la formulazione di Culmann come già illustrata al precedente paragrafo, inserendo nell'equazione risolutiva anche la forza di inerzia del cuneo di spinta. In accordo con quanto definito al paragrafo 7.11.6.2.1 delle NTC 2018 nel caso di muri di sostegno liberi di traslare o di ruotare intorno al piede, si può assumere che l'incremento di spinta dovuta al sisma agisca nello stesso punto di quella statica. Negli altri casi, in assenza di specifici studi, si deve assumere che tale incremento sia applicato a metà altezza del muro. Pertanto nel caso nel muro tipologico 02 che presenta una fondazione superficiale si considera un β_m pari a 0.38 e una distribuzione triangolare dell'incremento di spinta mentre nel caso di muro su pali si considera una distribuzione rettangolare dell'incremento di spinta considerando **l'attingimento delle condizioni di spinta attiva.**

7.9 Combinazioni di carico

Si riporta nel seguito il riepilogo delle combinazioni di carico esaminate per l'analisi e la verifica di un muro di sostegno su pali.

In particolare si sono considerate le seguenti combinazioni:

Simbologia adottata

γ Coefficiente di partecipazione della condizione

ψ Coefficiente di combinazione della condizione

Combinazione n° 1 - STR (A1-M1-R3)

Condizione	γ	ψ	Effetto
Peso muro	1.00	--	Favorevole
Peso terrapieno	1.00	--	Favorevole
Spinta terreno	1.30	--	Sfavorevole
pavimentazione	1.50	--	Sfavorevole
traffico veicolare	1.35	1.00	Sfavorevole

Combinazione n° 2 - GEO (A2-M2-R2)

Condizione	γ	ψ	Effetto
Peso muro	1.00	--	Sfavorevole
Peso terrapieno	1.00	--	Sfavorevole
Spinta terreno	1.00	--	Sfavorevole
pavimentazione	1.30	--	Sfavorevole
traffico veicolare	1.15	1.00	Sfavorevole

Combinazione n° 3 - SLER

Condizione	γ	ψ	Effetto
Peso muro	1.00	--	Sfavorevole
Peso terrapieno	1.00	--	Sfavorevole
Spinta terreno	1.00	--	Sfavorevole
pavimentazione	1.00	--	Sfavorevole
traffico veicolare	1.00	1.00	Sfavorevole

Combinazione n° 4 - SLEF

Condizione	γ	ψ	Effetto
Peso muro	1.00	--	Sfavorevole
Peso terrapieno	1.00	--	Sfavorevole
Spinta terreno	1.00	--	Sfavorevole
pavimentazione	1.00	--	Sfavorevole
traffico veicolare	1.00	0.75	Sfavorevole

Combinazione n° 5 - SLEQ

Condizione	γ	ψ	Effetto
Peso muro	1.00	--	Sfavorevole
Peso terrapieno	1.00	--	Sfavorevole
Spinta terreno	1.00	--	Sfavorevole
pavimentazione	1.00	--	Sfavorevole

Combinazione n° 6 - STR (A1-M1-R3) H + V

Condizione	γ	ψ	Effetto
Peso muro	1.00	--	Favorevole

Condizione	γ	ψ	Effetto
Peso terrapieno	1.00	--	Favorevole
Spinta terreno	1.00	--	Sfavorevole
pavimentazione	1.00	--	Sfavorevole

Combinazione n°7 - STR (A1-M1-R3) H - V

Condizione	γ	ψ	Effetto
Peso muro	1.00	--	Sfavorevole
Peso terrapieno	1.00	--	Sfavorevole
Spinta terreno	1.00	--	Sfavorevole
pavimentazione	1.00	--	Sfavorevole

Combinazione n° 8 - GEO (A2-M2-R2) H + V

Condizione	γ	ψ	Effetto
Peso muro	1.00	--	Sfavorevole
Peso terrapieno	1.00	--	Sfavorevole
Spinta terreno	1.00	--	Sfavorevole
pavimentazione	1.00	--	Sfavorevole

Combinazione n° 9 - GEO (A2-M2-R2) H - V

Condizione	γ	ψ	Effetto
Peso muro	1.00	--	Sfavorevole
Peso terrapieno	1.00	--	Sfavorevole
Spinta terreno	1.00	--	Sfavorevole
pavimentazione	1.00	--	Sfavorevole

Nel caso del muro tipologico 02 che presenta una fondazione diretta, le combinazioni di carico risultano essere le seguenti.
Per le combinazioni d'urto il coefficiente di partecipazione dei carichi stradali è stato posto pari a 0.

Combinazione n° 1 - STR (A1-M1-R3)

Condizione	g	Y	Effetto
Peso muro	1.00	--	Favorevole
Peso terrapieno	1.00	--	Favorevole
Spinta terreno	1.30	--	Sfavorevole
Pavimentazione/marciapiede	1.50	--	Sfavorevole
Carichi stradali	1.35	1.00	Sfavorevole

Combinazione n° 2 - STR (A1-M1-R3) H + V

Condizione	g	Y	Effetto
Peso muro	1.00	--	Favorevole

Condizione	g	Y	Effetto
Peso terrapieno	1.00	--	Favorevole
Spinta terreno	1.00	--	Sfavorevole
Pavimentazione/marciapiede	1.00	--	Sfavorevole

Combinazione n° 3 - STR (A1-M1-R3) H - V

Condizione	g	Y	Effetto
Peso muro	1.00	--	Sfavorevole
Peso terrapieno	1.00	--	Sfavorevole
Spinta terreno	1.00	--	Sfavorevole
Pavimentazione/marciapiede	1.00	--	Sfavorevole

Combinazione n° 4 - GEO (A2-M2-R2)

Condizione	g	Y	Effetto
Peso muro	1.00	--	Sfavorevole
Peso terrapieno	1.00	--	Sfavorevole
Spinta terreno	1.00	--	Sfavorevole
Pavimentazione/marciapiede	1.30	--	Sfavorevole
Carichi stradali	1.15	1.00	Sfavorevole

Combinazione n° 5 - GEO (A2-M2-R2) H + V

Condizione	g	Y	Effetto
Peso muro	1.00	--	Sfavorevole
Peso terrapieno	1.00	--	Sfavorevole
Spinta terreno	1.00	--	Sfavorevole
Pavimentazione/marciapiede	1.00	--	Sfavorevole

Combinazione n° 6 - GEO (A2-M2-R2) H - V

Condizione	g	Y	Effetto
Peso muro	1.00	--	Sfavorevole
Peso terrapieno	1.00	--	Sfavorevole
Spinta terreno	1.00	--	Sfavorevole
Pavimentazione/marciapiede	1.00	--	Sfavorevole

Combinazione n° 7 - EQU (A1-M1-R3)

Condizione	g	Y	Effetto
Peso muro	1.00	--	Favorevole
Peso terrapieno	1.00	--	Favorevole
Spinta terreno	1.30	--	Sfavorevole
Pavimentazione/marciapiede	1.50	--	Sfavorevole
Carichi stradali	1.35	1.00	Sfavorevole

Combinazione n° 8 - EQU (A1-M1-R3) H + V

Condizione	g	Y	Effetto
Peso muro	1.00	--	Favorevole
Peso terrapieno	1.00	--	Favorevole
Spinta terreno	1.00	--	Sfavorevole
Pavimentazione/marciapiede	1.00	--	Sfavorevole

Combinazione n° 9 - EQU (A1-M1-R3) H - V

Condizione	g	Y	Effetto
Peso muro	1.00	--	Favorevole
Peso terrapieno	1.00	--	Favorevole
Spinta terreno	1.00	--	Sfavorevole
Pavimentazione/marciapiede	1.00	--	Sfavorevole

Combinazione n° 10 - SLER

Condizione	g	Y	Effetto
Peso muro	1.00	--	Sfavorevole
Peso terrapieno	1.00	--	Sfavorevole
Spinta terreno	1.00	--	Sfavorevole
Pavimentazione/marciapiede	1.00	--	Sfavorevole
Carichi stradali	1.00	1.00	Sfavorevole

Combinazione n° 11 - SLEF

Condizione	g	Y	Effetto
Peso muro	1.00	--	Sfavorevole
Peso terrapieno	1.00	--	Sfavorevole
Spinta terreno	1.00	--	Sfavorevole
Pavimentazione/marciapiede	1.00	--	Sfavorevole
Carichi stradali	1.00	0.75	Sfavorevole

Combinazione n° 12 - SLEQ

Condizione	g	Y	Effetto
Peso muro	1.00	--	Sfavorevole
Peso terrapieno	1.00	--	Sfavorevole
Spinta terreno	1.00	--	Sfavorevole
Pavimentazione/marciapiede	1.00	--	Sfavorevole

Combinazione n° 13 - STR (A1-M1-R3)_URTO

Condizione	g	Y	Effetto
Peso muro	1.00	--	Favorevole
Peso terrapieno	1.00	--	Favorevole
Spinta terreno	1.00	--	Sfavorevole
Pavimentazione/marciapiede	1.00	--	Sfavorevole
urto	1.00	1.00	Sfavorevole

Combinazione n° 14 - GEO (A2-M2-R2)_URTO

Condizione	g	Y	Effetto
Peso muro	1.00	--	Sfavorevole
Peso terrapieno	1.00	--	Sfavorevole
Spinta terreno	1.00	--	Sfavorevole
Pavimentazione/marciapiede	1.00	--	Sfavorevole
urto	1.00	1.00	Sfavorevole

Combinazione n° 15 - EQU (A1-M1-R3)_URTO

Condizione	g	Y	Effetto
Peso muro	1.00	--	Favorevole
Peso terrapieno	1.00	--	Favorevole
Spinta terreno	1.00	--	Sfavorevole
avimentazione/marciapiede	1.00	--	Sfavorevole
urto	1.00	1.00	Sfavorevole

8 CODICI DI CALCOLO

Tutte le Analisi e Verifiche esposte nel presente documento sono state effettuate con l’Ausilio dei seguenti Software di calcolo:

- “MAX - ver 15” (Analisi e Calcolo Muri di Sostegno) prodotto e distribuito dalla Aztec Informatica srl, Casole Bruzio (CS) specifico da licenza n° AIU5041GP intestata a PROGIN SPA - CENTRO DIREZIONALE DI NAPOLI ISOLA F4 - 80143 NAPOLI);
- “PresFle+ ver 5.15” (Verifiche di sezioni in cemento armato) prodotto e distribuito dalla Concrete srl, identificato nello specifico da licenza n° 4552054 intestata a PROGIN SPA - CENTRO DIREZIONALE DI NAPOLI ISOLA F4 - 80143 NAPOLI);
- “Fogli di Calcolo Excel Autoprodotti”.

8.1 Affidabilità dei codici di calcolo

Un attento esame preliminare della documentazione a corredo del software ha consentito di valutarne l'affidabilità. La documentazione fornita dal produttore del software contiene un'esauriente descrizione delle basi teoriche, degli algoritmi impiegati e l'individuazione dei campi d'impiego. La società produttrice Aztec Informatica srl ha verificato l'affidabilità e la robustezza del codice di calcolo attraverso un numero significativo di casi prova in cui i risultati dell'analisi numerica sono stati confrontati con soluzioni teoriche.

8.2 Informazioni generali sull'elaborazione

Il software prevede una serie di controlli automatici che consentono l'individuazione di errori di modellazione, di non rispetto di limitazioni geometriche e di armatura e di presenza di elementi non verificati. Il codice di calcolo consente di visualizzare e controllare, sia in forma grafica che tabellare, i dati del modello strutturale, in modo da avere una visione consapevole del comportamento corretto del modello strutturale.

8.3 Giudizio motivato di accettabilità dei risultati

I risultati delle elaborazioni sono stati sottoposti a controlli dal sottoscritto utente del software. Tale valutazione ha compreso il confronto con i risultati di semplici calcoli, eseguiti con metodi tradizionali. Inoltre sulla base di considerazioni riguardanti gli stati tensionali e deformativi determinati, si è valutata la validità delle scelte operate in sede di schematizzazione e di modellazione della struttura e delle azioni.

In base a quanto sopra, si asserisce che l'elaborazione è corretta ed idonea al caso specifico, pertanto i risultati di calcolo sono da ritenersi validi ed accettabili.

9 ANALISI E VERIFICHE DEL MURO DI SOSTEGNO

Di seguito si riportano i risultati delle analisi del MURO DI SOSTEGNO COMPL.INT. (TRATTO 1) DA pk 0+200 a 0+297, relativamente ai seguenti tipologici di calcolo:

tipologico	fondazione	H _{paramento} [m]	H _{fondazione} [m]	D _{pali} [m]	L _{pali} [m]
02	diretta	3	1	-	-
03	2 pali	4	1	0.8	20
04	2 pali	5	1	0.8	23

Tabella 24: caratteristiche geometriche muri di sostegno

9.1 MURO TIPOLOGICO 02 (H=3m-fondazione diretta)

Di seguito si riporta una rappresentazione grafica del modello di calcolo adottato per il muro tipologico 02 avente un'altezza del paramento pari a 3m.

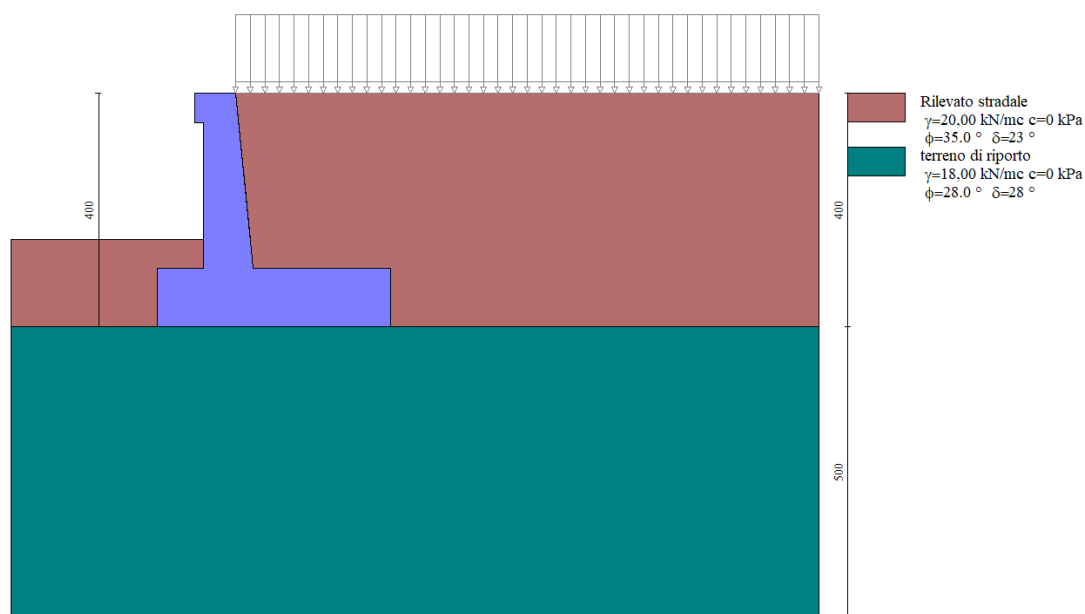


Figura 15: modello di calcolo muro tipologico 02

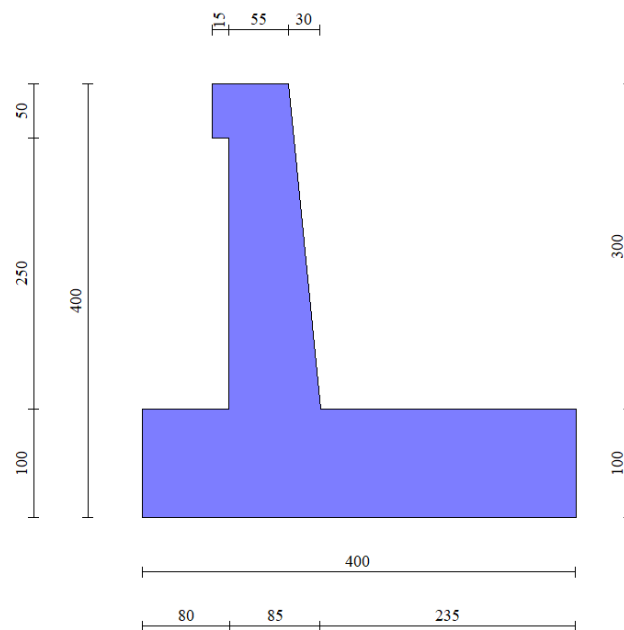


Figura 16: Geometria del muro di sostegno: sezione trasversale

9.1.1 Risultati e Sollecitazioni

n°	Combinazione	Sismica	FSsco	FSqlim	FSrib	FSstab	FShyd	FSupl
1	STR (A1-M1-R3)		2,991	4,201	--	--	--	--
2	STR (A1-M1-R3)	H + V	2,312	5,023	--	--	--	--
3	STR (A1-M1-R3)	H - V	2,199	5,195	--	--	--	--
4	GEO (A2-M2-R2)		--	--	--	1,908	--	--
5	GEO (A2-M2-R2)	H + V	--	--	--	2,253	--	--
6	GEO (A2-M2-R2)	H - V	--	--	--	2,195	--	--
7	EQU (A1-M1-R3)		--	--	8,689	--	--	--
8	EQU (A1-M1-R3)	H + V	--	--	5,208	--	--	--
9	EQU (A1-M1-R3)	H - V	--	--	3,799	--	--	--

Figura 17: Fattori di sicurezza verifiche statiche e sismiche

n°	Combinazione	Sismica	FSsco	FSqlim	FSrib	FSstab	FShyd	FSupl
1	STR (A1-M1-R3)		2,549	5,450	--	--	--	--
2	GEO (A2-M2-R2)		--	--	--	3,516	--	--
3	EQU (A1-M1-R3)		--	--	3,599	--	--	--

Figura 18: Fattori di sicurezza- urto

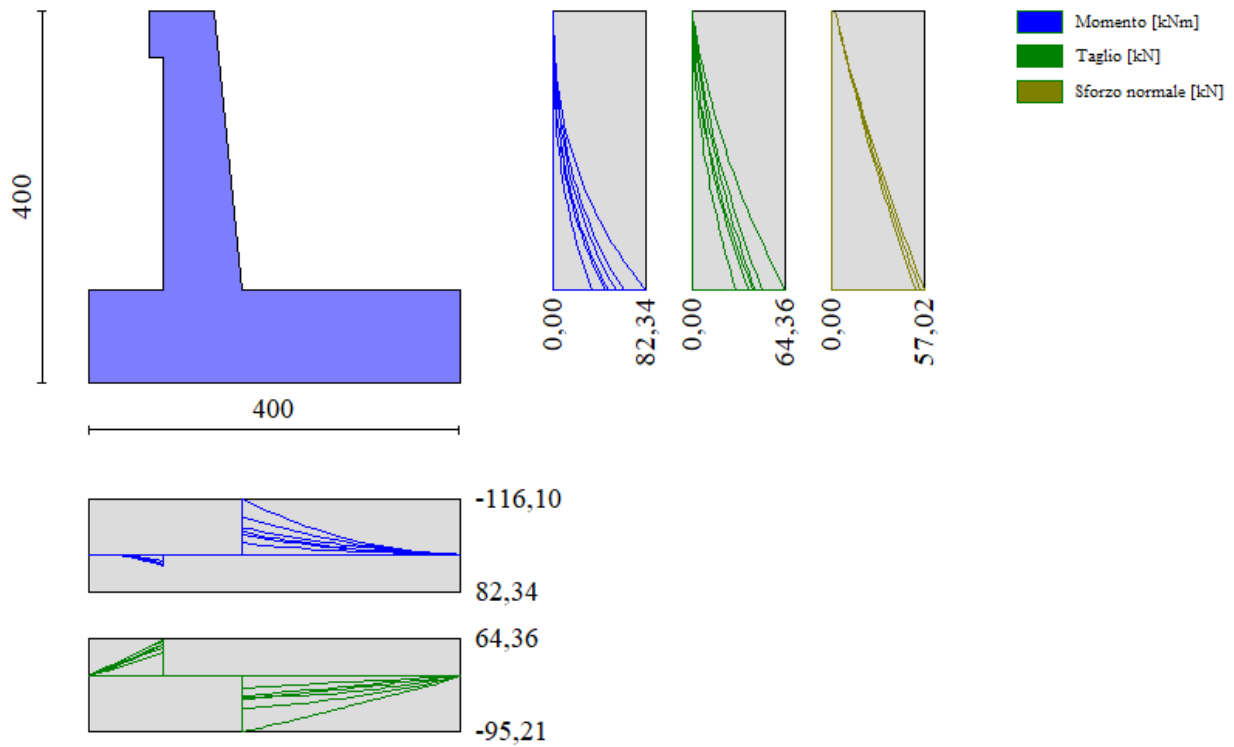


Figura 19: Involuppo diagrammi sollecitazioni- condizioni statiche e sismiche

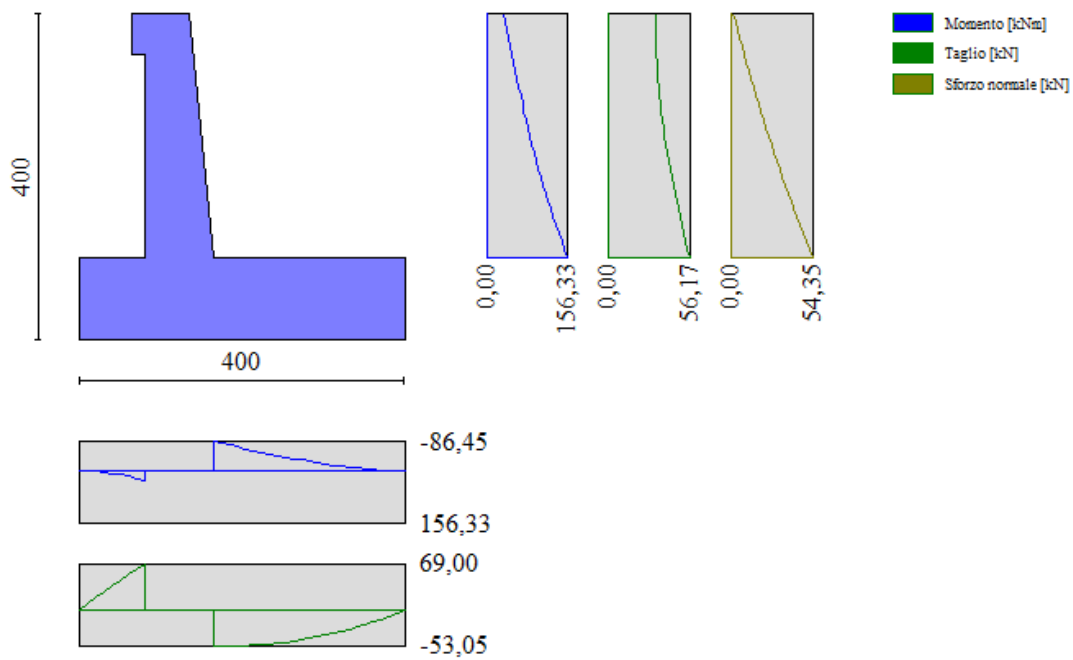


Figura 20: Involuppo diagrammi sollecitazioni – condizione urto

9.1.2 Armatura paramento e piastra di fondazione

Di seguito si riportano le armature di progetto previste per le sezioni di calcolo del paramento e della piastra di fondazione. Sia le verifiche a pressoflessione che a taglio sono state eseguite manualmente attraverso l'ausilio di fogli di calcolo strutturati sulla base delle NTC2018 e mediante software di calcolo PressFle sulla base dell'involuppo dei diagrammi delle sollecitazioni.

Tabella 25: armature di progetto paramento e piastra di fondazione

Armatura a flessione			Armatura a flessione		
Elemento	Lato monte	Lato valle	Elemento	Lato inferiore	Lato superiore
Paramento	Φ16/20	Φ12/20	Piastra fondazione	Φ16/20	Φ16/20

Le verifiche a taglio sono condotte con riferimento ad elementi in c.a. non armati a taglio, tuttavia si prevedono ganci Φ10/40x40 per legare le armature, ripartitori Φ12 ed una opportuna staffatura per la mensola di testa.

Armatura a taglio Legature		
Elemento	staffe	Legature
mensola di testa	Φ12/20	Φ12

9.1.3 Verifiche allo SLU

Si riportano i risultati delle verifiche a pressoflessione e taglio per la sezione di base del paramento e per la fondazione. Le verifiche a taglio sono condotte con riferimento ad elementi in c.a. non armati a taglio, tuttavia si prevedono ganci Φ10/40x40 per legare le armature, ripartitori Φ12/20cm ed una opportuna staffatura per la mensola di testa.

GEOMETRIA				VERIFICA A PRESSOFLESSIONE						
Elemento		b	h	M _{Ed}	N _{Ed,min}	Armature	c	d	M _{Rd}	FS
		[mm]	[mm]	[kNm]	[kN]		[mm]	[mm]	[kNm]	[-]
Paramento	monte	1000	850	156,3	56,9	φ16/20	50	800	349,6	2,24
	valle					φ12/20				
Fondazione	Superiore	1000	1000	116,1		φ16/20	50	950	360,9	3,11
	Inferiore					φ16/20				

Tabella 26: verifica a pressoflessione

Elemento	Geometrie				Armatura long. tesa			Sollecitazioni di Calcolo		TAGLIO RESISTENTE ELEMENTI SENZA ARMATURA A TAGLIO							
	b _w (mm)	H (mm)	c (mm)	d (mm)	n	Ø	A _s (mm ²)	N _{sd} (KN)	V _{sd} (KN)	σ _{cp} (Mpa)	ρ _t	k	f _{cK} (Mpa)	v _{min}	V _{Rdmin} (KN)	V _{Ret} (KN)	F.S.
Paramento	1000	850	50	800	5	16	1004,8	0	64,36	0	0,001	1,50	33,2	0,37	296,39	231,78	3,60
Fondazione	1000	1000	50	950	5	16	1004,8	0	95,21	0	0,001	1,46	33,2	0,36	337,57	252,78	2,65

Tabella 27: verifica elementi non armati a taglio

9.1.4 Verifiche allo SLE

Ai fini delle verifiche agli stati limite di esercizio si è provveduto a verificare che le tensioni massime nel calcestruzzo e nell'acciaio siano inferiori ai valori limite riportati nella seguente tabella:

CALCESTRUZZO ELEVAZIONE/FONDAZIONE C32/40

$\sigma_{c,max,Q.P.} = 0,45 f_{cK}$	14.4	MPa	(combinazione di carico Quasi Permanente)
$\sigma_{c,max,R.} = 0,60 f_{cK}$	19.2	MPa	(combinazione di carico Rara)

Tabella 28: limiti tensione calcestruzzo

ACCIAIO

$\sigma_{f,max} = 0,80 f_{yK}$	360	MPa	(combinazione di carico Rara)
--------------------------------	-----	-----	-------------------------------

Tabella 29: limiti tensione acciaio

nonché di verificare che l'apertura delle fessure sia inferiore al valore limite di $w_1=0,2\text{mm}$ (Classe di esposizione XC4 ed armature poco sensibili).

Pertanto dovrà risultare:

Combinazione Quasi permanente : $w \leq 0.2\text{mm}$

Combinazione Frequente : $w \leq 0.3\text{mm}$

Verifica delle tensioni	I _p	N _{Ed}	M _{Ed}	CLS 32/40			ACCIAIO B450C		
				σ_c	$\sigma_{c,max} = 0,6 f_{ck}$	FS	σ_f	$\sigma_{f,max} = 0,8 f_{yk}$	FS
				[Mpa]	[Mpa]	[-]	[Mpa]	[Mpa]	[-]
combinazione rara	paramento	54,4	62,6	1,7	19,2	11,43	55,6	360,0	6,48
	fondazione	-	45,9	1,0	19,2	20,21	14,3	360,0	25,25

Tabella 30: verica tensionale combinazione rara

Verifica delle tensioni	I _p	N _{Ed}	M _{Ed}	CLS 32/40		
				σ_c	$\sigma_{c,max} = 0,45 f_{ck}$	FS
				[Mpa]	[Mpa]	[-]
Combinazione quasi permanente	paramento	54,4	30,0	0,9	14,4	16,74
	fondazione	0,0	40,6	0,8	14,4	17,14

Tabella 31: verifica tensionale combinazione quasi permanente

Le verifiche risultano essere soddisfatte. La sezione inoltre risulta essere non fessurata.

9.1.5 Verifiche locali della mensola per azioni d'urto

In questo paragrafo sono riportati i risultati ottenuti dalle verifiche locali dei cordoli che ospitano le barriere di sicurezza. Il carico di progetto come definito al paragrafo 7.4. è costituito dalla forza orizzontale di plasticizzazione della barriera pari a $F=79.5\text{kN}$, applicata alla quota di 1,0 m sopra il piano di marcia. e 100 mm sotto la sommità della barriera.

Nel caso in esame si assume che la forza agisca ad una distanza $d=1.00\text{m}$ dalla base della barriera.

La mensola presenta una larghezza pari a 0.7m e uno spessore 0.5m. Si dispone nella mensola una staffatura di $\Phi 12/20$.

La funzione di tali staffe è duplice:

- **Equilibrare l'azione orizzontale F;**
- **Equilibrare la trazione dei tirafondi della barriera nel meccanismo di pull out.**

Per il punto 1. Il cono di rottura che determina il numero di staffe resistenti si determina secondo quanto riportato nella figura seguente, ipotizzando una diffusione a 45° della sollecitazione agente a partire dalla posizione dei tirafondi tesi. Si

considera una larghezza della piastra di 0.40m posizionata a 0.10m dal bordo del muro. La forza orizzontale F è equilibrata dalle barre $\Phi 12/20$ che sono sempre presenti all'interno del cono di rottura evidenziato nella seguente figura.

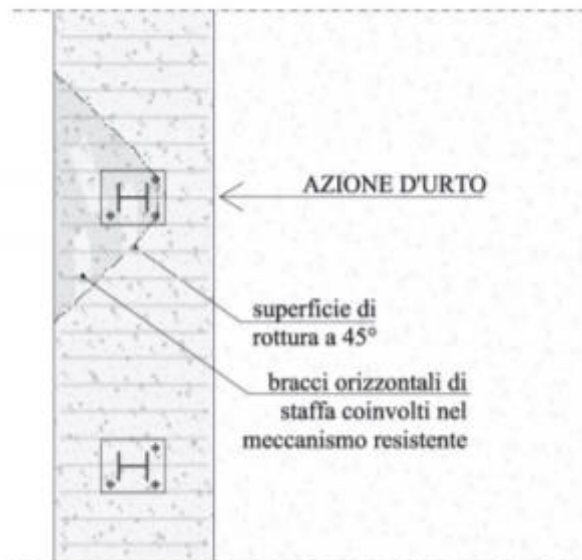


Figura 21: cono di diffusione verifica 1

In dettaglio la forza orizzontale rappresenta l'azione di urto, che è pari a $F=79.5$ kN.

Le barre $\Phi 12/20$ oppongono una resistenza a tale forza espressa dalla seguente relazione:

$$F_R = n \cdot \frac{A_s f_{yk}}{\gamma_d}$$

Dove A_s è l'area della staffa e n è il numero di bracci presenti nel cono di diffusione.

Dove n è il numero dei tondini compresi nel cono di rottura e A_s è l'area del tondino.

Nel caso in esame è stata assunta, in maniera cautelativa, come base del cono di rottura la larghezza della piastra pari a 0.3m che permette di individuare in una larghezza collaborante di 0.9m, 4 ferri e 8 bracci.

Conseguentemente si ha:

verifica delle staffe orizzontali				
Larghezza collaborante	n bracci orizzontali	Fsd	Frd	FS
[m]	[-]	[KN]	[KN]	[-]
0.9	8	79.53	306.6	4.45

Tabella 32: verifica 1 della mensola

La verifica risulta soddisfatta.

Per il punto 2. Il cono di rottura che determina il numero di staffe e quindi di bracci verticali resistenti si determina secondo quanto riportato nella seguente figura, ipotizzando una diffusione a 45° a partire dall'interasse dei tirafondi tesi. La trazione agente nei tirafondi è equilibrata dai bracci verticali delle staffe e da eventuali legature.

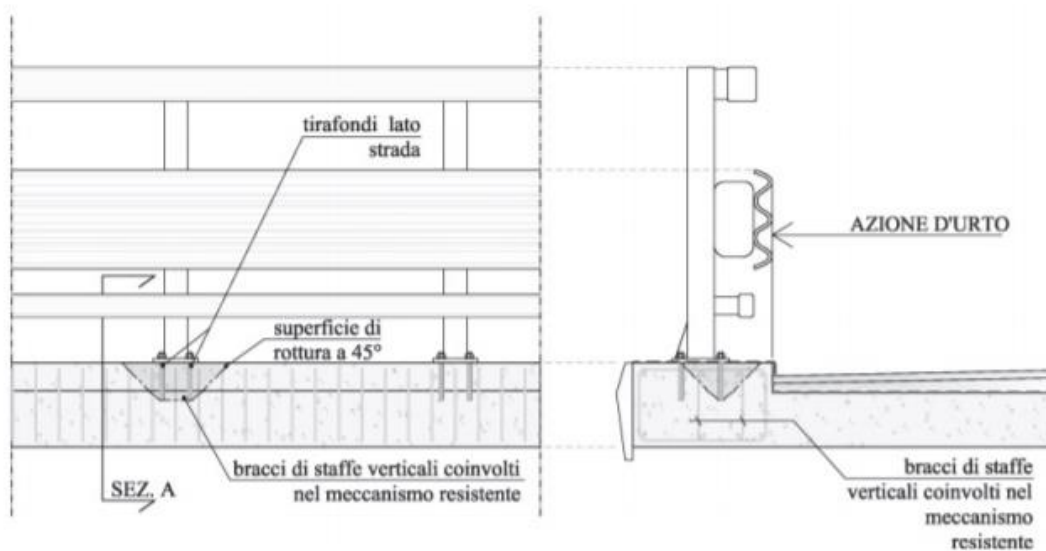


Figura 22: cono di diffusione verifica 2

Ipotizzando un braccio di leva delle forze interne della piastra di base della barriera pari a $l = 0.22$ m e un'altezza h della barriera sopra tale piastra di 1 m, si stima T_d come:

$$T_d = \frac{N \cdot h}{l}$$

Si dispongono delle staffe $\Phi 12/20$. Ipotizzando una lunghezza dei tirafondi di almeno 19 cm (nonché l'interasse tra i due tirafondi tesi di 0.22 m), risulta una lunghezza di diffusione trasversale pari a 0.38m e longitudinale di 0.6m. I bracci verticali compresi nel cono di diffusione sono 3.

Nel calcolare la resistenza delle staffe verticali si considera anche il contributo dei ferri longitudinali $\Phi 16/20$ del paramento che sono accoppiati alle staffe. Pertanto si calcola la trazione resistente pari a:

$$T_r = n \cdot A_s \cdot f_{yd}$$

verifica delle staffe verticali					
L trasv	B long	n	T_d	T_r	FS
[m]	[m]	[m]	[KN]	[KN]	[-]
0,38	0,6	3	361,48	368,80	1,02

Tabella 33: verifica delle staffe verticali della mensola

9.2 MURO TIPOLOGICO 03 su 2 pali ($H_{\text{paramento}}=4\text{m}$)

Di seguito si riporta una rappresentazione grafica del modello di calcolo adottato per il muro tipologico ad 03 avente un'altezza del paramento pari a 4m. Esso è fondato su pali di diametro $D=800\text{m}$ e di lunghezza $L=20\text{m}$.

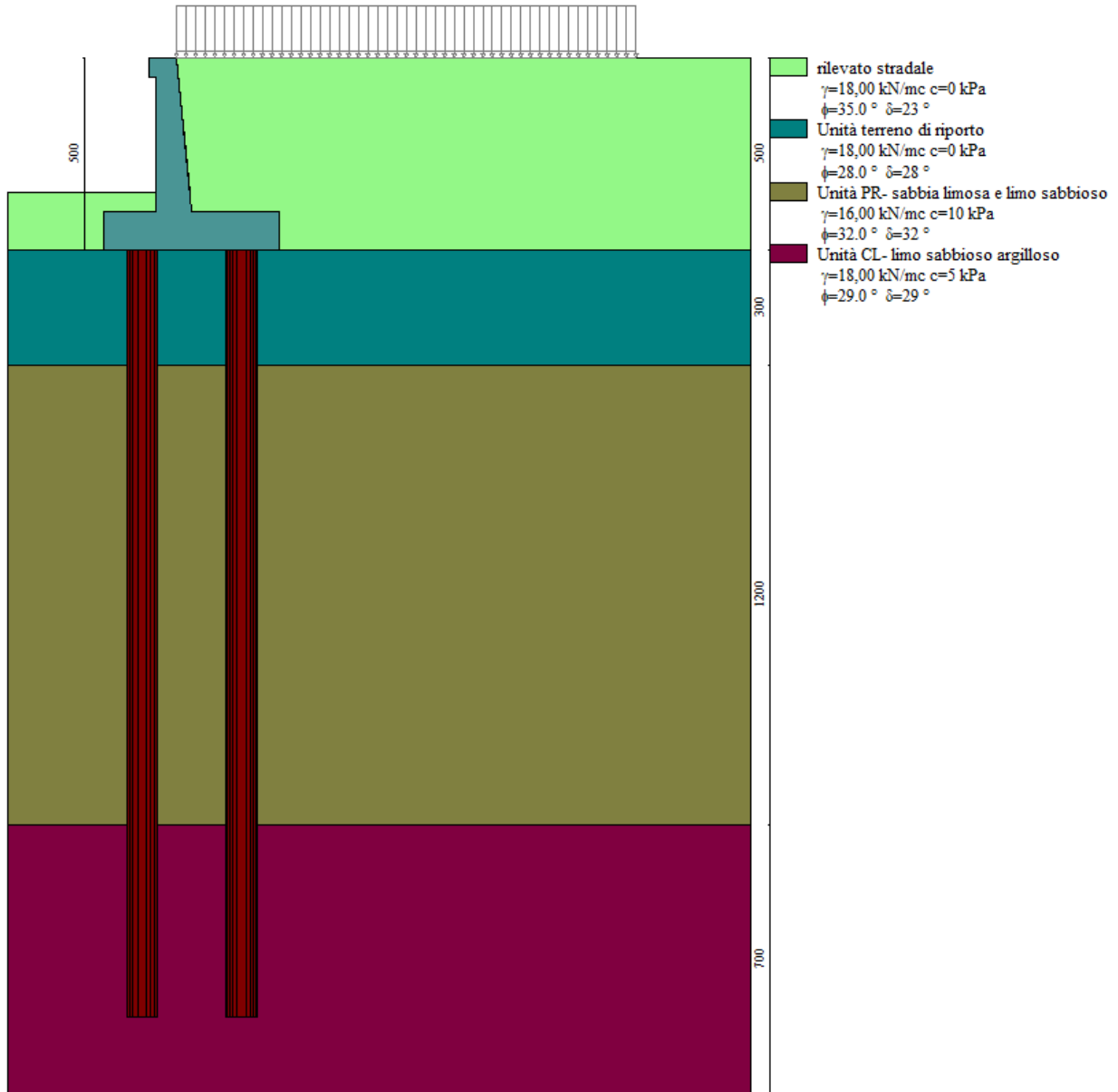


Figura 23: modello di calcolo muro tipologico 04

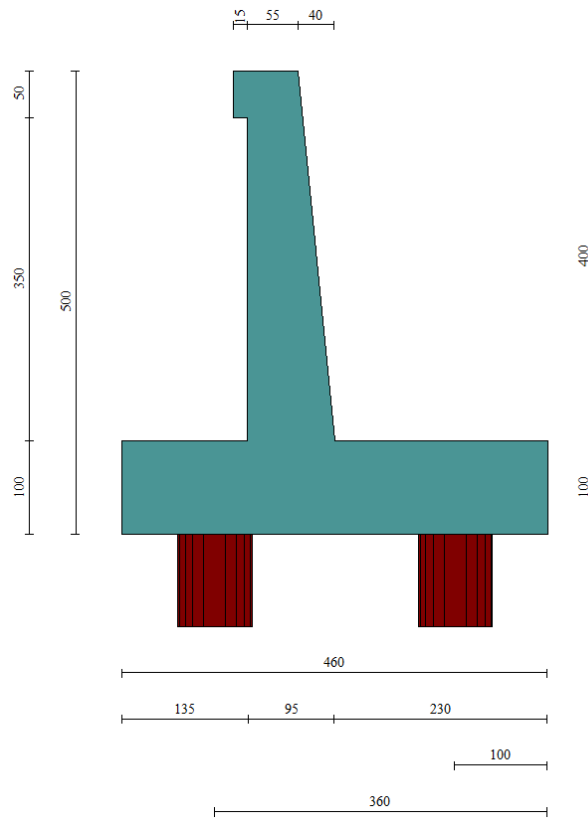


Figura 24: Geometria del muro di sostegno: sezione trasversale

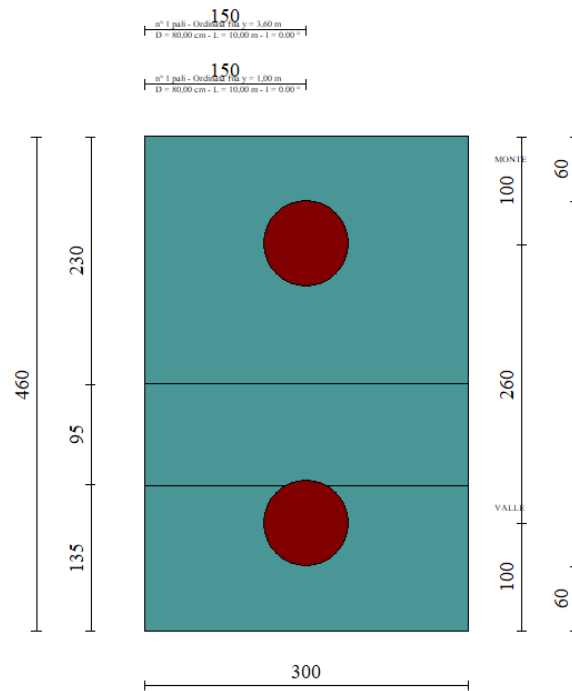


Figura 25: pianta fondazione su pali

Si fa notare che, come specificato al paragrafo seguente, le sollecitazioni a testa palo non dipendono dalla lunghezza dei pali o dal terreno di fondazione. Pertanto, le caratteristiche geotecniche del terreno di fondazione usate nel modello non sono rilevanti ai fini della determinazione delle sollecitazioni in testa ai pali. Il dimensionamento dei pali di fondazione viene eseguito infatti sulla base degli scarichi da questo ottenuti e di un confronto degli stessi con la curva di portanza, costruita tenendo conto dell'effettiva stratigrafica di fondazione.

9.2.1 Sollecitazioni Paramento

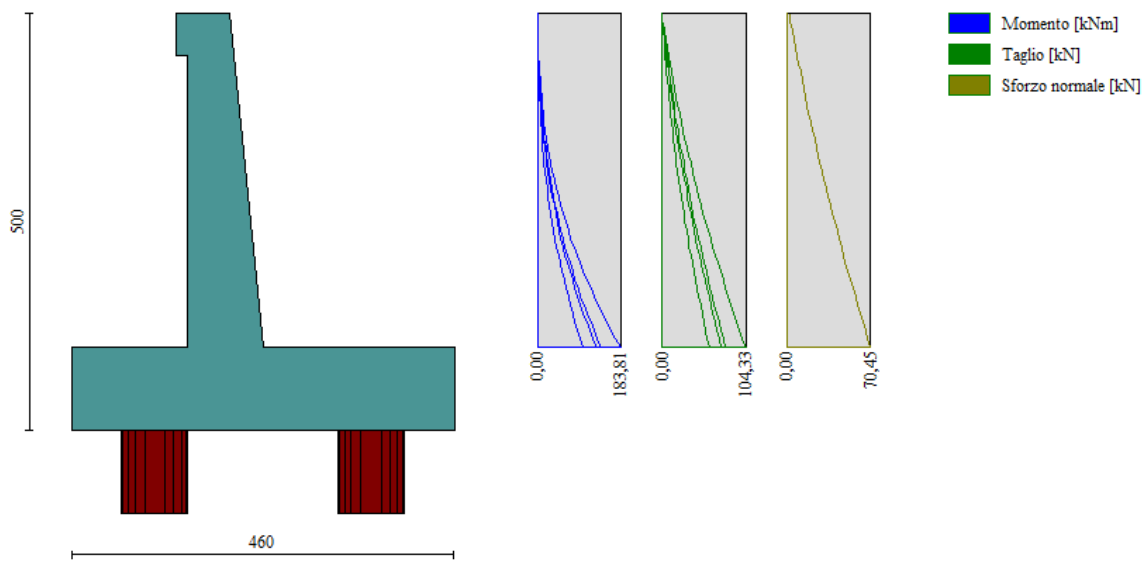


Figura 26 – Involuppo delle sollecitazioni sul paramento del muro di sostegno in condizioni statiche

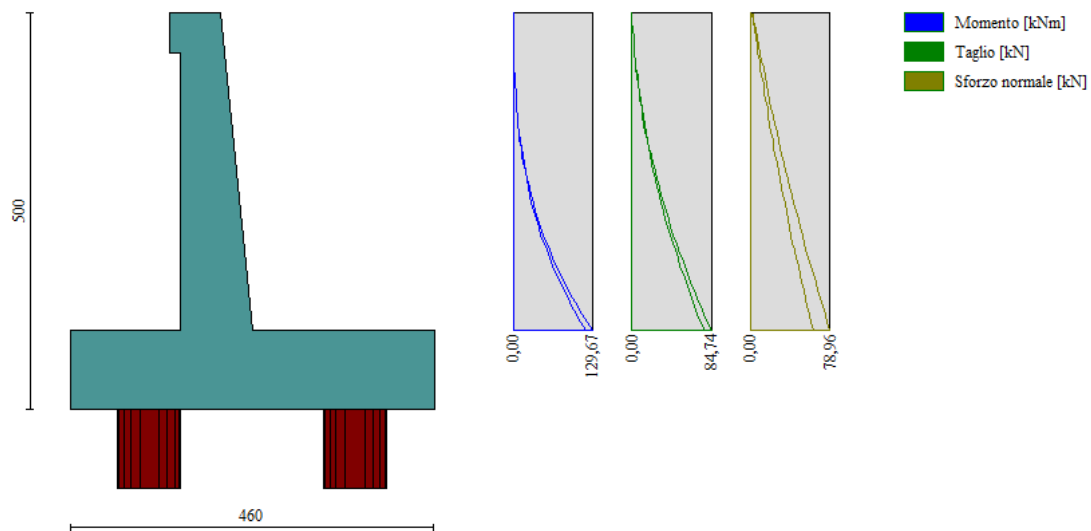


Figura 27- Involuppo delle sollecitazioni sul paramento del muro di sostegno in condizioni sismiche

9.2.2 Verifiche strutturali paramento e piastra fondazione

Elemento	STATICA				SISMICA				Max			
	MY, Ed	MX, Ed	N _{ed}	T _{ed}	MY, Ed	MX, Ed	N _{ed}	T _{ed}	MY, Ed	MX, Ed	N _{Ed,min}	T _{Ed,min}
	[kNm]	[kNm]	[kN]	[kN]	[kNm]	[kNm]	[kN]	[kN]	[kNm]	[kNm]	[kN]	[kN]
Paramento	183,81	-	70,45	104,33	122,1	-	78,96	80,32	183,81	-	78,96	104,33
Fondazione	276,24	311,45	-	771,79	221,51	218,59	-	895,42	276,24	311,45	0,00	895,42

Tabella 34: sollecitazioni di progetto

Di seguito si riportano le armature di progetto previste per le sezioni di calcolo del paramento e della piastra di fondazione.

Tabella 35: Armature di progetto paramento e piastra fondazione

Elemento	Armatura a flessione		Elemento	Armatura a flessione	
	Lato monte	Lato valle		Lato inferiore	Lato superiore
Paramento	Φ16/20	Φ12/20	Piastra fondazione	Φ18/20	Φ18/20

Si dispongono ripartitori in fondazione Φ18/20 e nel paramento Φ12/20.

GEOMETRIA				VERIFICA A PRESSOFLESSIONE							
Elemento		b	h	M _{ed,y}	M _{ed,x}	N _{Ed,min}	Armature	c	d	M _{Rd}	FS
		[mm]	[mm]	[kNm]	[kNm]	[kN]		[mm]	[mm]	[kNm]	[-]
Paramento	monte	1000	900	183,8	0,0	79,0	φ16/20	50	850	404,5	2,20
	valle						φ12/20				
Fondazione	Superiore	1000	1000	276,2	-		φ18/20	50	950	454,2	1,64
	Inferiore						φ18/20				
Fondazione (ripartitori)	Superiore	1000	1000		311,5		φ18/20	50	950	454,2	1,46
	Inferiore						φ18/20				

Tabella 36: verifica a pressoflessione

Per il paramento le verifiche a taglio sono condotte con riferimento ad elementi in c.a. non armati a taglio, tuttavia si prevedono **ganci Φ12/40x40**.

Si riportano le verifiche a pressoflessione e a taglio:

Elemento	Geometrie				Armatura long. tesa			Sollecitazioni di Calcolo		TAGLIO RESISTENTE ELEMENTI SENZA ARMATURA A TAGLIO							
	b _w (mm)	H (mm)	c (mm)	d (mm)	n	Ø	A _s (mm ²)	N _{sd} (KN)	V _{sd} (KN)	σ _{cp} (Mpa)	ρ _l	k	f _{ck} (Mpa)	v _{min}	V _{Rdmin} (KN)	V _{Rct} (KN)	F.S.
Paramento	1000	900	50	850	5	16	1004,8	0	104,33	0	0,001	1,49	33,2	0,36	310,23	238,94	2,29
Fondazione	1000	1000	50	950	5	18	1271,7	0	895,42	0	0,001	1,46	33,2	0,36	337,57	273,43	0,31

Tabella 37: verifica elementi non armati a taglio

Per la piastra di fondazione la verifica a taglio risulta essere soddisfatta considerando **staffe Φ12/40x20**.

Elemento	Armature trasversali				Inclinazione Bielle Compresse				Taglio Compressione		Taglio Trazione		risultati	
	n _b	Ø	p (mm)	A _{sw} (mm ²)	α°	θ°	ctg θ	σ _{cp} (Mpa)	α _c	f' _{cd} (Mpa)	V _{Rcd} (KN)	V _{Rsd} (KN)	V _{rd} (KN)	F.S.
Fondazione	2,5	12	200	282,6	90	21,8	2,5	0	1	18,81	2773,34	1181,84	1181,84	1,32

Tabella 38: verifica a taglio della fondazione

Si riportano le verifiche tensionali e a fessurazione del paramento:

Verifica delle tensioni	I _p [-]	N _{Ed} [kN]	M _{ed,y} [kNm]	M _{ed,x} [kNm]	CLS 32/40					ACCIAIO B450C				
					σ _{c,y} [Mpa]	σ _{c,x} [Mpa]	σ _{c,max} = 0,6 f _{ck} [Mpa]	FS, y [-]	FS, x [-]	σ _{f,y} [Mpa]	σ _{f,x} [Mpa]	σ _{f,max} = 0,8 f _{yk} [Mpa]	FS, y [-]	FS, x [-]
combinazione rara	Param.	70,5	140,6	-	2,6	-	19,2	7,53	-	97,3	-	360,0	3,70	-
	Fond.	-	256,2	297,4	4,8	5,5	19,2	4,03	3,47	223,0	259,0	360,0	1,61	1,39

Tabella 39: verifica tensionale combinazione rara

Verifica delle tensioni	I _p [-]	N _{Ed} [kN]	M _{ed,y} [kNm]	M _{ed,x} [kNm]	CLS 32/40				
					σ _{c,y} [Mpa]	σ _{c,x} [Mpa]	σ _{c,max} = 0,45 f _{ck} [Mpa]	FS,y [-]	FS,x [-]
Combinazione quasi permanente	paramento	70,5	100,6	-	1,8	-	14,4	8,00	-
	fondazione	0,0	226,5	255,3	4,2	4,8	14,4	3,42	3,03

Tabella 40: verifica tensionale combinazione quasi permanente

Dalla verifica a fessurazione emerge che il muro di sostegno non è fessurato.

9.2.3 Sollecitazioni in testa ai pali

Le sollecitazioni provenienti dal muro vengono ripartite sui pali restituendo le sollecitazioni nei pali in termini di taglio, momento e sforzo normale.

Gli scarichi sui pali vengono determinati mediante il metodo delle rigidità.

La piastra di fondazione viene considerata infinitamente rigida (3 gradi di libertà) ed i pali vengono considerati incernierati a tale piastra.

Lo sforzo normale nei pali è calcolato come segue:

$$N_i = \frac{N_{Ed}}{n}$$

Si fa notare, quindi, che le sollecitazioni a testa palo non dipendono dalla lunghezza dei pali o dal terreno di fondazione.

Le azioni derivanti da questo modello vengono confrontate con le curve di capacità portante dei pali di fondazione.

Mentre le azioni di taglio sono suddivise equamente tra i pali come di seguito riportato:

$$V_i = \frac{V_{Ed}}{n}$$

In definitiva, gli scarichi a testa palo sono pari a quanto di seguito riportato.

Simbologia adottata

Cmb Indice/Tipo combinazione

I_p Indice palo

N Sforzo normale, espresso in [kN]

M Momento, espresso in [kNm]

T Taglio, espresso in [kN]

Cmb	Ip	N	M	T
		[kN]	[kNm]	[kN]
1 - STR (A1-M1-R3)	1	846,48	0	-206,7
	2	670,37	0	-206,7
2 - STR (A1-M1-R3) H + V	1	577,44	0	-280,21
	2	792,49	0	-280,21
3 - STR (A1-M1-R3) H - V	1	401	0	-265,73
	2	688,17	0	-265,73
7 - SLER	1	810,02	0	-157,06
	2	597,21	0	-157,06
8 - SLEF	1	780,95	0	-148,64
	2	578,52	0	-148,64
9 - SLEQ	1	693,75	0	-123,4
	2	522,47	0	-123,4

Tabella 41: Scarichi in testa ai pali

Per la valutazione del momento flettente a testa palo si è utilizzata la teoria di Matlock e Reese per la quale il momento agente a quota testa pali è direttamente proporzionale al taglio mediante un coefficiente α (espresso in metri) “coefficiente di Matlock e Reese”:

$$M_i(V_{Ed}) = \alpha \frac{V_{Ed}}{n}$$

Il coefficiente α dipende principalmente dalle caratteristiche di rigidità relative palo-terreno e, generalmente, fornisce un valore del momento sollecitante conservativo. Fissato il diametro del palo, D , α dipende quindi dalla rigidità del terreno.

Nel caso in esame si ha:

PALI D800
$\alpha = 1.53 \text{ m}$

Tabella 42: parametro α

Vengono riportate nella tabella che segue le sollecitazioni in testa ai pali.

Combinazione	Ip	V	α	M	N
	[-]	[kN]	[m]	[kNm]	[kN]
SLU - STR (A1-M1-R3)	1	206,7	1,530	316,3	846,5
	2	206,7	1,530	316,3	670,4
SLU - STR (A1-M1-R3) H + V	1	280,2	1,530	428,7	577,4
	2	280,2	1,530	428,7	792,5
SLU - STR (A1-M1-R3) H - V	1	265,7	1,530	406,6	401,0
	2	265,7	1,530	406,6	688,2
	1	157,1	1,530	240,3	810,0

SLE - Rara	2	157,1	1,530	240,3	597,2
SLE - Frequente	1	148,6	1,530	227,4	781,0
	2	148,6	1,530	227,4	578,5
SLE - Quasi Permanente	1	123,4	1,530	188,8	693,8
	2	123,4	1,530	188,8	522,5

Tabella 43: sollecitazioni in testa ai pali

9.2.4 Verifiche strutturali pali

Per i pali di fondazione di diametro D=800mm si prevedono le seguenti armature:

gabbia 20 ϕ 22 e staffa a spirale ϕ 14/20;

Ai fini delle verifiche si è fatto riferimento per i pali ad un copriferro di calcolo (asse armature) pari a 8.5cm

9.2.4.1 Verifiche SLU-Pressoflessione

Occorre osservare che la determinazione dell'armatura nei pali di fondazione dipende anche dal soddisfacimento della verifica a carico limite orizzontale (Broms) riportata al paragrafo 9.2.5.2.

Si riporta in seguito la verifica a presso-flessione.

Verifica di capacità portante H	I _p	V _{Ed}	N _{Ed}	M _{Rd}	H _d	F _d	FS
	[-]	[kN]	[kN]	[kNm]	[kN]	[kN]	[-]
SLU - STR (A1-M1-R3)	1	206,7	846,5	969,0	356,4	206,7	1,72
	2	206,7	670,4	942,9	356,4	206,7	1,72
SLU - STR (A1-M1-R3) H + V	1	280,2	577,4	928,5	347,3	280,2	1,24
	2	280,2	792,5	961,2	356,4	280,2	1,27
SLU - STR (A1-M1-R3) H - V	1	265,7	401,0	899,3	338,3	265,7	1,27
	2	265,7	688,2	945,7	356,4	265,7	1,34

Tabella 44: Verifica a pressoflessione

9.2.4.2 Taglio

Le verifiche a taglio sono state condotte con riferimento ad elementi in c.a. armati a taglio, avendo assunto come inclinazione del puntone compresso $\theta = 45^\circ$.

Verifica a taglio ($\theta = 45^\circ$)	I _p	N _{Ed}	V _{Ed}	V _{Rsd}	V _{Rcd}	V _{Rd} = min (V _{Rsd} ; V _{Rcd})	FS
	[-]	[kN]	[kN]	[kN]	[kN]	[kN]	[-]
SLU - STR (A1-M1-R3)	1	846,5	206,7	352,4	1790,1	352,4	1,70
	2	670,4	206,7	352,4	1790,1	352,4	1,70
SLU - STR (A1-M1-R3) H + V	1	577,4	280,2	352,4	1790,1	352,4	1,26
	2	792,5	280,2	352,4	1790,1	352,4	1,26
SLU - STR (A1-M1-R3) H - V	1	401,0	265,7	352,4	1790,1	352,4	1,33
	2	688,2	265,7	352,4	1790,1	352,4	1,33

Tabella 45: verifica a taglio

9.2.4.3 Verifiche SLE

Si riportano le verifiche tensionali e a fessurazione dei pali realizzate mediante il software PressFle.

Verifica delle tensioni			CLS 25/30			ACCIAIO B450C		
	N _{Ed}	M _{Ed}	σ _c	σ _{c,max} = 0,6 f _{ck}	FS	σ _f	σ _{f,max} = 0,8 f _{yk}	FS
	[kN]	[kNm]	[Mpa]	[Mpa]	[-]	[Mpa]	[Mpa]	[-]
SLE - Rara	810,0	240,3	7,6	15,0	1,98	40,9	360,0	8,80

Verifica delle tensioni			CLS C25/30		
	N _{Ed}	M _{Ed}	σ _c	σ _{c,max} = 0,45 f _{ck}	FS
	[kN]	[kNm]	[Mpa]	[Mpa]	[-]
SLE - Quasi Permanente	522,5	189	6,2	11,3	1,82

Tabella 46: verifica limitazione tensioni

Verifica a fessurazione	N _{Ed}	M _{Ed}	w _f	w ₁	FS
	[kN]	[kNm]	[mm]	[mm]	[-]
SLE - Quasi Permanente	522,5	188,8	0,027	0,200	7,55
SLE - Frequente	781,0	227,4	0,024	0,300	12,50

Figura 28: verifica a fessurazione

9.2.5 Verifiche geotecniche pali

9.2.5.1 Verifica di capacità portante nei confronti dei carichi verticali

La determinazione della lunghezza dei pali è il risultato della verifica di capacità portante che si riporta nella seguente tabella:

Tabella 47: Verifica di capacità portante nei confronti dei carichi verticali- SLU

Capacità portante nei confronti dei carichi verticali di compressione - SLU							
L _p	Q _{1l}	Q _{bl}	W _p	Q _u	Q _d	N _{max}	FS
[m]	[kN]	[kN]	[kN]	[kN]	[kN]	[kN]	[-]
0	0	371	0	371	161	846	0,19
0,5	7	375	3	380	164	846	0,19
1	17	380	5	392	169	846	0,20
1,5	29	385	8	406	174	846	0,21
2	44	389	10	423	182	846	0,22
2,5	62	394	13	443	190	846	0,22
3	83	382	15	450	194	846	0,23
3,5	106	371	18	460	198	846	0,23
4	133	360	20	473	204	846	0,24
4,5	162	349	23	488	212	846	0,25
5	193	338	25	505	220	846	0,26

5,5	222	359	28	553	242	846	0,29
6	252	380	30	602	264	846	0,31
6,5	283	401	33	652	286	846	0,34
7	317	422	35	704	310	846	0,37
7,5	352	443	38	758	335	846	0,40
8	389	464	40	813	360	846	0,43
8,5	427	486	43	870	386	846	0,46
9	468	507	45	929	414	846	0,49
9,5	510	528	48	990	442	846	0,52
10	553	549	50	1052	471	846	0,56
10,5	599	570	53	1116	501	846	0,59
11	646	543	55	1134	510	846	0,60
11,5	695	516	58	1153	521	846	0,62
12	745	489	60	1174	532	846	0,63
12,5	798	461	63	1196	545	846	0,64
13	851	434	65	1220	557	846	0,66
13,5	899	452	68	1284	588	846	0,69
14	949	470	70	1349	618	846	0,73
14,5	1001	489	73	1417	650	846	0,77
15	1054	507	75	1486	683	846	0,81
15,5	1110	525	78	1557	717	846	0,85
16	1168	543	80	1630	751	846	0,89
16,5	1227	561	83	1705	787	846	0,93
17	1288	579	85	1782	824	846	0,97
17,5	1352	597	88	1861	861	846	1,02
18	1417	615	90	1942	900	846	1,06
18,5	1484	633	93	2025	940	846	1,11
19	1554	651	96	2110	980	846	1,16
19,5	1625	670	98	2196	1022	846	1,21
20	1698	688	101	2285	1065	846	1,26

In accordo con la curva di capacità portante ottenuta, si evidenzia la lunghezza dei pali utilizzata, pari a 20 m.

9.2.5.2 Verifica di capacità portante nei confronti dei carichi orizzontali

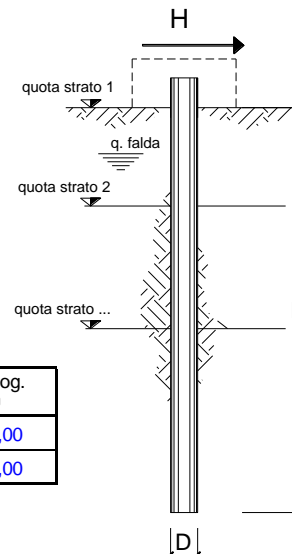
Nel seguito si riportano i risultati riguardanti la verifica di capacità portante nei confronti dei carichi orizzontali dei pali all'SLU, secondo la teoria di Broms descritta nel § 6.1.5.

Verifica di capacità portante H	I _p	V _{Ed}	N _{Ed}	M _{Rd}	H _d	F _d	FS
	[-]	[kN]	[kN]	[kNm]	[kN]	[kN]	[-]
SLU - STR (A1-M1-R3)	1	206,7	846,5	969,0	356,4	206,7	1,72
	2	206,7	670,4	942,9	356,4	206,7	1,72
SLU - STR (A1-M1-R3) H + V	1	280,2	577,4	928,5	347,3	280,2	1,24
	2	280,2	792,5	961,2	356,4	280,2	1,27
SLU - STR (A1-M1-R3) H - V	1	265,7	401,0	899,3	338,3	265,7	1,27
	2	265,7	688,2	945,7	356,4	265,7	1,34

Tabella 48: Verifica di capacità portante nei confronti dei carichi orizzontali – SLU

opera

coefficienti parziali Metodo di calcolo			A		M		R
			permanenti γ_G	variabili γ_Q	$\gamma_{\phi'}$	γ_{cu}	γ_T
SLU	A1+M1+R1	<input type="radio"/>	1,30	1,50	1,00	1,00	1,00
	A2+M1+R2	<input type="radio"/>	1,00	1,30	1,00	1,00	1,60
	A1+M1+R3	<input type="radio"/>	1,30	1,50	1,00	1,00	1,30
	SISMA	<input type="radio"/>	1,00	1,00	1,00	1,00	1,30
DM88			<input type="radio"/>	1,00	1,00	1,00	1,00
definiti dal progettista			<input checked="" type="radio"/>	1,00	1,00	1,00	1,30



n	1	2	3	4	5	7	≥ 10	T.A.	prog.
ξ_3	<input checked="" type="radio"/>	<input type="radio"/>	<input type="radio"/>	<input type="radio"/>	<input type="radio"/>	<input type="radio"/>	<input type="radio"/>	<input type="radio"/>	<input type="radio"/>
ξ_4	<input type="radio"/>	<input type="radio"/>	<input type="radio"/>	<input type="radio"/>	<input type="radio"/>	<input type="radio"/>	<input type="radio"/>	<input type="radio"/>	<input checked="" type="radio"/>

strati terreno	descrizione	quote (m)	γ (kN/m ³)	γ' (kN/m ³)	ϕ (°)	Parametri medi		Parametri minimi		
						k_p	c_u (kPa)	ϕ (°)	k_p	c_u (kPa)
p.c.=strato 1	Unità R	0,00	18	18	28	2,77		28	2,77	
<input checked="" type="checkbox"/> strato 2	Unità PR	-3,00	18	18	26	2,56		26	2,56	
<input checked="" type="checkbox"/> strato 3	Unità PR	-7,00	18	8	26	2,56		26	2,56	
<input checked="" type="checkbox"/> strato 4	Unità CL	-15,00	18	8	29	2,88		29	2,88	
<input type="checkbox"/> strato 5						1,00			1,00	
<input type="checkbox"/> strato 6						1,00			1,00	

Quota falda -7 (m)
 Diametro del palo D 0,80 (m)
 Lunghezza del palo L 20,00 (m)
 Momento di plasticizzazione palo My 899,30 (kNm)
 Step di calcolo 0,05 (m)

- palo impedito di ruotare
 palo libero

Calcolo
(ctrl+r)

	<u>H medio</u>		<u>H minimo</u>	
Palo lungo	747,6 (kN)		747,6 (kN)	
Palo intermedio	5057,1 (kN)		5057,1 (kN)	
Palo corto	17783,3 (kN)		17783,3 (kN)	
H_{med}	747,6 (kN)	Palo lungo	H_{min}	747,6 (kN)
	H_k = Min(H_{med}/ξ₃ ; R_{min}/ξ₄)		439,78 (kN)	
	H_d = H_k/γ_T		338,29 (kN)	
Carico Assiale Permanente (G):	G =		265,7 (kN)	
Carico Assiale variabile (Q):	Q =		(kN)	
	F_d = G · γ_G + Q · γ_Q =		265,70 (kN)	
	FS = H_d / F_d =		1,27	

Figura 29: verifica Broms-carico limite orizzontale

9.3 MURO TIPOLOGICO 04 su 2 pali ($H_{\text{paramento}}=5\text{m}$)

Di seguito si riporta una rappresentazione grafica del modello di calcolo adottato per il muro tipologico ad 04 avente un'altezza del paramento pari a 5m. Esso è fondato su pali di diametro $D=800\text{m}$ e di lunghezza $L=23\text{m}$.

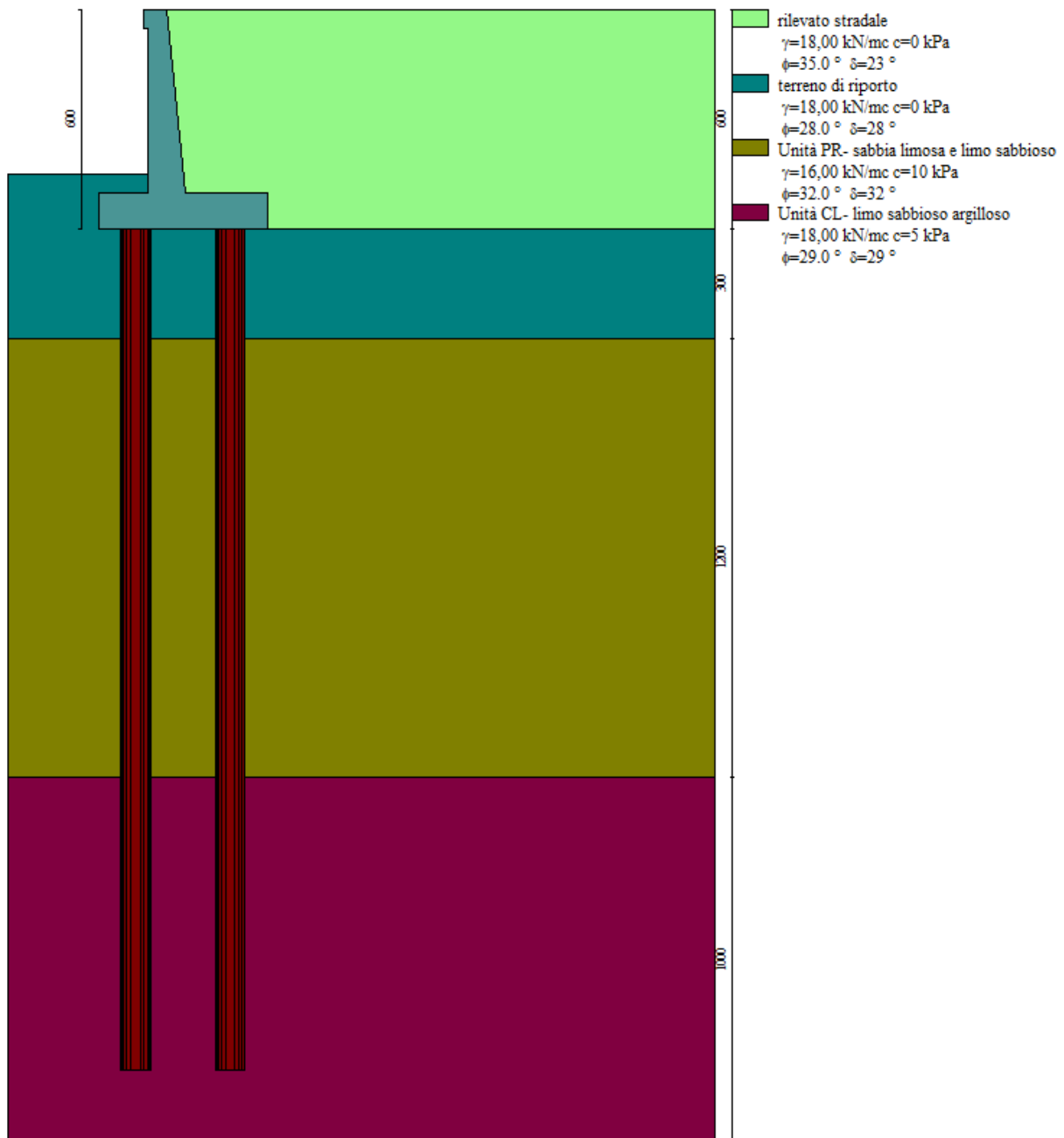


Figura 30: modello di calcolo muro tipologico 05

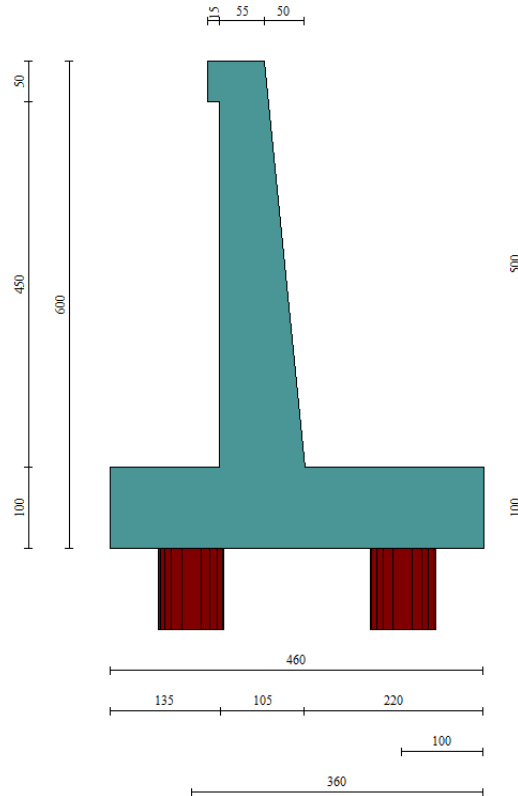


Figura 31: Geometria del muro di sostegno: sezione trasversale

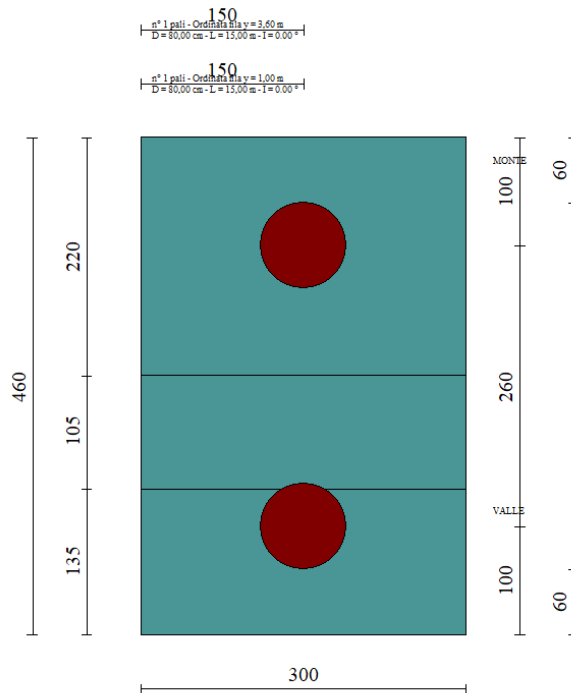


Figura 32: pianta fondazione su pali

Si fa notare che, come specificato al paragrafo seguente, le sollecitazioni a testa palo non dipendono dalla lunghezza dei pali o dal terreno di fondazione. Pertanto, le caratteristiche geotecniche del terreno di fondazione usate nel modello non sono rilevanti ai fini della determinazione delle sollecitazioni in testa ai pali. Il dimensionamento dei pali di fondazione viene eseguito infatti sulla base degli scarichi da questo ottenuti e di un confronto degli stessi con la curva di portanza, costruita tenendo conto dell'effettiva stratigrafica di fondazione.

9.3.1 Sollecitazioni Paramento

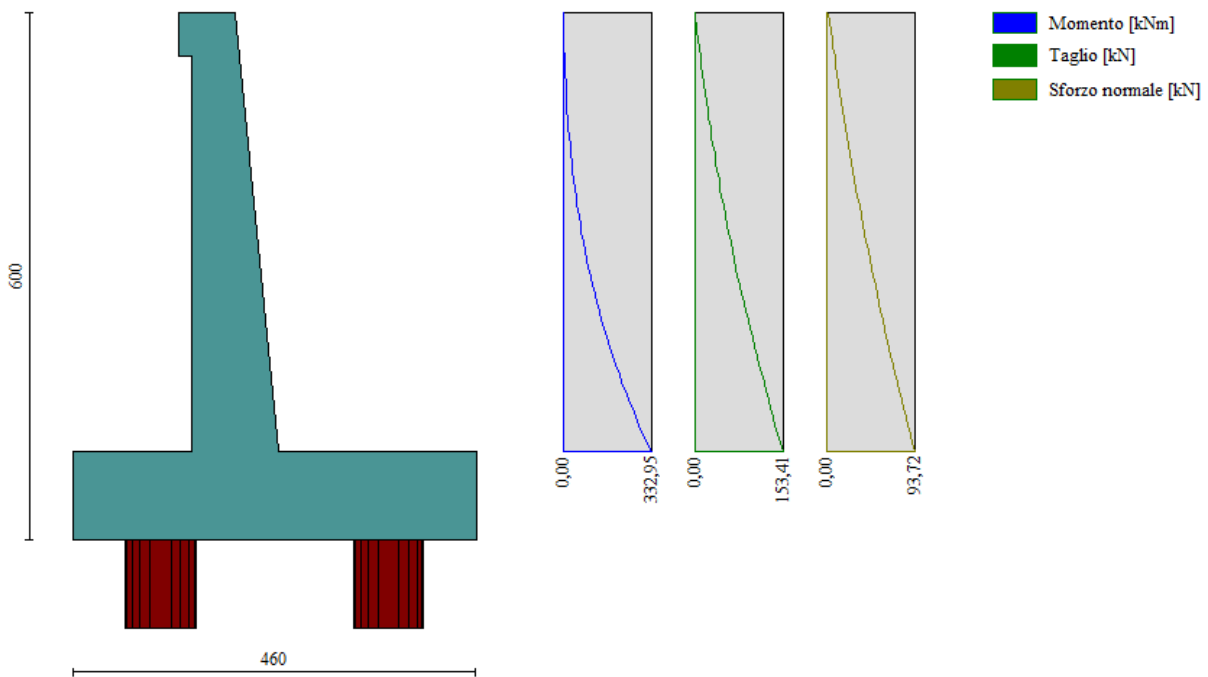


Figura 33 – Inviluppo delle sollecitazioni sul paramento del muro di sostegno in condizioni statiche

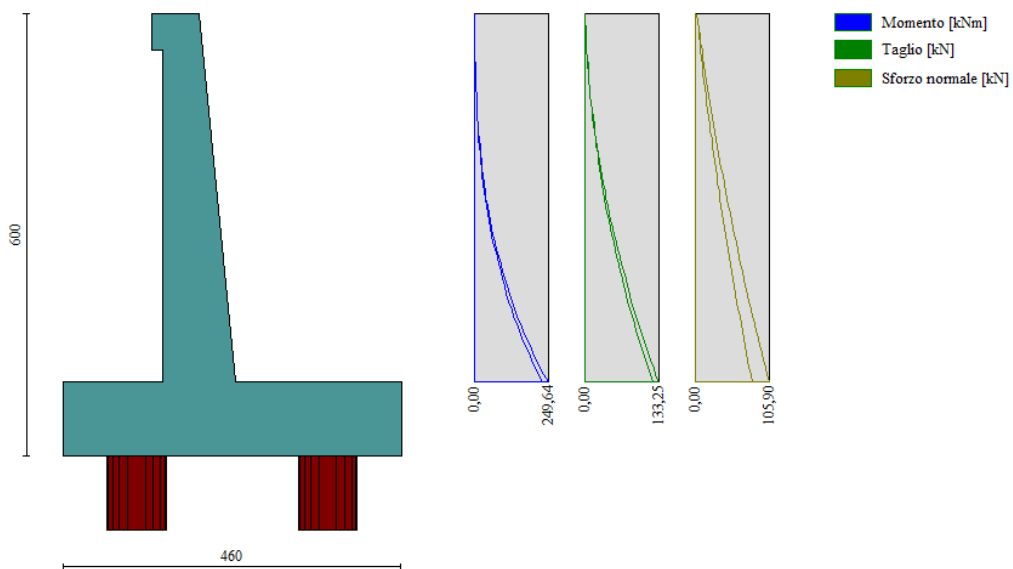


Figura 34- Inviluppo delle sollecitazioni sul paramento del muro di sostegno in condizioni sismiche

9.3.2 Verifiche strutturali paramento e piastra fondazione

Elemento	STATICA				SISMICA				Max			
	MY, Ed	MX, Ed	N _{ed}	T _{ed}	MY, Ed	MX, Ed	N _{ed}	T _{ed}	MY, Ed	MX, Ed	N _{Ed,min}	T _{Ed,min}
	[kNm]	[kNm]	[kN]	[kN]	[kNm]	[kNm]	[kN]	[kN]	[kNm]	[kNm]	[kN]	[kN]
Paramento	332,95	-	93,72	153,41	236,59	-	105,83	127,03	332,95	-	105,83	153,41
Fondazione	293,4	319,47	-	1170,26	302,20	297,07	-	1384,12	302,20	319,47	0,00	1384,12

Di seguito si riportano le armature di progetto previste per le sezioni di calcolo del paramento e della piastra di fondazione.

Tabella 49: Armature di progetto paramento e piastra fondazione

Elemento	Armatura a flessione	
	Lato monte	Lato valle
Paramento	Φ18/20	Φ14/20

Elemento	Armatura a flessione	
	Lato inferiore	Lato superiore
Piastra fondazione	Φ20/20	Φ20/20

Si dispongono ripartitori in fondazione Φ20/20 e nel paramento Φ14/20.

Si riportano le verifiche a pressoflessione e a taglio:

GEOMETRIA				VERIFICA A PRESSOFLESSIONE							
Elemento		b	h	M _{ed,y}	M _{ed,x}	N _{ed,min}	Armature	c	d	M _{Rd}	FS
		[mm]	[mm]	[kNm]	[kNm]	[kN]		[mm]	[mm]	[kNm]	[-]
Paramento	monte	1000	1050	333,0	-	105,8	φ18/20	50	1000	531,3	1,60
	valle						φ14/20				
Fondazione	Superiore	1000	1000	302,2	-		φ18/20	50	950	557,9	1,85
	Inferiore						φ18/20				
Fondazione (ripartitori)	Superiore	1000	1000			319,5	φ18/20	50	950	557,9	1,75
	Inferiore						φ18/20				

Tabella 50: verifica a pressoflessione

Per il paramento le verifiche a taglio sono condotte con riferimento ad elementi in c.a. non armati a taglio, tuttavia si prevedono **ganci Φ12/40x40**.

Elemento	Geometrie				Armatura long. tesa			Sollecitazioni di Calcolo		TAGLIO RESISTENTE ELEMENTI SENZA ARMATURA A TAGLIO							
	b _w (mm)	H (mm)	c (mm)	d (mm)	n	Ø	A _s (mm ²)	N _{sd} (KN)	V _{sd} (KN)	σ _{cp} (Mpa)	ρ _l	k	f _{ck} (Mpa)	v _{min}	V _{Rdmin} (KN)	V _{Ret} (KN)	F.S.
Paramento	1000	1050	50	1000	5	18	1271,7	0	153,41	0	0,001	1,45	33,2	0,35	351,10	280,69	1,83
Fondazione	1000	1000	50	950	5	20	1570	0	1384,12	0	0,002	1,46	33,2	0,36	337,57	293,32	0,21

Tabella 51: verifica per elementi non armati a taglio

Per la piastra di fondazione la verifica a taglio risulta essere soddisfatta considerando **staffe Φ16/40x20**.

Elemento	Armature trasversali				Inclinazione Bielle Compresse					Taglio Compressione		Taglio Trazione		risultati
	n _b	Ø	p (mm)	A _{sw} (mm ²)	α°	θ°	ctg θ	σ _{cp} (Mpa)	α _c	f' _{cd} (Mpa)	V _{Rcd} (KN)	V _{Rsd} (KN)	V _{rd}	F.S.
Fondazione	2,5	16	200	502,4	90	21,8	2,5	0	1	18,81	2773,34	2101,05	2101,05	1,52

Tabella 52: verifica a taglio della fondazione

Si riportano le verifiche tensionali e a fessurazione del paramento:

Verifica delle tensioni	I _p	N _{Ed}	M _{Ed,y}	M _{Ed,x}	CLS 32/40					ACCIAIO B450C				
					σ _{c,y}	σ _{c,x}	σ _{c,max} = 0,6 f _{ck}	FS _y	FS _x	σ _{t,y}	σ _{t,x}	σ _{t,max} = 0,8 f _{yk}	FS _y	FS _x
					[Mpa]	[Mpa]	[Mpa]	[-]	[-]	[Mpa]	[Mpa]	[Mpa]	[-]	[-]
Combinazione rara	Param.	93,7	254,9	-	4,8		19,2	3,99	-	186,0	-	360,0	1,94	-
	Fond.	-	278,0	315,4	4,7	5,3	19,2	4,10	3,62	197,0	223,0	360,0	1,83	1,61

Tabella 53. verifica tensionale combinazione rara

Verifica delle tensioni	I _p	N _{Ed}	M _{Ed,y}	M _{Ed,x}	CLS 32/40				
					σ _{c,y}	σ _{c,x}	σ _{c,max} = 0,45 f _{ck}	FS _y	FS _x
					[Mpa]	[Mpa]	[Mpa]	[-]	[-]
Combinazione quasi permanente	paramento	93,7	192,4	-	3,6	-	14,4	4,00	-
	fondazione	0,0	253,1	280,3	4,3	4,7	14,4	3,38	3,06

Tabella 54. verifica tensionale combinazione quasi permanente

Verifica a fessurazione	I _p	N _{Ed}	M _{Ed,y}	M _{Ed,x}	w _{f,y}	w _{f,x}	w ₁	FS _y	FS _x
								[-]	[-]
								[mm]	[mm]
Combinazione quasi permanente	paramento	93,7	192,4	0,0	-	-	0,200		
	fondazione	0,0	253,1	280,3	-	0,171	0,200		1,17

Tabella 55: verifica a fessurazione combinazione quasi permanente

9.3.3 Sollecitazioni in testa ai pali

Le sollecitazioni provenienti dal muro vengono ripartite sui pali restituendo le sollecitazioni nei pali in termini di taglio, momento e sforzo normale.

Gli scarichi sui pali vengono determinati mediante il metodo delle rigidità.

La piastra di fondazione viene considerata infinitamente rigida (3 gradi di libertà) ed i pali vengono considerati incernierati a tale piastra.

Lo sforzo normale nei pali è calcolato come segue:

$$N_i = \frac{N_{Ed}}{n}$$

Si fa notare, quindi, che le sollecitazioni a testa palo non dipendono dalla lunghezza dei pali o dal terreno di fondazione.

Le azioni derivanti da questo modello vengono confrontate con le curve di capacità portante dei pali di fondazione.

Mentre le azioni di taglio sono suddivise equamente tra i pali come di seguito riportato:

$$V_i = \frac{V_{Ed}}{n}$$

In definitiva, gli scarichi a testa palo sono pari a quanto di seguito riportato.

Simbologia adottata

Cmb	Indice/Tipo combinazione
Ip	Indice palo
N	Sforzo normale, espresso in [kN]
M	Momento, espresso in [kNm]
T	Taglio, espresso in [kN]

Cmb	Ip	N	M	T
		[kN]	[kNm]	[kN]
1 - STR (A1-M1-R3)	1	848,97	0	-277,65
	2	907,51	0	-277,65
2 - STR (A1-M1-R3) H + V	1	551,89	0	-388,08
	2	1121,26	0	-388,08
3 - STR (A1-M1-R3) H - V	1	331,64	0	-367,5
	2	982,09	0	-367,5
7 - SLER	1	847,12	0	-212,02
	2	795,02	0	-212,02
8 - SLEF	1	822,83	0	-201,92
	2	769,36	0	-201,92
9 - SLEQ	1	749,95	0	-171,62
	2	692,4	0	-171,62

Tabella 56: Scarichi in testa ai pali

Per la valutazione del momento flettente a testa palo si è utilizzata la teoria di Matlock e Reese per la quale il momento agente a quota testa pali è direttamente proporzionale al taglio mediante un coefficiente α (espresso in metri) “coefficiente di Matlock e Reese”:

$$M_i(V_{Ed}) = \alpha \frac{V_{Ed}}{n}$$

Il coefficiente α dipende principalmente dalle caratteristiche di rigidità relative palo-terreno e, generalmente, fornisce un valore del momento sollecitante conservativo. Fissato il diametro del palo, D, α dipende quindi dalla rigidità del terreno.

Nel caso in esame si ha:

PALI D800
$\alpha = 1.53 \text{ m}$

Tabella 57: parametro α

Vengono riportate nella tabella che segue le sollecitazioni in testa ai pali.

Combinazione	Ip	V	α	M	N
	[-]	[kN]	[m]	[kNm]	[kN]
	1	277,7	1,530	424,8	849,0

SLU - STR (A1-M1-R3)	2	277,7	1,530	424,8	907,5
SLU - STR (A1-M1-R3) H + V	1	388,1	1,530	593,8	551,9
	2	388,1	1,530	593,8	1121,3
SLU - STR (A1-M1-R3) H - V	1	367,5	1,530	562,3	331,6
	2	367,5	1,530	562,3	982,1
SLE - Rara	1	212,0	1,530	324,4	847,1
	2	212,0	1,530	324,4	795,0
SLE - Frequente	1	201,9	1,530	308,9	822,8
	2	201,9	1,530	308,9	769,4
SLE - Quasi Permanente	1	171,6	1,530	262,6	750,0
	2	171,6	1,530	262,6	692,4

Tabella 58: sollecitazioni in testa ai pali

9.3.4 Verifiche strutturali pali

Per i pali di fondazione di diametro D=800mm si prevedono le seguenti armature:

gabbia 24 ϕ 26 e staffa a spirale ϕ 16/20;

Ai fini delle verifiche si è fatto riferimento per i pali ad un copriferro di calcolo (asse armature) pari a 8.9cm

9.3.4.1 Verifiche SLU-Pressoflessione

Occorre osservare che la determinazione dell'armatura nei pali di fondazione dipende anche dal soddisfacimento della verifica a carico limite orizzontale (Broms) riportata al paragrafo 9.2.5.2.

Si riporta in seguito la verifica a presso-flessione.

Verifica a pressoflessione	I _p	M _{Ed}	N _{Ed}	M _{Rd}	FS
	[-]	[kNm]	[kN]	[kNm]	[-]
SLU - STR (A1-M1-R3)	1	424,8	849,0	1349,9	3,18
	2	424,8	907,5	1355,9	3,19
SLU - STR (A1-M1-R3) H + V	1	593,8	551,9	1316,7	2,22
	2	593,8	1121,3	1376,2	2,32
SLU - STR (A1-M1-R3) H - V	1	562,3	331,6	1289,3	2,29
	2	562,3	982,1	1363,3	2,42

Tabella 59: Verifica a pressoflessione

9.3.4.2 Taglio

Le verifiche a taglio sono state condotte con riferimento ad elementi in c.a. armati a taglio, avendo assunto come inclinazione del puntone compresso $\theta = 45^\circ$.

Verifica a taglio ($\theta = 45^\circ$)	I_p	N_{Ed}	V_{Ed}	V_{Rsd}	V_{Rcd}	$V_{Rd} = \min(V_{Rsd}, V_{Rcd})$	FS
	[-]	[kN]	[kN]	[kN]	[kN]	[kN]	[-]
SLU - STR (A1-M1-R3)	1	849,0	277,7	511,9	1991,1	511,9	1,84
	2	907,5	277,7	511,9	1991,1	511,9	1,84
SLU - STR (A1-M1-R3) H + V	1	551,9	388,1	511,9	1991,1	511,9	1,32
	2	1121,3	388,1	511,9	1991,1	511,9	1,32
SLU - STR (A1-M1-R3) H - V	1	331,6	367,5	511,9	1991,1	511,9	1,39
	2	982,1	367,5	511,9	1991,1	511,9	1,39

Tabella 60: verifica a taglio

9.3.4.3 Verifiche SLE

Si riportano le verifiche tensionali e a fessurazione dei pali realizzate mediante il software PressFle.

Verifica delle tensioni	CLS 25/30				ACCIAIO B450C			
	N_{Ed}	M_{Ed}	σ_c	$\sigma_{c,max} = 0,6 f_{ck}$	FS	σ_f	$\sigma_{f,max} = 0,8 f_{yk}$	FS
	[kN]	[kNm]	[Mpa]	[Mpa]	[-]	[Mpa]	[Mpa]	[-]
SLE - Rara	847,1	324,4	9,3	15,0	1,62	55,8	360,0	6,45

Verifica delle tensioni	CLS C25/30				
	N_{Ed}	M_{Ed}	σ_c	$\sigma_{c,max} = 0,45 f_{ck}$	FS
	[kN]	[kNm]	[Mpa]	[Mpa]	[-]
SLE - Quasi Permanente	692,4	263	7,5	11,3	1,50

Tabella 61: verifica limitazione tensioni

Verifica a fessurazione	N_{Ed}	M_{Ed}	w_f	w_1	FS
	[kN]	[kNm]	[mm]	[mm]	[-]
SLE - Quasi Permanente	692,4	262,6	0,028	0,200	7,25
SLE - Frequente	822,8	308,9	0,032	0,300	9,35

Figura 35: verifica a fessurazione

9.3.5 Verifiche geotecniche pali

9.3.5.1 Verifica di capacità portante nei confronti dei carichi verticali

La determinazione della lunghezza dei pali è il risultato della verifica di capacità portante che si riporta nella seguente tabella:

Tabella 62: Verifica di capacità portante nei confronti dei carichi verticali- SLU

Capacità portante nei confronti dei carichi verticali di compressione - SLU							
L_p	Q_{II}	Q_{bI}	W_p	Q_u	Q_d	N_{max}	FS
[m]	[kN]	[kN]	[kN]	[kN]	[kN]	[kN]	[-]
0	0	371	0	371	161	1121	0,14
0,5	7	375	3	380	164	1121	0,15
1	17	380	5	392	169	1121	0,15

1,5	29	385	8	406	174	1121	0,16
2	44	389	10	423	182	1121	0,16
2,5	62	394	13	443	190	1121	0,17
3	83	382	15	450	194	1121	0,17
3,5	106	371	18	460	198	1121	0,18
4	133	360	20	473	204	1121	0,18
4,5	162	349	23	488	212	1121	0,19
5	193	338	25	505	220	1121	0,20
5,5	222	359	28	553	242	1121	0,22
6	252	380	30	602	264	1121	0,24
6,5	283	401	33	652	286	1121	0,26
7	317	422	35	704	310	1121	0,28
7,5	352	443	38	758	335	1121	0,30
8	389	464	40	813	360	1121	0,32
8,5	427	486	43	870	386	1121	0,34
9	468	507	45	929	414	1121	0,37
9,5	510	528	48	990	442	1121	0,39
10	553	549	50	1052	471	1121	0,42
10,5	599	570	53	1116	501	1121	0,45
11	646	543	55	1134	510	1121	0,45
11,5	695	516	58	1153	521	1121	0,46
12	745	489	60	1174	532	1121	0,47
12,5	798	461	63	1196	545	1121	0,49
13	851	434	65	1220	557	1121	0,50
13,5	899	452	68	1284	588	1121	0,52
14	949	470	70	1349	618	1121	0,55
14,5	1001	489	73	1417	650	1121	0,58
15	1054	507	75	1486	683	1121	0,61
15,5	1110	525	78	1557	717	1121	0,64
16	1168	543	80	1630	751	1121	0,67
16,5	1227	561	83	1705	787	1121	0,70
17	1288	579	85	1782	824	1121	0,73
17,5	1352	597	88	1861	861	1121	0,77
18	1417	615	90	1942	900	1121	0,80
18,5	1484	633	93	2025	940	1121	0,84
19	1554	651	96	2110	980	1121	0,87
19,5	1625	670	98	2196	1022	1121	0,91
20	1698	688	101	2285	1065	1121	0,95
20,5	1773	706	103	2376	1108	1121	0,99
21	1850	715	106	2460	1149	1121	1,02
21,5	1929	724	108	2545	1191	1121	1,06
22	2010	733	111	2633	1234	1121	1,10

22,5	2093	743	113	2723	1278	1121	1,14
23	2175	752	116	2811	1321	1121	1,18

In accordo con la curva di capacità portante ottenuta, si evidenzia la lunghezza dei pali utilizzata, pari a 23 m.

9.3.5.2 Verifica di capacità portante nei confronti dei carichi orizzontali

Nel seguito si riportano i risultati riguardanti la verifica di capacità portante nei confronti dei carichi orizzontali dei pali all'SLU, secondo la teoria di Broms descritta nel § 6.1.5.

Verifica di capacità portante H	I _p	V _{Ed}	N _{Ed}	M _{Rd}	H _d	F _d	FS
	[-]	[kN]	[kN]	[kNm]	[kN]	[kN]	[-]
SLU - STR (A1-M1-R3)	1	277,7	849,0	1349,9	444,3	277,7	1,60
	2	277,7	907,5	1355,9	444,3	277,7	1,60
SLU - STR (A1-M1-R3) H + V	1	388,1	551,9	1316,7	444,3	388,1	1,14
	2	388,1	1121,3	1376,2	454,7	388,1	1,17
SLU - STR (A1-M1-R3) H - V	1	367,5	331,6	1289,3	434,0	367,5	1,18
	2	367,5	982,1	1363,3	454,7	367,5	1,24

Tabella 63: Verifica di capacità portante nei confronti dei carichi orizzontali – SLU

10 TABULATI DI CALCOLO

10.1 MURO TIPOLOGICO 02 (H=3m-fondazione diretta)

10.1.1 Combinazione statica e sismica

Dati

Materiali

Simbologia adottata

n°	Indice materiale
Descr	Descrizione del materiale
Calcestruzzo armato	
C	Classe di resistenza del cls
A	Classe di resistenza dell'acciaio
γ	Peso specifico, espresso in [kN/mc]
R _{ck}	Resistenza caratteristica a compressione, espressa in [kPa]
E	Modulo elastico, espresso in [kPa]
ν	Coeff. di Poisson
n	Coeff. di omogenizzazione acciaio/cls
ntc	Coeff. di omogenizzazione cls teso/compresso

Calcestruzzo armato

n°	Descr	C	A	γ [kN/mc]	R _{ck} [kPa]	E [kPa]	ν	n	ntc
1	C32/40	C32/40	B450C	25,0000	40000	33642648	0.30	15.00	0.50
2	Materiale tiranti	Rck 250	Precomp	24,5170	24517	30073438	0.30	15.00	0.50

Acciai

Descr	f_{yk} [kPa]	f_{uk} [kPa]
B450C	450000	540000

Geometria profilo terreno a monte del muro

Simbologia adottata

(Sistema di riferimento con origine in testa al muro, ascissa X positiva verso monte, ordinata Y positiva verso l'alto)

n°	numero ordine del punto
X	ascissa del punto espressa in [m]
Y	ordinata del punto espressa in [m]
A	inclinazione del tratto espressa in [°]

n°	X [m]	Y [m]	A [°]
1	0,00	0,00	0.000
2	10,00	0,00	0.000

Inclinazione terreno a valle del muro rispetto all'orizzontale 0.000 [°]

Geometria muro

Geometria paramento e fondazione

Lunghezza muro	10,00	[m]
<u>Paramento</u>		
Materiale	C32/40	
Altezza paramento	3,00	[m]
Altezza paramento libero	2,50	[m]
Spessore in sommità	0,55	[m]
Spessore all'attacco con la fondazione	0,85	[m]
Inclinazione paramento esterno	0,00	[°]
Inclinazione paramento interno	5,70	[°]
<u>Mensola di marciapiede</u>		
Posizione rispetto alla testa del muro	0,00	[m]
Lunghezza	0,15	[m]
Spessore all'estremità libera	0,50	[m]
Spessore all'incastro	0,50	[m]
<u>Fondazione</u>		
Materiale	C32/40	
Lunghezza mensola di valle	0,80	[m]
Lunghezza mensola di monte	2,35	[m]
Lunghezza totale	4,00	[m]
Inclinazione piano di posa	0,00	[°]
Spessore	1,00	[m]
Spessore magrone	0,00	[m]

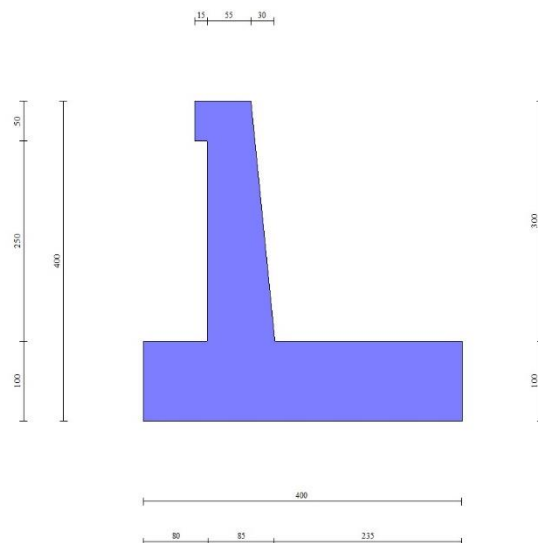


Fig. 1 - Sezione quotata del muro

Descrizione terreni

Parametri di resistenza

Simbologia adottata

n°	Indice del terreno
Descr	Descrizione terreno
γ	Peso di volume del terreno espresso in [kN/mc]
γ_s	Peso di volume saturo del terreno espresso in [kN/mc]
ϕ	Angolo d'attrito interno espresso in [°]
δ	Angolo d'attrito terra-muro espresso in [°]
c	Coesione espressa in [kPa]
ca	Adesione terra-muro espressa in [kPa]
<u>Per calcolo portanza con il metodo di Bustamante-Doix</u>	
Cesp	Coeff. di espansione laterale (solo per il metodo di Bustamante-Doix)
τ_l	Tensione tangenziale limite, espressa in [kPa]

n°	Descr	γ [kN/mc]	γ_{sat} [kN/mc]	ϕ [°]	δ [°]	c [kPa]	ca [kPa]	Cesp	τ_l [kPa]
1	Rilevato stradale	20,0000	20,0000	35.000	23.330	0	0	---	---
2	terreno di riporto	18,0000	18,0000	28.000	28.000	0	0	---	---

Parametri di deformabilità

Simbologia adottata

n°	Indice del terreno
Descr	Descrizione terreno
E	Modulo elastico, espresso in [kPa]
ν	Coeff. di Poisson
Ed	Modulo edometrico, espresso in [kPa]
CR	Rapporto di compressione
RR	Rapporto di ricomprensione
OCR	Grado di sovraconsolidazione

n°	Descr	E [kPa]	ν	Ed [kPa]	CR	RR	OCR
1	Rilevato stradale	50000	0.300	0	0.000	0.000	1.000
2	terreno di riporto	20000	0.300	0	0.000	0.000	1.000

Stratigrafia

Simbologia adottata

n°	Indice dello strato
H	Spessore dello strato espresso in [m]
α	Inclinazione espressa in [°]
Terreno	Terreno dello strato
<u>Per calcolo pali (solo se presenti)</u>	
Kw	Costante di Winkler orizzontale espressa in Kg/cm ² /cm
Ks	Coefficiente di spinta
Cesp	Coefficiente di espansione laterale (per tutti i metodi tranne il metodo di Bustamante-Doix)

Per calcolo della spinta con coeff. di spinta definiti (usati solo se attiva l'opzione 'Usa coeff. di spinta da strato')

Kststa, Kstsis Coeff. di spinta statico e sismico

n°	H [m]	α [°]	Terreno	Kw [Kg/cm ²]	Ks	Cesp	Kststa	Kstsis
1	4,00	0.000	Rilevato stradale	---	---	---	---	---
2	5,00	0.000	terreno di riporto	---	---	---	---	---

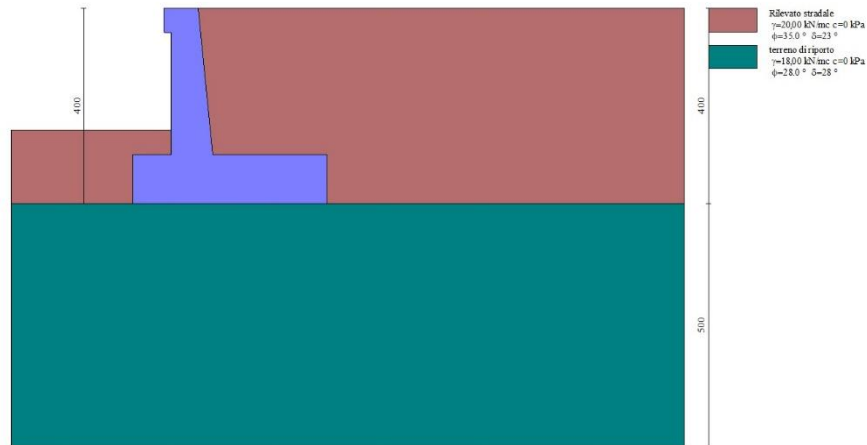


Fig. 2 - Stratigrafia

Condizioni di carico

Simbologia adottata

Carichi verticali positivi verso il basso.

Carichi orizzontali positivi verso sinistra.

Momento positivo senso antiorario.

- X Ascissa del punto di applicazione del carico concentrato espressa in [m]
- F_x Componente orizzontale del carico concentrato espressa in [kN]
- F_y Componente verticale del carico concentrato espressa in [kN]
- M Momento espresso in [kNm]
- X_i Ascissa del punto iniziale del carico ripartito espressa in [m]
- X_f Ascissa del punto finale del carico ripartito espressa in [m]
- Q_i Intensità del carico per x=X_i espressa in [kN]
- Q_f Intensità del carico per x=X_f espressa in [kN]

Condizione n° 1 (Pavimentazione) - PERMANENTE NS

Carichi sul terreno

n°	Tipo	X [m]	F _x [kN]	F _y [kN]	M [kNm]	X _i [m]	X _f [m]	Q _i [kN]	Q _f [kN]
1	Distribuito					0,00	10,00	2,5000	2,5000

Condizione n° 2 (Carichi stradali) - VARIABILE TF

Coeff. di combinazione $\Psi_0=0.75 - \Psi_1=0.75 - \Psi_2=0.00$

Carichi sul terreno

n°	Tipo	X [m]	F _x [kN]	F _y [kN]	M [kNm]	X _i [m]	X _f [m]	Q _i [kN]	Q _f [kN]
1	Distribuito					0,00	10,00	20,0000	20,0000

Normativa

Normativa usata: **Norme Tecniche sulle Costruzioni 2018 (D.M. 17.01.2018) + Circolare C.S.LL.PP. 21/01/2019 n.7**

Coeff. parziali per le azioni o per l'effetto delle azioni

Carichi	Effetto		Combinazioni statiche					Combinazioni sismiche		
			HYD	UPL	EQU	A1	A2	EQU	A1	A2
Permanenti strutturali	Favorevoli	$\gamma_{G1, fav}$	1.00	0.90	1.00	1.00	1.00	1.00	1.00	1.00
Permanenti strutturali	Sfavorevoli	$\gamma_{G1, sfav}$	1.00	1.10	1.30	1.30	1.00	1.00	1.00	1.00
Permanenti non strutturali	Favorevoli	$\gamma_{G2, fav}$	0.00	0.80	0.80	0.80	0.80	0.00	0.00	0.00
Permanenti non strutturali	Sfavorevoli	$\gamma_{G2, sfav}$	1.00	1.50	1.50	1.50	1.30	1.00	1.00	1.00
Variabili	Favorevoli	$\gamma_{Q, fav}$	0.00	0.00	0.00	0.00	0.00	0.00	0.00	0.00
Variabili	Sfavorevoli	$\gamma_{Q, sfav}$	1.00	1.50	1.50	1.50	1.30	1.00	1.00	1.00
Variabili da traffico	Favorevoli	$\gamma_{QT, fav}$	0.00	0.00	0.00	0.00	0.00	0.00	0.00	0.00
Variabili da traffico	Sfavorevoli	$\gamma_{QT, sfav}$	1.00	1.50	1.35	1.35	1.15	1.00	1.00	1.00

Coeff. parziali per i parametri geotecnici del terreno

Parametro		Combinazioni statiche		Combinazioni sismiche	
		M1	M2	M1	M2
Tangente dell'angolo di attrito	$\gamma_{\tan(\phi)}$	1.00	1.25	1.00	1.00
Coesione efficace	γ_c	1.00	1.25	1.00	1.00
Resistenza non drenata	γ_{cu}	1.00	1.40	1.00	1.00
Peso nell'unità di volume	γ_r	1.00	1.00	1.00	1.00

Coeff. parziali γ_R per le verifiche agli stati limite ultimi STR e GEO

Verifica	Combinazioni statiche			Combinazioni sismiche		
	R1	R2	R3	R1	R2	R3
Capacità portante	--	--	1.40	--	--	1.20
Scorrimento	--	--	1.10	--	--	1.00
Resistenza terreno a valle	--	--	1.40	--	--	1.20
Ribaltamento	--	--	1.15	--	--	1.00
Stabilità fronte di scavo	--	1.10	--	--	1.20	--

Descrizione combinazioni di carico

Con riferimento alle azioni elementari prima determinate, si sono considerate le seguenti combinazioni di carico:

- Combinazione fondamentale, impiegata per gli stati limite ultimi (SLU):

$$\gamma_{G1} G_1 + \gamma_{G2} G_2 + \gamma_{Q1} Q_{k1} + \gamma_{Q2} Q_{k2} + \gamma_{Q3} Q_{k3} + \dots$$

- Combinazione caratteristica, cosiddetta rara, impiegata per gli stati limite di esercizio (SLE) irreversibili:

$$G_1 + G_2 + Q_{k1} + \Psi_{0,2} Q_{k2} + \Psi_{0,3} Q_{k3} + \dots$$

- Combinazione frequente, impiegata per gli stati limite di esercizio (SLE) reversibili:

$$G_1 + G_2 + \Psi_{1,1} Q_{k1} + \Psi_{2,2} Q_{k2} + \Psi_{2,3} Q_{k3} + \dots$$

- Combinazione quasi permanente, impiegata per gli effetti di lungo periodo:

$$G_1 + G_2 + \Psi_{2,1} Q_{k1} + \Psi_{2,2} Q_{k2} + \Psi_{2,3} Q_{k3} + \dots$$

- Combinazione sismica, impiegata per gli stati limite ultimi connessi all'azione sismica E:

$$E + G_1 + G_2 + \Psi_{2,1} Q_{k1} + \Psi_{2,2} Q_{k2} + \Psi_{2,3} Q_{k3} + \dots$$

I valori dei coeff. $\Psi_{0,j}$, $\Psi_{1,j}$, $\Psi_{2,j}$ sono definiti nelle singole condizioni variabili, per i valori dei coeff. γ_G e γ_Q , sono definiti nella tabella normativa.

In particolare si sono considerate le seguenti combinazioni:

Simbologia adottata

γ Coefficiente di partecipazione della condizione
 Ψ Coefficiente di combinazione della condizione

Combinazione n° 1 - STR (A1-M1-R3)

Condizione	γ	Ψ	Effetto
Peso muro	1.00	--	Favorevole
Peso terrapieno	1.00	--	Favorevole
Spinta terreno	1.30	--	Sfavorevole
Pavimentazione	1.50	--	Sfavorevole
Carichi stradali	1.35	1.00	Sfavorevole

Combinazione n° 2 - STR (A1-M1-R3) H + V

Condizione	γ	Ψ	Effetto
Peso muro	1.00	--	Favorevole

Condizione	γ	Ψ	Effetto
Peso terrapieno	1.00	--	Favorevole
Spinta terreno	1.00	--	Sfavorevole
Pavimentazione	1.00	--	Sfavorevole

Combinazione n° 3 - STR (A1-M1-R3) H - V

Condizione	γ	Ψ	Effetto
Peso muro	1.00	--	Sfavorevole
Peso terrapieno	1.00	--	Sfavorevole
Spinta terreno	1.00	--	Sfavorevole
Pavimentazione	1.00	--	Sfavorevole

Combinazione n° 4 - GEO (A2-M2-R2)

Condizione	γ	Ψ	Effetto
Peso muro	1.00	--	Sfavorevole
Peso terrapieno	1.00	--	Sfavorevole
Spinta terreno	1.00	--	Sfavorevole
Pavimentazione	1.30	--	Sfavorevole
Carichi stradali	1.15	1.00	Sfavorevole

Combinazione n° 5 - GEO (A2-M2-R2) H + V

Condizione	γ	Ψ	Effetto
Peso muro	1.00	--	Sfavorevole
Peso terrapieno	1.00	--	Sfavorevole
Spinta terreno	1.00	--	Sfavorevole
Pavimentazione	1.00	--	Sfavorevole

Combinazione n° 6 - GEO (A2-M2-R2) H - V

Condizione	γ	Ψ	Effetto
Peso muro	1.00	--	Sfavorevole
Peso terrapieno	1.00	--	Sfavorevole
Spinta terreno	1.00	--	Sfavorevole
Pavimentazione	1.00	--	Sfavorevole

Combinazione n° 7 - EQU (A1-M1-R3)

Condizione	γ	Ψ	Effetto
Peso muro	1.00	--	Favorevole
Peso terrapieno	1.00	--	Favorevole
Spinta terreno	1.30	--	Sfavorevole
Pavimentazione	1.50	--	Sfavorevole
Carichi stradali	1.35	1.00	Sfavorevole

Combinazione n° 8 - EQU (A1-M1-R3) H + V

Condizione	γ	Ψ	Effetto
Peso muro	1.00	--	Favorevole
Peso terrapieno	1.00	--	Favorevole
Spinta terreno	1.00	--	Sfavorevole
Pavimentazione	1.00	--	Sfavorevole

Combinazione n° 9 - EQU (A1-M1-R3) H - V

Condizione	γ	Ψ	Effetto
Peso muro	1.00	--	Favorevole
Peso terrapieno	1.00	--	Favorevole
Spinta terreno	1.00	--	Sfavorevole
Pavimentazione	1.00	--	Sfavorevole

Combinazione n° 10 - SLER

Condizione	γ	Ψ	Effetto
Peso muro	1.00	--	Sfavorevole
Peso terrapieno	1.00	--	Sfavorevole
Spinta terreno	1.00	--	Sfavorevole
Pavimentazione	1.00	--	Sfavorevole
Carichi stradali	1.00	1.00	Sfavorevole

Combinazione n° 11 - SLEF

Condizione	γ	Ψ	Effetto
Peso muro	1.00	--	Sfavorevole
Peso terrapieno	1.00	--	Sfavorevole
Spinta terreno	1.00	--	Sfavorevole
Pavimentazione	1.00	--	Sfavorevole
Carichi stradali	1.00	0.75	Sfavorevole

Combinazione n° 12 - SLEQ

Condizione	γ	Ψ	Effetto
Peso muro	1.00	--	Sfavorevole
Peso terrapieno	1.00	--	Sfavorevole
Spinta terreno	1.00	--	Sfavorevole
Pavimentazione	1.00	--	Sfavorevole

Dati sismici

Comune	Roma
Provincia	Roma
Regione	Lazio
Latitudine	41.933189
Longitudine	12.601168
Indice punti di interpolazione	28292 - 28070 - 28069 - 28291
Vita nominale	50 anni
Classe d'uso	IV
Tipo costruzione	Normali affollamenti
Vita di riferimento	100 anni

	Simbolo	U.M.	SLU	SLE
Accelerazione al suolo	a_g	[m/s ²]	1.785	0.814
Accelerazione al suolo	a_g/g	[%]	0.182	0.083
Massimo fattore amplificazione spettro orizzontale	F0		2.572	2.489
Periodo inizio tratto spettro a velocità costante	Tc*		0.290	0.279
Tipo di sottosuolo - Coefficiente stratigrafico	Ss		C	1.419
Categoria topografica - Coefficiente amplificazione topografica	St		T1	1.000

Stato limite ...	Coeff. di riduzione β_m	kh	kv
Ultimo	0.380	9.811	4.906
Ultimo - Ribaltamento	0.570	14.717	7.359
Esercizio	0.470	5.850	2.925

Forma diagramma incremento sismico **Stessa forma del diagramma statico**

Opzioni di calcolo

Spinta

Metodo di calcolo della spinta	Culmann
Tipo di spinta	Spinta attiva
Terreno a bassa permeabilità	NO
Superficie di spinta limitata	NO

Capacità portante

Metodo di calcolo della portanza	Meyerhof
Criterio di media calcolo del terreno equivalente (terreni stratificati)	Ponderata
Criterio di riduzione per eccentricità della portanza	Meyerhof
Criterio di riduzione per rottura locale (punzonamento)	Nessuna
Larghezza fondazione nel terzo termine della formula del carico	limite (0.5B γ_{N_i}) Larghezza ridotta (B')
Fattori di forma e inclinazione del carico	Solo i fattori di inclinazione
Se la fondazione ha larghezza superiore a 2.0 m viene applicato	il fattore di riduzione per comportamento a piastra

Stabilità globale

Metodo di calcolo della stabilità globale	Bishop
---	--------

Altro

Partecipazione spinta passiva terreno antistante	0.00
Partecipazione resistenza passiva dente di fondazione	50.00
Componente verticale della spinta nel calcolo delle sollecitazioni	NO
Considera terreno sulla fondazione di valle	NO
Considera spinta e peso acqua fondazione di valle	NO

Spostamenti

Non è stato richiesto il calcolo degli spostamenti

Cedimenti

Metodo di calcolo delle tensioni	Boussinesq
Metodo di calcolo dei cedimenti	Elastico
Profondità calcolo cedimenti	Automatica
ΔH massima suddivisione strati	0,50 [m]

Risultati per combinazione

Spinta e forze

Simbologia adottata

Ic	Indice della combinazione
A	Tipo azione
I	Inclinazione della spinta, espressa in [°]
V	Valore dell'azione, espressa in [kN]
Cx, Cy	Componente in direzione X ed Y dell'azione, espressa in [kN]
Px, Py	Coordinata X ed Y del punto di applicazione dell'azione, espressa in [m]

Ic	A	V [kN]	I [°]	Cx [kN]	Cy [kN]	Px [m]	Py [m]				
1	Spinta statica	80,90	23,33	74,29	32,04	2,65	-2,42				
	Peso/Inerzia muro							0,00	154,34/0,00	0,35	-2,82
	Peso/Inerzia terrapieno							0,00	231,45/0,00	1,37	-1,46
2	Spinta statica	41,55	23,33	38,15	16,46	2,65	-2,63				
	Incremento di spinta sismica							11,25	4,85	2,65	-2,67
	Peso/Inerzia muro							15,14	154,34/7,57	0,35	-2,82
	Peso/Inerzia terrapieno							15,37	156,61/7,68	1,40	-1,47
3	Spinta statica	41,55	23,33	38,15	16,46	2,65	-2,63				
	Incremento di spinta sismica							8,29	3,28	2,65	-2,67
	Peso/Inerzia muro							15,14	154,34/-7,57	0,35	-2,82
	Peso/Inerzia terrapieno							15,37	156,61/-7,68	1,40	-1,47
10	Spinta statica	61,10	23,33	56,11	24,20	2,65	-2,43				
	Peso/Inerzia muro							0,00	154,34/0,00	0,35	-2,82
	Peso/Inerzia terrapieno							0,00	209,60/0,00	1,38	-1,46
11	Spinta statica	56,22	23,33	51,62	22,26	2,65	-2,46				
	Peso/Inerzia muro							0,00	154,34/0,00	0,35	-2,82
	Peso/Inerzia terrapieno							0,00	196,35/0,00	1,38	-1,46
12	Spinta statica	41,55	23,33	38,15	16,46	2,65	-2,63				
	Peso/Inerzia muro							0,00	154,34/0,00	0,35	-2,82
	Peso/Inerzia terrapieno							0,00	156,61/0,00	1,40	-1,47

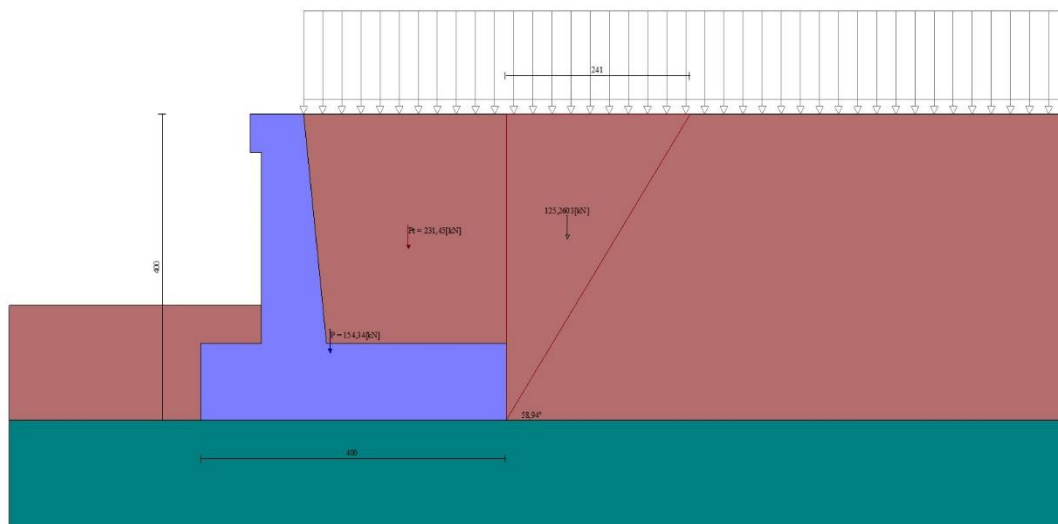


Fig. 3 - Cuneo di spinta (combinazione statica) (Combinazione n° 1)

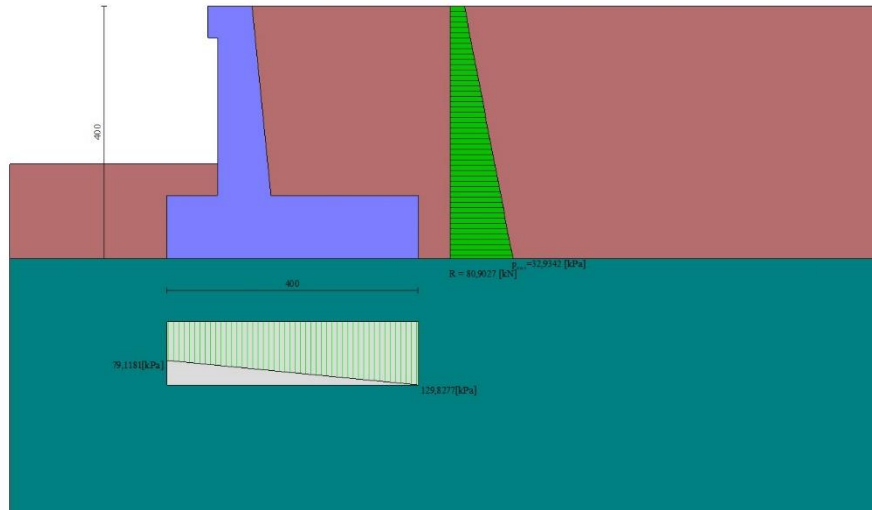


Fig. 4 - Diagramma delle pressioni (combinazione statica) (Combinazione n° 1)

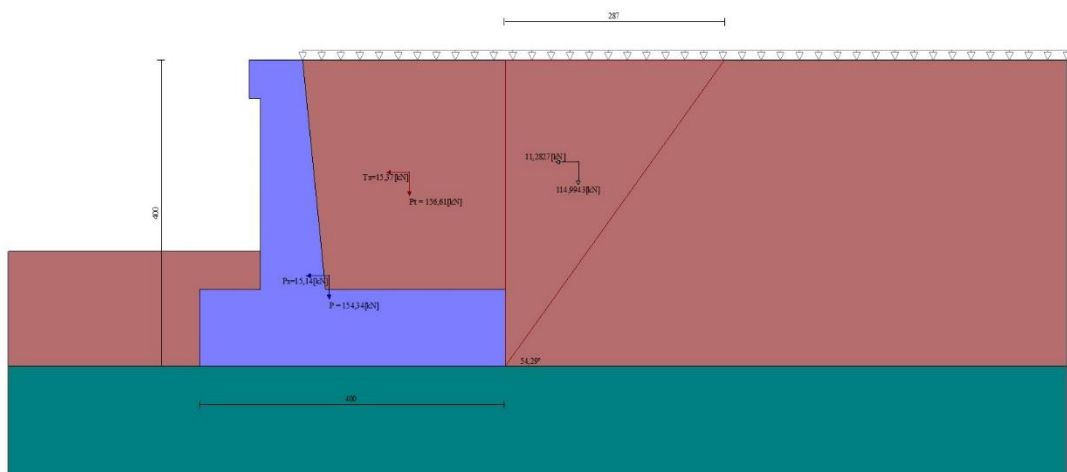


Fig. 5 - Cuneo di spinta (combinazione sismica) (Combinazione n° 2)

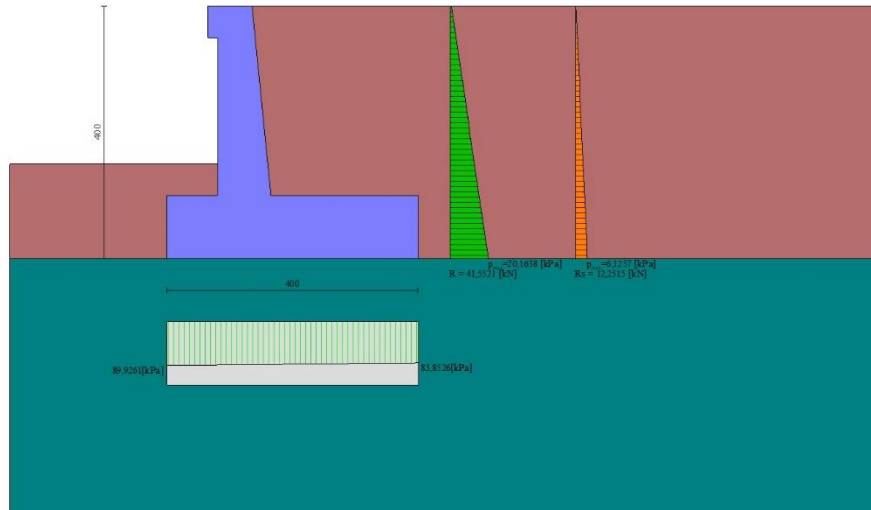


Fig. 6 - Diagramma delle pressioni (combinazione sismica) (Combinazione n° 2)

Risultanti globali

Simbologia adottata

Cmb	Indice/Tipo combinazione
N	Componente normale al piano di posa, espressa in [kN]
T	Componente parallela al piano di posa, espressa in [kN]
Mr	Momento ribaltante, espresso in [kNm]
M _s	Momento stabilizzante, espresso in [kNm]
ecc	Eccentricità risultante, espressa in [m]

Ic	N [kN]	T [kN]	Mr [kNm]	M _s [kNm]	ecc [m]
1 - STR (A1-M1-R3)	417,83	74,29	117,46	1020,60	-0,162
2 - STR (A1-M1-R3)	347,51	79,91	124,18	811,01	0,023
3 - STR (A1-M1-R3)	315,43	76,28	153,28	770,80	0,042
4 - GEO (A2-M2-R2)	400,35	76,74	122,60	966,41	-0,108
5 - GEO (A2-M2-R2)	347,51	79,91	124,18	811,01	0,023
6 - GEO (A2-M2-R2)	315,43	76,28	153,28	770,80	0,042
7 - EQU (A1-M1-R3)	417,83	74,29	117,46	1020,60	-0,162
8 - EQU (A1-M1-R3)	357,89	101,55	161,10	838,99	0,106
9 - EQU (A1-M1-R3)	309,88	96,35	205,07	779,10	0,147
10 - SLER	388,13	56,11	88,28	930,66	-0,171
11 - SLEF	372,95	51,62	79,31	887,41	-0,167
12 - SLEQ	327,40	38,15	52,37	757,66	-0,154

Verifiche geotecniche

Quadro riassuntivo coeff. di sicurezza calcolati

Simbologia adottata

Cmb	Indice/Tipo combinazione
S	Sisma (H: componente orizzontale, V: componente verticale)
FS _{SCO}	Coeff. di sicurezza allo scorrimento
FS _{RIB}	Coeff. di sicurezza al ribaltamento
FS _{QLIM}	Coeff. di sicurezza a carico limite
FS _{STAB}	Coeff. di sicurezza a stabilità globale
FS _{HYD}	Coeff. di sicurezza a sifonamento
FS _{SUPL}	Coeff. di sicurezza a sollevamento

Cmb	Sismica	FS _{SCO}	FS _{RIB}	FS _{QLIM}	FS _{STAB}	FS _{HYD}	FS _{SUPL}
1 - STR (A1-M1-R3)		2.991		3.785			
2 - STR (A1-M1-R3)	H + V	2.312		4.505			
3 - STR (A1-M1-R3)	H - V	2.199		4.655			
4 - GEO (A2-M2-R2)					1.908		
5 - GEO (A2-M2-R2)	H + V				2.253		
6 - GEO (A2-M2-R2)	H - V				2.195		
7 - EQU (A1-M1-R3)			8.689				
8 - EQU (A1-M1-R3)	H + V		5.208				
9 - EQU (A1-M1-R3)	H - V		3.799				

Verifica a scorrimento fondazione

Simbologia adottata

n°	Indice combinazione
Rsa	Resistenza allo scorrimento per attrito, espresso in [kN]
Rpt	Resistenza passiva terreno antistante, espresso in [kN]
Rps	Resistenza passiva sperone, espresso in [kN]
Rp	Resistenza a carichi orizzontali pali (solo per fondazione mista), espresso in [kN]
Rt	Resistenza a carichi orizzontali tiranti (solo se presenti), espresso in [kN]
R	Resistenza allo scorrimento (somma di Rsa+Rpt+Rps+Rp), espresso in [kN]
T	Carico parallelo al piano di posa, espresso in [kN]
FS	Fattore di sicurezza (rapporto R/T)

n°	Rsa [kN]	Rpt [kN]	Rps [kN]	Rp [kN]	Rt [kN]	R [kN]	T [kN]	FS
1 - STR (A1-M1-R3)	222,17	0,00	0,00	--	--	222,17	74,29	2.991
2 - STR (A1-M1-R3) H + V	184,77	0,00	0,00	--	--	184,77	79,91	2.312
3 - STR (A1-M1-R3) H - V	167,72	0,00	0,00	--	--	167,72	76,28	2.199

Verifica a carico limite

Simbologia adottata

n°	Indice combinazione
N	Carico normale totale al piano di posa, espresso in [kN]
Qu	carico limite del terreno, espresso in [kN]
Qd	Portanza di progetto, espresso in [kN]
FS	Fattore di sicurezza (rapporto tra il carico limite e carico agente al piano di posa)

n°	N [kN]	Qu [kN]	Qd [kN]	FS
1 - STR (A1-M1-R3)	417,83	1581,58	1129,70	3.785
2 - STR (A1-M1-R3) H + V	347,51	1565,55	1304,62	4.505
3 - STR (A1-M1-R3) H - V	315,43	1468,33	1223,61	4.655

Dettagli calcolo portanza

Simbologia adottata

n°	Indice combinazione
Nc, Nq, Ny	Fattori di capacità portante
ic, iq, iy	Fattori di inclinazione del carico
dc, dq, dy	Fattori di profondità del piano di posa
gc, gq, gy	Fattori di inclinazione del profilo topografico
bc, bq, by	Fattori di inclinazione del piano di posa
sc, sq, sy	Fattori di forma della fondazione
pc, pq, py	Fattori di riduzione per punzonamento secondo Vesic
Re	Fattore di riduzione capacità portante per eccentricità secondo Meyerhof
Ir, Irc	Indici di rigidità per punzonamento secondo Vesic
r _γ	Fattori per tener conto dell'effetto piastra. Per fondazioni che hanno larghezza maggiore di 2 m, il terzo termine della formula trinomia 0.5B _y N _y viene moltiplicato per questo fattore
D	Affondamento del piano di posa, espresso in [m]
B'	Larghezza fondazione ridotta, espresso in [m]
H	Altezza del cuneo di rottura, espresso in [m]
γ	Peso di volume del terreno medio, espresso in [kN/mc]
φ	Angolo di attrito del terreno medio, espresso in [°]
c	Coesione del terreno medio, espresso in [kPa]

Per i coeff. che in tabella sono indicati con il simbolo '--' sono coeff. non presenti nel metodo scelto (Meyerhof).

n°	Nc Nq Ny	ic iq iy	dc dq dy	gc gq gy	bc bq by	sc sq sy	pc pq py	Ir	Irc	Re	r _γ
1	25.803	0.789	1.125	--	--	--	--	--	--	0.799	0.925
	14.720	0.789	1.062	--	--	--	--	--	--		
	11.190	0.410	1.062	--	--	--	--	--	--		
2	25.803	0.733	1.125	--	--	--	--	--	--	0.924	0.925
	14.720	0.733	1.062	--	--	--	--	--	--		
	11.190	0.289	1.062	--	--	--	--	--	--		
3	25.803	0.721	1.125	--	--	--	--	--	--	0.897	0.925
	14.720	0.721	1.062	--	--	--	--	--	--		
	11.190	0.265	1.062	--	--	--	--	--	--		

n°	D [m]	B' [m]	H [m]	γ [°]	φ [kN/mc]	c [kPa]
1	1,50	4,00	3,33	18,00	28,00	0
2	1,50	4,00	3,33	18,00	28,00	0
3	1,50	4,00	3,33	18,00	28,00	0

Verifica a ribaltamento

Simbologia adottata

n°	Indice combinazione
----	---------------------

Ms Momento stabilizzante, espresso in [kNm]
Mr Momento ribaltante, espresso in [kNm]
FS Fattore di sicurezza (rapporto tra momento stabilizzante e momento ribaltante)
La verifica viene eseguita rispetto allo spigolo inferiore esterno della fondazione

n°	Ms [kNm]	Mr [kNm]	FS
7 - EQU (A1-M1-R3)	1020,60	117,46	8.689
8 - EQU (A1-M1-R3) H + V	838,99	161,10	5.208
9 - EQU (A1-M1-R3) H - V	779,10	205,07	3.799

Verifica stabilità globale muro + terreno

Simbologia adottata

Ic Indice/Tipo combinazione
C Centro superficie di scorrimento, espresso in [m]
R Raggio, espresso in [m]
FS Fattore di sicurezza

Ic	C [m]	R [m]	FS
4 - GEO (A2-M2-R2)	-1,00; 1,50	6,61	1.908
5 - GEO (A2-M2-R2) H + V	-1,00; 3,50	8,35	2.253
6 - GEO (A2-M2-R2) H - V	-1,00; 3,50	8,35	2.195

Dettagli strisce verifiche stabilità

Simbologia adottata

Le ascisse X sono considerate positive verso monte
Le ordinate Y sono considerate positive verso l'alto
Origine in testa al muro (spigolo contro terra)
W peso della striscia espresso in [kN]
Qy carico sulla striscia espresso in [kN]
Qf carico acqua sulla striscia espresso in [kN]
 α angolo fra la base della striscia e l'orizzontale espresso in [°] (positivo antiorario)
 ϕ angolo d'attrito del terreno lungo la base della striscia
c coesione del terreno lungo la base della striscia espressa in [kPa]
b larghezza della striscia espressa in [m]
u pressione neutra lungo la base della striscia espressa in [kPa]
Tx; Ty Resistenza al taglio fornita dai tiranti in direzione X ed Y espressa in [kPa]

Combinazione n° 4 - GEO (A2-M2-R2)

n°	W [kN]	Qy [kN]	Qf [kN]	b [m]	α [°]	ϕ [°]	c [kPa]	u [kPa]	Tx; Ty [kN]
1	6,18	12,31	0,00	5,45 - 0,47	70.426	29.256	0	0,0	
2	16,28	12,31	0,00	0,47	60.614	29.256	0	0,0	
3	23,11	12,31	0,00	0,47	53.084	29.256	0	0,0	
4	28,37	12,31	0,00	0,47	46.732	29.256	0	0,0	
5	32,62	12,31	0,00	0,47	41.069	29.256	0	0,0	
6	32,62	12,31	0,00	0,47	35.863	29.256	0	0,0	
7	41,23	12,31	0,00	0,47	30.984	23.043	0	0,0	
8	43,40	12,31	0,00	0,47	26.344	23.043	0	0,0	
9	45,18	12,31	0,00	0,47	21.885	23.043	0	0,0	
10	46,60	12,31	0,00	0,47	17.562	23.043	0	0,0	
11	47,70	12,31	0,00	0,47	13.341	23.043	0	0,0	
12	53,42	7,61	0,00	0,47	9.193	23.043	0	0,0	
13	47,32	0,00	0,00	0,47	5.093	23.043	0	0,0	
14	25,75	0,00	0,00	0,47	1.019	23.043	0	0,0	
15	24,49	0,00	0,00	0,47	-3.050	23.043	0	0,0	
16	22,98	0,00	0,00	0,47	-7.134	23.043	0	0,0	
17	22,34	0,00	0,00	0,47	-11.255	23.043	0	0,0	
18	21,39	0,00	0,00	0,47	-15.437	23.043	0	0,0	
19	20,14	0,00	0,00	0,47	-19.705	23.043	0	0,0	
20	18,55	0,00	0,00	0,47	-24.091	23.043	0	0,0	
21	16,58	0,00	0,00	0,47	-28.634	23.043	0	0,0	
22	14,16	0,00	0,00	0,47	-33.385	23.043	0	0,0	
23	11,02	0,00	0,00	0,47	-38.414	29.256	0	0,0	
24	7,16	0,00	0,00	0,47	-43.827	29.256	0	0,0	
25	2,45	0,00	0,00	-6,28 - 0,47	-48.939	29.256	0	0,0	

Combinazione n° 5 - GEO (A2-M2-R2) H + V

n°	W [kN]	Qy [kN]	Qf [kN]	b [m]	α [°]	ϕ [°]	c [kPa]	u [kPa]	Tx; Ty [kN]
1	5,18	1,34	0,00	6,59 - 0,54	60.945	35.000	0	0,0	
2	14,40	1,34	0,00	0,54	54.500	35.000	0	0,0	
3	21,69	1,34	0,00	0,54	48.547	35.000	0	0,0	
4	27,66	1,34	0,00	0,54	43.238	35.000	0	0,0	
5	32,65	1,34	0,00	0,54	38.363	35.000	0	0,0	
6	36,85	1,34	0,00	0,54	33.799	35.000	0	0,0	
7	40,41	1,34	0,00	0,54	29.469	35.000	0	0,0	
8	41,50	1,34	0,00	0,54	25.317	28.000	0	0,0	
9	48,27	1,34	0,00	0,54	21.305	28.000	0	0,0	

n°	W [kN]	Qy [kN]	Qf [kN]	b [m]	α [°]	φ [°]	c [kPa]	u [kPa]	Tx; Ty [kN]
10	50,09	1,34	0,00	0,54	17.399	28.000	0	0,0	
11	51,53	1,34	0,00	0,54	13.576	28.000	0	0,0	
12	53,13	1,34	0,00	0,54	9.814	28.000	0	0,0	
13	60,78	0,39	0,00	0,54	6.094	28.000	0	0,0	
14	34,09	0,00	0,00	0,54	2.400	28.000	0	0,0	
15	31,45	0,00	0,00	0,54	-1.284	28.000	0	0,0	
16	23,97	0,00	0,00	0,54	-4.973	28.000	0	0,0	
17	23,35	0,00	0,00	0,54	-8.684	28.000	0	0,0	
18	22,38	0,00	0,00	0,54	-12.431	28.000	0	0,0	
19	21,05	0,00	0,00	0,54	-16.234	28.000	0	0,0	
20	19,35	0,00	0,00	0,54	-20.112	28.000	0	0,0	
21	17,24	0,00	0,00	0,54	-24.089	28.000	0	0,0	
22	14,54	0,00	0,00	0,54	-28.195	35.000	0	0,0	
23	11,17	0,00	0,00	0,54	-32.466	35.000	0	0,0	
24	7,17	0,00	0,00	0,54	-36.952	35.000	0	0,0	
25	2,44	0,00	0,00	-6,82 - 0,54	-40.990	35.000	0	0,0	

Combinazione n° 6 - GEO (A2-M2-R2) H - V

n°	W [kN]	Qy [kN]	Qf [kN]	b [m]	α [°]	φ [°]	c [kPa]	u [kPa]	Tx; Ty [kN]
1	5,18	1,34	0,00	6,59 - 0,54	60.945	35.000	0	0,0	
2	14,40	1,34	0,00	0,54	54.500	35.000	0	0,0	
3	21,69	1,34	0,00	0,54	48.547	35.000	0	0,0	
4	27,66	1,34	0,00	0,54	43.238	35.000	0	0,0	
5	32,65	1,34	0,00	0,54	38.363	35.000	0	0,0	
6	36,85	1,34	0,00	0,54	33.799	35.000	0	0,0	
7	40,41	1,34	0,00	0,54	29.469	35.000	0	0,0	
8	41,50	1,34	0,00	0,54	25.317	28.000	0	0,0	
9	48,27	1,34	0,00	0,54	21.305	28.000	0	0,0	
10	50,09	1,34	0,00	0,54	17.399	28.000	0	0,0	
11	51,53	1,34	0,00	0,54	13.576	28.000	0	0,0	
12	53,13	1,34	0,00	0,54	9.814	28.000	0	0,0	
13	60,78	0,39	0,00	0,54	6.094	28.000	0	0,0	
14	34,09	0,00	0,00	0,54	2.400	28.000	0	0,0	
15	31,45	0,00	0,00	0,54	-1.284	28.000	0	0,0	
16	23,97	0,00	0,00	0,54	-4.973	28.000	0	0,0	
17	23,35	0,00	0,00	0,54	-8.684	28.000	0	0,0	
18	22,38	0,00	0,00	0,54	-12.431	28.000	0	0,0	
19	21,05	0,00	0,00	0,54	-16.234	28.000	0	0,0	
20	19,35	0,00	0,00	0,54	-20.112	28.000	0	0,0	
21	17,24	0,00	0,00	0,54	-24.089	28.000	0	0,0	
22	14,54	0,00	0,00	0,54	-28.195	35.000	0	0,0	
23	11,17	0,00	0,00	0,54	-32.466	35.000	0	0,0	
24	7,17	0,00	0,00	0,54	-36.952	35.000	0	0,0	
25	2,44	0,00	0,00	-6,82 - 0,54	-40.990	35.000	0	0,0	

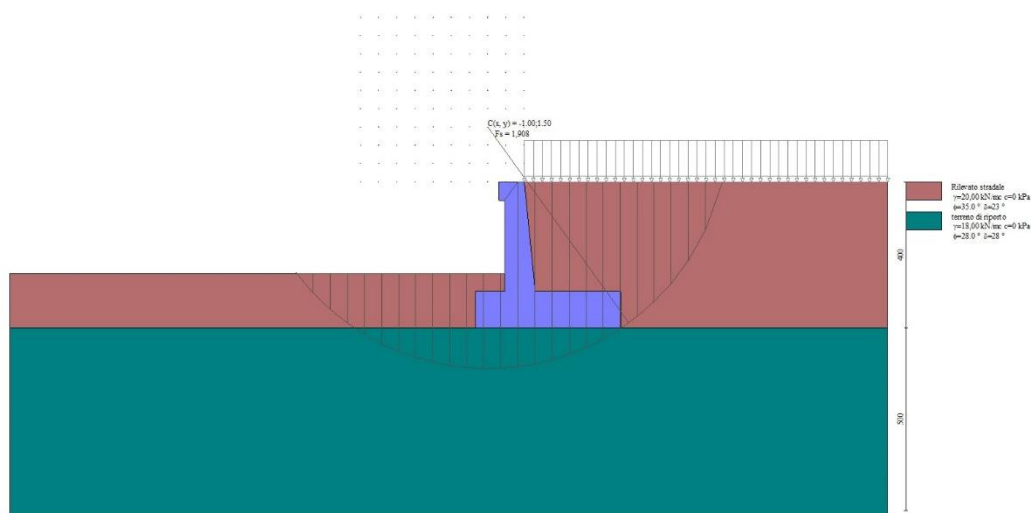


Fig. 7 - Stabilità fronte di scavo - Cerchio critico (Combinazione n° 4)

Cedimenti

Simbologia adottata

Ic Indice combinazione

X, Y Punto di calcolo del cedimento, espressa in [m]
w Cedimento, espressa in [cm]
dw Cedimento differenziale, espressa in [cm]

Ic	X; Y [m]	w [cm]	dw [cm]
10	-1,35; -4,00	1,697	0,000
10	0,65; -4,00	2,653	0,955
10	2,65; -4,00	1,995	0,298
11	-1,35; -4,00	1,634	0,000
11	0,65; -4,00	2,549	0,915
11	2,65; -4,00	1,914	0,280
12	-1,35; -4,00	1,444	0,000
12	0,65; -4,00	2,237	0,794
12	2,65; -4,00	1,671	0,228

Sollecitazioni

Elementi calcolati a trave

Simbologia adottata

N Sforzo normale, espresso in [kN]. Positivo se di compressione.
T Taglio, espresso in [kN]. Positivo se diretto da monte verso valle
M Momento, espresso in [kNm]. Positivo se tende le fibre contro terra (a monte)

Paramento

Combinazione n° 1 - STR (A1-M1-R3)

n°	X [m]	N [kN]	T [kN]	M [kNm]
1	0,00	1,88	0,00	0,14
2	-0,10	3,26	0,80	0,18
3	-0,20	4,67	1,67	0,32
4	-0,30	6,11	2,60	0,55
5	-0,40	7,57	3,60	0,88
6	-0,50	9,06	4,66	1,33
7	-0,60	10,57	5,78	1,89
8	-0,70	12,11	6,97	2,57
9	-0,80	13,67	8,23	3,39
10	-0,90	15,26	9,55	4,34
11	-1,00	16,87	10,93	5,43
12	-1,10	18,51	12,38	6,68
13	-1,20	20,17	13,90	8,08
14	-1,30	21,86	15,48	9,64
15	-1,40	23,57	17,12	11,37
16	-1,50	25,31	18,83	13,28
17	-1,60	27,07	20,61	15,38
18	-1,70	28,86	22,45	17,66
19	-1,80	30,67	24,35	20,14
20	-1,90	32,50	26,32	22,82
21	-2,00	34,37	28,36	25,71
22	-2,10	36,25	30,46	28,82
23	-2,20	38,16	32,62	32,15
24	-2,30	40,10	34,85	35,71
25	-2,40	42,06	37,15	39,50
26	-2,50	44,05	39,51	43,54
27	-2,60	46,06	41,93	47,83
28	-2,70	48,10	44,42	52,37
29	-2,80	50,16	46,98	57,17
30	-2,90	52,24	49,60	62,25
31	-3,00	54,35	52,28	67,60

Combinazione n° 2 - STR (A1-M1-R3) H + V

n°	X [m]	N [kN]	T [kN]	M [kNm]
1	0,00	1,97	0,00	0,15
2	-0,10	3,42	0,23	0,16
3	-0,20	4,90	0,53	0,21
4	-0,30	6,41	0,90	0,30
5	-0,40	7,95	1,33	0,44
6	-0,50	9,51	1,83	0,63
7	-0,60	11,09	2,40	0,88
8	-0,70	12,71	3,03	1,20
9	-0,80	14,34	3,73	1,60
10	-0,90	16,01	4,50	2,07
11	-1,00	17,70	5,34	2,64
12	-1,10	19,42	6,24	3,30
13	-1,20	21,16	7,22	4,06
14	-1,30	22,93	8,25	4,94
15	-1,40	24,73	9,36	5,93
16	-1,50	26,55	10,53	7,04
17	-1,60	28,40	11,77	8,28
18	-1,70	30,27	13,08	9,66

n°	X [m]	N [kN]	T [kN]	M [kNm]
19	-1,80	32,17	14,45	11,18
20	-1,90	34,10	15,90	12,85
21	-2,00	36,05	17,41	14,68
22	-2,10	38,03	18,98	16,68
23	-2,20	40,04	20,63	18,84
24	-2,30	42,07	22,34	21,19
25	-2,40	44,12	24,12	23,71
26	-2,50	46,21	25,96	26,43
27	-2,60	48,32	27,88	29,35
28	-2,70	50,45	29,86	32,47
29	-2,80	52,62	31,90	35,81
30	-2,90	54,81	34,02	39,36
31	-3,00	57,02	36,20	43,14

Combinazione n° 3 - STR (A1-M1-R3) H - V

n°	X [m]	N [kN]	T [kN]	M [kNm]
1	0,00	1,88	0,00	0,14
2	-0,10	3,19	0,23	0,15
3	-0,20	4,54	0,52	0,20
4	-0,30	5,90	0,87	0,29
5	-0,40	7,30	1,29	0,42
6	-0,50	8,71	1,77	0,60
7	-0,60	10,15	2,30	0,84
8	-0,70	11,61	2,91	1,15
9	-0,80	13,09	3,57	1,52
10	-0,90	14,60	4,29	1,97
11	-1,00	16,14	5,08	2,51
12	-1,10	17,69	5,93	3,14
13	-1,20	19,27	6,84	3,86
14	-1,30	20,88	7,81	4,68
15	-1,40	22,51	8,85	5,61
16	-1,50	24,16	9,95	6,66
17	-1,60	25,83	11,11	7,82
18	-1,70	27,53	12,33	9,12
19	-1,80	29,25	13,61	10,55
20	-1,90	31,00	14,96	12,12
21	-2,00	32,77	16,37	13,83
22	-2,10	34,57	17,84	15,70
23	-2,20	36,38	19,37	17,73
24	-2,30	38,22	20,96	19,92
25	-2,40	40,09	22,62	22,29
26	-2,50	41,98	24,34	24,83
27	-2,60	43,89	26,12	27,56
28	-2,70	45,83	27,96	30,48
29	-2,80	47,79	29,87	33,59
30	-2,90	49,77	31,83	36,91
31	-3,00	51,78	33,86	40,44

Combinazione n° 10 - SLER

n°	X [m]	N [kN]	T [kN]	M [kNm]
1	0,00	1,88	0,00	0,14
2	-0,10	3,26	0,59	0,17
3	-0,20	4,67	1,23	0,27
4	-0,30	6,11	1,91	0,45
5	-0,40	7,57	2,65	0,70
6	-0,50	9,06	3,44	1,04
7	-0,60	10,57	4,27	1,46
8	-0,70	12,11	5,16	1,98
9	-0,80	13,67	6,10	2,60
10	-0,90	15,26	7,09	3,32
11	-1,00	16,87	8,12	4,15
12	-1,10	18,51	9,21	5,09
13	-1,20	20,17	10,35	6,16
14	-1,30	21,86	11,53	7,35
15	-1,40	23,57	12,77	8,67
16	-1,50	25,31	14,06	10,12
17	-1,60	27,07	15,39	11,71
18	-1,70	28,86	16,78	13,45
19	-1,80	30,67	18,22	15,34
20	-1,90	32,50	19,70	17,38
21	-2,00	34,37	21,24	19,59
22	-2,10	36,25	22,82	21,96
23	-2,20	38,16	24,46	24,50
24	-2,30	40,10	26,15	27,21
25	-2,40	42,06	27,88	30,11
26	-2,50	44,05	29,67	33,19
27	-2,60	46,06	31,51	36,47
28	-2,70	48,10	33,39	39,94
29	-2,80	50,16	35,33	43,61
30	-2,90	52,24	37,31	47,49
31	-3,00	54,35	39,35	51,58

Combinazione n° 11 - SLEF

n°	X [m]	N [kN]	T [kN]	M [kNm]
1	0,00	1,88	0,00	0,14
2	-0,10	3,26	0,46	0,17
3	-0,20	4,67	0,98	0,25
4	-0,30	6,11	1,54	0,39
5	-0,40	7,57	2,15	0,60
6	-0,50	9,06	2,81	0,88
7	-0,60	10,57	3,53	1,24
8	-0,70	12,11	4,29	1,67
9	-0,80	13,67	5,10	2,20
10	-0,90	15,26	5,96	2,81
11	-1,00	16,87	6,87	3,53
12	-1,10	18,51	7,83	4,34
13	-1,20	20,17	8,85	5,26
14	-1,30	21,86	9,91	6,29
15	-1,40	23,57	11,02	7,44
16	-1,50	25,31	12,18	8,72
17	-1,60	27,07	13,39	10,11
18	-1,70	28,86	14,66	11,65
19	-1,80	30,67	15,97	13,32
20	-1,90	32,50	17,33	15,13
21	-2,00	34,37	18,74	17,09
22	-2,10	36,25	20,20	19,20
23	-2,20	38,16	21,71	21,47
24	-2,30	40,10	23,27	23,91
25	-2,40	42,06	24,89	26,51
26	-2,50	44,05	26,55	29,29
27	-2,60	46,06	28,26	32,25
28	-2,70	48,10	30,02	35,38
29	-2,80	50,16	31,83	38,71
30	-2,90	52,24	33,69	42,23
31	-3,00	54,35	35,60	45,96

Combinazione n° 12 - SLEQ

n°	X [m]	N [kN]	T [kN]	M [kNm]
1	0,00	1,88	0,00	0,14
2	-0,10	3,26	0,09	0,15
3	-0,20	4,67	0,23	0,17
4	-0,30	6,11	0,41	0,22
5	-0,40	7,57	0,65	0,30
6	-0,50	9,06	0,94	0,41
7	-0,60	10,57	1,28	0,56
8	-0,70	12,11	1,66	0,76
9	-0,80	13,67	2,10	1,00
10	-0,90	15,26	2,59	1,30
11	-1,00	16,87	3,13	1,65
12	-1,10	18,51	3,71	2,07
13	-1,20	20,17	4,35	2,56
14	-1,30	21,86	5,04	3,13
15	-1,40	23,57	5,77	3,77
16	-1,50	25,31	6,56	4,50
17	-1,60	27,07	7,40	5,32
18	-1,70	28,86	8,28	6,23
19	-1,80	30,67	9,22	7,25
20	-1,90	32,50	10,21	8,37
21	-2,00	34,37	11,24	9,59
22	-2,10	36,25	12,33	10,94
23	-2,20	38,16	13,47	12,41
24	-2,30	40,10	14,66	14,00
25	-2,40	42,06	15,89	15,72
26	-2,50	44,05	17,18	17,58
27	-2,60	46,06	18,52	19,58
28	-2,70	48,10	19,90	21,72
29	-2,80	50,16	21,34	24,02
30	-2,90	52,24	22,82	26,48
31	-3,00	54,35	24,36	29,09

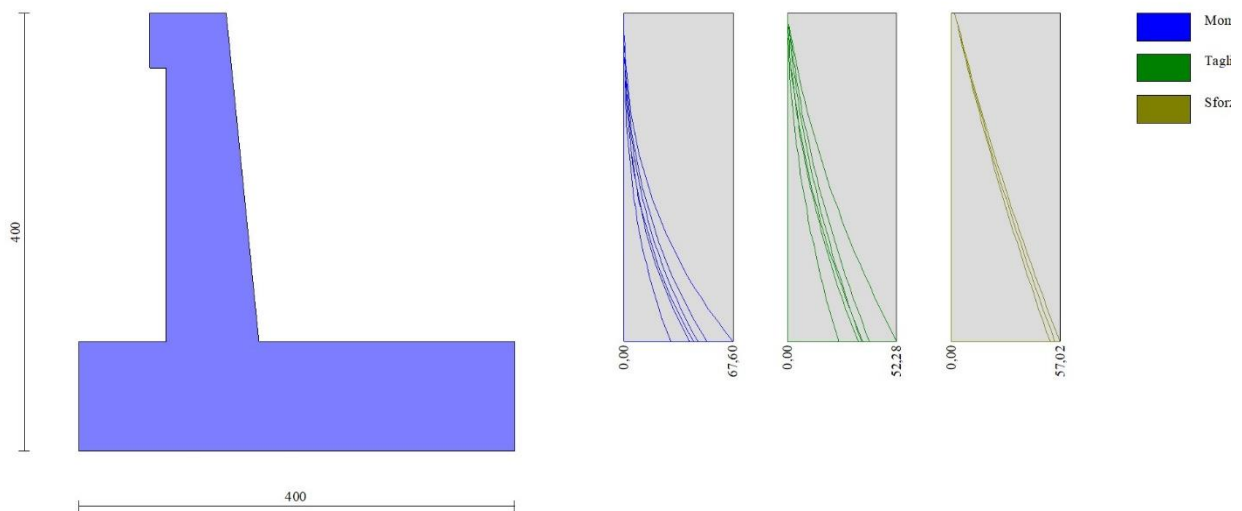


Fig. 8 - Paramento (Inviluppo)

Fondazione

Combinazione n° 1 - STR (A1-M1-R3)

n°	X [m]	N [kN]	T [kN]	M [kNm]
1	-1,35	0,00	0,00	0,00
2	-1,25	0,00	5,48	0,27
3	-1,15	0,00	11,08	1,10
4	-1,05	0,00	16,81	2,49
5	-0,95	0,00	22,66	4,46
6	-0,85	0,00	28,64	7,03
7	-0,75	0,00	34,75	10,20
8	-0,65	0,00	40,99	13,98
9	-0,55	0,00	47,35	18,40
10	0,30	0,00	-44,23	-38,26
11	0,40	0,00	-40,99	-34,08
12	0,50	0,00	-37,87	-30,22
13	0,59	0,00	-34,87	-26,66
14	0,69	0,00	-31,99	-23,39
15	0,79	0,00	-29,24	-20,40
16	0,89	0,00	-26,61	-17,66
17	0,98	0,00	-24,09	-15,18
18	1,08	0,00	-21,71	-12,94
19	1,18	0,00	-19,44	-10,93
20	1,28	0,00	-17,29	-9,13
21	1,38	0,00	-15,26	-7,54
22	1,47	0,00	-13,36	-6,14
23	1,57	0,00	-11,58	-4,92
24	1,67	0,00	-9,92	-3,86
25	1,77	0,00	-8,38	-2,97
26	1,87	0,00	-6,96	-2,22
27	1,96	0,00	-5,67	-1,60
28	2,06	0,00	-4,49	-1,11
29	2,16	0,00	-3,44	-0,72
30	2,26	0,00	-2,51	-0,43
31	2,36	0,00	-1,70	-0,22
32	2,45	0,00	-1,01	-0,09
33	2,55	0,00	-0,44	-0,02
34	2,65	0,00	0,00	0,00

Combinazione n° 2 - STR (A1-M1-R3) H + V

n°	X [m]	N [kN]	T [kN]	M [kNm]
1	-1,35	0,00	0,00	0,00
2	-1,25	0,00	6,49	0,32
3	-1,15	0,00	12,95	1,30
4	-1,05	0,00	19,41	2,91
5	-0,95	0,00	25,85	5,18
6	-0,85	0,00	32,27	8,08
7	-0,75	0,00	38,68	11,63
8	-0,65	0,00	45,08	15,82
9	-0,55	0,00	51,45	20,65

n°	X [m]	N [kN]	T [kN]	M [kNm]
10	0,30	0,00	-4,38	-6,79
11	0,40	0,00	-4,36	-6,36
12	0,50	0,00	-4,33	-5,93
13	0,59	0,00	-4,29	-5,51
14	0,69	0,00	-4,23	-5,09
15	0,79	0,00	-4,16	-4,68
16	0,89	0,00	-4,07	-4,28
17	0,98	0,00	-3,97	-3,89
18	1,08	0,00	-3,85	-3,50
19	1,18	0,00	-3,72	-3,13
20	1,28	0,00	-3,57	-2,78
21	1,38	0,00	-3,41	-2,43
22	1,47	0,00	-3,24	-2,11
23	1,57	0,00	-3,05	-1,80
24	1,67	0,00	-2,84	-1,51
25	1,77	0,00	-2,62	-1,24
26	1,87	0,00	-2,39	-1,00
27	1,96	0,00	-2,14	-0,78
28	2,06	0,00	-1,88	-0,58
29	2,16	0,00	-1,60	-0,41
30	2,26	0,00	-1,31	-0,26
31	2,36	0,00	-1,01	-0,15
32	2,45	0,00	-0,69	-0,07
33	2,55	0,00	-0,35	-0,02
34	2,65	0,00	0,00	0,00

Combinazione n° 3 - STR (A1-M1-R3) H - V

n°	X [m]	N [kN]	T [kN]	M [kNm]
1	-1,35	0,00	0,00	0,00
2	-1,25	0,00	5,87	0,29
3	-1,15	0,00	11,72	1,17
4	-1,05	0,00	17,54	2,64
5	-0,95	0,00	23,34	4,68
6	-0,85	0,00	29,11	7,30
7	-0,75	0,00	34,86	10,50
8	-0,65	0,00	40,58	14,27
9	-0,55	0,00	46,28	18,62
10	0,30	0,00	-25,10	-32,18
11	0,40	0,00	-24,33	-29,76
12	0,50	0,00	-23,53	-27,42
13	0,59	0,00	-22,72	-25,16
14	0,69	0,00	-21,87	-22,97
15	0,79	0,00	-21,00	-20,87
16	0,89	0,00	-20,11	-18,86
17	0,98	0,00	-19,20	-16,93
18	1,08	0,00	-18,26	-15,10
19	1,18	0,00	-17,30	-13,36
20	1,28	0,00	-16,31	-11,71
21	1,38	0,00	-15,30	-10,17
22	1,47	0,00	-14,27	-8,72
23	1,57	0,00	-13,21	-7,37
24	1,67	0,00	-12,13	-6,13
25	1,77	0,00	-11,02	-5,00
26	1,87	0,00	-9,89	-3,97
27	1,96	0,00	-8,74	-3,06
28	2,06	0,00	-7,56	-2,26
29	2,16	0,00	-6,36	-1,58
30	2,26	0,00	-5,14	-1,02
31	2,36	0,00	-3,89	-0,58
32	2,45	0,00	-2,62	-0,26
33	2,55	0,00	-1,32	-0,06
34	2,65	0,00	0,00	0,00

Combinazione n° 10 - SLER

n°	X [m]	N [kN]	T [kN]	M [kNm]
1	-1,35	0,00	0,00	0,00
2	-1,25	0,00	4,78	0,24
3	-1,15	0,00	9,69	0,96
4	-1,05	0,00	14,72	2,18
5	-0,95	0,00	19,88	3,91
6	-0,85	0,00	25,16	6,16
7	-0,75	0,00	30,56	8,94
8	-0,65	0,00	36,09	12,28
9	-0,55	0,00	41,74	16,17
10	0,30	0,00	-0,49	12,86
11	0,40	0,00	0,90	12,83
12	0,50	0,00	2,17	12,68
13	0,59	0,00	3,32	12,41
14	0,69	0,00	4,35	12,04
15	0,79	0,00	5,27	11,56
16	0,89	0,00	6,06	11,01
17	0,98	0,00	6,74	10,38
18	1,08	0,00	7,29	9,69

n°	X [m]	N [kN]	T [kN]	M [kNm]
19	1,18	0,00	7,73	8,96
20	1,28	0,00	8,05	8,18
21	1,38	0,00	8,25	7,38
22	1,47	0,00	8,33	6,57
23	1,57	0,00	8,29	5,76
24	1,67	0,00	8,13	4,95
25	1,77	0,00	7,85	4,17
26	1,87	0,00	7,46	3,42
27	1,96	0,00	6,94	2,71
28	2,06	0,00	6,31	2,06
29	2,16	0,00	5,55	1,48
30	2,26	0,00	4,68	0,98
31	2,36	0,00	3,69	0,57
32	2,45	0,00	2,58	0,26
33	2,55	0,00	1,35	0,07
34	2,65	0,00	0,00	0,00

Combinazione n° 11 - SLEF

n°	X [m]	N [kN]	T [kN]	M [kNm]
1	-1,35	0,00	0,00	0,00
2	-1,25	0,00	4,55	0,23
3	-1,15	0,00	9,21	0,91
4	-1,05	0,00	13,99	2,07
5	-0,95	0,00	18,89	3,72
6	-0,85	0,00	23,90	5,85
7	-0,75	0,00	29,03	8,50
8	-0,65	0,00	34,28	11,66
9	-0,55	0,00	39,64	15,36
10	0,30	0,00	0,92	13,72
11	0,40	0,00	2,17	13,56
12	0,50	0,00	3,30	13,29
13	0,59	0,00	4,33	12,92
14	0,69	0,00	5,24	12,45
15	0,79	0,00	6,05	11,90
16	0,89	0,00	6,74	11,27
17	0,98	0,00	7,32	10,58
18	1,08	0,00	7,78	9,84
19	1,18	0,00	8,14	9,06
20	1,28	0,00	8,38	8,25
21	1,38	0,00	8,51	7,42
22	1,47	0,00	8,53	6,59
23	1,57	0,00	8,43	5,76
24	1,67	0,00	8,23	4,94
25	1,77	0,00	7,91	4,15
26	1,87	0,00	7,48	3,40
27	1,96	0,00	6,93	2,69
28	2,06	0,00	6,28	2,04
29	2,16	0,00	5,51	1,46
30	2,26	0,00	4,63	0,97
31	2,36	0,00	3,64	0,56
32	2,45	0,00	2,54	0,26
33	2,55	0,00	1,33	0,07
34	2,65	0,00	0,00	0,00

Combinazione n° 12 - SLEQ

n°	X [m]	N [kN]	T [kN]	M [kNm]
1	-1,35	0,00	0,00	0,00
2	-1,25	0,00	3,84	0,19
3	-1,15	0,00	7,77	0,77
4	-1,05	0,00	11,79	1,75
5	-0,95	0,00	15,92	3,13
6	-0,85	0,00	20,13	4,93
7	-0,75	0,00	24,44	7,16
8	-0,65	0,00	28,85	9,83
9	-0,55	0,00	33,35	12,93
10	0,30	0,00	5,14	16,29
11	0,40	0,00	5,97	15,75
12	0,50	0,00	6,71	15,13
13	0,59	0,00	7,36	14,44
14	0,69	0,00	7,92	13,69
15	0,79	0,00	8,39	12,89
16	0,89	0,00	8,76	12,05
17	0,98	0,00	9,05	11,18
18	1,08	0,00	9,25	10,28
19	1,18	0,00	9,35	9,37
20	1,28	0,00	9,36	8,45
21	1,38	0,00	9,29	7,54
22	1,47	0,00	9,12	6,64
23	1,57	0,00	8,86	5,76
24	1,67	0,00	8,51	4,91
25	1,77	0,00	8,07	4,09
26	1,87	0,00	7,53	3,33
27	1,96	0,00	6,91	2,62

n°	X [m]	N [kN]	T [kN]	M [kNm]
28	2,06	0,00	6,20	1,98
29	2,16	0,00	5,39	1,41
30	2,26	0,00	4,49	0,93
31	2,36	0,00	3,51	0,54
32	2,45	0,00	2,43	0,24
33	2,55	0,00	1,26	0,06
34	2,65	0,00	0,00	0,00

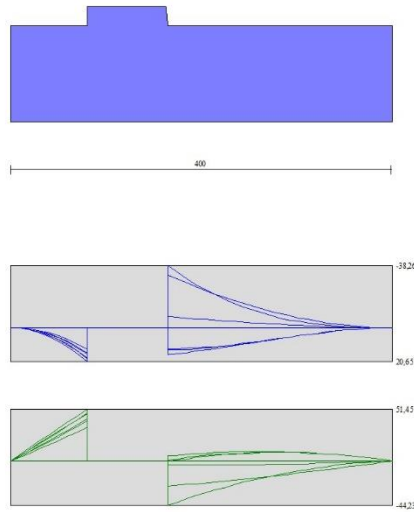


Fig. 9 - Fondazione (Inviluppo)

Risultati per involucro

Spinta e forze

Simbologia adottata

- Ic Indice della combinazione
- A Tipo azione
- I Inclinazione della spinta, espressa in [°]
- V Valore dell'azione, espressa in [kN]
- C_x, C_y Componente in direzione X ed Y dell'azione, espressa in [kN]
- P_x, P_y Coordinata X ed Y del punto di applicazione dell'azione, espressa in [m]

Ic	A	V [kN]	I [°]	C _x [kN]	C _y [kN]	P _x [m]	P _y [m]
1	Spinta statica	80,90	23,33	74,29	32,04	2,65	-2,42
	Peso/Inerzia muro			0,00	154,34/0,00	0,35	-2,82
	Peso/Inerzia terrapieno			0,00	231,45/0,00	1,37	-1,46
2	Spinta statica	41,55	23,33	38,15	16,46	2,65	-2,63
	Incremento di spinta sismica		12,25	11,25	4,85	2,65	-2,67
	Peso/Inerzia muro			15,14	154,34/7,57	0,35	-2,82
	Peso/Inerzia terrapieno			15,37	156,61/7,68	1,40	-1,47

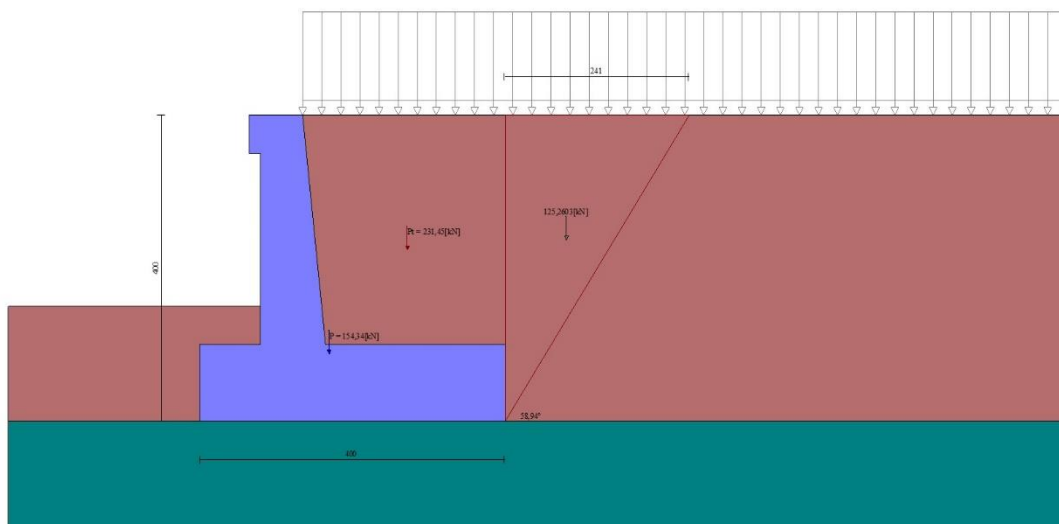


Fig. 10 - Cuneo di spinta (combinazione statica) (Combinazione n° 1)

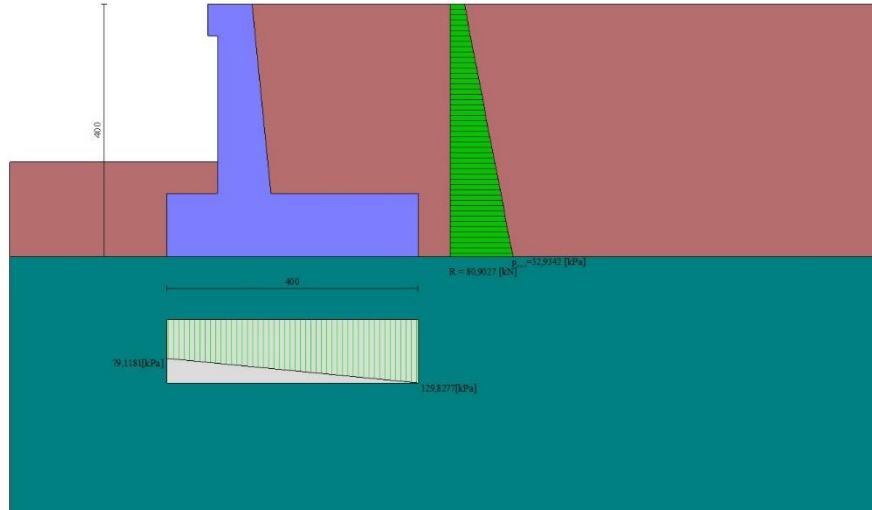


Fig. 11 - Diagramma delle pressioni (combinazione statica) (Combinazione n° 1)

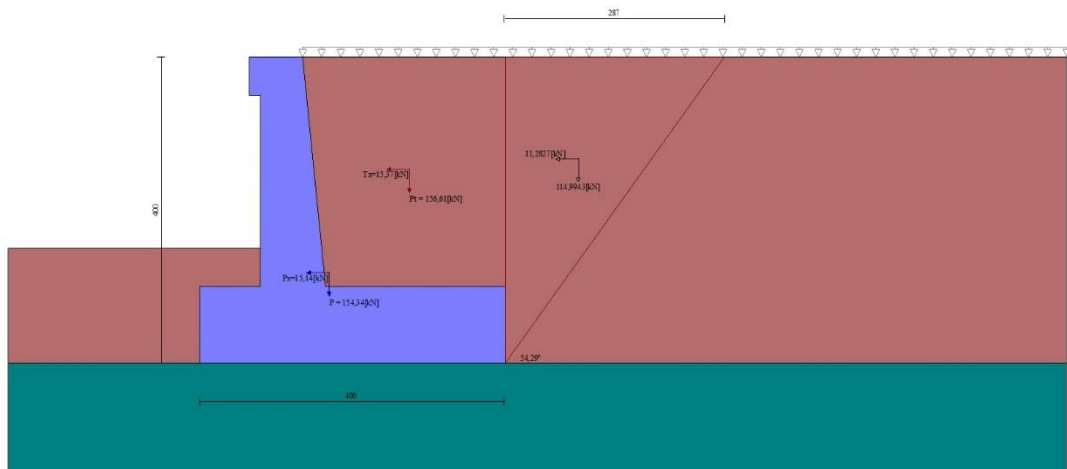


Fig. 12 - Cuneo di spinta (combinazione sismica) (Combinazione n° 2)

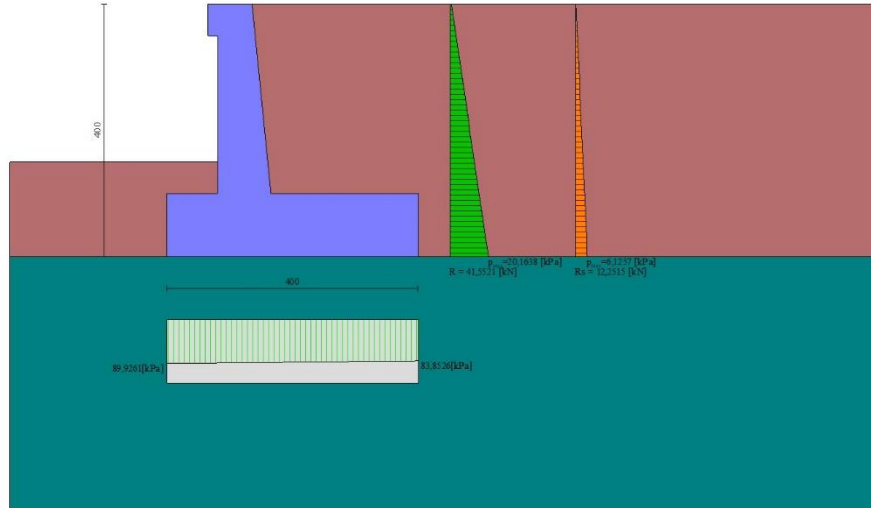


Fig. 13 - Diagramma delle pressioni (combinazione sismica) (Combinazione n° 2)

Risultanti globali

Simbologia adottata

Cmb	Indice/Tipo combinazione
N	Componente normale al piano di posa, espressa in [kN]
T	Componente parallela al piano di posa, espressa in [kN]
Mr	Momento ribaltante, espresso in [kNm]
M _s	Momento stabilizzante, espresso in [kNm]
ecc	Eccentricità risultante, espressa in [m]

Ic	N [kN]	T [kN]	Mr [kNm]	M _s [kNm]	ecc [m]
1 - STR (A1-M1-R3)	417,83	74,29	117,46	1020,60	-0,162
2 - STR (A1-M1-R3)	347,51	79,91	124,18	811,01	0,023
3 - STR (A1-M1-R3)	315,43	76,28	153,28	770,80	0,042
4 - GEO (A2-M2-R2)	400,35	76,74	122,60	966,41	-0,108
5 - GEO (A2-M2-R2)	347,51	79,91	124,18	811,01	0,023
6 - GEO (A2-M2-R2)	315,43	76,28	153,28	770,80	0,042
7 - EQU (A1-M1-R3)	417,83	74,29	117,46	1020,60	-0,162
8 - EQU (A1-M1-R3)	357,89	101,55	161,10	838,99	0,106
9 - EQU (A1-M1-R3)	309,88	96,35	205,07	779,10	0,147
10 - SLER	388,13	56,11	88,28	930,66	-0,171
11 - SLEF	372,95	51,62	79,31	887,41	-0,167
12 - SLEQ	327,40	38,15	52,37	757,66	-0,154

Verifiche geotecniche

Quadro riassuntivo coeff. di sicurezza calcolati

Simbologia adottata

Cmb	Indice/Tipo combinazione
S	Sisma (H: componente orizzontale, V: componente verticale)
FS _{SCO}	Coeff. di sicurezza allo scorrimento
FS _{RIB}	Coeff. di sicurezza al ribaltamento
FS _{QLIM}	Coeff. di sicurezza a carico limite
FS _{STAB}	Coeff. di sicurezza a stabilità globale
FS _{HYD}	Coeff. di sicurezza a sifonamento
FS _{SUPL}	Coeff. di sicurezza a sollevamento

Cmb	Sismica	FS _{SCO}	FS _{RIB}	FS _{QLIM}	FS _{STAB}	FS _{HYD}	FS _{SUPL}
1 - STR (A1-M1-R3)		2.991		3.785			
2 - STR (A1-M1-R3)	H + V	2.312		4.505			
3 - STR (A1-M1-R3)	H - V	2.199		4.655			
4 - GEO (A2-M2-R2)					1.908		
5 - GEO (A2-M2-R2)	H + V				2.253		
6 - GEO (A2-M2-R2)	H - V				2.195		
7 - EQU (A1-M1-R3)			8.689				
8 - EQU (A1-M1-R3)	H + V		5.208				
9 - EQU (A1-M1-R3)	H - V		3.799				

Verifica a scorrimento fondazione

Simbologia adottata

n°	Indice combinazione
Rsa	Resistenza allo scorrimento per attrito, espresso in [kN]
Rpt	Resistenza passiva terreno antistante, espresso in [kN]
Rps	Resistenza passiva sperone, espresso in [kN]
Rp	Resistenza a carichi orizzontali pali (solo per fondazione mista), espresso in [kN]
Rt	Resistenza a carichi orizzontali tiranti (solo se presenti), espresso in [kN]
R	Resistenza allo scorrimento (somma di Rsa+Rpt+Rps+Rp), espresso in [kN]
T	Carico parallelo al piano di posa, espresso in [kN]
FS	Fattore di sicurezza (rapporto R/T)

n°	Rsa [kN]	Rpt [kN]	Rps [kN]	Rp [kN]	Rt [kN]	R [kN]	T [kN]	FS
1 - STR (A1-M1-R3)	222,17	0,00	0,00	--	--	222,17	74,29	2.991
3 - STR (A1-M1-R3) H - V	167,72	0,00	0,00	--	--	167,72	76,28	2.199

Verifica a carico limite

Simbologia adottata

n°	Indice combinazione
N	Carico normale totale al piano di posa, espresso in [kN]
Qu	carico limite del terreno, espresso in [kN]
Qd	Portanza di progetto, espresso in [kN]
FS	Fattore di sicurezza (rapporto tra il carico limite e carico agente al piano di posa)

n°	N [kN]	Qu [kN]	Qd [kN]	FS
1 - STR (A1-M1-R3)	417,83	1581,58	1129,70	3.785
2 - STR (A1-M1-R3) H + V	347,51	1565,55	1304,62	4.505

Dettagli calcolo portanza

Simbologia adottata

n°	Indice combinazione
Nc, Nq, Ny	Fattori di capacità portante
ic, iq, iy	Fattori di inclinazione del carico
dc, dq, dy	Fattori di profondità del piano di posa
gc, gq, gy	Fattori di inclinazione del profilo topografico
bc, bq, by	Fattori di inclinazione del piano di posa
sc, sq, sy	Fattori di forma della fondazione
pc, pq, py	Fattori di riduzione per punzonamento secondo Vesic
Re	Fattore di riduzione capacità portante per eccentricità secondo Meyerhof
Ir, Irc	Indici di rigidità per punzonamento secondo Vesic
ry	Fattori per tener conto dell'effetto piastra. Per fondazioni che hanno larghezza maggiore di 2 m, il terzo termine della formula trinomia $0.5B_y/N_y$ viene moltiplicato per questo fattore
D	Affondamento del piano di posa, espresso in [m]
B'	Larghezza fondazione ridotta, espresso in [m]
H	Altezza del cuneo di rottura, espresso in [m]
γ	Peso di volume del terreno medio, espresso in [kN/mc]
φ	Angolo di attrito del terreno medio, espresso in [°]
c	Coesione del terreno medio, espresso in [kPa]

Per i coeff. che in tabella sono indicati con il simbolo '--' sono coeff. non presenti nel metodo scelto (Meyerhof).

n°	Nc Nq Ny	ic iq iy	dc dq dy	gc gq gy	bc bq by	sc sq sy	pc pq py	Ir	Irc	Re	ry
1	25.803	0.789	1.125	--	--	--	--	--	--	0.799	0.925
	14.720	0.789	1.062	--	--	--	--	--	--		
	11.190	0.410	1.062	--	--	--	--	--	--		
2	25.803	0.733	1.125	--	--	--	--	--	--	0.924	0.925
	14.720	0.733	1.062	--	--	--	--	--	--		
	11.190	0.289	1.062	--	--	--	--	--	--		

n°	D [m]	B' [m]	H [m]	γ [°]	φ [kN/mc]	c [kPa]
1	1,50	4,00	3,33	18,00	28,00	0
2	1,50	4,00	3,33	18,00	28,00	0

Verifica a ribaltamento

Simbologia adottata

n°	Indice combinazione
Ms	Momento stabilizzante, espresso in [kNm]
Mr	Momento ribaltante, espresso in [kNm]
FS	Fattore di sicurezza (rapporto tra momento stabilizzante e momento ribaltante)

La verifica viene eseguita rispetto allo spigolo inferiore esterno della fondazione

n°	Ms [kNm]	Mr [kNm]	FS
7 - EQU (A1-M1-R3)	1020,60	117,46	8.689
9 - EQU (A1-M1-R3) H - V	779,10	205,07	3.799

Verifica stabilità globale muro + terreno

Simbologia adottata

Ic	Indice/Tipo combinazione
C	Centro superficie di scorrimento, espresso in [m]
R	Raggio, espresso in [m]
FS	Fattore di sicurezza

Ic	C [m]	R [m]	FS
4 - GEO (A2-M2-R2)	-1,00; 1,50	6,61	1.908
6 - GEO (A2-M2-R2) H - V	-1,00; 3,50	8,35	2.195

Dettagli strisce verifiche stabilità

Simbologia adottata

Le ascisse X sono considerate positive verso monte	
Le ordinate Y sono considerate positive verso l'alto	
Origine in testa al muro (spigolo contro terra)	
W	peso della striscia espresso in [kN]
Qy	carico sulla striscia espresso in [kN]
Qf	carico acqua sulla striscia espresso in [kN]
α	angolo fra la base della striscia e l'orizzontale espresso in [°] (positivo antiorario)
ϕ	angolo d'attrito del terreno lungo la base della striscia
c	coesione del terreno lungo la base della striscia espressa in [kPa]
b	larghezza della striscia espressa in [m]
u	pressione neutra lungo la base della striscia espressa in [kPa]
Tx; Ty	Resistenza al taglio fornita dai tiranti in direzione X ed Y espressa in [kPa]

n°	W [kN]	Qy [kN]	Qf [kN]	b [m]	α [°]	ϕ [°]	c [kPa]	u [kPa]	Tx; Ty [kN]
1	6,18	12,31	0,00	5,45 - 0,47	70.426	29.256	0	0,0	
2	16,28	12,31	0,00	0,47	60.614	29.256	0	0,0	
3	23,11	12,31	0,00	0,47	53.084	29.256	0	0,0	
4	28,37	12,31	0,00	0,47	46.732	29.256	0	0,0	
5	32,62	12,31	0,00	0,47	41.069	29.256	0	0,0	
6	32,62	12,31	0,00	0,47	35.863	29.256	0	0,0	
7	41,23	12,31	0,00	0,47	30.984	23.043	0	0,0	
8	43,40	12,31	0,00	0,47	26.344	23.043	0	0,0	
9	45,18	12,31	0,00	0,47	21.885	23.043	0	0,0	
10	46,60	12,31	0,00	0,47	17.562	23.043	0	0,0	
11	47,70	12,31	0,00	0,47	13.341	23.043	0	0,0	
12	53,42	7,61	0,00	0,47	9.193	23.043	0	0,0	
13	47,32	0,00	0,00	0,47	5.093	23.043	0	0,0	
14	25,75	0,00	0,00	0,47	1.019	23.043	0	0,0	
15	24,49	0,00	0,00	0,47	-3.050	23.043	0	0,0	
16	22,98	0,00	0,00	0,47	-7.134	23.043	0	0,0	
17	22,34	0,00	0,00	0,47	-11.255	23.043	0	0,0	
18	21,39	0,00	0,00	0,47	-15.437	23.043	0	0,0	
19	20,14	0,00	0,00	0,47	-19.705	23.043	0	0,0	
20	18,55	0,00	0,00	0,47	-24.091	23.043	0	0,0	
21	16,58	0,00	0,00	0,47	-28.634	23.043	0	0,0	
22	14,16	0,00	0,00	0,47	-33.385	23.043	0	0,0	
23	11,02	0,00	0,00	0,47	-38.414	29.256	0	0,0	
24	7,16	0,00	0,00	0,47	-43.827	29.256	0	0,0	
25	2,45	0,00	0,00	-6,28 - 0,47	-48.939	29.256	0	0,0	

n°	W [kN]	Qy [kN]	Qf [kN]	b [m]	α [°]	ϕ [°]	c [kPa]	u [kPa]	Tx; Ty [kN]
1	5,18	1,34	0,00	6,59 - 0,54	60.945	35.000	0	0,0	
2	14,40	1,34	0,00	0,54	54.500	35.000	0	0,0	
3	21,69	1,34	0,00	0,54	48.547	35.000	0	0,0	
4	27,66	1,34	0,00	0,54	43.238	35.000	0	0,0	
5	32,65	1,34	0,00	0,54	38.363	35.000	0	0,0	
6	36,85	1,34	0,00	0,54	33.799	35.000	0	0,0	
7	40,41	1,34	0,00	0,54	29.469	35.000	0	0,0	
8	41,50	1,34	0,00	0,54	25.317	28.000	0	0,0	
9	48,27	1,34	0,00	0,54	21.305	28.000	0	0,0	
10	50,09	1,34	0,00	0,54	17.399	28.000	0	0,0	
11	51,53	1,34	0,00	0,54	13.576	28.000	0	0,0	
12	53,13	1,34	0,00	0,54	9.814	28.000	0	0,0	
13	60,78	0,39	0,00	0,54	6.094	28.000	0	0,0	
14	34,09	0,00	0,00	0,54	2.400	28.000	0	0,0	
15	31,45	0,00	0,00	0,54	-1.284	28.000	0	0,0	
16	23,97	0,00	0,00	0,54	-4.973	28.000	0	0,0	
17	23,35	0,00	0,00	0,54	-8.684	28.000	0	0,0	
18	22,38	0,00	0,00	0,54	-12.431	28.000	0	0,0	
19	21,05	0,00	0,00	0,54	-16.234	28.000	0	0,0	
20	19,35	0,00	0,00	0,54	-20.112	28.000	0	0,0	
21	17,24	0,00	0,00	0,54	-24.089	28.000	0	0,0	

n°	w [kN]	Qy [kN]	Qf [kN]	b [m]	α [°]	φ [°]	c [kPa]	u [kPa]	Tx; Ty [kN]
22	14,54	0,00	0,00	0,54	-28.195	35.000	0	0,0	
23	11,17	0,00	0,00	0,54	-32.466	35.000	0	0,0	
24	7,17	0,00	0,00	0,54	-36.952	35.000	0	0,0	
25	2,44	0,00	0,00	-6,82 - 0,54	-40.990	35.000	0	0,0	

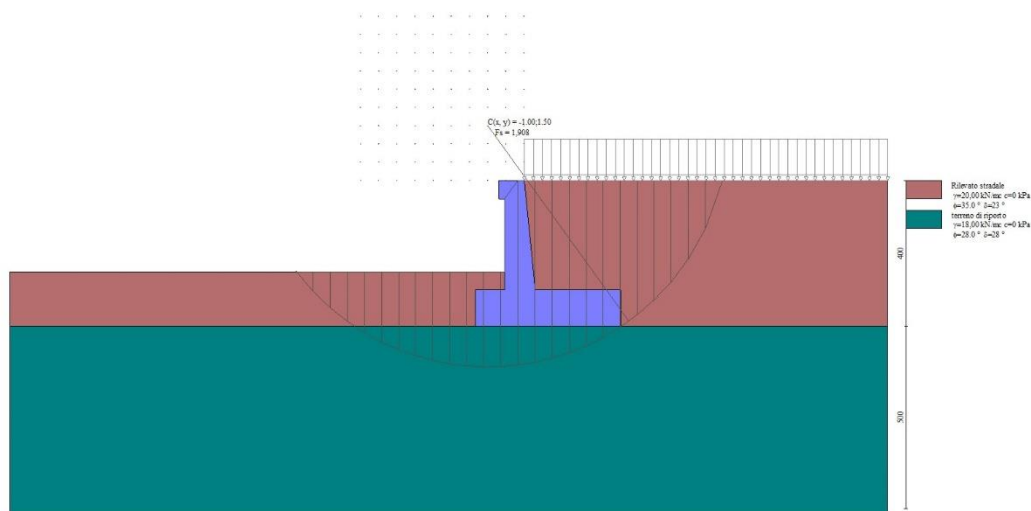


Fig. 14 - Stabilità fronte di scavo - Cerchio critico (Combinazione n° 4)

Cedimenti

Simbologia adottata

Ic	Indice combinazione
X, Y	Punto di calcolo del cedimento, espressa in [m]
w	Cedimento, espressa in [cm]
dw	Cedimento differenziale, espressa in [cm]

Ic	X; Y [m]	w [cm]	dw [cm]
10	-1,35; -4,00	1,697	0,000
10	0,65; -4,00	2,653	0,955
10	2,65; -4,00	1,995	0,298

Sollecitazioni

Elementi calcolati a trave

Simbologia adottata

N	Sforzo normale, espresso in [kN]. Positivo se di compressione.
T	Taglio, espresso in [kN]. Positivo se diretto da monte verso valle
M	Momento, espresso in [kNm]. Positivo se tende le fibre contro terra (a monte)

Paramento

n°	X [m]	Nmin [kN]	Nmax [kN]	Tmin [kN]	Tmax [kN]	Mmin [kNm]	Mmax [kNm]
1	0,00	1,88	1,97	0,00	0,00	0,14	0,15
2	-0,10	3,19	3,42	0,09	0,80	0,15	0,18
3	-0,20	4,54	4,90	0,23	1,67	0,17	0,32
4	-0,30	5,90	6,41	0,41	2,60	0,22	0,55
5	-0,40	7,30	7,95	0,65	3,60	0,30	0,88
6	-0,50	8,71	9,51	0,94	4,66	0,41	1,33
7	-0,60	10,15	11,09	1,28	5,78	0,56	1,89
8	-0,70	11,61	12,71	1,66	6,97	0,76	2,57
9	-0,80	13,09	14,34	2,10	8,23	1,00	3,39
10	-0,90	14,60	16,01	2,59	9,55	1,30	4,34
11	-1,00	16,14	17,70	3,13	10,93	1,65	5,43
12	-1,10	17,69	19,42	3,71	12,38	2,07	6,68
13	-1,20	19,27	21,16	4,35	13,90	2,56	8,08
14	-1,30	20,88	22,93	5,04	15,48	3,13	9,64
15	-1,40	22,51	24,73	5,77	17,12	3,77	11,37

n°	X [m]	Nmin [kN]	Nmax [kN]	Tmin [kN]	Tmax [kN]	Mmin [kNm]	Mmax [kNm]
16	-1,50	24,16	26,55	6,56	18,83	4,50	13,28
17	-1,60	25,83	28,40	7,40	20,61	5,32	15,38
18	-1,70	27,53	30,27	8,28	22,45	6,23	17,66
19	-1,80	29,25	32,17	9,22	24,35	7,25	20,14
20	-1,90	31,00	34,10	10,21	26,32	8,37	22,82
21	-2,00	32,77	36,05	11,24	28,36	9,59	25,71
22	-2,10	34,57	38,03	12,33	30,46	10,94	28,82
23	-2,20	36,38	40,04	13,47	32,62	12,41	32,15
24	-2,30	38,22	42,07	14,66	34,85	14,00	35,71
25	-2,40	40,09	44,12	15,89	37,15	15,72	39,50
26	-2,50	41,98	46,21	17,18	39,51	17,58	43,54
27	-2,60	43,89	48,32	18,52	41,93	19,58	47,83
28	-2,70	45,83	50,45	19,90	44,42	21,72	52,37
29	-2,80	47,79	52,62	21,34	46,98	24,02	57,17
30	-2,90	49,77	54,81	22,82	49,60	26,48	62,25
31	-3,00	51,78	57,02	24,36	52,28	29,09	67,60

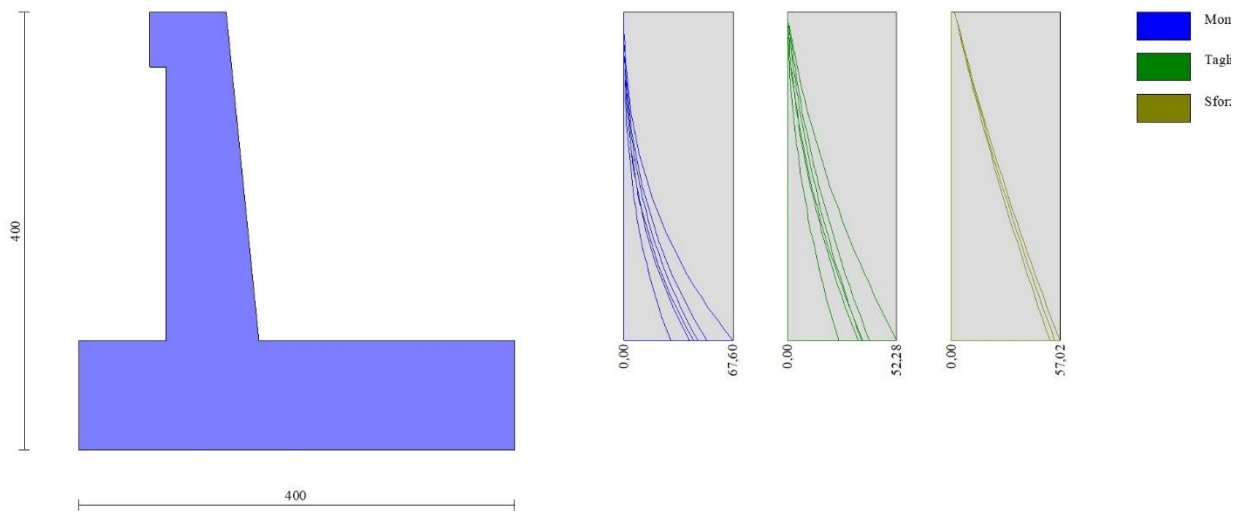


Fig. 15 - Paramento

Fondazione

n°	X [m]	Nmin [kN]	Nmax [kN]	Tmin [kN]	Tmax [kN]	Mmin [kNm]	Mmax [kNm]
1	-1,35	0,00	0,00	0,00	0,00	0,00	0,00
2	-1,25	0,00	0,00	3,84	6,49	0,19	0,32
3	-1,15	0,00	0,00	7,77	12,95	0,77	1,30
4	-1,05	0,00	0,00	11,79	19,41	1,75	2,91
5	-0,95	0,00	0,00	15,92	25,85	3,13	5,18
6	-0,85	0,00	0,00	20,13	32,27	4,93	8,08
7	-0,75	0,00	0,00	24,44	38,68	7,16	11,63
8	-0,65	0,00	0,00	28,85	45,08	9,83	15,82
9	-0,55	0,00	0,00	33,35	51,45	12,93	20,65
10	0,30	0,00	0,00	-44,23	5,14	-38,26	16,29
11	0,40	0,00	0,00	-40,99	5,97	-34,08	15,75
12	0,50	0,00	0,00	-37,87	6,71	-30,22	15,13
13	0,59	0,00	0,00	-34,87	7,36	-26,66	14,44
14	0,69	0,00	0,00	-31,99	7,92	-23,39	13,69
15	0,79	0,00	0,00	-29,24	8,39	-20,87	12,89
16	0,89	0,00	0,00	-26,61	8,76	-18,86	12,05
17	0,98	0,00	0,00	-24,09	9,05	-16,93	11,18
18	1,08	0,00	0,00	-21,71	9,25	-15,10	10,28
19	1,18	0,00	0,00	-19,44	9,35	-13,36	9,37
20	1,28	0,00	0,00	-17,29	9,36	-11,71	8,45
21	1,38	0,00	0,00	-15,30	9,29	-10,17	7,54
22	1,47	0,00	0,00	-14,27	9,12	-8,72	6,64
23	1,57	0,00	0,00	-13,21	8,86	-7,37	5,76
24	1,67	0,00	0,00	-12,13	8,51	-6,13	4,95
25	1,77	0,00	0,00	-11,02	8,07	-5,00	4,17
26	1,87	0,00	0,00	-9,89	7,53	-3,97	3,42
27	1,96	0,00	0,00	-8,74	6,94	-3,06	2,71
28	2,06	0,00	0,00	-7,56	6,31	-2,26	2,06
29	2,16	0,00	0,00	-6,36	5,55	-1,58	1,48
30	2,26	0,00	0,00	-5,14	4,68	-1,02	0,98
31	2,36	0,00	0,00	-3,89	3,69	-0,58	0,57

n°	X [m]	N _{min} [kN]	N _{max} [kN]	T _{min} [kN]	T _{max} [kN]	M _{min} [kNm]	M _{max} [kNm]
32	2,45	0,00	0,00	-2,62	2,58	-0,26	0,26
33	2,55	0,00	0,00	-1,32	1,35	-0,06	0,07
34	2,65	0,00	0,00	0,00	0,00	0,00	0,00

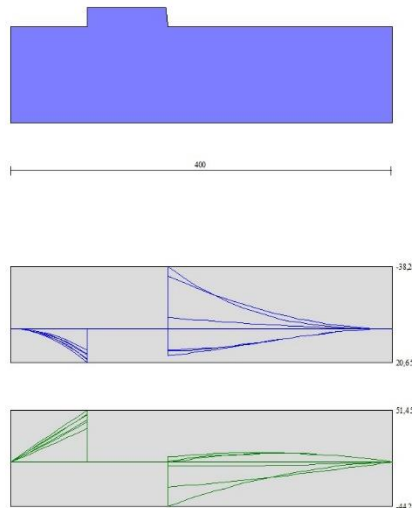


Fig. 16 - Fondazione

10.1.2 Combinazione eccezionale d'urto

Opzioni di calcolo

Spinta

Metodo di calcolo della spinta	Culmann
Tipo di spinta	Spinta attiva
Terreno a bassa permeabilità	NO
Superficie di spinta limitata	NO

Capacità portante

Metodo di calcolo della portanza	Meyerhof
Criterio di media calcolo del terreno equivalente (terreni stratificati)	Ponderata
Criterio di riduzione per eccentricità della portanza	Meyerhof
Criterio di riduzione per rottura locale (punzonamento)	Nessuna
Larghezza fondazione nel terzo termine della formula del carico limite (0.5B _γ N _c)	Larghezza ridotta (B')
Fattori di forma e inclinazione del carico	Solo i fattori di inclinazione
Se la fondazione ha larghezza superiore a 2.0 m viene applicato il fattore di riduzione per comportamento a piastra	

Stabilità globale

Metodo di calcolo della stabilità globale	Bishop
---	--------

Altro

Partecipazione spinta passiva terreno antistante	0.00
Partecipazione resistenza passiva dente di fondazione	50.00
Componente verticale della spinta nel calcolo delle sollecitazioni	NO
Considera terreno sulla fondazione di valle	SI
Considera spinta e peso acqua fondazione di valle	NO

Spostamenti

Non è stato richiesto il calcolo degli spostamenti

Cedimenti

Metodo di calcolo delle tensioni	Boussinesq
Metodo di calcolo dei cedimenti	Elastico

Profondità calcolo cedimenti
 ΔH massimo suddivisione strati

Automatica
0,50 [m]

Risultati per combinazione

Spinta e forze

Simbologia adottata

Ic	Indice della combinazione
A	Tipo azione
I	Inclinazione della spinta, espressa in [°]
V	Valore dell'azione, espressa in [kN]
Cx, Cy	Componente in direzione X ed Y dell'azione, espressa in [kN]
Px, Py	Coordinata X ed Y del punto di applicazione dell'azione, espressa in [m]

Ic	A	V [kN]	I [°]	Cx [kN]	Cy [kN]	Px [m]	Py [m]
1	Spinta statica	41,55	23,33	38,15	16,46	2,65	-2,63
	Peso/Inerzia muro			0,00	154,34/0,00	0,35	-2,82
	Peso/Inerzia terrapieno			0,00	156,61/0,00	1,40	-1,47
	Peso/Inerzia terreno sulla fondazione di valle			0,00	8,00	-0,95	-2,75
	Risultante forze sul muro			31,81	0,00	--	--
4	Spinta statica	41,55	23,33	38,15	16,46	2,65	-2,63
	Peso/Inerzia muro			0,00	154,34/0,00	0,35	-2,82
	Peso/Inerzia terrapieno			0,00	156,61/0,00	1,40	-1,47
	Peso/Inerzia terreno sulla fondazione di valle			0,00	8,00	-0,95	-2,75
	Risultante forze sul muro			31,81	0,00	--	--

Risultanti globali

Simbologia adottata

Cmb	Indice/Tipo combinazione
N	Componente normale al piano di posa, espressa in [kN]
T	Componente parallela al piano di posa, espressa in [kN]
Mr	Momento ribaltante, espresso in [kNm]
Ms	Momento stabilizzante, espresso in [kNm]
ecc	Eccentricità risultante, espressa in [m]

Ic	N [kN]	T [kN]	Mr [kNm]	Ms [kNm]	ecc [m]
1 - STR (A1-M1-R3)	335,40	69,96	211,42	760,86	0,362
2 - GEO (A2-M2-R2)	335,40	69,96	211,42	760,86	0,362
3 - EQU (A1-M1-R3)	335,40	69,96	211,42	760,86	0,362
4 - ECC	335,40	69,96	211,42	760,86	0,362

Verifiche geotecniche

Quadro riassuntivo coeff. di sicurezza calcolati

Simbologia adottata

Cmb	Indice/Tipo combinazione
S	Sisma (H: componente orizzontale, V: componente verticale)
FS _{SCO}	Coeff. di sicurezza allo scorrimento
FS _{RIB}	Coeff. di sicurezza al ribaltamento
FS _{QLIM}	Coeff. di sicurezza a carico limite
FS _{STAB}	Coeff. di sicurezza a stabilità globale
FS _{HYD}	Coeff. di sicurezza a sifonamento
FS _{SUPL}	Coeff. di sicurezza a sollevamento

Cmb	Sismica	FS _{SCO}	FS _{RIB}	FS _{QLIM}	FS _{STAB}	FS _{HYD}	FS _{SUPL}
1 - STR (A1-M1-R3)		2.549		3.766			
2 - GEO (A2-M2-R2)					2.999		
3 - EQU (A1-M1-R3)			3.599				

Verifica a scorrimento fondazione

Simbologia adottata

n°	Indice combinazione
Rsa	Resistenza allo scorrimento per attrito, espresso in [kN]
Rpt	Resistenza passiva terreno antistante, espresso in [kN]
Rps	Resistenza passiva sperone, espresso in [kN]
Rp	Resistenza a carichi orizzontali pali (solo per fondazione mista), espresso in [kN]
Rt	Resistenza a carichi orizzontali tiranti (solo se presenti), espresso in [kN]
R	Resistenza allo scorrimento (somma di Rsa+Rpt+Rps+Rp), espresso in [kN]
T	Carico parallelo al piano di posa, espresso in [kN]
FS	Fattore di sicurezza (rapporto R/T)

n°	Rsa [kN]	Rpt [kN]	Rps [kN]	Rp [kN]	Rt [kN]	R [kN]	T [kN]	FS
1 - STR (A1-M1-R3)	178,34	0,00	0,00	--	--	178,34	69,96	2.549

Verifica a carico limite

Simbologia adottata

n°	Indice combinazione
N	Carico normale totale al piano di posa, espresso in [kN]
Qu	carico limite del terreno, espresso in [kN]
Qd	Portanza di progetto, espresso in [kN]
FS	Fattore di sicurezza (rapporto tra il carico limite e carico agente al piano di posa)

n°	N [kN]	Qu [kN]	Qd [kN]	FS
1 - STR (A1-M1-R3)	335,40	1263,26	902,33	3.766

Dettagli calcolo portanza

Simbologia adottata

n°	Indice combinazione
Nc, Nq, Ny	Fattori di capacità portante
ic, iq, iy	Fattori di inclinazione del carico
dc, dq, dy	Fattori di profondità del piano di posa
gc, gq, gy	Fattori di inclinazione del profilo topografico
bc, bq, by	Fattori di inclinazione del piano di posa
sc, sq, sy	Fattori di forma della fondazione
pc, pq, py	Fattori di riduzione per punzonamento secondo Vesic
Re	Fattore di riduzione capacità portante per eccentricità secondo Meyerhof
Ir, Irc	Indici di rigidità per punzonamento secondo Vesic
ry	Fattori per tener conto dell'effetto piastra. Per fondazioni che hanno larghezza maggiore di 2 m, il terzo termine della formula trinomia 0.5ByNy, viene moltiplicato per questo fattore
D	Affondamento del piano di posa, espresso in [m]
B'	Larghezza fondazione ridotta, espresso in [m]
H	Altezza del cuneo di rottura, espresso in [m]
γ	Peso di volume del terreno medio, espresso in [kN/mc]
φ	Angolo di attrito del terreno medio, espresso in [°]
c	Coesione del terreno medio, espresso in [kPa]

Per i coeff. che in tabella sono indicati con il simbolo "--" sono coeff. non presenti nel metodo scelto (Meyerhof).

n°	Nc Nq Ny	ic iq iy	dc dq dy	gc gq gy	bc bq by	sc sq sy	pc pq py	Ir	Irc	Re	ry
1	25.803 14.720 11.190	0.755 0.755 0.335	1.125 1.062 1.062	-- -- --	-- -- --	-- -- --	-- -- --	--	--	0.699	0.925

n°	D [m]	B' [m]	H [m]	γ [°]	φ [kN/mc]	c [kPa]
1	1,50	4,00	3,33	18,00	28,00	0

Verifica a ribaltamento

Simbologia adottata

n°	Indice combinazione
Ms	Momento stabilizzante, espresso in [kNm]
Mr	Momento ribaltante, espresso in [kNm]
FS	Fattore di sicurezza (rapporto tra momento stabilizzante e momento ribaltante)

La verifica viene eseguita rispetto allo spigolo inferiore esterno della fondazione

n°	Ms [kNm]	Mr [kNm]	FS
3 - EQU (A1-M1-R3)	760,86	211,42	3.599

Verifica stabilità globale muro + terreno

Simbologia adottata

Ic	Indice/Tipo combinazione
C	Centro superficie di scorrimento, espresso in [m]
R	Raggio, espresso in [m]
FS	Fattore di sicurezza

Ic	C [m]	R [m]	FS
2 - GEO (A2-M2-R2)	-1,00; 1,50	6,61	2.999

Dettagli strisce verifiche stabilità

Simbologia adottata

Le ascisse X sono considerate positive verso monte
Le ordinate Y sono considerate positive verso l'alto
Origine in testa al muro (spigolo contro terra)
W peso della striscia espresso in [kN]
Qy carico sulla striscia espresso in [kN]
Qf carico acqua sulla striscia espresso in [kN]
 α angolo fra la base della striscia e l'orizzontale espresso in [°] (positivo antiorario)
 ϕ angolo d'attrito del terreno lungo la base della striscia
c coesione del terreno lungo la base della striscia espressa in [kPa]
b larghezza della striscia espressa in [m]
u pressione neutra lungo la base della striscia espressa in [kPa]
Tx; Ty Resistenza al taglio fornita dai tiranti in direzione X ed Y espressa in [kPa]

Combinazione n° 2 - GEO (A2-M2-R2)

n°	W [kN]	Qy [kN]	Qf [kN]	b [m]	α [°]	ϕ [°]	c [kPa]	u [kPa]	Tx; Ty [kN]
1	6,18	1,17	0,00	5,45 - 0,47	70.426	35.000	0	0,0	
2	16,28	1,17	0,00	0,47	60.614	35.000	0	0,0	
3	23,11	1,17	0,00	0,47	53.084	35.000	0	0,0	
4	28,37	1,17	0,00	0,47	46.732	35.000	0	0,0	
5	32,62	1,17	0,00	0,47	41.069	35.000	0	0,0	
6	32,62	1,17	0,00	0,47	35.863	35.000	0	0,0	
7	41,23	1,17	0,00	0,47	30.984	28.000	0	0,0	
8	43,40	1,17	0,00	0,47	26.344	28.000	0	0,0	
9	45,18	1,17	0,00	0,47	21.885	28.000	0	0,0	
10	46,60	1,17	0,00	0,47	17.562	28.000	0	0,0	
11	47,70	1,17	0,00	0,47	13.341	28.000	0	0,0	
12	53,42	0,72	0,00	0,47	9.193	28.000	0	0,0	
13	47,32	0,00	0,00	0,47	5.093	28.000	0	0,0	
14	25,75	0,00	0,00	0,47	1.019	28.000	0	0,0	
15	24,49	0,00	0,00	0,47	-3.050	28.000	0	0,0	
16	22,98	0,00	0,00	0,47	-7.134	28.000	0	0,0	
17	22,34	0,00	0,00	0,47	-11.255	28.000	0	0,0	
18	21,39	0,00	0,00	0,47	-15.437	28.000	0	0,0	
19	20,14	0,00	0,00	0,47	-19.705	28.000	0	0,0	
20	18,55	0,00	0,00	0,47	-24.091	28.000	0	0,0	
21	16,58	0,00	0,00	0,47	-28.634	28.000	0	0,0	
22	14,16	0,00	0,00	0,47	-33.385	28.000	0	0,0	
23	11,02	0,00	0,00	0,47	-38.414	35.000	0	0,0	
24	7,16	0,00	0,00	0,47	-43.827	35.000	0	0,0	
25	2,45	0,00	0,00	-6,28 - 0,47	-48.939	35.000	0	0,0	

Sollecitazioni

Elementi calcolati a trave

Simbologia adottata

N Sforzo normale, espresso in [kN]. Positivo se di compressione.
T Taglio, espresso in [kN]. Positivo se diretto da monte verso valle
M Momento, espresso in [kNm]. Positivo se tende le fibre contro terra (a monte)

Paramento

Combinazione n° 1 - STR (A1-M1-R3)

n°	X [m]	N [kN]	T [kN]	M [kNm]
1	0,00	1,88	31,81	31,95
2	-0,10	3,26	31,90	35,14
3	-0,20	4,67	32,04	38,35
4	-0,30	6,11	32,22	41,58
5	-0,40	7,57	32,46	44,83
6	-0,50	9,06	32,75	48,13
7	-0,60	10,57	33,09	51,46
8	-0,70	12,11	33,47	54,83
9	-0,80	13,67	33,91	58,26
10	-0,90	15,26	34,40	61,73
11	-1,00	16,87	34,94	65,27
12	-1,10	18,51	35,52	68,87
13	-1,20	20,17	36,16	72,54
14	-1,30	21,86	36,85	76,29
15	-1,40	23,57	37,58	80,11
16	-1,50	25,31	38,37	84,02
17	-1,60	27,07	39,21	88,02
18	-1,70	28,86	40,09	92,12
19	-1,80	30,67	41,03	96,31
20	-1,90	32,50	42,02	100,61
21	-2,00	34,37	43,05	105,02
22	-2,10	36,25	44,14	109,55
23	-2,20	38,16	45,28	114,20
24	-2,30	40,10	46,47	118,97
25	-2,40	42,06	47,70	123,87

n°	X [m]	N [kN]	T [kN]	M [kNm]
26	-2,50	44,05	48,99	128,91
27	-2,60	46,06	50,33	134,09
28	-2,70	48,10	51,71	139,42
29	-2,80	50,16	53,15	144,90
30	-2,90	52,24	54,63	150,53
31	-3,00	54,35	56,17	156,33

Combinazione n° 4 - ECC

n°	X [m]	N [kN]	T [kN]	M [kNm]
1	0,00	1,88	31,81	31,95
2	-0,10	3,26	31,90	35,14
3	-0,20	4,67	32,04	38,35
4	-0,30	6,11	32,22	41,58
5	-0,40	7,57	32,46	44,83
6	-0,50	9,06	32,75	48,13
7	-0,60	10,57	33,09	51,46
8	-0,70	12,11	33,47	54,83
9	-0,80	13,67	33,91	58,26
10	-0,90	15,26	34,40	61,73
11	-1,00	16,87	34,94	65,27
12	-1,10	18,51	35,52	68,87
13	-1,20	20,17	36,16	72,54
14	-1,30	21,86	36,85	76,29
15	-1,40	23,57	37,58	80,11
16	-1,50	25,31	38,37	84,02
17	-1,60	27,07	39,21	88,02
18	-1,70	28,86	40,09	92,12
19	-1,80	30,67	41,03	96,31
20	-1,90	32,50	42,02	100,61
21	-2,00	34,37	43,05	105,02
22	-2,10	36,25	44,14	109,55
23	-2,20	38,16	45,28	114,20
24	-2,30	40,10	46,47	118,97
25	-2,40	42,06	47,70	123,87
26	-2,50	44,05	48,99	128,91
27	-2,60	46,06	50,33	134,09
28	-2,70	48,10	51,71	139,42
29	-2,80	50,16	53,15	144,90
30	-2,90	52,24	54,63	150,53
31	-3,00	54,35	56,17	156,33

Mensola valle

Combinazione n° 1 - STR (A1-M1-R3)

n°	X [m]	N [kN]	T [kN]	M [kNm]
1	-0,70	0,00	0,00	0,00
2	-0,63	0,00	0,94	0,04
3	-0,55	0,00	1,88	0,14

Combinazione n° 4 - ECC

n°	X [m]	N [kN]	T [kN]	M [kNm]
1	-0,70	0,00	0,00	0,00
2	-0,63	0,00	0,94	0,04
3	-0,55	0,00	1,88	0,14

Fondazione

Combinazione n° 1 - STR (A1-M1-R3)

n°	X [m]	N [kN]	T [kN]	M [kNm]
1	-1,35	0,00	0,00	0,00
2	-1,25	0,00	9,42	0,47
3	-1,15	0,00	18,62	1,88
4	-1,05	0,00	27,58	4,19
5	-0,95	0,00	36,32	7,39
6	-0,85	0,00	44,83	11,45
7	-0,75	0,00	53,12	16,34
8	-0,65	0,00	61,17	22,06
9	-0,55	0,00	69,00	28,57
10	0,30	0,00	-52,64	-86,45
11	0,40	0,00	-52,95	-81,28
12	0,50	0,00	-53,05	-76,09
13	0,59	0,00	-52,93	-70,90
14	0,69	0,00	-52,59	-65,73

n°	X [m]	N [kN]	T [kN]	M [kNm]
15	0,79	0,00	-52,03	-60,61
16	0,89	0,00	-51,26	-55,55
17	0,98	0,00	-50,26	-50,58
18	1,08	0,00	-49,05	-45,71
19	1,18	0,00	-47,62	-40,98
20	1,28	0,00	-45,97	-36,39
21	1,38	0,00	-44,11	-31,98
22	1,47	0,00	-42,02	-27,76
23	1,57	0,00	-39,72	-23,76
24	1,67	0,00	-37,20	-19,99
25	1,77	0,00	-34,46	-16,48
26	1,87	0,00	-31,50	-13,25
27	1,96	0,00	-28,33	-10,32
28	2,06	0,00	-24,94	-7,71
29	2,16	0,00	-21,33	-5,44
30	2,26	0,00	-17,50	-3,54
31	2,36	0,00	-13,45	-2,02
32	2,45	0,00	-9,18	-0,91
33	2,55	0,00	-4,70	-0,23
34	2,65	0,00	0,00	0,00

Combinazione n° 4 - ECC

n°	X [m]	N [kN]	T [kN]	M [kNm]
1	-1,35	0,00	0,00	0,00
2	-1,25	0,00	9,42	0,47
3	-1,15	0,00	18,62	1,88
4	-1,05	0,00	27,58	4,19
5	-0,95	0,00	36,32	7,39
6	-0,85	0,00	44,83	11,45
7	-0,75	0,00	53,12	16,34
8	-0,65	0,00	61,17	22,06
9	-0,55	0,00	69,00	28,57
10	0,30	0,00	-52,64	-86,45
11	0,40	0,00	-52,95	-81,28
12	0,50	0,00	-53,05	-76,09
13	0,59	0,00	-52,93	-70,90
14	0,69	0,00	-52,59	-65,73
15	0,79	0,00	-52,03	-60,61
16	0,89	0,00	-51,26	-55,55
17	0,98	0,00	-50,26	-50,58
18	1,08	0,00	-49,05	-45,71
19	1,18	0,00	-47,62	-40,98
20	1,28	0,00	-45,97	-36,39
21	1,38	0,00	-44,11	-31,98
22	1,47	0,00	-42,02	-27,76
23	1,57	0,00	-39,72	-23,76
24	1,67	0,00	-37,20	-19,99
25	1,77	0,00	-34,46	-16,48
26	1,87	0,00	-31,50	-13,25
27	1,96	0,00	-28,33	-10,32
28	2,06	0,00	-24,94	-7,71
29	2,16	0,00	-21,33	-5,44
30	2,26	0,00	-17,50	-3,54
31	2,36	0,00	-13,45	-2,02
32	2,45	0,00	-9,18	-0,91
33	2,55	0,00	-4,70	-0,23
34	2,65	0,00	0,00	0,00

Risultati per involucro

Spinta e forze

Simbologia adottata

Ic	Indice della combinazione
A	Tipo azione
I	Inclinazione della spinta, espressa in [°]
V	Valore dell'azione, espressa in [kN]
Cx, Cy	Componente in direzione X ed Y dell'azione, espressa in [kN]
Px, Py	Coordinata X ed Y del punto di applicazione dell'azione, espressa in [m]

Ic	A	V [kN]	I [°]	Cx [kN]	Cy [kN]	Px [m]	Py [m]
1	Spinta statica	41,55	23,33	38,15	16,46	2,65	-2,63
	Peso/Inerzia muro			0,00	154,34/0,00	0,35	-2,82
	Peso/Inerzia terrapieno			0,00	156,61/0,00	1,40	-1,47
	Peso/Inerzia terreno sulla fondazione di valle			0,00	8,00	-0,95	-2,75
	Risultante forze sul muro			31,81	0,00	--	--

Risultanti globali

Simbologia adottata

Cmb	Indice/Tipo combinazione
N	Componente normale al piano di posa, espressa in [kN]
T	Componente parallela al piano di posa, espressa in [kN]
Mr	Momento ribaltante, espresso in [kNm]
Ms	Momento stabilizzante, espresso in [kNm]
ecc	Eccentricità risultante, espressa in [m]

Ic	N [kN]	T [kN]	Mr [kNm]	Ms [kNm]	ecc [m]
1 - STR (A1-M1-R3)	335,40	69,96	211,42	760,86	0,362
2 - GEO (A2-M2-R2)	335,40	69,96	211,42	760,86	0,362
3 - EQU (A1-M1-R3)	335,40	69,96	211,42	760,86	0,362
4 - ECC	335,40	69,96	211,42	760,86	0,362

Verifiche geotecniche

Quadro riassuntivo coeff. di sicurezza calcolati

Simbologia adottata

Cmb	Indice/Tipo combinazione
S	Sisma (H: componente orizzontale, V: componente verticale)
FS _{SCO}	Coeff. di sicurezza allo scorrimento
FS _{RIB}	Coeff. di sicurezza al ribaltamento
FS _{QLIM}	Coeff. di sicurezza a carico limite
FS _{STAB}	Coeff. di sicurezza a stabilità globale
FS _{HYD}	Coeff. di sicurezza a sifonamento
FS _{UPL}	Coeff. di sicurezza a sollevamento

Cmb	Sismica	FS _{SCO}	FS _{RIB}	FS _{QLIM}	FS _{STAB}	FS _{HYD}	FS _{UPL}
1 - STR (A1-M1-R3)		2.549		3.766			
2 - GEO (A2-M2-R2)					2.999		
3 - EQU (A1-M1-R3)			3.599				

Verifica a scorrimento fondazione

Simbologia adottata

n°	Indice combinazione
Rsa	Resistenza allo scorrimento per attrito, espresso in [kN]
Rpt	Resistenza passiva terreno antistante, espresso in [kN]
Rps	Resistenza passiva sperone, espresso in [kN]
Rp	Resistenza a carichi orizzontali pali (solo per fondazione mista), espresso in [kN]
Rt	Resistenza a carichi orizzontali tiranti (solo se presenti), espresso in [kN]
R	Resistenza allo scorrimento (somma di Rsa+Rpt+Rps+Rp), espresso in [kN]
T	Carico parallelo al piano di posa, espresso in [kN]
FS	Fattore di sicurezza (rapporto R/T)

n°	Rsa [kN]	Rpt [kN]	Rps [kN]	Rp [kN]	Rt [kN]	R [kN]	T [kN]	FS
1 - STR (A1-M1-R3)	178,34	0,00	0,00	--	--	178,34	69,96	2.549

Verifica a carico limite

Simbologia adottata

n°	Indice combinazione
N	Carico normale totale al piano di posa, espresso in [kN]
Qu	carico limite del terreno, espresso in [kN]
Qd	Portanza di progetto, espresso in [kN]
FS	Fattore di sicurezza (rapporto tra il carico limite e carico agente al piano di posa)

n°	N [kN]	Qu [kN]	Qd [kN]	FS
1 - STR (A1-M1-R3)	335,40	1263,26	902,33	3.766

Dettagli calcolo portanza

Simbologia adottata

n°	Indice combinazione
Nc, Nq, Ny	Fattori di capacità portante
ic, iq, iy	Fattori di inclinazione del carico
dc, dq, dy	Fattori di profondità del piano di posa
gc, gq, gy	Fattori di inclinazione del profilo topografico
bc, bq, by	Fattori di inclinazione del piano di posa
sc, sq, sy	Fattori di forma della fondazione
pc, pq, py	Fattori di riduzione per punzonamento secondo Vesic
Re	Fattore di riduzione capacità portante per eccentricità secondo Meyerhof
Ir, Irc	Indici di rigidità per punzonamento secondo Vesic
ry	Fattori per tener conto dell'effetto piastra. Per fondazioni che hanno larghezza maggiore di 2 m, il terzo termine della formula trinomia $0.5B_y N_y$ viene moltiplicato per questo fattore
D	Affondamento del piano di posa, espresso in [m]
B'	Larghezza fondazione ridotta, espresso in [m]
H	Altezza del cuneo di rottura, espresso in [m]
γ	Peso di volume del terreno medio, espresso in [kN/mc]
φ	Angolo di attrito del terreno medio, espresso in [°]
c	Coesione del terreno medio, espresso in [kPa]

Per i coeff. che in tabella sono indicati con il simbolo '--' sono coeff. non presenti nel metodo scelto (Meyerhof).

n°	Nc Nq Ny	ic iq iy	dc dq dy	gc gq gy	bc bq by	sc sq sy	pc pq py	Ir	Irc	Re	ry
1	25.803 14.720 11.190	0.755 0.755 0.335	1.125 1.062 1.062	-- -- --	-- -- --	-- -- --	-- -- --	--	--	0.699	0.925

n°	D [m]	B' [m]	H [m]	γ [°]	φ [kN/mc]	c [kPa]
1	1,50	4,00	3,33	18,00	28,00	0

Verifica a ribaltamento

Simbologia adottata

n°	Indice combinazione
Ms	Momento stabilizzante, espresso in [kNm]
Mr	Momento ribaltante, espresso in [kNm]
FS	Fattore di sicurezza (rapporto tra momento stabilizzante e momento ribaltante)

La verifica viene eseguita rispetto allo spigolo inferiore esterno della fondazione

n°	Ms [kNm]	Mr [kNm]	FS
3 - EQU (A1-M1-R3)	760,86	211,42	3.599

Verifica stabilità globale muro + terreno

Simbologia adottata

Ic	Indice/Tipo combinazione
C	Centro superficie di scorrimento, espresso in [m]
R	Raggio, espresso in [m]
FS	Fattore di sicurezza

Ic	C [m]	R [m]	FS
2 - GEO (A2-M2-R2)	-1,00; 1,50	6,61	2.999

Dettagli strisce verifiche stabilità

Simbologia adottata

Le ascisse X sono considerate positive verso monte	
Le ordinate Y sono considerate positive verso l'alto	
Origine in testa al muro (spigolo contro terra)	
W	peso della striscia espresso in [kN]
Qy	carico sulla striscia espresso in [kN]
Qf	carico acqua sulla striscia espresso in [kN]
α	angolo fra la base della striscia e l'orizzontale espresso in [°] (positivo antiorario)

ϕ angolo d'attrito del terreno lungo la base della striscia
 c coesione del terreno lungo la base della striscia espressa in [kPa]
 b larghezza della striscia espressa in [m]
 u pressione neutra lungo la base della striscia espressa in [kPa]
 Tx; Ty Resistenza al taglio fornita dai tiranti in direzione X ed Y espressa in [kPa]

n°	W [kN]	Qy [kN]	Qf [kN]	b [m]	α [°]	ϕ [°]	c [kPa]	u [kPa]	Tx; Ty [kN]
1	6,18	1,17	0,00	5,45 - 0,47	70,426	35,000	0	0,0	
2	16,28	1,17	0,00	0,47	60,614	35,000	0	0,0	
3	23,11	1,17	0,00	0,47	53,084	35,000	0	0,0	
4	28,37	1,17	0,00	0,47	46,732	35,000	0	0,0	
5	32,62	1,17	0,00	0,47	41,069	35,000	0	0,0	
6	32,62	1,17	0,00	0,47	35,863	35,000	0	0,0	
7	41,23	1,17	0,00	0,47	30,984	28,000	0	0,0	
8	43,40	1,17	0,00	0,47	26,344	28,000	0	0,0	
9	45,18	1,17	0,00	0,47	21,885	28,000	0	0,0	
10	46,60	1,17	0,00	0,47	17,562	28,000	0	0,0	
11	47,70	1,17	0,00	0,47	13,341	28,000	0	0,0	
12	53,42	0,72	0,00	0,47	9,193	28,000	0	0,0	
13	47,32	0,00	0,00	0,47	5,093	28,000	0	0,0	
14	25,75	0,00	0,00	0,47	1,019	28,000	0	0,0	
15	24,49	0,00	0,00	0,47	-3,050	28,000	0	0,0	
16	22,98	0,00	0,00	0,47	-7,134	28,000	0	0,0	
17	22,34	0,00	0,00	0,47	-11,255	28,000	0	0,0	
18	21,39	0,00	0,00	0,47	-15,437	28,000	0	0,0	
19	20,14	0,00	0,00	0,47	-19,705	28,000	0	0,0	
20	18,55	0,00	0,00	0,47	-24,091	28,000	0	0,0	
21	16,58	0,00	0,00	0,47	-28,634	28,000	0	0,0	
22	14,16	0,00	0,00	0,47	-33,385	28,000	0	0,0	
23	11,02	0,00	0,00	0,47	-38,414	35,000	0	0,0	
24	7,16	0,00	0,00	0,47	-43,827	35,000	0	0,0	
25	2,45	0,00	0,00	-6,28 - 0,47	-48,939	35,000	0	0,0	

Sollecitazioni

Elementi calcolati a trave

Simbologia adottata

N Sforzo normale, espresso in [kN]. Positivo se di compressione.
 T Taglio, espresso in [kN]. Positivo se diretto da monte verso valle
 M Momento, espresso in [kNm]. Positivo se tende le fibre contro terra (a monte)

Paramento

n°	X [m]	Nmin [kN]	Nmax [kN]	Tmin [kN]	Tmax [kN]	Mmin [kNm]	Mmax [kNm]
1	0,00	1,88	1,88	31,81	31,81	31,95	31,95
2	-0,10	3,26	3,26	31,90	31,90	35,14	35,14
3	-0,20	4,67	4,67	32,04	32,04	38,35	38,35
4	-0,30	6,11	6,11	32,22	32,22	41,58	41,58
5	-0,40	7,57	7,57	32,46	32,46	44,83	44,83
6	-0,50	9,06	9,06	32,75	32,75	48,13	48,13
7	-0,60	10,57	10,57	33,09	33,09	51,46	51,46
8	-0,70	12,11	12,11	33,47	33,47	54,83	54,83
9	-0,80	13,67	13,67	33,91	33,91	58,26	58,26
10	-0,90	15,26	15,26	34,40	34,40	61,73	61,73
11	-1,00	16,87	16,87	34,94	34,94	65,27	65,27
12	-1,10	18,51	18,51	35,52	35,52	68,87	68,87
13	-1,20	20,17	20,17	36,16	36,16	72,54	72,54
14	-1,30	21,86	21,86	36,85	36,85	76,29	76,29
15	-1,40	23,57	23,57	37,58	37,58	80,11	80,11
16	-1,50	25,31	25,31	38,37	38,37	84,02	84,02
17	-1,60	27,07	27,07	39,21	39,21	88,02	88,02
18	-1,70	28,86	28,86	40,09	40,09	92,12	92,12
19	-1,80	30,67	30,67	41,03	41,03	96,31	96,31
20	-1,90	32,50	32,50	42,02	42,02	100,61	100,61
21	-2,00	34,37	34,37	43,05	43,05	105,02	105,02
22	-2,10	36,25	36,25	44,14	44,14	109,55	109,55
23	-2,20	38,16	38,16	45,28	45,28	114,20	114,20
24	-2,30	40,10	40,10	46,47	46,47	118,97	118,97
25	-2,40	42,06	42,06	47,70	47,70	123,87	123,87
26	-2,50	44,05	44,05	48,99	48,99	128,91	128,91
27	-2,60	46,06	46,06	50,33	50,33	134,09	134,09
28	-2,70	48,10	48,10	51,71	51,71	139,42	139,42
29	-2,80	50,16	50,16	53,15	53,15	144,90	144,90
30	-2,90	52,24	52,24	54,63	54,63	150,53	150,53
31	-3,00	54,35	54,35	56,17	56,17	156,33	156,33

Mensola valle

n°	X [m]	Nmin [kN]	Nmax [kN]	Tmin [kN]	Tmax [kN]	Mmin [kNm]	Mmax [kNm]
1	-0,70	0,00	0,00	0,00	0,00	0,00	0,00

n°	X [m]	Nmin [kN]	Nmax [kN]	Tmin [kN]	Tmax [kN]	Mmin [kNm]	Mmax [kNm]
2	-0,63	0,00	0,00	0,94	0,94	0,04	0,04
3	-0,55	0,00	0,00	1,88	1,88	0,14	0,14

Fondazione

n°	X [m]	Nmin [kN]	Nmax [kN]	Tmin [kN]	Tmax [kN]	Mmin [kNm]	Mmax [kNm]
1	-1,35	0,00	0,00	0,00	0,00	0,00	0,00
2	-1,25	0,00	0,00	9,42	9,42	0,47	0,47
3	-1,15	0,00	0,00	18,62	18,62	1,88	1,88
4	-1,05	0,00	0,00	27,58	27,58	4,19	4,19
5	-0,95	0,00	0,00	36,32	36,32	7,39	7,39
6	-0,85	0,00	0,00	44,83	44,83	11,45	11,45
7	-0,75	0,00	0,00	53,12	53,12	16,34	16,34
8	-0,65	0,00	0,00	61,17	61,17	22,06	22,06
9	-0,55	0,00	0,00	69,00	69,00	28,57	28,57
10	0,30	0,00	0,00	-52,64	-52,64	-86,45	-86,45
11	0,40	0,00	0,00	-52,95	-52,95	-81,28	-81,28
12	0,50	0,00	0,00	-53,05	-53,05	-76,09	-76,09
13	0,59	0,00	0,00	-52,93	-52,93	-70,90	-70,90
14	0,69	0,00	0,00	-52,59	-52,59	-65,73	-65,73
15	0,79	0,00	0,00	-52,03	-52,03	-60,61	-60,61
16	0,89	0,00	0,00	-51,26	-51,26	-55,55	-55,55
17	0,98	0,00	0,00	-50,26	-50,26	-50,58	-50,58
18	1,08	0,00	0,00	-49,05	-49,05	-45,71	-45,71
19	1,18	0,00	0,00	-47,62	-47,62	-40,98	-40,98
20	1,28	0,00	0,00	-45,97	-45,97	-36,39	-36,39
21	1,38	0,00	0,00	-44,11	-44,11	-31,98	-31,98
22	1,47	0,00	0,00	-42,02	-42,02	-27,76	-27,76
23	1,57	0,00	0,00	-39,72	-39,72	-23,76	-23,76
24	1,67	0,00	0,00	-37,20	-37,20	-19,99	-19,99
25	1,77	0,00	0,00	-34,46	-34,46	-16,48	-16,48
26	1,87	0,00	0,00	-31,50	-31,50	-13,25	-13,25
27	1,96	0,00	0,00	-28,33	-28,33	-10,32	-10,32
28	2,06	0,00	0,00	-24,94	-24,94	-7,71	-7,71
29	2,16	0,00	0,00	-21,33	-21,33	-5,44	-5,44
30	2,26	0,00	0,00	-17,50	-17,50	-3,54	-3,54
31	2,36	0,00	0,00	-13,45	-13,45	-2,02	-2,02
32	2,45	0,00	0,00	-9,18	-9,18	-0,91	-0,91
33	2,55	0,00	0,00	-4,70	-4,70	-0,23	-0,23
34	2,65	0,00	0,00	0,00	0,00	0,00	0,00

10.2 MURO TIPOLOGICO 03 su 2 pali ($H_{paramento}=4m$)

10.2.1 Combinazione statica

Dati

Materiali

Simbologia adottata

n°	Indice materiale
Descr	Descrizione del materiale
<u>Calcestruzzo armato</u>	
C	Classe di resistenza del cls
A	Classe di resistenza dell'acciaio
γ	Peso specifico, espresso in [kN/mc]
Rck	Resistenza caratteristica a compressione, espressa in [kPa]
E	Modulo elastico, espresso in [kPa]
ν	Coeff. di Poisson
n	Coeff. di omogenizzazione acciaio/cls
ntc	Coeff. di omogenizzazione cls tesoro/compresso

Calcestruzzo armato

n°	Descr	C	A	γ [kN/mc]	Rck [kPa]	E [kPa]	ν	n	ntc
1	C32/40	C32/40	B450C	24,5170	40000	33642648	0.30	15.00	0.50
2	Materiale tiranti	Rck 250	Precomp	24,5170	24517	30073438	0.30	15.00	0.50

Acciai

Descr	f _{yk} [kPa]	f _{uk} [kPa]
B450C	450000	540000

Tipologie pali

Simbologia adottata

n°	Indice tipologia palo
Descr	Descrizione tipologia palo
P	Contributo portanza palo (laterale e/o punta)
T	Tecnologia costruttiva (trivellato, infisso o elica continua)
V	Vincolo palo-fondazione: Cerniera o Incastro (libero o impedito di ruotare in testa)
Imat	Indice materiale che lo costituisce
BD	usa metodo di Bustamante-Doix
PN	Portanza nota
Pp, Pl	Portanza di punta e laterale caratteristica, espressa in [kN]

n°	Descr	P	T	V	Imat	BD	PN	Pp	Pl
1	Palo	Laterale + Punta	Trivellato	Cerniera	1	NO	SI	10000,00	10000,00

Geometria profilo terreno a monte del muro

Simbologia adottata

(Sistema di riferimento con origine in testa al muro, ascissa X positiva verso monte, ordinata Y positiva verso l'alto)

n°	numero ordine del punto
X	ascissa del punto espressa in [m]
Y	ordinata del punto espressa in [m]
A	inclinazione del tratto espressa in [°]

n°	X [m]	Y [m]	A [°]
1	0,00	0,00	0.000
2	15,00	0,00	0.000

Inclinazione terreno a valle del muro rispetto all'orizzontale 0.000 [°]

Geometria muro

Geometria paramento e fondazione

Lunghezza muro 3,00 [m]

Paramento

Materiale	C32/40	
Altezza paramento	4,00	[m]
Altezza paramento libero	3,50	[m]
Spessore in sommità	0,55	[m]
Spessore all'attacco con la fondazione	0,95	[m]
Inclinazione paramento esterno	0,00	[°]
Inclinazione paramento interno	5,70	[°]

Mensola di marciapiede

Posizione rispetto alla testa del muro	0,00	[m]
Lunghezza	0,15	[m]
Spessore all'estremità libera	0,50	[m]
Spessore all'incastro	0,50	[m]

Fondazione

Materiale	C32/40	
Lunghezza mensola di valle	1,40	[m]
Lunghezza mensola di monte	2,25	[m]
Lunghezza totale	4,60	[m]
Inclinazione piano di posa	0,00	[°]
Spessore	1,00	[m]
Spessore magrone	0,00	[m]

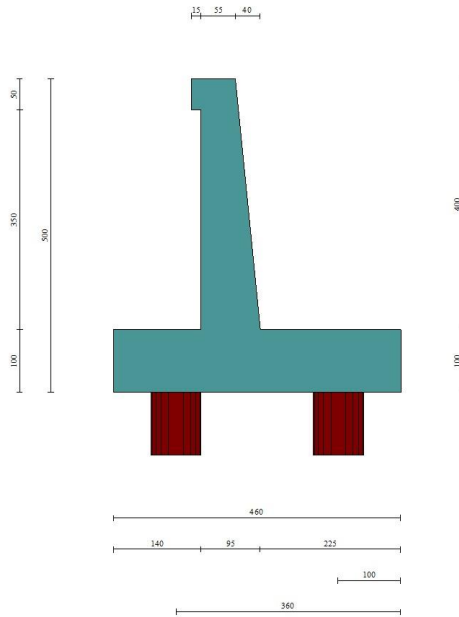


Fig. 1 - Sezione quotata del muro

Descrizione pali di fondazione

Simbologia adottata

n°	numero d'ordine della fila
X	ascissa della fila misurata dallo spigolo di monte della fondazione espressa in [m]
I	interasse tra i pali, espressa in [m]
f	franco laterale (distanza minima dal bordo laterale), espressa in [m]
Np	Numero di pali della fila
D	diametro dei pali della fila espresso in [cm]
L	lunghezza dei pali della fila espressa in [m]
α	inclinazione dei pali della fila rispetto alla verticale espressa in [°]
ALL	allineamento dei pali della fila rispetto al baricentro della fondazione (CENTRATI o SFALSATI)

n°	Tipologia	X [m]	I [m]	f [m]	Np	D [cm]	L [m]	α [°]	ALL
1	Palo	1,00	2,60	0,20	1	80,00	20,00	0,00	Centrati
2	Palo	3,60	2,60	0,20	1	80,00	20,00	0,00	Centrati

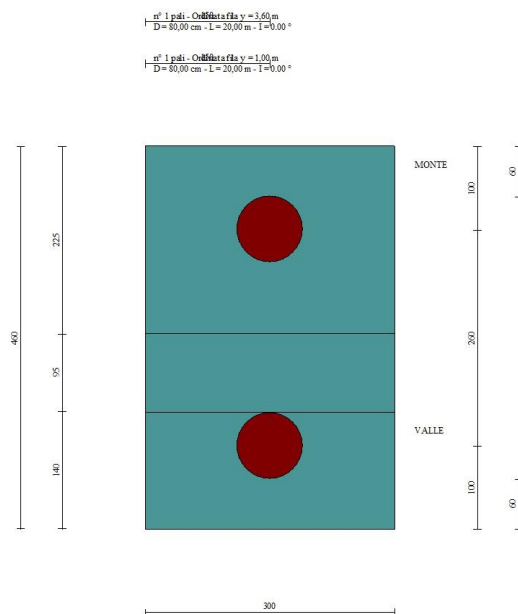


Fig. 2 - Pianta pali

Descrizione terreni

Parametri di resistenza

Simbologia adottata

n°	Indice del terreno
Descr	Descrizione terreno
γ	Peso di volume del terreno espresso in [kN/mc]
γ_{sat}	Peso di volume saturo del terreno espresso in [kN/mc]
ϕ	Angolo d'attrito interno espresso in [°]
δ	Angolo d'attrito terra-muro espresso in [°]
c	Coesione espressa in [kPa]
ca	Adesione terra-muro espressa in [kPa]
<u>Per calcolo portanza con il metodo di Bustamante-Doix</u>	
Cesp	Coeff. di espansione laterale (solo per il metodo di Bustamante-Doix)
τ_l	Tensione tangenziale limite, espressa in [kPa]

n°	Descr	γ [kN/mc]	γ_{sat} [kN/mc]	ϕ [°]	δ [°]	c [kPa]	ca [kPa]	Cesp	τ_l [kPa]	
1	terreno di riporto	18,0000	18,0000	28.000	28.000	0	0	1.000	0	(CAR)
				28.000	28.000	0	0			(MIN)
				28.000	28.000	0	0			(MED)
2	rilevato stradale	18,0000	18,0000	35.000	23.330	0	0	1.000	0	(CAR)
				35.000	23.333	0	0			(MIN)
				35.000	23.333	0	0			(MED)
3	PR_ sabbia limosa	16,0000	16,0000	32.000	32.000	10	0	1.000	0	(CAR)
				32.000	32.000	10	0			(MIN)
				32.000	32.000	10	0			(MED)
4	CL- limo sabbioso argilloso	19,0000	19,0000	29.000	29.000	5	0	1.000	0	(CAR)
				29.000	29.000	5	0			(MIN)
				29.000	29.000	5	0			(MED)

Stratigrafia

Simbologia adottata

n°	Indice dello strato
H	Spessore dello strato espresso in [m]
α	Inclinazione espressa in [°]
Terreno	Terreno dello strato
Kwn, Kwt	Costante di Winkler normale e tangenziale alla superficie espressa in Kg/cm ² /cm
<u>Per calcolo pali (solo se presenti)</u>	
Kw	Costante di Winkler orizzontale espressa in Kg/cm ² /cm
Ks	Coefficiente di spinta
Cesp	Coefficiente di espansione laterale (per tutti i metodi tranne il metodo di Bustamante-Doix)

Per calcolo della spinta con coeff. di spinta definiti (usati solo se attiva l'opzione 'Usa coeff. di spinta da strato')
Kststa, Kstsis Coeff. di spinta statico e sismico

n°	H [m]	α [°]	Terreno	K _{wn} [Kg/cm ²]	K _{wt} [Kg/cm ²]	K _w [Kg/cm ²]	K _s	Cesp	K _{st_{sta}}	K _{st_{sis}}
1	5,00	0.000	rilevato stradale	0.000	0.000	1,000	0,500	1,000	---	---
2	3,00	0.000	terreno di riporto	0.000	0.000	10,000	0,500	1,000	---	---
3	12,00	0.000	PR_sabbia limosa	0.000	0.000	10,000	0,000	1,000	---	---
4	3,00	0.000	CL- limo sabbioso argilloso	0.000	0.000	10,000	0,000	1,000	---	---

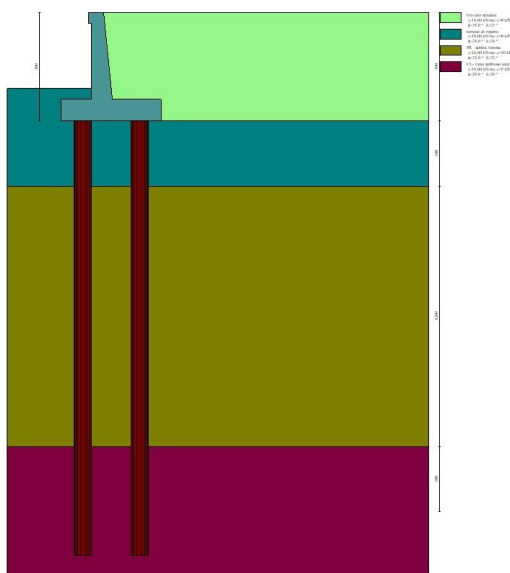


Fig. 3 - Stratigrafia

Condizioni di carico

Simbologia adottata

Carichi verticali positivi verso il basso.

Carichi orizzontali positivi verso sinistra.

Momento positivo senso antiorario.

X Ascissa del punto di applicazione del carico concentrato espressa in [m]

F_x Componente orizzontale del carico concentrato espressa in [kN]

F_y Componente verticale del carico concentrato espressa in [kN]

M Momento espresso in [kNm]

X_i Ascissa del punto iniziale del carico ripartito espressa in [m]

X_f Ascissa del punto finale del carico ripartito espressa in [m]

Q_i Intensità del carico per x=X_i espressa in [kN]

Q_f Intensità del carico per x=X_f espressa in [kN]

Condizione n° 1 (traffico veicolare) - VARIABILE TF

Coeff. di combinazione $\Psi_0=0.75 - \Psi_1=0.75 - \Psi_2=0.00$

Carichi sul terreno

n°	Tipo	X [m]	F _x [kN]	F _y [kN]	M [kNm]	X _i [m]	X _f [m]	Q _i [kN]	Q _f [kN]
1	Distribuito					0,00	12,00	20,000	20,000

Condizione n° 2 (pavimentazione) - PERMANENTE NS

Carichi sul terreno

n°	Tipo	X [m]	F _x [kN]	F _y [kN]	M [kNm]	X _i [m]	X _f [m]	Q _i [kN]	Q _f [kN]
1	Distribuito					0,00	10,00	2,5000	2,5000

Normativa

Normativa usata: **Norme Tecniche sulle Costruzioni 2018 (D.M. 17.01.2018) + Circolare C.S.LL.PP. 21/01/2019 n.7**

Coeff. parziali per le azioni o per l'effetto delle azioni

Carichi	Effetto		Combinazioni statiche					Combinazioni sismiche		
			HYD	UPL	EQU	A1	A2	EQU	A1	A2
Permanenti strutturali	Favorevoli	$\gamma_{G1,fav}$	1.00	0.90	1.00	1.00	1.00	1.00	1.00	1.00
Permanenti strutturali	Sfavorevoli	$\gamma_{G1,sfav}$	1.00	1.10	1.30	1.30	1.00	1.00	1.00	1.00
Permanenti non strutturali	Favorevoli	$\gamma_{G2,fav}$	0.00	0.80	0.80	0.80	0.80	0.00	0.00	0.00
Permanenti non strutturali	Sfavorevoli	$\gamma_{G2,sfav}$	1.00	1.50	1.50	1.50	1.30	1.00	1.00	1.00
Variabili	Favorevoli	$\gamma_{Q,fav}$	0.00	0.00	0.00	0.00	0.00	0.00	0.00	0.00
Variabili	Sfavorevoli	$\gamma_{Q,sfav}$	1.00	1.50	1.50	1.50	1.30	1.00	1.00	1.00
Variabili da traffico	Favorevoli	$\gamma_{QT,fav}$	0.00	0.00	0.00	0.00	0.00	0.00	0.00	0.00
Variabili da traffico	Sfavorevoli	$\gamma_{QT,sfav}$	1.00	1.50	1.35	1.35	1.15	1.00	1.00	1.00

Coeff. parziali per i parametri geotecnici del terreno

Parametro		Combinazioni statiche		Combinazioni sismiche	
		M1	M2	M1	M2
Tangente dell'angolo di attrito	$\gamma_{\tan(\phi)}$	1.00	1.25	1.00	1.00
Coesione efficace	γ_c	1.00	1.25	1.00	1.00
Resistenza non drenata	γ_{cu}	1.00	1.40	1.00	1.00
Peso nell'unità di volume	γ_r	1.00	1.00	1.00	1.00

Coeff. parziali γ_R per le verifiche agli stati limite ultimi STR e GEO

Verifica	Combinazioni statiche			Combinazioni sismiche		
	R1	R2	R3	R1	R2	R3
Capacità portante	--	--	1.40	--	--	1.20
Scorrimento	--	--	1.10	--	--	1.00
Resistenza terreno a valle	--	--	1.40	--	--	1.20
Ribaltamento	--	--	1.15	--	--	1.00
Stabilità fronte di scavo	--	1.10	--	--	1.20	--

Carichi verticali. Coeff. parziali γ_R da applicare alle resistenze caratteristiche

Resistenza		Pali infissi			Pali trivellati			Pali ad elica continua		
		R1	R2	R3	R1	R2	R3	R1	R2	R3
Punta	γ_b	--	--	1.15	--	--	1.35	--	--	1.30
Laterale compressione	γ_s	--	--	1.15	--	--	1.15	--	--	1.15
Totale compressione	γ_t	--	--	1.15	--	--	1.30	--	--	1.25
Laterale trazione	γ_{st}	--	--	1.25	--	--	1.25	--	--	1.25

Carichi trasversali. Coeff. parziali γ_R da applicare alle resistenze caratteristiche

		R1	R2	R3
Trasversale	γ_t	--	--	1.30

Coefficienti di riduzione ζ per la determinazione della resistenza caratteristica dei pali

Numero di verticali indagate 1

$\zeta_3=1.70$ $\zeta_4=1.70$

Descrizione combinazioni di carico

Con riferimento alle azioni elementari prima determinate, si sono considerate le seguenti combinazioni di carico:

- Combinazione fondamentale, impiegata per gli stati limite ultimi (SLU):

$$\gamma_{G1} G_1 + \gamma_{G2} G_2 + \gamma_{Q1} Q_{k1} + \gamma_{Q2} Q_{k2} + \gamma_{Q3} Q_{k3} + \dots$$

- Combinazione caratteristica, cosiddetta rara, impiegata per gli stati limite di esercizio (SLE) irreversibili:

$$G_1 + G_2 + Q_{k1} + \Psi_{0,2} Q_{k2} + \Psi_{0,3} Q_{k3} + \dots$$

- Combinazione frequente, impiegata per gli stati limite di esercizio (SLE) reversibili:

$$G_1 + G_2 + \Psi_{1,1} Q_{k1} + \Psi_{2,2} Q_{k2} + \Psi_{2,3} Q_{k3} + \dots$$

- Combinazione quasi permanente, impiegata per gli effetti di lungo periodo:

$$G_1 + G_2 + \Psi_{2,1} Q_{k1} + \Psi_{2,2} Q_{k2} + \Psi_{2,3} Q_{k3} + \dots$$

I valori dei coeff. $\Psi_{0,j}$, $\Psi_{1,j}$, $\Psi_{2,j}$ sono definiti nelle singole condizioni variabili, per i valori dei coeff. γ_G e γ_Q , sono definiti nella tabella normativa.

In particolare si sono considerate le seguenti combinazioni:

Simbologia adottata

γ Coefficiente di partecipazione della condizione
 Ψ Coefficiente di combinazione della condizione

Combinazione n° 1 - STR (A1-M1-R3)

Condizione	γ	Ψ	Effetto
Peso muro	1.00	--	Favorevole
Peso terrapieno	1.00	--	Favorevole
Spinta terreno	1.30	--	Sfavorevole
pavimentazione	1.50	--	Sfavorevole
traffico veicolare	1.35	1.00	Sfavorevole

Combinazione n° 2 - GEO (A2-M2-R2)

Condizione	γ	Ψ	Effetto
Peso muro	1.00	--	Sfavorevole
Peso terrapieno	1.00	--	Sfavorevole
Spinta terreno	1.00	--	Sfavorevole
pavimentazione	1.30	--	Sfavorevole
traffico veicolare	1.15	1.00	Sfavorevole

Combinazione n° 3 - SLER

Condizione	γ	Ψ	Effetto
Peso muro	1.00	--	Sfavorevole
Peso terrapieno	1.00	--	Sfavorevole
Spinta terreno	1.00	--	Sfavorevole
pavimentazione	1.00	--	Sfavorevole
traffico veicolare	1.00	1.00	Sfavorevole

Combinazione n° 4 - SLEF

Condizione	γ	Ψ	Effetto
Peso muro	1.00	--	Sfavorevole
Peso terrapieno	1.00	--	Sfavorevole
Spinta terreno	1.00	--	Sfavorevole
pavimentazione	1.00	--	Sfavorevole
traffico veicolare	1.00	0.75	Sfavorevole

Combinazione n° 5 - SLEQ

Condizione	γ	Ψ	Effetto
Peso muro	1.00	--	Sfavorevole
Peso terrapieno	1.00	--	Sfavorevole
Spinta terreno	1.00	--	Sfavorevole
pavimentazione	1.00	--	Sfavorevole

Dati sismici

Comune	Roma
Provincia	Roma
Regione	Lazio
Latitudine	41.933189
Longitudine	12.601168
Indice punti di interpolazione	28292 - 28070 - 28069 - 28291
Vita nominale	50 anni
Classe d'uso	IV
Tipo costruzione	Normali affollamenti
Vita di riferimento	100 anni

	Simbolo	U.M.	SLU	SLE
Accelerazione al suolo	a_g	[m/s ²]	1.645	0.769
Accelerazione al suolo	a_g/g	[%]	0.168	0.078
Massimo fattore amplificazione spettro orizzontale	F0		2.564	2.508
Periodo inizio tratto spettro a velocità costante	Tc*		0.304	0.284
Tipo di sottosuolo - Coefficiente stratigrafico	Ss		C	1.442
Categoria topografica - Coefficiente amplificazione topografica	St		T1	1.000

Stato limite ...	Coeff. di riduzione β_m	kh	kv
Ultimo	1.000	24.174	12.087
Ultimo - Ribaltamento	1.000	24.174	12.087
Esercizio	1.000	11.759	5.880

Nel calcolo non è stato portato in conto il sisma verticale
Forma diagramma incremento sismico **Rettangolare**

Opzioni di calcolo

Spinta

Metodo di calcolo della spinta	Culmann
Tipo di spinta	Spinta a riposo
Terreno a bassa permeabilità	NO
Superficie di spinta limitata	NO

Stabilità globale

Metodo di calcolo della stabilità globale	Bishop
---	--------

Altro

Partecipazione spinta passiva terreno antistante	0.00
Partecipazione resistenza passiva dente di fondazione	50.00
Componente verticale della spinta nel calcolo delle sollecitazioni	NO
Considera terreno sulla fondazione di valle	NO
Considera spinta e peso acqua fondazione di valle	NO

Spostamenti

Modello a blocchi	
Non è stato richiesto il calcolo degli spostamenti	
Spostamento limite	10,00 [cm]

Opzioni calcolo pali

Portanza verticale

Metodo di calcolo della portanza alla punta	Berezantzev ridotto
Metodo di calcolo della portanza alla laterale	Integrazione delle tensioni tangenziali ($k_s \sigma_v \tan(\delta) + ca$)
Correzione angolo di attrito in funzione del tipo di palo (infisso/trivellato)	Attiva
Andamento pressione verticale nel calcolo della portanza alla punta σ_v con la profondità	Pressione geostatica
Andamento pressione verticale nel calcolo della portanza laterale	Pressione geostatica

Portanza trasversale

Costante di Winkler: da stratoCriterio rottura palo-terreno

- Spostamento limite	Non attivo
- Pressione limite	Pressione passiva con moltiplicatore M=3,00
- Palo infinitamente elastico	Non attivo

Cedimenti

Metodo di calcolo	Metodo agli elementi finiti
Spostamento limite alla punta	1,00 [cm]
Spostamento limite laterale	0,50 [cm]

Risultati per combinazione

Spinta e forze

Simbologia adottata

Ic	Indice della combinazione
A	Tipo azione
I	Inclinazione della spinta, espressa in [°]
V	Valore dell'azione, espressa in [kN]
C _x , C _y	Componente in direzione X ed Y dell'azione, espressa in [kN]
P _x , P _y	Coordinata X ed Y del punto di applicazione dell'azione, espressa in [m]

Ic	A	V [kN]	I [°]	C _x [kN]	C _y [kN]	P _x [m]	P _y [m]
1	Spinta statica	150,08	23,33	137,81	59,43	2,65	-2,90
	Peso/Inerzia muro			0,00	188,11/0,00	0,14	-3,55
	Peso/Inerzia terrapieno			0,00	257,84/0,00	1,39	-1,93
	Resistenza pali			-160,90			
3	Spinta statica	114,03	23,33	104,71	45,16	2,65	-2,90
	Peso/Inerzia muro			0,00	188,11/0,00	0,14	-3,55
	Peso/Inerzia terrapieno			0,00	235,98/0,00	1,40	-1,93
	Resistenza pali			-209,20			
4	Spinta statica	107,92	23,33	99,10	42,74	2,65	-2,92
	Peso/Inerzia muro			0,00	188,11/0,00	0,14	-3,55
	Peso/Inerzia terrapieno			0,00	222,74/0,00	1,40	-1,94
	Resistenza pali			-209,22			
5	Spinta statica	89,59	23,33	82,27	35,48	2,65	-3,01
	Peso/Inerzia muro			0,00	188,11/0,00	0,14	-3,55
	Peso/Inerzia terrapieno			0,00	183,00/0,00	1,42	-1,94
	Resistenza pali			-209,19			

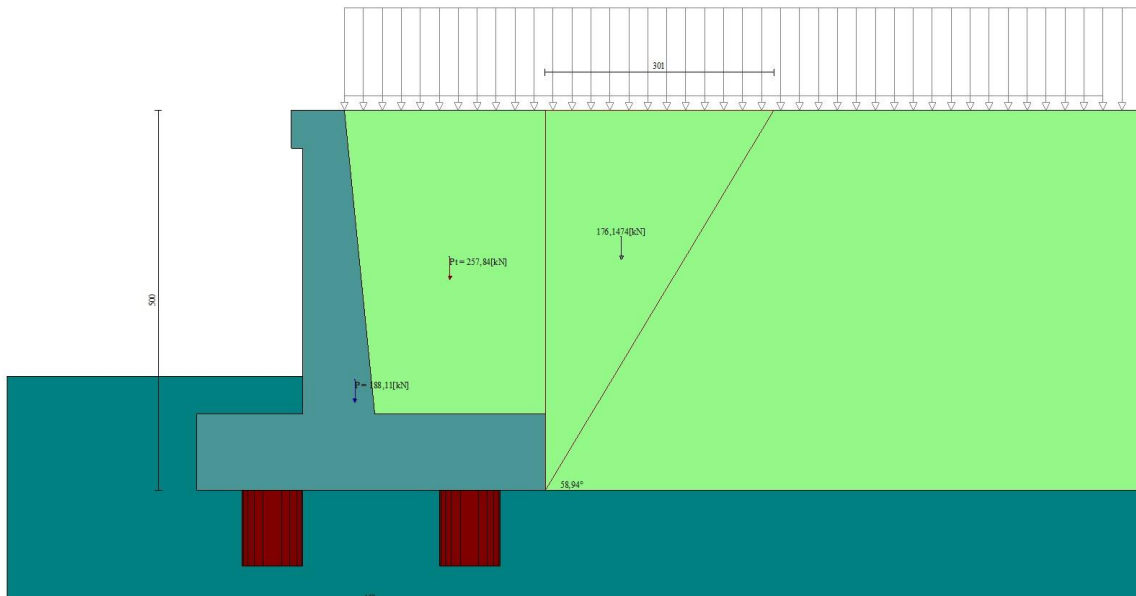


Fig. 4 - Cuneo di spinta (combinazione statica) (Combinazione n° 1)

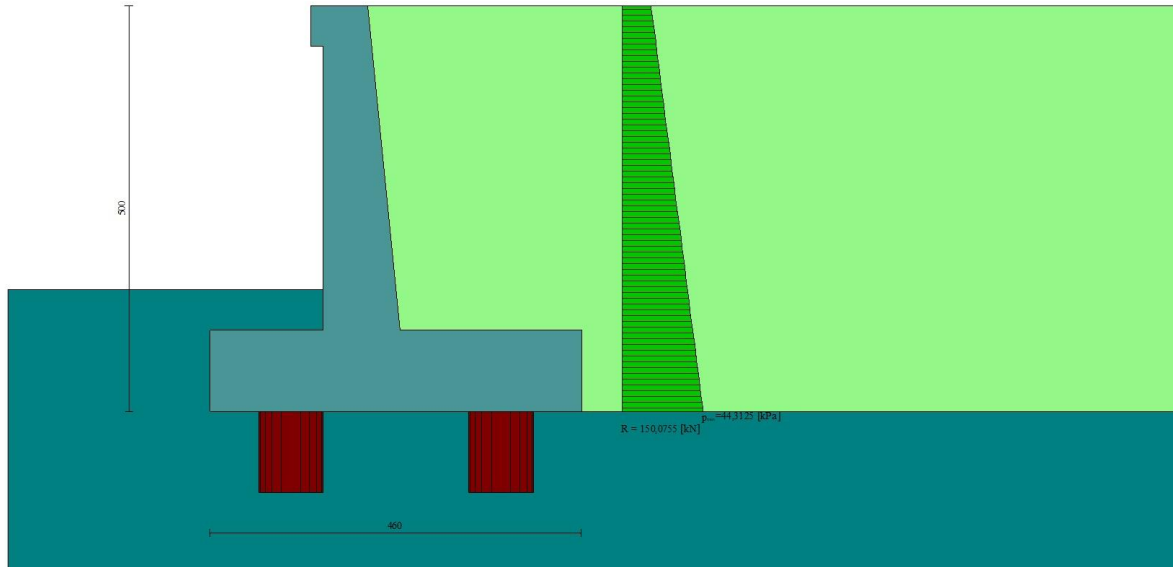


Fig. 5 - Diagramma delle pressioni (combinazione statica) (Combinazione n° 1)

Risultanti globali

Simbologia adottata

Cmb	Indice/Tipo combinazione
N	Componente normale al piano di posa, espressa in [kN]
T	Componente parallela al piano di posa, espressa in [kN]
M _r	Momento ribaltante, espresso in [kNm]
M _s	Momento stabilizzante, espresso in [kNm]
ecc	Eccentricità risultante, espressa in [m]

Ic	N [kN]	T [kN]	M _r [kNm]	M _s [kNm]	ecc [m]
1 - STR (A1-M1-R3)	505,38	137,81	289,81	1528,48	-0,151
2 - GEO (A2-M2-R2)	480,61	135,01	283,23	1430,22	-0,087
3 - SLER	469,25	104,71	219,70	1391,04	-0,197
4 - SLEF	453,59	99,10	205,67	1336,41	-0,193
5 - SLEQ	406,59	82,27	163,59	1172,49	-0,182

Scarichi in testa ai pali

Simbologia adottata

Cmb	Indice/Tipo combinazione
I _p	Indice palo
N	Sforzo normale, espresso in [kN]
M	Momento, espresso in [kNm]
T	Taglio, espresso in [kN]

Cmb	I _p	N [kN]	M [kNm]	T [kN]
1 - STR (A1-M1-R3)	1	846,53	0,00	-206,70
	2	669,62	0,00	-206,70
3 - SLER	1	810,51	0,00	-157,06
	2	597,25	0,00	-157,06
4 - SLEF	1	781,71	0,00	-148,64
	2	579,05	0,00	-148,64
5 - SLEQ	1	695,32	0,00	-123,40
	2	524,45	0,00	-123,40

Verifiche geotecniche

Quadro riassuntivo coeff. di sicurezza calcolati

Simbologia adottata

Cmb	Indice/Tipo combinazione
S	Sisma (H: componente orizzontale, V: componente verticale)
FS _{SCO}	Coeff. di sicurezza allo scorrimento
FS _{RIB}	Coeff. di sicurezza al ribaltamento
FS _{QLIM}	Coeff. di sicurezza a carico limite
FS _{STAB}	Coeff. di sicurezza a stabilità globale
FS _{HYD}	Coeff. di sicurezza a sifonamento
FS _{SUPL}	Coeff. di sicurezza a sollevamento

Cmb	Sismica	FS _{SCO}	FS _{RIB}	FS _{QLIM}	FS _{STAB}	FS _{HYD}	FS _{SUPL}
1 - STR (A1-M1-R3)		1.168					
2 - GEO (A2-M2-R2)					3.911		

Verifica stabilità globale muro + terreno

Simbologia adottata

Ic	Indice/Tipo combinazione
C	Centro superficie di scorrimento, espresso in [m]
R	Raggio, espresso in [m]
FS	Fattore di sicurezza

Ic	C	R	FS
	[m]	[m]	
2 - GEO (A2-M2-R2)	-3,00; 4,50	11,06	3.911

Cedimenti pali

Simbologia adottata

Ic	Indice combinazione
Ip	Indice palo
w	Cedimento, espresso in [cm]

Ic	Ip	w
		[cm]
3	1	0,1730
	2	0,1275
4	1	0,1669
	2	0,1236
5	1	0,1484
	2	0,1120

Sollecitazioni

Sollecitazioni pali

Simbologia adottata

N	Sforzo normale, espresso in [kN]. Positivo se di compressione.
T	Taglio, espresso in [kN]. Positivo se diretto da monte verso valle
M	Momento, espresso in [kNm]. Positivo se tende le fibre contro terra (a monte)

Combinazione n° 1 - STR (A1-M1-R3)

Palo n° 1

n°	Y	Ne	Nr	Te	Tr	Me	Mr
	[m]	[kN]	[kN]	[kN]	[kN]	[kNm]	[kNm]
1	0,00	846,53	10057,87	-206,70	-313,76	0,00	0,00
13	2,40	874,22	10020,27	2,70	-94,15	333,28	591,97
22	4,20	895,33	10000,02	88,21	154,52	231,17	514,35
52	10,20	969,28	10000,02	-0,65	3,62	-13,67	-24,62
101	20,00	1090,05	10000,02	0,02	0,05	0,00	0,00

Palo n° 2

n°	Y	Ne	Nr	Te	Tr	Me	Mr
	[m]	[kN]	[kN]	[kN]	[kN]	[kNm]	[kNm]
1	0,00	669,62	10057,65	-206,70	-313,76	0,00	0,00
13	2,40	697,61	10020,12	2,70	-94,15	333,28	591,97
22	4,20	718,90	9999,91	88,21	154,52	231,17	514,35
52	10,20	792,84	9999,91	-0,65	3,62	-13,67	-24,62
101	20,00	913,61	9999,91	0,02	0,05	0,00	0,00

Combinazione n° 3 - SLER

Palo n° 1

n°	Y [m]	Ne [kN]	Nr [kN]	Te [kN]	Tr [kN]	Me [kNm]	Mr [kNm]
1	0,00	810,51	10057,62	-157,06	-313,81	0,00	0,00
12	2,20	836,08	10025,86	2,16	-127,98	223,84	566,49
21	4,00	856,95	9999,88	59,25	144,45	154,97	543,39
51	10,00	930,89	9999,88	-0,45	6,10	-9,18	-23,41
101	20,00	1054,12	9999,88	0,02	0,05	0,00	0,00

Palo n° 2

n°	Y [m]	Ne [kN]	Nr [kN]	Te [kN]	Tr [kN]	Me [kNm]	Mr [kNm]
1	0,00	597,25	10057,63	-157,06	-313,81	0,00	0,00
12	2,20	623,14	10025,88	2,16	-127,98	223,84	566,49
21	4,00	644,26	9999,89	59,25	144,45	154,97	543,39
51	10,00	718,20	9999,89	-0,45	6,10	-9,18	-23,41
101	20,00	841,44	9999,89	0,02	0,05	0,00	0,00

Combinazione n° 4 - SLEF

Palo n° 1

n°	Y [m]	Ne [kN]	Nr [kN]	Te [kN]	Tr [kN]	Me [kNm]	Mr [kNm]
1	0,00	781,71	10057,54	-148,64	-313,83	0,00	0,00
12	2,20	807,33	10025,78	4,41	-128,01	207,05	566,55
21	4,00	828,23	9999,80	54,80	144,46	141,30	543,47
51	10,00	902,17	9999,80	-0,50	6,10	-8,48	-23,41
101	20,00	1025,40	9999,80	0,01	0,05	0,00	0,00

Palo n° 2

n°	Y [m]	Ne [kN]	Nr [kN]	Te [kN]	Tr [kN]	Me [kNm]	Mr [kNm]
1	0,00	579,05	10057,62	-148,64	-313,83	0,00	0,00
12	2,20	604,96	10025,87	4,41	-128,01	207,05	566,55
21	4,00	626,11	9999,89	54,80	144,46	141,30	543,47
51	10,00	700,05	9999,89	-0,50	6,10	-8,48	-23,41
101	20,00	823,29	9999,89	0,01	0,05	0,00	0,00

Combinazione n° 5 - SLEQ

Palo n° 1

n°	Y [m]	Ne [kN]	Nr [kN]	Te [kN]	Tr [kN]	Me [kNm]	Mr [kNm]
1	0,00	695,32	10057,67	-123,40	-313,79	0,00	0,00
12	2,20	721,06	10025,91	7,93	-127,97	158,97	566,46
21	4,00	742,06	9999,93	42,08	144,44	104,66	543,35
50	9,80	813,54	9999,93	-0,17	8,94	-6,52	-21,62
101	20,00	939,24	9999,93	0,01	0,05	0,00	0,00

Palo n° 2

n°	Y [m]	Ne [kN]	Nr [kN]	Te [kN]	Tr [kN]	Me [kNm]	Mr [kNm]
1	0,00	524,45	10057,71	-123,40	-313,79	0,00	0,00
12	2,20	550,44	10025,96	7,93	-127,97	158,97	566,46
21	4,00	571,66	9999,98	42,08	144,44	104,66	543,35
50	9,80	643,13	9999,98	-0,17	8,94	-6,52	-21,62
101	20,00	768,83	9999,98	0,01	0,05	0,00	0,00

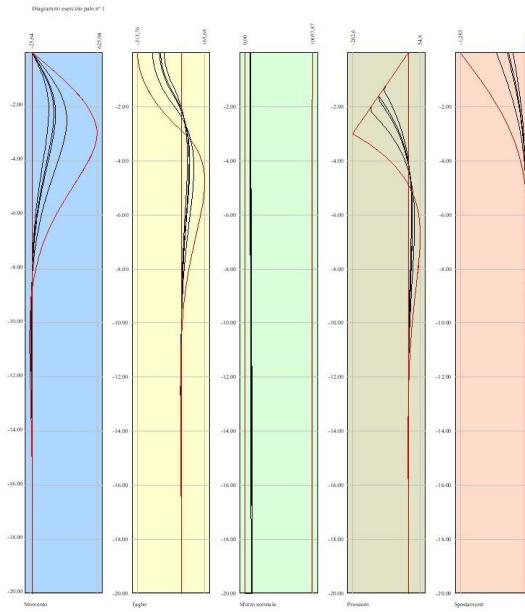


Fig. 6 - Sollecitazioni palo (Palo n° 1) (Involuppo)

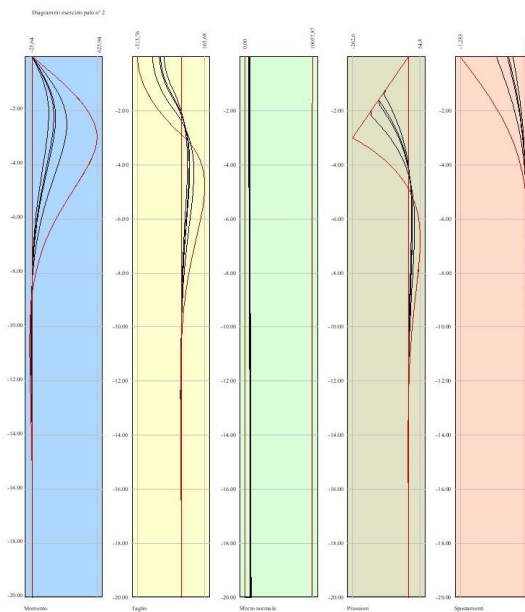


Fig. 7 - Sollecitazioni palo (Palo n° 2) (Involuppo)

Risultati per involucro

Spinta e forze

Simbologia adottata

Ic	Indice della combinazione
A	Tipo azione
I	Inclinazione della spinta, espressa in [°]
V	Valore dell'azione, espressa in [kN]
C _x , C _y	Componente in direzione X ed Y dell'azione, espressa in [kN]
P _x , P _y	Coordinata X ed Y del punto di applicazione dell'azione, espressa in [m]

Ic	A	V [kN]	I [°]	C _x [kN]	C _y [kN]	P _x [m]	P _y [m]
1	Spinta statica	150,08	23,33	137,81	59,43	2,65	-2,90
	Peso/Inerzia muro			0,00	188,11/0,00	0,14	-3,55
	Peso/Inerzia terrapieno			0,00	257,84/0,00	1,39	-1,93
	Resistenza pali			-160,90			

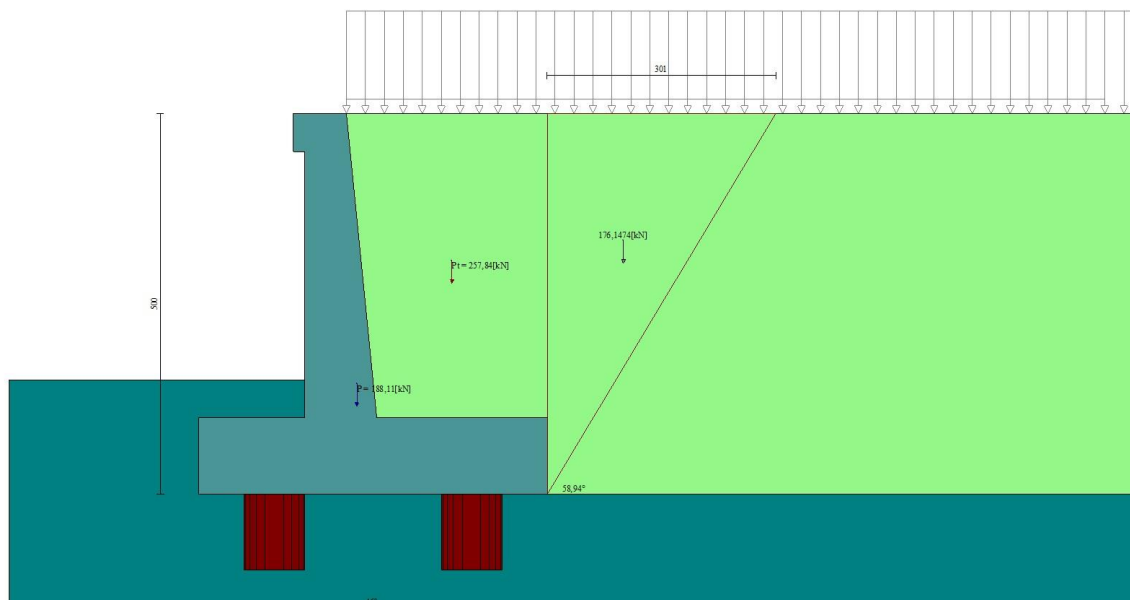


Fig. 8 - Cuneo di spinta (combinazione statica) (Combinazione n° 1)

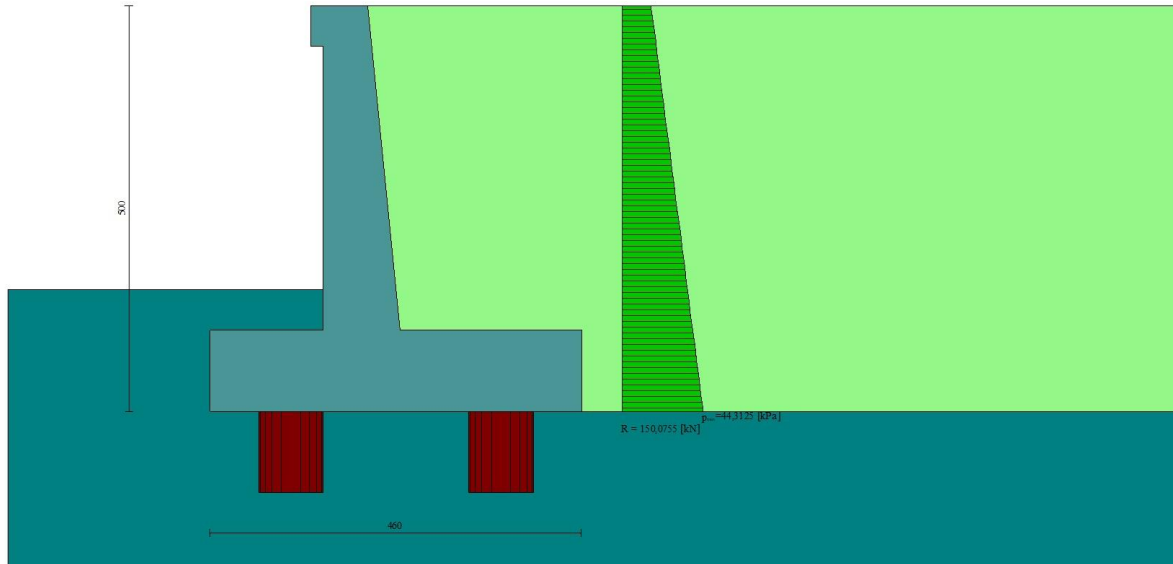


Fig. 9 - Diagramma delle pressioni (combinazione statica) (Combinazione n° 1)

Risultanti globali

Simbologia adottata

Cmb	Indice/Tipo combinazione
N	Componente normale al piano di posa, espressa in [kN]
T	Componente parallela al piano di posa, espressa in [kN]
M _r	Momento ribaltante, espresso in [kNm]
M _s	Momento stabilizzante, espresso in [kNm]
ecc	Eccentricità risultante, espressa in [m]

Ic	N [kN]	T [kN]	M _r [kNm]	M _s [kNm]	ecc [m]
1 - STR (A1-M1-R3)	505,38	137,81	289,81	1528,48	-0,151
2 - GEO (A2-M2-R2)	480,61	135,01	283,23	1430,22	-0,087
3 - SLER	469,25	104,71	219,70	1391,04	-0,197
4 - SLEF	453,59	99,10	205,67	1336,41	-0,193
5 - SLEQ	406,59	82,27	163,59	1172,49	-0,182

Scarichi in testa ai pali

Simbologia adottata

Cmb	Indice/Tipo combinazione
I _p	Indice palo
N	Sforzo normale, espresso in [kN]
M	Momento, espresso in [kNm]
T	Taglio, espresso in [kN]

Cmb	I _p	N [kN]	M [kNm]	T [kN]
1 - STR (A1-M1-R3)	1	846,53	0,00	-206,70
	2	669,62	0,00	-206,70

Verifiche geotecniche

Quadro riassuntivo coeff. di sicurezza calcolati

Simbologia adottata

Cmb	Indice/Tipo combinazione
S	Sisma (H: componente orizzontale, V: componente verticale)
FS _{SCO}	Coeff. di sicurezza allo scorrimento
FS _{RIB}	Coeff. di sicurezza al ribaltamento
FS _{QLIM}	Coeff. di sicurezza a carico limite
FS _{STAB}	Coeff. di sicurezza a stabilità globale
FS _{HYD}	Coeff. di sicurezza a sifonamento

FS_{UPL} Coeff. di sicurezza a sollevamento

Cmb	Sismica	FS _{SCO}	FS _{RIB}	FS _{QLIM}	FS _{STAB}	FS _{HYD}	FS _{UPL}
1 - STR (A1-M1-R3)		1.168					
2 - GEO (A2-M2-R2)					3.911		

Verifica stabilità globale muro + terreno

Simbologia adottata

Ic Indice/Tipo combinazione
C Centro superficie di scorrimento, espresso in [m]
R Raggio, espresso in [m]
FS Fattore di sicurezza

Ic	C	R	FS
	[m]	[m]	
2 - GEO (A2-M2-R2)	-3,00; 4,50	11,06	3.911

Sollecitazioni

Sollecitazioni pali

Simbologia adottata

N Sforzo normale, espresso in [kN]. Positivo se di compressione.
T Taglio, espresso in [kN]. Positivo se diretto da monte verso valle
M Momento, espresso in [kNm]. Positivo se tende le fibre contro terra (a monte)

Palo n° 1

n°	Y	Ne	Nr	Te	Tr	Me	Mr
	[m]	[kN]	[kN]	[kN]	[kN]	[kNm]	[kNm]
1	0,00	846,53	10057,87	-206,70	-313,76	0,00	0,00
13	2,40	874,22	10020,27	2,70	-94,15	333,28	591,97
22	4,20	895,33	10000,02	88,21	154,52	231,17	514,35
52	10,20	969,28	10000,02	-0,65	3,62	-13,67	-24,62
101	20,00	1090,05	10000,02	0,02	0,05	0,00	0,00

Palo n° 2

n°	Y	Ne	Nr	Te	Tr	Me	Mr
	[m]	[kN]	[kN]	[kN]	[kN]	[kNm]	[kNm]
1	0,00	669,62	10057,65	-206,70	-313,76	0,00	0,00
13	2,40	697,61	10020,12	2,70	-94,15	333,28	591,97
22	4,20	718,90	9999,91	88,21	154,52	231,17	514,35
52	10,20	792,84	9999,91	-0,65	3,62	-13,67	-24,62
101	20,00	913,61	9999,91	0,02	0,05	0,00	0,00

Palo n° 1

n°	Y	Ne	Nr	Te	Tr	Me	Mr
	[m]	[kN]	[kN]	[kN]	[kN]	[kNm]	[kNm]
1	0,00	810,51	10057,62	-157,06	-313,81	0,00	0,00
12	2,20	836,08	10025,86	2,16	-127,98	223,84	566,49
21	4,00	856,95	9999,88	59,25	144,45	154,97	543,39
51	10,00	930,89	9999,88	-0,45	6,10	-9,18	-23,41
101	20,00	1054,12	9999,88	0,02	0,05	0,00	0,00

Palo n° 2

n°	Y	Ne	Nr	Te	Tr	Me	Mr
	[m]	[kN]	[kN]	[kN]	[kN]	[kNm]	[kNm]
1	0,00	597,25	10057,63	-157,06	-313,81	0,00	0,00
12	2,20	623,14	10025,88	2,16	-127,98	223,84	566,49
21	4,00	644,26	9999,89	59,25	144,45	154,97	543,39
51	10,00	718,20	9999,89	-0,45	6,10	-9,18	-23,41
101	20,00	841,44	9999,89	0,02	0,05	0,00	0,00

Palo n° 1

n°	Y	Ne	Nr	Te	Tr	Me	Mr
	[m]	[kN]	[kN]	[kN]	[kN]	[kNm]	[kNm]
1	0,00	781,71	10057,54	-148,64	-313,83	0,00	0,00
12	2,20	807,33	10025,78	4,41	-128,01	207,05	566,55
21	4,00	828,23	9999,80	54,80	144,46	141,30	543,47
51	10,00	902,17	9999,80	-0,50	6,10	-8,48	-23,41
101	20,00	1025,40	9999,80	0,01	0,05	0,00	0,00

Palo n° 2

n°	Y [m]	Ne [kN]	Nr [kN]	Te [kN]	Tr [kN]	Me [kNm]	Mr [kNm]
1	0,00	579,05	10057,62	-148,64	-313,83	0,00	0,00
12	2,20	604,96	10025,87	4,41	-128,01	207,05	566,55
21	4,00	626,11	9999,89	54,80	144,46	141,30	543,47
51	10,00	700,05	9999,89	-0,50	6,10	-8,48	-23,41
101	20,00	823,29	9999,89	0,01	0,05	0,00	0,00

Palo n° 1

n°	Y [m]	Ne [kN]	Nr [kN]	Te [kN]	Tr [kN]	Me [kNm]	Mr [kNm]
1	0,00	695,32	10057,67	-123,40	-313,79	0,00	0,00
12	2,20	721,06	10025,91	7,93	-127,97	158,97	566,46
21	4,00	742,06	9999,93	42,08	144,44	104,66	543,35
50	9,80	813,54	9999,93	-0,17	8,94	-6,52	-21,62
101	20,00	939,24	9999,93	0,01	0,05	0,00	0,00

Palo n° 2

n°	Y [m]	Ne [kN]	Nr [kN]	Te [kN]	Tr [kN]	Me [kNm]	Mr [kNm]
1	0,00	524,45	10057,71	-123,40	-313,79	0,00	0,00
12	2,20	550,44	10025,96	7,93	-127,97	158,97	566,46
21	4,00	571,66	9999,98	42,08	144,44	104,66	543,35
50	9,80	643,13	9999,98	-0,17	8,94	-6,52	-21,62
101	20,00	768,83	9999,98	0,01	0,05	0,00	0,00

10.2.2 Combinazione sismica

Opzioni di calcolo

Spinta

Metodo di calcolo della spinta	Culmann
Tipo di spinta	Spinta attiva
Terreno a bassa permeabilità	NO
Superficie di spinta limitata	NO

Stabilità globale

Metodo di calcolo della stabilità globale	Bishop
---	--------

Altro

Partecipazione spinta passiva terreno antistante	0.00
Partecipazione resistenza passiva dente di fondazione	50.00
Componente verticale della spinta nel calcolo delle sollecitazioni	NO
Considera terreno sulla fondazione di valle	NO
Considera spinta e peso acqua fondazione di valle	NO

Spostamenti

Modello a blocchi	
Non è stato richiesto il calcolo degli spostamenti	
Spostamento limite	10,00 [cm]

Opzioni calcolo pali

Portanza verticale

Metodo di calcolo della portanza alla punta	Berezantzev ridotto
Metodo di calcolo della portanza alla laterale	Integrazione delle tensioni tangenziali ($k_s \sigma_v \tan(\delta) + c_a$)
Correzione angolo di attrito in funzione del tipo di palo (infilso/trivellato)	Attiva
Andamento pressione verticale nel calcolo della portanza alla punta σ_v con la profondità	Pressione geostatica
Andamento pressione verticale nel calcolo della portanza laterale	Pressione geostatica

Portanza trasversale

Costante di Winkler: da strato	criterio rottura palo-terreno
- Spostamento limite	Non attivo
- Pressione limite	Pressione passiva con moltiplicatore $M=3,00$
- Palo infinitamente elastico	Non attivo

Cedimenti

Metodo di calcolo	Metodo agli elementi finiti
Spostamento limite alla punta	1,00 [cm]
Spostamento limite laterale	0,50 [cm]

Risultati per combinazione

Risultanti globali

Simbologia adottata

Cmb	Indice/Tipo combinazione
N	Componente normale al piano di posa, espressa in [kN]
T	Componente parallela al piano di posa, espressa in [kN]
M _r	Momento ribaltante, espresso in [kNm]
M _s	Momento stabilizzante, espresso in [kNm]
ecc	Eccentricità risultante, espressa in [m]

Ic	N [kN]	T [kN]	M _r [kNm]	M _s [kNm]	ecc [m]
1 - STR (A1-M1-R3)	448,33	180,37	349,90	1289,92	0,203
2 - STR (A1-M1-R3)	356,28	171,22	454,02	1152,42	0,339
3 - GEO (A2-M2-R2)	448,33	180,37	349,90	1289,92	0,203
4 - GEO (A2-M2-R2)	356,28	171,22	454,02	1152,42	0,339

Scarichi in testa ai pali

Simbologia adottata

Cmb	Indice/Tipo combinazione
Ip	Indice palo
N	Sforzo normale, espresso in [kN]
M	Momento, espresso in [kNm]
T	Taglio, espresso in [kN]

Cmb	Ip	N [kN]	M [kNm]	T [kN]
1 - STR (A1-M1-R3) H + V	1	567,72	0,00	-270,55
	2	777,27	0,00	-270,55
2 - STR (A1-M1-R3) H - V	1	395,06	0,00	-256,83
	2	673,77	0,00	-256,83

Verifiche geotecniche

Quadro riassuntivo coeff. di sicurezza calcolati

Simbologia adottata

Cmb	Indice/Tipo combinazione
S	Sisma (H: componente orizzontale, V: componente verticale)
FS _{SCO}	Coeff. di sicurezza allo scorrimento
FS _{RIB}	Coeff. di sicurezza al ribaltamento
FS _{QLIM}	Coeff. di sicurezza a carico limite
FS _{STAB}	Coeff. di sicurezza a stabilità globale
FS _{HYD}	Coeff. di sicurezza a sifonamento
FS _{UPL}	Coeff. di sicurezza a sollevamento

Cmb	Sismica	FS _{SCO}	FS _{RIB}	FS _{QLIM}	FS _{STAB}	FS _{HYD}	FS _{UPL}
1 - STR (A1-M1-R3)	H + V	1.013					
2 - STR (A1-M1-R3)	H - V	1.067					
3 - GEO (A2-M2-R2)	H + V				3.188		
4 - GEO (A2-M2-R2)	H - V				3.200		

Verifica stabilità globale muro + terreno

Simbologia adottata

Ic	Indice/Tipo combinazione
C	Centro superficie di scorrimento, espresso in [m]
R	Raggio, espresso in [m]
FS	Fattore di sicurezza

Ic	C [m]	R [m]	FS
3 - GEO (A2-M2-R2) H + V	-4,00; 4,50	11,61	3.188
4 - GEO (A2-M2-R2) H - V	-4,50; 4,50	11,90	3.200

Sollecitazioni

Elementi calcolati a trave

Simbologia adottata

N	Sforzo normale, espresso in [kN]. Positivo se di compressione.
---	--

T Taglio, espresso in [kN]. Positivo se diretto da monte verso valle
M Momento, espresso in [kNm]. Positivo se tende le fibre contro terra (a monte)

Elementi calcolati a piastra

Simbologia adottata

Mx, My Momenti flettenti, espresso in [kNm]
Mxy Momento torcente, espresso in [kNm]. Positivo se diretto da monte verso valle
Tx, Ty Tagli, espresso in [kN]. Positivo se tende le fibre contro terra (a monte)
I momenti flettenti sono positivi se tendono le fibre inferiori (intradosso fondazione, paramento esterno)

Paramento

Combinazione n° 1 - STR (A1-M1-R3) H + V

n°	X [m]	N [kN]	T [kN]	M [kNm]
1	0,00	2,06	0,00	0,15
2	-0,10	3,59	0,37	0,18
3	-0,20	5,14	0,82	0,25
4	-0,30	6,72	1,36	0,37
5	-0,40	8,33	1,99	0,57
6	-0,50	9,96	2,70	0,84
7	-0,60	11,62	3,50	1,19
8	-0,70	13,31	4,38	1,64
9	-0,80	15,03	5,35	2,18
10	-0,90	16,77	6,40	2,84
11	-1,00	18,55	7,54	3,61
12	-1,10	20,35	8,77	4,51
13	-1,20	22,17	10,08	5,55
14	-1,30	24,03	11,47	6,73
15	-1,40	25,91	12,95	8,07
16	-1,50	27,82	14,52	9,56
17	-1,60	29,75	16,17	11,23
18	-1,70	31,72	17,91	13,08
19	-1,80	33,71	19,73	15,11
20	-1,90	35,73	21,64	17,34
21	-2,00	37,78	23,64	19,78
22	-2,10	39,85	25,72	22,43
23	-2,20	41,95	27,88	25,30
24	-2,30	44,08	30,14	28,41
25	-2,40	46,23	32,47	31,75
26	-2,50	48,42	34,89	35,35
27	-2,60	50,63	37,40	39,20
28	-2,70	52,87	40,00	43,31
29	-2,80	55,13	42,68	47,71
30	-2,90	57,43	45,44	52,38
31	-3,00	59,75	48,29	57,35
32	-3,10	62,09	51,23	62,62
33	-3,20	64,47	54,25	68,20
34	-3,30	66,87	57,36	74,10
35	-3,40	69,30	60,55	80,32
36	-3,50	71,76	63,83	86,88
37	-3,60	74,25	67,19	93,78
38	-3,70	76,76	70,64	101,04
39	-3,80	79,30	74,18	108,66
40	-3,90	81,87	77,80	116,65
41	-4,00	84,46	81,50	125,02

Combinazione n° 2 - STR (A1-M1-R3) H - V

n°	X [m]	N [kN]	T [kN]	M [kNm]
1	0,00	1,84	0,00	0,14
2	-0,10	3,03	0,36	0,16
3	-0,20	4,25	0,81	0,23
4	-0,30	5,49	1,33	0,35
5	-0,40	6,75	1,92	0,53
6	-0,50	8,03	2,60	0,78
7	-0,60	9,34	3,35	1,11
8	-0,70	10,66	4,18	1,53
9	-0,80	12,01	5,08	2,04
10	-0,90	13,38	6,07	2,65
11	-1,00	14,77	7,13	3,37
12	-1,10	16,18	8,26	4,21
13	-1,20	17,61	9,48	5,17
14	-1,30	19,07	10,77	6,26
15	-1,40	20,54	12,14	7,50
16	-1,50	22,04	13,58	8,88
17	-1,60	23,56	15,11	10,42
18	-1,70	25,10	16,71	12,12
19	-1,80	26,66	18,39	13,99
20	-1,90	28,25	20,14	16,05
21	-2,00	29,85	21,97	18,29
22	-2,10	31,48	23,88	20,73
23	-2,20	33,12	25,87	23,36
24	-2,30	34,79	27,94	26,21

n°	X [m]	N [kN]	T [kN]	M [kNm]
25	-2,40	36,49	30,08	29,28
26	-2,50	38,20	32,30	32,58
27	-2,60	39,93	34,59	36,11
28	-2,70	41,69	36,97	39,88
29	-2,80	43,46	39,42	43,90
30	-2,90	45,26	41,94	48,18
31	-3,00	47,08	44,55	52,73
32	-3,10	48,93	47,23	57,55
33	-3,20	50,79	49,99	62,65
34	-3,30	52,67	52,83	68,03
35	-3,40	54,58	55,74	73,72
36	-3,50	56,51	58,73	79,71
37	-3,60	58,46	61,80	86,02
38	-3,70	60,43	64,95	92,64
39	-3,80	62,42	68,17	99,59
40	-3,90	64,43	71,47	106,88
41	-4,00	66,47	74,85	114,52

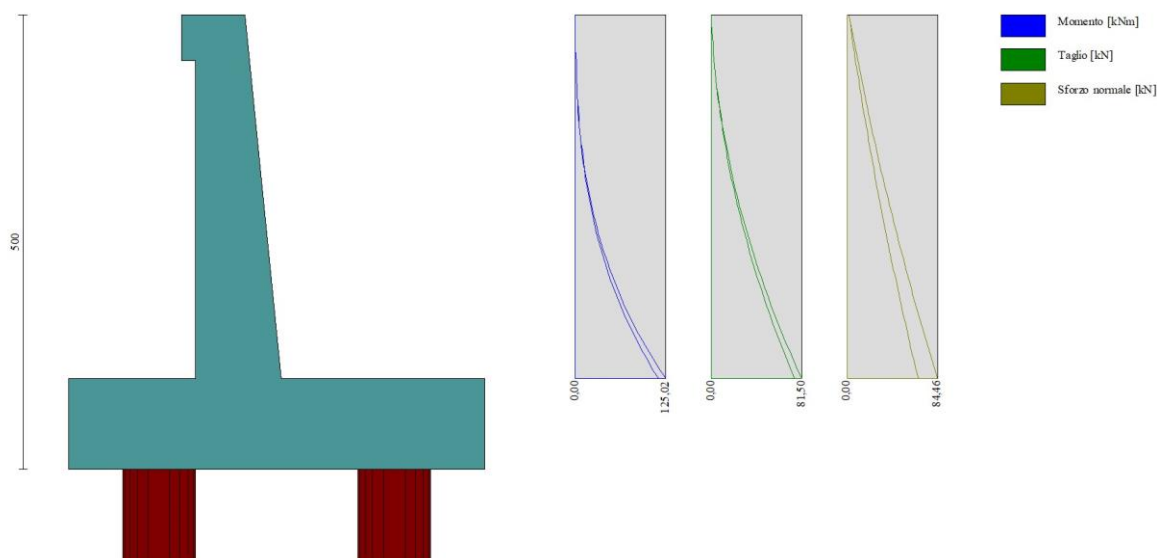


Fig. 1 - Paramento (Inviluppo)

Piastra fondazione

Combinazione n° 1 - STR (A1-M1-R3) H + V

In	Mx [kNm]	My [kNm]	Mxy [kNm]	Tx [kN]	Ty [kN]	
16	66,80	222,65	0,00	0,00	-899,70	MAX
12	-219,58	-184,57	0,00	0,00	-256,07	MIN
16	66,80	222,65	0,00	0,00	-899,70	MAX
60	-209,25	-193,19	0,00	0,00	32,48	MIN
15	23,21	77,36	22,75	0,00	-191,10	MAX
20	23,21	77,36	-22,75	0,00	-191,10	MIN
9	42,59	19,92	12,83	273,41	-144,96	MAX
19	42,59	19,92	-12,83	-273,41	-144,96	MIN
53	-56,05	-6,29	0,00	0,00	282,58	MAX
16	66,80	222,65	0,00	0,00	-899,70	MIN

Combinazione n° 2 - STR (A1-M1-R3) H - V

In	Mx [kNm]	My [kNm]	Mxy [kNm]	Tx [kN]	Ty [kN]	
16	66,80	222,65	0,00	0,00	-899,70	MAX
12	-219,58	-184,57	0,00	0,00	-256,07	MIN
16	66,80	222,65	0,00	0,00	-899,70	MAX
60	-209,25	-193,19	0,00	0,00	32,48	MIN
15	23,21	77,36	22,75	0,00	-191,10	MAX
20	23,21	77,36	-22,75	0,00	-191,10	MIN
9	42,59	19,92	12,83	273,41	-144,96	MAX
19	42,59	19,92	-12,83	-273,41	-144,96	MIN
53	-56,05	-6,29	0,00	0,00	282,58	MAX
16	66,80	222,65	0,00	0,00	-899,70	MIN

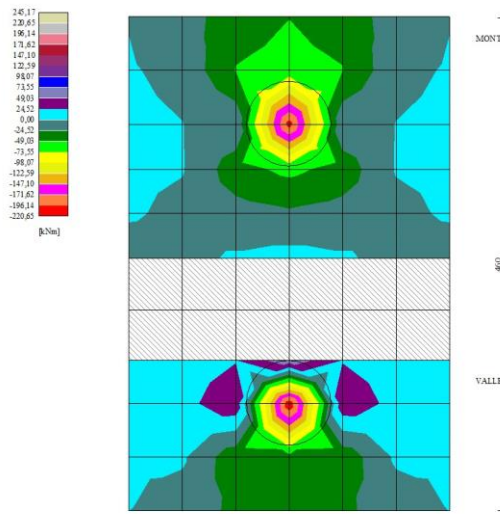


Fig. 2 - Piastra fondazione - Momenti Mx (Combinazione n° 1)

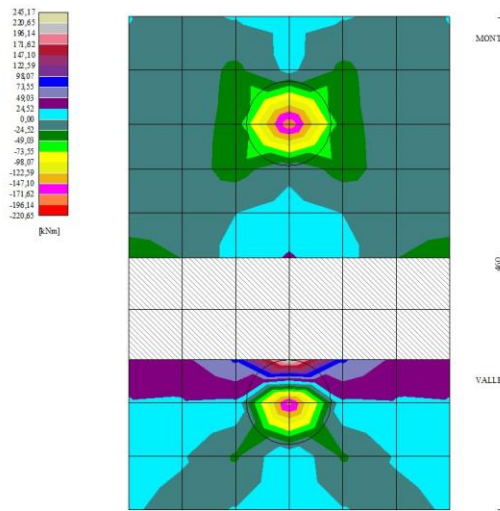


Fig. 3 - Piastra fondazione - Momenti My (Combinazione n° 1)

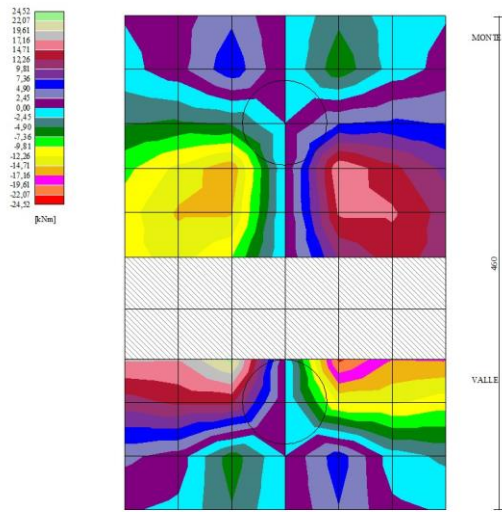


Fig. 4 - Piastra fondazione - Momento Mxy (Combinazione n° 1)

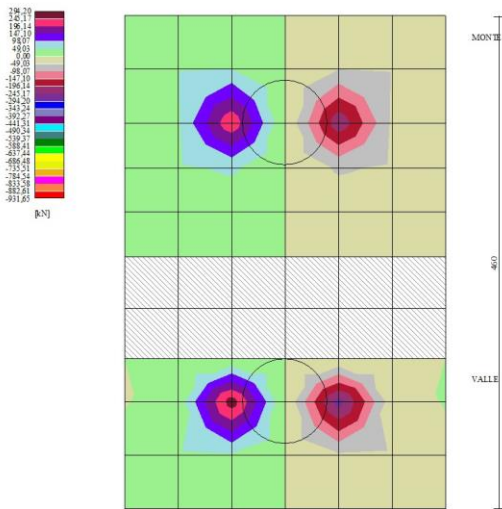


Fig. 5 - Piastra fondazione - Taglio Tx (Combinazione n° 1)

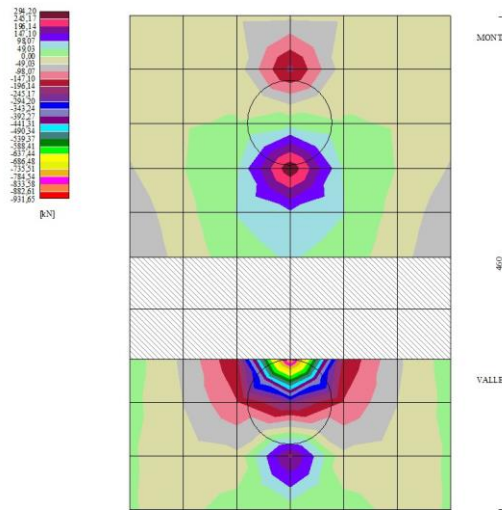


Fig. 6 - Piastra fondazione - Taglio Ty (Combinazione n° 1)

Sollecitazioni pali

Simbologia adottata

- N Sforzo normale, espresso in [kN]. Positivo se di compressione.
- T Taglio, espresso in [kN]. Positivo se diretto da monte verso valle
- M Momento, espresso in [kNm]. Positivo se tende le fibre contro terra (a monte)

Combinazione n° 1 - STR (A1-M1-R3) H + V

Palo n° 1

n°	Y [m]	Ne [kN]	Nr [kN]	Te [kN]	Tr [kN]	Me [kNm]	Mr [kNm]
1	0,00	567,72	10057,60	-270,55	-356,15	0,00	0,00
15	2,80	600,31	10007,05	21,23	-60,52	498,48	741,00
24	4,60	622,21	9999,83	131,95	195,23	331,24	582,02
53	10,40	693,69	9999,83	-0,39	4,19	-20,43	-29,85
101	20,00	811,99	9999,83	0,04	0,05	0,00	0,00

Palo n° 2

n°	Y [m]	Ne [kN]	Nr [kN]	Te [kN]	Tr [kN]	Me [kNm]	Mr [kNm]
1	0,00	777,27	10057,46	-270,55	-356,15	0,00	0,00
15	2,80	809,36	10006,94	21,23	-60,52	498,48	741,00
24	4,60	831,19	9999,72	131,95	195,23	331,24	582,02
53	10,40	902,67	9999,72	-0,39	4,19	-20,43	-29,85
101	20,00	1020,97	9999,72	0,04	0,05	0,00	0,00

Combinazione n° 2 - STR (A1-M1-R3) H - V

Palo n° 1

n°	Y [m]	Ne [kN]	Nr [kN]	Te [kN]	Tr [kN]	Me [kNm]	Mr [kNm]
1	0,00	395,06	9876,57	-256,83	-356,15	0,00	0,00
14	2,60	425,80	9832,78	0,05	-99,94	459,35	721,03
24	4,60	450,02	9818,83	121,59	195,24	297,40	582,03
53	10,40	521,49	9818,83	-0,76	4,19	-18,86	-29,85
101	20,00	639,80	9818,83	0,03	0,05	0,00	0,00

Palo n° 2

n°	Y [m]	Ne [kN]	Nr [kN]	Te [kN]	Tr [kN]	Me [kNm]	Mr [kNm]
1	0,00	673,77	10057,61	-256,83	-356,15	0,00	0,00
14	2,60	703,94	10013,82	0,05	-99,94	459,35	721,03
24	4,60	727,97	9999,87	121,59	195,24	297,40	582,03
53	10,40	799,45	9999,87	-0,76	4,19	-18,86	-29,85
101	20,00	917,75	9999,87	0,03	0,05	0,00	0,00

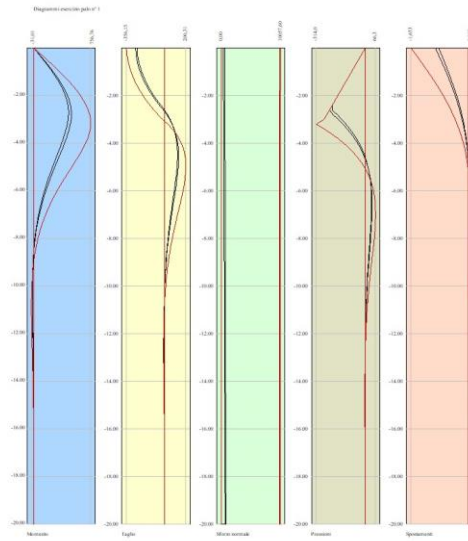


Fig. 7 - Sollecitazioni palo (Palo n° 1) (Inviluppo)

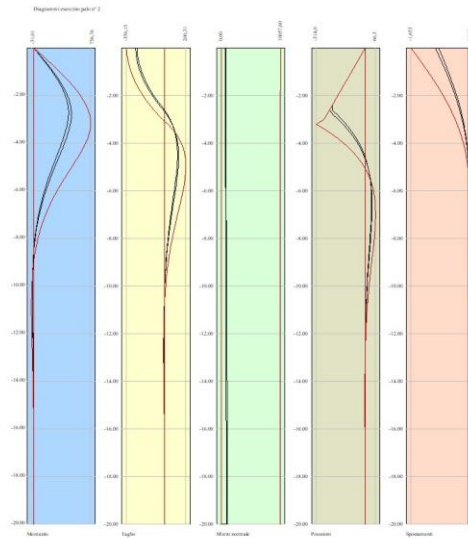


Fig. 8 - Sollecitazioni palo (Palo n° 2) (Inviluppo)

Risultati per involucro

Risultanti globali

Simbologia adottata

Cmb	Indice/Tipo combinazione
N	Componente normale al piano di posa, espressa in [kN]
T	Componente parallela al piano di posa, espressa in [kN]
M _r	Momento ribaltante, espresso in [kNm]
M _s	Momento stabilizzante, espresso in [kNm]
ecc	Eccentricità risultante, espressa in [m]

Ic	N [kN]	T [kN]	M _r [kNm]	M _s [kNm]	ecc [m]
1 - STR (A1-M1-R3)	448,33	180,37	349,90	1289,92	0,203
2 - STR (A1-M1-R3)	356,28	171,22	454,02	1152,42	0,339
3 - GEO (A2-M2-R2)	448,33	180,37	349,90	1289,92	0,203
4 - GEO (A2-M2-R2)	356,28	171,22	454,02	1152,42	0,339

Scarichi in testa ai pali

Simbologia adottata

Cmb	Indice/Tipo combinazione
Ip	Indice palo
N	Sforzo normale, espresso in [kN]
M	Momento, espresso in [kNm]
T	Taglio, espresso in [kN]

Cmb	Ip	N [kN]	M [kNm]	T [kN]
1 - STR (A1-M1-R3) H + V	1	567,72	0,00	-270,55
	2	777,27	0,00	-270,55
1 - STR (A1-M1-R3) H + V	1	567,72	0,00	-270,55
	2	777,27	0,00	-270,55

Verifiche geotecniche

Quadro riassuntivo coeff. di sicurezza calcolati

Simbologia adottata

Cmb	Indice/Tipo combinazione
S	Sisma (H: componente orizzontale, V: componente verticale)
FS _{SCO}	Coeff. di sicurezza allo scorrimento
FS _{RIB}	Coeff. di sicurezza al ribaltamento
FS _{QLIM}	Coeff. di sicurezza a carico limite
FS _{STAB}	Coeff. di sicurezza a stabilità globale
FS _{HYD}	Coeff. di sicurezza a sifonamento
FS _{UPL}	Coeff. di sicurezza a sollevamento

Cmb	Sismica	FS _{SCO}	FS _{RIB}	FS _{QLIM}	FS _{STAB}	FS _{HYD}	FS _{UPL}
1 - STR (A1-M1-R3)	H + V	1.013					
2 - STR (A1-M1-R3)	H - V	1.067					
3 - GEO (A2-M2-R2)	H + V				3.188		
4 - GEO (A2-M2-R2)	H - V				3.200		

Verifica stabilità globale muro + terreno

Simbologia adottata

Ic	Indice/Tipo combinazione
C	Centro superficie di scorrimento, espresso in [m]
R	Raggio, espresso in [m]
FS	Fattore di sicurezza

Ic	C [m]	R [m]	FS
3 - GEO (A2-M2-R2) H + V	-4,00; 4,50	11,61	3.188

Sollecitazioni

Elementi calcolati a trave

Simbologia adottata

N	Sforzo normale, espresso in [kN]. Positivo se di compressione.
T	Taglio, espresso in [kN]. Positivo se diretto da monte verso valle

M Momento, espresso in [kNm]. Positivo se tende le fibre contro terra (a monte)

Elementi calcolati a piastra

Simbologia adottata

Mx, My Momenti flettenti, espresso in [kNm]
Mxy Momento torcente, espresso in [kNm]. Positivo se diretto da monte verso valle
Tx, Ty Tagli, espresso in [kN]. Positivo se tende le fibre contro terra (a monte)
I momenti flettenti sono positivi se tendono le fibre inferiori (intradosso fondazione, paramento esterno)

Paramento

n°	X [m]	Nmin [kN]	Nmax [kN]	Tmin [kN]	Tmax [kN]	Mmin [kNm]	Mmax [kNm]
1	0,00	1,84	2,06	0,00	0,00	0,14	0,15
2	-0,10	3,03	3,59	0,36	0,37	0,16	0,18
3	-0,20	4,25	5,14	0,81	0,82	0,23	0,25
4	-0,30	5,49	6,72	1,33	1,36	0,35	0,37
5	-0,40	6,75	8,33	1,92	1,99	0,53	0,57
6	-0,50	8,03	9,96	2,60	2,70	0,78	0,84
7	-0,60	9,34	11,62	3,35	3,50	1,11	1,19
8	-0,70	10,66	13,31	4,18	4,38	1,53	1,64
9	-0,80	12,01	15,03	5,08	5,35	2,04	2,18
10	-0,90	13,38	16,77	6,07	6,40	2,65	2,84
11	-1,00	14,77	18,55	7,13	7,54	3,37	3,61
12	-1,10	16,18	20,35	8,26	8,77	4,21	4,51
13	-1,20	17,61	22,17	9,48	10,08	5,17	5,55
14	-1,30	19,07	24,03	10,77	11,47	6,26	6,73
15	-1,40	20,54	25,91	12,14	12,95	7,50	8,07
16	-1,50	22,04	27,82	13,58	14,52	8,88	9,56
17	-1,60	23,56	29,75	15,11	16,17	10,42	11,23
18	-1,70	25,10	31,72	16,71	17,91	12,12	13,08
19	-1,80	26,66	33,71	18,39	19,73	13,99	15,11
20	-1,90	28,25	35,73	20,14	21,64	16,05	17,34
21	-2,00	29,85	37,78	21,97	23,64	18,29	19,78
22	-2,10	31,48	39,85	23,88	25,72	20,73	22,43
23	-2,20	33,12	41,95	25,87	27,88	23,36	25,30
24	-2,30	34,79	44,08	27,94	30,14	26,21	28,41
25	-2,40	36,49	46,23	30,08	32,47	29,28	31,75
26	-2,50	38,20	48,42	32,30	34,89	32,58	35,35
27	-2,60	39,93	50,63	34,59	37,40	36,11	39,20
28	-2,70	41,69	52,87	36,97	40,00	39,88	43,31
29	-2,80	43,46	55,13	39,42	42,68	43,90	47,71
30	-2,90	45,26	57,43	41,94	45,44	48,18	52,38
31	-3,00	47,08	59,75	44,55	48,29	52,73	57,35
32	-3,10	48,93	62,09	47,23	51,23	57,55	62,62
33	-3,20	50,79	64,47	49,99	54,25	62,65	68,20
34	-3,30	52,67	66,87	52,83	57,36	68,03	74,10
35	-3,40	54,58	69,30	55,74	60,55	73,72	80,32
36	-3,50	56,51	71,76	58,73	63,83	79,71	86,88
37	-3,60	58,46	74,25	61,80	67,19	86,02	93,78
38	-3,70	60,43	76,76	64,95	70,64	92,64	101,04
39	-3,80	62,42	79,30	68,17	74,18	99,59	108,66
40	-3,90	64,43	81,87	71,47	77,80	106,88	116,65
41	-4,00	66,47	84,46	74,85	81,50	114,52	125,02

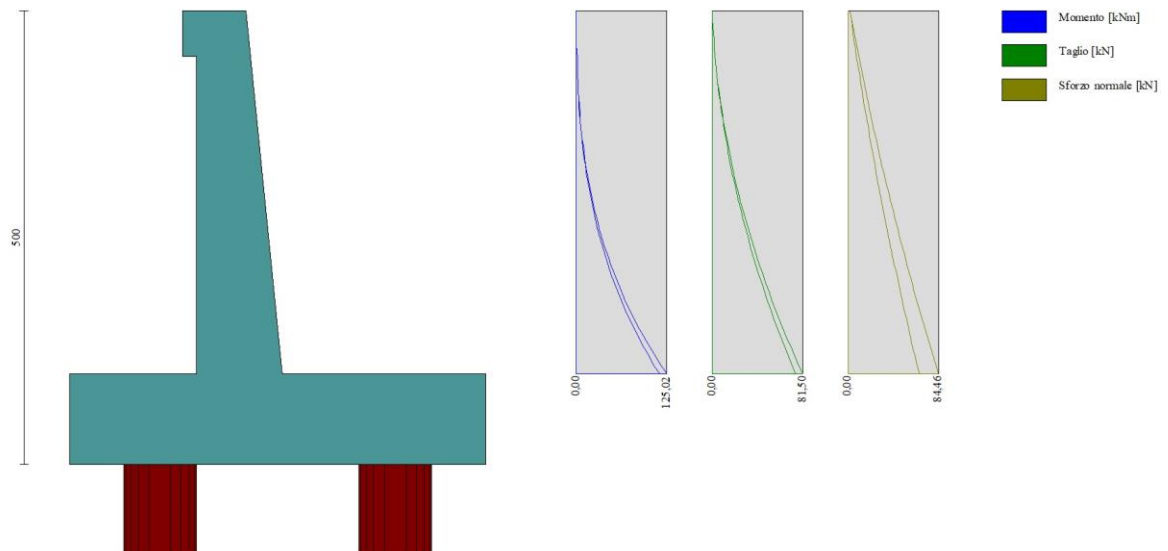


Fig. 9 - Paramento

Piastra fondazione

In	Mx [kNm]	My [kNm]	Mxy [kNm]	Tx [kN]	Ty [kN]	
16	66,80 (1)	222,65 (1)	0,00 (1)	0,00 (1)	-899,70 (1)	MAX
12	-219,58 (1)	-184,57 (1)	0,00 (1)	0,00 (1)	-256,07 (1)	MIN
16	66,80 (1)	222,65 (1)	0,00 (1)	0,00 (1)	-899,70 (1)	MAX
60	-209,25 (1)	-193,19 (1)	0,00 (1)	0,00 (1)	32,48 (1)	MIN
15	23,21 (1)	77,36 (1)	22,75 (1)	0,00 (1)	-191,10 (1)	MAX
20	23,21 (1)	77,36 (1)	-22,75 (1)	0,00 (1)	-191,10 (1)	MIN
9	42,59 (1)	19,92 (1)	12,83 (1)	273,41 (1)	-144,96 (1)	MAX
19	42,59 (1)	19,92 (1)	-12,83 (1)	-273,41 (1)	-144,96 (1)	MIN
53	-56,05 (1)	-6,29 (1)	0,00 (1)	0,00 (1)	282,58 (1)	MAX
16	66,80 (1)	222,65 (1)	0,00 (1)	0,00 (1)	-899,70 (1)	MIN

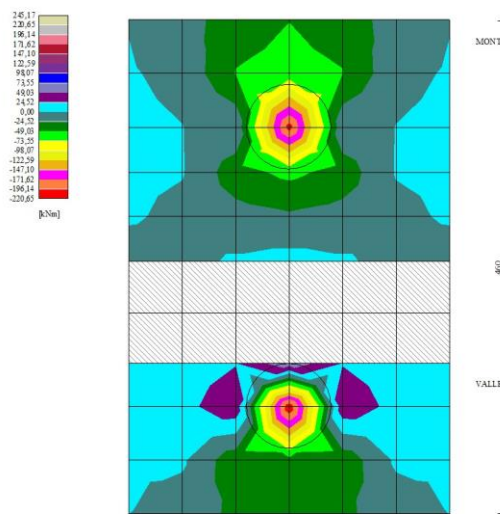


Fig. 10 - Piastra fondazione - Momento Mx (Combinazione n° 1)

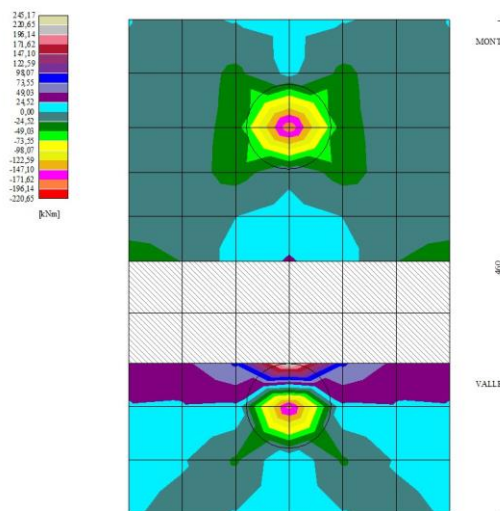


Fig. 11 - Piastra fondazione - Momento My (Combinazione n° 1)

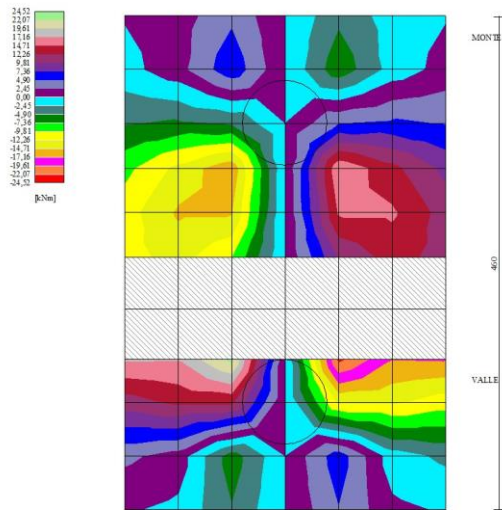


Fig. 12 - Piastra fondazione - Momento Mxy (Combinazione n° 1)

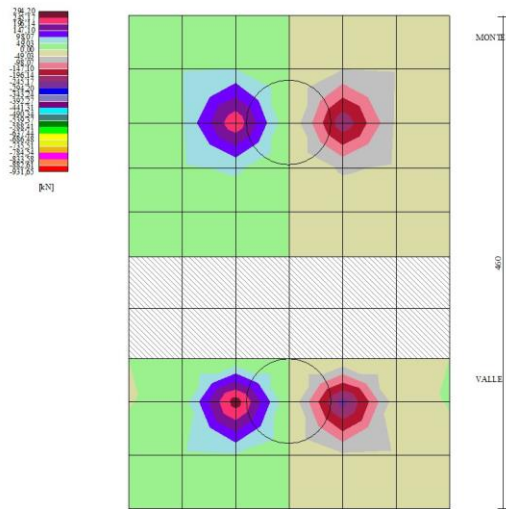


Fig. 13 - Piastra fondazione - Taglio Tx (Combinazione n° 1)

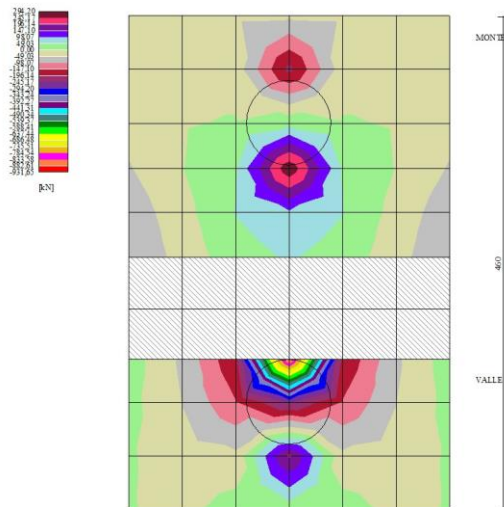


Fig. 14 - Piastra fondazione - Taglio Ty (Combinazione n° 1)

Sollecitazioni pali

Simbologia adottata

- N Sforzo normale, espresso in [kN]. Positivo se di compressione.
- T Taglio, espresso in [kN]. Positivo se diretto da monte verso valle
- M Momento, espresso in [kNm]. Positivo se tende le fibre contro terra (a monte)

Palo n° 1

n°	Y [m]	Ne [kN]	Nr [kN]	Te [kN]	Tr [kN]	Me [kNm]	Mr [kNm]
1	0,00	567,72	10057,60	-270,55	-356,15	0,00	0,00
15	2,80	600,31	10007,05	21,23	-60,52	498,48	741,00
24	4,60	622,21	9999,83	131,95	195,23	331,24	582,02
53	10,40	693,69	9999,83	-0,39	4,19	-20,43	-29,85
101	20,00	811,99	9999,83	0,04	0,05	0,00	0,00

Palo n° 2

n°	Y [m]	Ne [kN]	Nr [kN]	Te [kN]	Tr [kN]	Me [kNm]	Mr [kNm]
1	0,00	777,27	10057,46	-270,55	-356,15	0,00	0,00
15	2,80	809,36	10006,94	21,23	-60,52	498,48	741,00
24	4,60	831,19	9999,72	131,95	195,23	331,24	582,02
53	10,40	902,67	9999,72	-0,39	4,19	-20,43	-29,85
101	20,00	1020,97	9999,72	0,04	0,05	0,00	0,00

Palo n° 1

n°	Y [m]	Ne [kN]	Nr [kN]	Te [kN]	Tr [kN]	Me [kNm]	Mr [kNm]
1	0,00	395,06	9876,57	-256,83	-356,15	0,00	0,00
14	2,60	425,80	9832,78	0,05	-99,94	459,35	721,03
24	4,60	450,02	9818,83	121,59	195,24	297,40	582,03
53	10,40	521,49	9818,83	-0,76	4,19	-18,86	-29,85
101	20,00	639,80	9818,83	0,03	0,05	0,00	0,00

Palo n° 2

n°	Y [m]	Ne [kN]	Nr [kN]	Te [kN]	Tr [kN]	Me [kNm]	Mr [kNm]
1	0,00	673,77	10057,61	-256,83	-356,15	0,00	0,00
14	2,60	703,94	10013,82	0,05	-99,94	459,35	721,03
24	4,60	727,97	9999,87	121,59	195,24	297,40	582,03
53	10,40	799,45	9999,87	-0,76	4,19	-18,86	-29,85
101	20,00	917,75	9999,87	0,03	0,05	0,00	0,00

10.3 MURO TIPOLOGICO 04 su 2 pali ($H_{\text{paramento}}=5\text{m}$)

10.3.1 Combinazione statica

Dati

Materiali

Simbologia adottata

n°	Indice materiale
Descr	Descrizione del materiale
Calcestruzzo armato	
C	Classe di resistenza del cls
A	Classe di resistenza dell'acciaio
γ	Peso specifico, espresso in [kN/mc]
R _{ck}	Resistenza caratteristica a compressione, espressa in [kPa]
E	Modulo elastico, espresso in [kPa]
ν	Coeff. di Poisson
n	Coeff. di omogenizzazione acciaio/cls
ntc	Coeff. di omogenizzazione cls tesoro/compresso

Calcestruzzo armato

n°	Descr	C	A	γ [kN/mc]	R _{ck} [kPa]	E [kPa]	ν	n	ntc
1	C32/40	C32/40	B450C	24,5170	40000	33642648	0.30	15.00	0.50
2	Materiale tiranti	Rck 250	Precomp	24,5170	24517	30073438	0.30	15.00	0.50

Acciai

Descr	f _{yk} [kPa]	f _{uk} [kPa]
B450C	450000	540000

Tipologie pali

Simbologia adottata

n°	Indice tipologia palo
Descr	Descrizione tipologia palo
P	Contributo portanza palo (laterale e/o punta)
T	Tecnologia costruttiva (trivellato, infisso o elica continua)
V	Vincolo palo-fondazione: Cerniera o Incastro (libero o impedito di ruotare in testa)
Imat	Indice materiale che lo costituisce
BD	usa metodo di Bustamante-Doix
PN	Portanza nota
Pp, PI	Portanza di punta e laterale caratteristica, espressa in [kN]

n°	Descr	P	T	V	Imat	BD	PN	Pp	PI
1	Palo	Laterale + Punta	Trivellato	Cerniera	1	NO	SI	10000,00	10000,00

Geometria profilo terreno a monte del muro

Simbologia adottata

(Sistema di riferimento con origine in testa al muro, ascissa X positiva verso monte, ordinata Y positiva verso l'alto)

n°	numero ordine del punto
X	ascissa del punto espressa in [m]
Y	ordinata del punto espressa in [m]
A	inclinazione del tratto espressa in [°]

n°	X [m]	Y [m]	A [°]
1	0,00	0,00	0.000
2	15,00	0,00	0.000

Inclinazione terreno a valle del muro rispetto all'orizzontale 0.000 [°]

Geometria muro

Geometria paramento e fondazione

Lunghezza muro	3,00	[m]
<u>Paramento</u>		
Materiale	C32/40	
Altezza paramento	5,00	[m]
Altezza paramento libero	4,50	[m]
Spessore in sommità	0,50	[m]
Spessore all'attacco con la fondazione	1,00	[m]
Inclinazione paramento esterno	0,00	[°]
Inclinazione paramento interno	5,70	[°]
<u>Mensola di marciapiede</u>		
Posizione rispetto alla testa del muro	0,00	[m]
Lunghezza	0,15	[m]
Spessore all'estremità libera	0,50	[m]
Spessore all'incastro	0,50	[m]
<u>Fondazione</u>		
Materiale	C32/40	
Lunghezza mensola di valle	1,35	[m]
Lunghezza mensola di monte	2,25	[m]
Lunghezza totale	4,60	[m]
Inclinazione piano di posa	0,00	[°]
Spessore	1,00	[m]
Spessore magrone	0,00	[m]

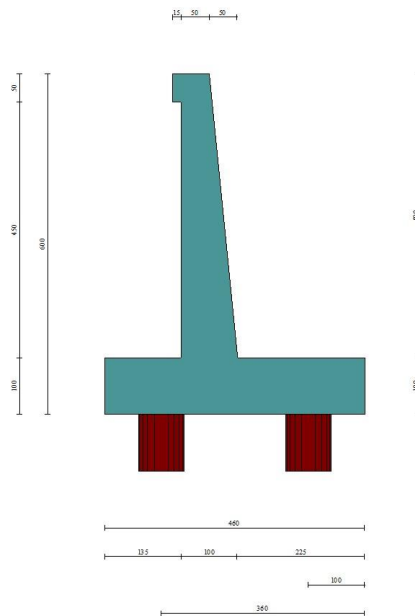


Fig. 1 - Sezione quotata del muro

Descrizione pali di fondazione

Simbologia adottata

n°	numero d'ordine della fila
X	ascissa della fila misurata dallo spigolo di monte della fondazione espressa in [m]
I	interasse tra i pali, espressa in [m]
f	franco laterale (distanza minima dal bordo laterale), espressa in [m]
Np	Numero di pali della fila
D	diametro dei pali della fila espresso in [cm]
L	lunghezza dei pali della fila espressa in [m]

α inclinazione dei pali della fila rispetto alla verticale espressa in [°]
ALL allineamento dei pali della fila rispetto al baricentro della fondazione (CENTRATI o SFALSATI)

n°	Tipologia	X [m]	I [m]	f [m]	Np	D [cm]	L [m]	α [°]	ALL
1	Palo	1,00	2,60	0,20	1	80,00	23,00	0,00	Centrati
2	Palo	3,60	2,60	0,20	1	80,00	23,00	0,00	Centrati

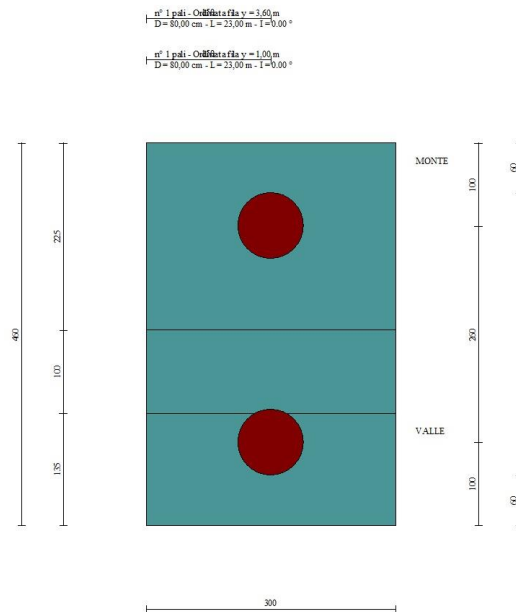


Fig. 2 - Pianta pali

Descrizione terreni

Parametri di resistenza

Simbologia adottata

n°	Indice del terreno
Descr	Descrizione terreno
γ	Peso di volume del terreno espresso in [kN/mc]
γ_s	Peso di volume saturo del terreno espresso in [kN/mc]
ϕ	Angolo d'attrito interno espresso in [°]
δ	Angolo d'attrito terra-muro espresso in [°]
c	Coesione espressa in [kPa]
c_a	Adesione terra-muro espressa in [kPa]
Per calcolo portanza con il metodo di Bustamante-Doix	
Cesp	Coeff. di espansione laterale (solo per il metodo di Bustamante-Doix)
τ_l	Tensione tangenziale limite, espressa in [kPa]

n°	Descr	γ [kN/mc]	γ_{sat} [kN/mc]	ϕ [°]	δ [°]	c [kPa]	c_a [kPa]	Cesp	τ_l [kPa]	
1	Unità PR- sabbia limosa e limo sabbioso	16,0000	16,0000	32.000	32.000	0	0	1.000		0 (CAR)
				32.000	32.000	0	0			0 (MIN)
				32.000	32.000	0	0			0 (MED)
2	rilevato stradale	18,0000	18,0000	35.000	23.330	0	0	1.000		0 (CAR)
				35.000	23.333	0	0			0 (MIN)
				35.000	23.333	0	0			0 (MED)
3	Unità CL- limo sabbioso argilloso	18,0000	18,0000	29.000	29.000	5	0	1.000		0 (CAR)
				29.000	29.000	5	0			0 (MIN)
				29.000	29.000	5	0			0 (MED)
4	terreno di riporto	18,0000	18,0000	28.000	28.000	0	0	1.000		0 (CAR)
				28.000	28.000	0	0			0 (MIN)
				28.000	28.000	0	0			0 (MED)

Stratigrafia

Simbologia adottata

n°	Indice dello strato
H	Spessore dello strato espresso in [m]
α	Inclinazione espressa in [°]

Terreno Terreno dello strato
 Kwn, Kwt Costante di Winkler normale e tangenziale alla superficie espressa in Kg/cm²/cm
 Per calcolo pali (solo se presenti)
 Kw Costante di Winkler orizzontale espressa in Kg/cm²/cm
 Ks Coefficiente di spinta
 Cesp Coefficiente di espansione laterale (per tutti i metodi tranne il metodo di Bustamante-Doix)

Per calcolo della spinta con coeff. di spinta definiti (usati solo se attiva l'opzione 'Usa coeff. di spinta da strato')
 Kststa, Kstsis Coeff. di spinta statico e sismico

n°	H [m]	α [°]	Terreno	Kwn [Kg/cm ²]	Kwt [Kg/cm ²]	Kw [Kg/cm ²]	Ks	Cesp	Kststa	Kstsis
1	6,00	0.000	rilevato stradale	0.000	0.000	1,000	0,500	1,000	---	---
2	3,00	0.000	terreno di riporto	0.000	0.000	10,000	0,500	1,000	---	---
3	12,00	0.000	Unità PR- sabbia limosa e limo sabbioso	0.000	0.000	10,000	0,000	1,000	---	---
4	10,00	0.000	Unità CL- limo sabbioso argilloso	0.000	0.000	10,000	0,000	1,000	---	---

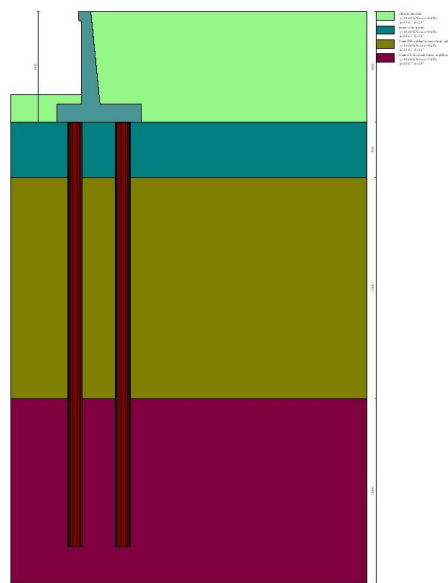


Fig. 3 - Stratigrafia

Condizioni di carico

Simbologia adottata

Carichi verticali positivi verso il basso.
 Carichi orizzontali positivi verso sinistra.
 Momento positivo senso antiorario.

X Ascissa del punto di applicazione del carico concentrato espressa in [m]
 F_x Componente orizzontale del carico concentrato espressa in [kN]
 F_y Componente verticale del carico concentrato espressa in [kN]
 M Momento espresso in [kNm]
 X_i Ascissa del punto iniziale del carico ripartito espressa in [m]
 X_f Ascissa del punto finale del carico ripartito espressa in [m]
 Q_i Intensità del carico per x=X_i espressa in [kN]
 Q_f Intensità del carico per x=X_f espressa in [kN]

Condizione n° 1 (traffico veicolare) - VARIABILE TF

Coeff. di combinazione $\Psi_0=0.75 - \Psi_1=0.75 - \Psi_2=0.00$

Carichi sul terreno

n°	Tipo	X [m]	F _x [kN]	F _y [kN]	M [kNm]	X _i [m]	X _f [m]	Q _i [kN]	Q _f [kN]
1	Distribuito					0,00	12,00	20,000	20,000

Condizione n° 2 (pavimentazione) - PERMANENTE NS

Carichi sul terreno

n°	Tipo	X [m]	Fx [kN]	Fy [kN]	M [kNm]	Xi [m]	Xf [m]	Qi [kN]	Qf [kN]
1	Distribuito					0,00	12,00	2,5000	2,5000

Normativa

Normativa usata: **Norme Tecniche sulle Costruzioni 2018 (D.M. 17.01.2018) + Circolare C.S.LL.PP. 21/01/2019 n.7**

Coeff. parziali per le azioni o per l'effetto delle azioni

Carichi	Effetto		Combinazioni statiche					Combinazioni sismiche			
			HYD	UPL	EQU	A1	A2	EQU	A1	A2	
Permanenti strutturali	Favorevoli	$\gamma_{G1, fav}$	1.00	0.90	1.00	1.00	1.00	1.00	1.00	1.00	1.00
Permanenti strutturali	Sfavorevoli	$\gamma_{G1, sfav}$	1.00	1.10	1.30	1.30	1.00	1.00	1.00	1.00	1.00
Permanenti non strutturali	Favorevoli	$\gamma_{G2, fav}$	0.00	0.80	0.80	0.80	0.80	0.00	0.00	0.00	0.00
Permanenti non strutturali	Sfavorevoli	$\gamma_{G2, sfav}$	1.00	1.50	1.50	1.50	1.30	1.00	1.00	1.00	1.00
Variabili	Favorevoli	$\gamma_{Q, fav}$	0.00	0.00	0.00	0.00	0.00	0.00	0.00	0.00	0.00
Variabili	Sfavorevoli	$\gamma_{Q, sfav}$	1.00	1.50	1.50	1.50	1.30	1.00	1.00	1.00	1.00
Variabili da traffico	Favorevoli	$\gamma_{QT, fav}$	0.00	0.00	0.00	0.00	0.00	0.00	0.00	0.00	0.00
Variabili da traffico	Sfavorevoli	$\gamma_{QT, sfav}$	1.00	1.50	1.35	1.35	1.15	1.00	1.00	1.00	1.00

Coeff. parziali per i parametri geotecnici del terreno

Parametro		Combinazioni statiche		Combinazioni sismiche	
		M1	M2	M1	M2
Tangente dell'angolo di attrito	$\gamma_{\tan(\phi)}$	1.00	1.25	1.00	1.00
Coesione efficace	γ_c	1.00	1.25	1.00	1.00
Resistenza non drenata	γ_{cu}	1.00	1.40	1.00	1.00
Peso nell'unità di volume	γ_r	1.00	1.00	1.00	1.00

Coeff. parziali γ_R per le verifiche agli stati limite ultimi STR e GEO

Verifica	Combinazioni statiche			Combinazioni sismiche		
	R1	R2	R3	R1	R2	R3
Capacità portante	--	--	1.40	--	--	1.20
Scorrimento	--	--	1.10	--	--	1.00
Resistenza terreno a valle	--	--	1.40	--	--	1.20
Ribaltamento	--	--	1.15	--	--	1.00
Stabilità fronte di scavo	--	1.10	--	--	1.20	--

Carichi verticali. Coeff. parziali γ_R da applicare alle resistenze caratteristiche

Resistenza		Pali infissi			Pali trivellati			Pali ad elica continua		
		R1	R2	R3	R1	R2	R3	R1	R2	R3
Punta	γ_b	--	--	1.15	--	--	1.35	--	--	1.30
Laterale compressione	γ_s	--	--	1.15	--	--	1.15	--	--	1.15
Totale compressione	γ_t	--	--	1.15	--	--	1.30	--	--	1.25
Laterale trazione	γ_{st}	--	--	1.25	--	--	1.25	--	--	1.25

Carichi trasversali. Coeff. parziali γ_R da applicare alle resistenze caratteristiche

		R1	R2	R3
Trasversale	γ_t	--	--	1.30

Coefficienti di riduzione ζ per la determinazione della resistenza caratteristica dei pali

Numero di verticali indagate 1

$\zeta_3=1.70$ $\zeta_4=1.70$

Descrizione combinazioni di carico

Con riferimento alle azioni elementari prima determinate, si sono considerate le seguenti combinazioni di carico:

- Combinazione fondamentale, impiegata per gli stati limite ultimi (SLU):

$$\gamma_{G1} G_1 + \gamma_{G2} G_2 + \gamma_{Q1} Q_{k1} + \gamma_{Q2} Q_{k2} + \gamma_{Q3} Q_{k3} + \dots$$

- Combinazione caratteristica, cosiddetta rara, impiegata per gli stati limite di esercizio (SLE) irreversibili:

$$G_1 + G_2 + Q_{k1} + \Psi_{0,2} Q_{k2} + \Psi_{0,3} Q_{k3} + \dots$$

- Combinazione frequente, impiegata per gli stati limite di esercizio (SLE) reversibili:

$$G_1 + G_2 + \Psi_{1,1} Q_{k1} + \Psi_{2,2} Q_{k2} + \Psi_{2,3} Q_{k3} + \dots$$

- Combinazione quasi permanente, impiegata per gli effetti di lungo periodo:

$$G_1 + G_2 + \Psi_{2,1} Q_{k1} + \Psi_{2,2} Q_{k2} + \Psi_{2,3} Q_{k3} + \dots$$

I valori dei coeff. $\Psi_{0,j}$, $\Psi_{1,j}$, $\Psi_{2,j}$ sono definiti nelle singole condizioni variabili, per i valori dei coeff. γ_G e γ_Q , sono definiti nella tabella normativa.

In particolare si sono considerate le seguenti combinazioni:

Simbologia adottata

γ Coefficiente di partecipazione della condizione
 Ψ Coefficiente di combinazione della condizione

Combinazione n° 1 - STR (A1-M1-R3)

Condizione	γ	Ψ	Effetto
Peso muro	1.00	--	Favorevole
Peso terrapieno	1.00	--	Favorevole
Spinta terreno	1.30	--	Sfavorevole
pavimentazione	1.50	--	Sfavorevole
traffico veicolare	1.35	1.00	Sfavorevole

Combinazione n° 2 - GEO (A2-M2-R2)

Condizione	γ	Ψ	Effetto
Peso muro	1.00	--	Sfavorevole
Peso terrapieno	1.00	--	Sfavorevole
Spinta terreno	1.00	--	Sfavorevole
pavimentazione	1.30	--	Sfavorevole
traffico veicolare	1.15	1.00	Sfavorevole

Combinazione n° 3 - SLER

Condizione	γ	Ψ	Effetto
Peso muro	1.00	--	Sfavorevole
Peso terrapieno	1.00	--	Sfavorevole
Spinta terreno	1.00	--	Sfavorevole
pavimentazione	1.00	--	Sfavorevole
traffico veicolare	1.00	1.00	Sfavorevole

Combinazione n° 4 - SLEF

Condizione	γ	Ψ	Effetto
Peso muro	1.00	--	Sfavorevole
Peso terrapieno	1.00	--	Sfavorevole
Spinta terreno	1.00	--	Sfavorevole
pavimentazione	1.00	--	Sfavorevole
traffico veicolare	1.00	0.75	Sfavorevole

Combinazione n° 5 - SLEQ

Condizione	γ	Ψ	Effetto
Peso muro	1.00	--	Sfavorevole
Peso terrapieno	1.00	--	Sfavorevole
Spinta terreno	1.00	--	Sfavorevole
pavimentazione	1.00	--	Sfavorevole

Dati sismici

Comune	Roma
Provincia	Roma
Regione	Lazio
Latitudine	41.933189
Longitudine	12.601168
Indice punti di interpolazione	28292 - 28070 - 28069 - 28291
Vita nominale	50 anni
Classe d'uso	IV
Tipo costruzione	Normali affollamenti
Vita di riferimento	100 anni

	Simbolo	U.M.		SLU	SLE
Accelerazione al suolo	a_g	[m/s ²]		1.785	0.814
Accelerazione al suolo	a_g/g	[%]		0.182	0.083
Massimo fattore amplificazione spettro orizzontale	F0			2.572	2.489
Periodo inizio tratto spettro a velocità costante	Tc*			0.290	0.279
Tipo di sottosuolo - Coefficiente stratigrafico	Ss		C	1.419	1.500
Categoria topografica - Coefficiente amplificazione topografica	St		T1	1.000	

Stato limite ...	Coeff. di riduzione β_m	kh	kv
Ultimo	1.000	25.820	12.910
Ultimo - Ribaltamento	1.000	25.820	12.910
Esercizio	1.000	12.446	6.223

Nel calcolo non è stato portato in conto il sisma verticale

Forma diagramma incremento sismico **Rettangolare**

Opzioni di calcolo

Spinta

Metodo di calcolo della spinta	Culmann
Tipo di spinta	Spinta a riposo
Terreno a bassa permeabilità	NO
Superficie di spinta limitata	NO

Stabilità globale

Metodo di calcolo della stabilità globale	Bishop
---	--------

Altro

Partecipazione spinta passiva terreno antistante	0.00
Partecipazione resistenza passiva dente di fondazione	50.00
Componente verticale della spinta nel calcolo delle sollecitazioni	NO
Considera terreno sulla fondazione di valle	NO
Considera spinta e peso acqua fondazione di valle	NO

Spostamenti

Modello a blocchi	
Non è stato richiesto il calcolo degli spostamenti	
Spostamento limite	10,00 [cm]

Opzioni calcolo pali

Portanza verticale

Metodo di calcolo della portanza alla punta	Berezantzev ridotto
Metodo di calcolo della portanza alla laterale	Integrazione delle tensioni tangenziali ($k_s \sigma_v \tan(\delta) + c_a$)
Correzione angolo di attrito in funzione del tipo di palo (infisso/trivellato)	Attiva
Andamento pressione verticale nel calcolo della portanza alla punta σ_v con la profondità	Pressione geostatica
Andamento pressione verticale nel calcolo della portanza laterale	Pressione geostatica

Portanza trasversale

Costante di Winkler: da stratoCriterio rottura palo-terreno

- Spostamento limite	Non attivo
- Pressione limite	Pressione passiva con moltiplicatore M=3,00
- Palo infinitamente elastico	Non attivo

Cedimenti

Metodo di calcolo	Metodo agli elementi finiti
Spostamento limite alla punta	1,00 [cm]
Spostamento limite laterale	0,50 [cm]

Risultati per combinazione

Spinta e forze

Simbologia adottata

Ic Indice della combinazione
A Tipo azione
I Inclinazione della spinta, espressa in [°]
V Valore dell'azione, espressa in [kN]
Cx, Cy Componente in direzione X ed Y dell'azione, espressa in [kN]
Px, Py Coordinata X ed Y del punto di applicazione dell'azione, espressa in [m]

Ic	A	V [kN]	I [°]	Cx [kN]	Cy [kN]	Px [m]	Py [m]
1	Spinta statica	207,09	23,33	190,16	82,01	2,75	-3,50
	Peso/Inerzia muro			0,00	206,48/0,00	0,19	-4,24
	Peso/Inerzia terrapieno			0,00	309,49/0,00	1,47	-2,40
	Resistenza pali			-196,26			
3	Spinta statica	157,61	23,33	144,72	62,42	2,75	-3,50
	Peso/Inerzia muro			0,00	206,48/0,00	0,19	-4,24
	Peso/Inerzia terrapieno			0,00	286,81/0,00	1,47	-2,40
	Resistenza pali			-255,11			
4	Spinta statica	150,27	23,33	137,99	59,51	2,75	-3,53
	Peso/Inerzia muro			0,00	206,48/0,00	0,19	-4,24
	Peso/Inerzia terrapieno			0,00	273,07/0,00	1,48	-2,40
	Resistenza pali			-255,10			
5	Spinta statica	128,28	23,33	117,79	50,80	2,75	-3,62
	Peso/Inerzia muro			0,00	206,48/0,00	0,19	-4,24
	Peso/Inerzia terrapieno			0,00	231,83/0,00	1,49	-2,41
	Resistenza pali			-255,12			

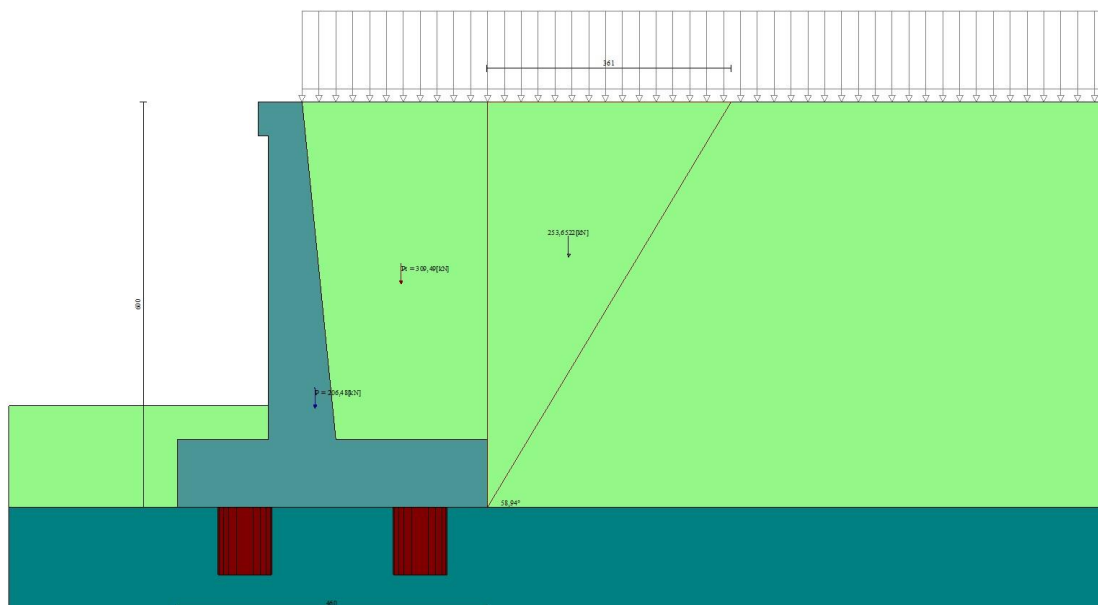


Fig. 4 - Cuneo di spinta (combinazione statica) (Combinazione n° 1)

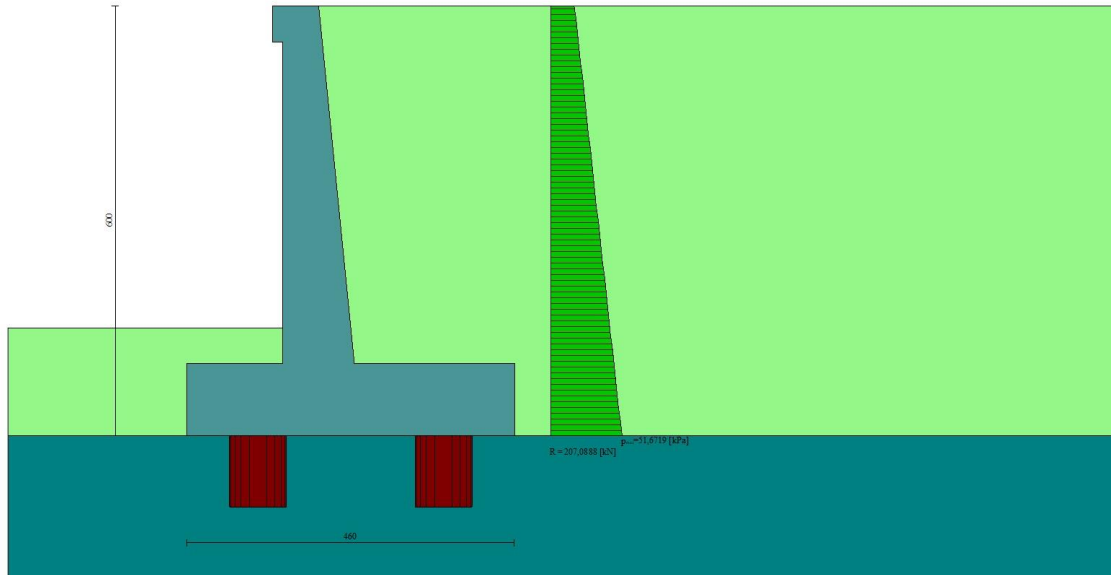


Fig. 5 - Diagramma delle pressioni (combinazione statica) (Combinazione n° 1)

Risultanti globali

Simbologia adottata

Cmb	Indice/Tipo combinazione
N	Componente normale al piano di posa, espressa in [kN]
T	Componente parallela al piano di posa, espressa in [kN]
Mr	Momento ribaltante, espresso in [kNm]
M _s	Momento stabilizzante, espresso in [kNm]
ecc	Eccentricità risultante, espressa in [m]

Ic	N [kN]	T [kN]	Mr [kNm]	M _s [kNm]	ecc [m]
1 - STR (A1-M1-R3)	597,98	190,16	475,95	1824,93	0,044
2 - GEO (A2-M2-R2)	567,53	185,29	462,05	1701,70	0,115
3 - SLER	555,70	144,72	361,45	1661,34	-0,040
4 - SLEF	539,06	137,99	341,26	1603,45	-0,042
5 - SLEQ	489,11	117,79	280,66	1429,80	-0,050

Scarichi in testa ai pali

Simbologia adottata

Cmb	Indice/Tipo combinazione
Ip	Indice palo
N	Sforzo normale, espresso in [kN]
M	Momento, espresso in [kNm]
T	Taglio, espresso in [kN]

Cmb	Ip	N [kN]	M [kNm]	T [kN]
1 - STR (A1-M1-R3)	1	867,19	0,00	-285,22
	2	926,75	0,00	-285,22
3 - SLER	1	859,26	0,00	-217,07
	2	807,85	0,00	-217,07
4 - SLEF	1	834,97	0,00	-206,97
	2	782,19	0,00	-206,97
5 - SLEQ	1	762,10	0,00	-176,68
	2	705,22	0,00	-176,68

Verifiche geotecniche

Quadro riassuntivo coeff. di sicurezza calcolati

Simbologia adottata

Cmb	Indice/Tipo combinazione
S	Sisma (H: componente orizzontale, V: componente verticale)
FS _{SCO}	Coeff. di sicurezza allo scorrimento
FS _{RIB}	Coeff. di sicurezza al ribaltamento
FS _{QLIM}	Coeff. di sicurezza a carico limite
FS _{STAB}	Coeff. di sicurezza a stabilità globale
FS _{HYD}	Coeff. di sicurezza a sifonamento
FS _{SUPL}	Coeff. di sicurezza a sollevamento

Cmb	Sismica	FS _{SCO}	FS _{RIB}	FS _{QLIM}	FS _{STAB}	FS _{HYD}	FS _{SUPL}
1 - STR (A1-M1-R3)		1.032					
2 - GEO (A2-M2-R2)					3.289		

Verifica stabilità globale muro + terreno

Simbologia adottata

Ic	Indice/Tipo combinazione
C	Centro superficie di scorrimento, espresso in [m]
R	Raggio, espresso in [m]
FS	Fattore di sicurezza

Ic	C	R	FS
	[m]	[m]	
2 - GEO (A2-M2-R2)	-3,00; 4,50	11,98	3.289

Cedimenti pali

Simbologia adottata

Ic	Indice combinazione
Ip	Indice palo
w	Cedimento, espresso in [cm]

Ic	Ip	w
		[cm]
3	1	0,1979
	2	0,1861
4	1	0,1923
	2	0,1802
5	1	0,1756
	2	0,1625

Sollecitazioni

Elementi calcolati a trave

Simbologia adottata

N	Sforzo normale, espresso in [kN]. Positivo se di compressione.
T	Taglio, espresso in [kN]. Positivo se diretto da monte verso valle
M	Momento, espresso in [kNm]. Positivo se tende le fibre contro terra (a monte)

Elementi calcolati a piastra

Simbologia adottata

M _x , M _y	Momenti flettenti, espresso in [kNm]
M _{xy}	Momento torcente, espresso in [kNm]. Positivo se diretto da monte verso valle
T _x , T _y	Tagli, espresso in [kN]. Positivo se tende le fibre contro terra (a monte)

I momenti flettenti sono positivi se tendono le fibre inferiori (intradosso fondazione, paramento esterno)

Paramento

Combinazione n° 1 - STR (A1-M1-R3)

n°	X	N	T	M
	[m]	[kN]	[kN]	[kNm]
1	0,00	1,84	0,00	0,14
2	-0,10	3,08	1,64	0,22
3	-0,20	4,34	3,33	0,48
4	-0,30	5,63	5,09	0,92
5	-0,40	6,94	6,90	1,54
6	-0,50	8,27	8,77	2,35
7	-0,60	9,63	10,69	3,36
8	-0,70	11,02	12,68	4,57
9	-0,80	12,43	14,73	5,99
10	-0,90	13,86	16,83	7,62
11	-1,00	15,32	18,99	9,47
12	-1,10	16,80	21,21	11,55

n°	X [m]	N [kN]	T [kN]	M [kNm]
13	-1,20	18,31	23,49	13,87
14	-1,30	19,84	25,83	16,42
15	-1,40	21,40	28,22	19,21
16	-1,50	22,98	30,68	22,26
17	-1,60	24,58	33,19	25,56
18	-1,70	26,21	35,76	29,13
19	-1,80	27,87	38,39	32,96
20	-1,90	29,55	41,08	37,07
21	-2,00	31,25	43,83	41,45
22	-2,10	32,98	46,63	46,13
23	-2,20	34,73	49,49	51,09
24	-2,30	36,51	52,42	56,36
25	-2,40	38,31	55,40	61,92
26	-2,50	40,13	58,44	67,80
27	-2,60	41,98	61,53	74,00
28	-2,70	43,86	64,69	80,51
29	-2,80	45,76	67,90	87,36
30	-2,90	47,68	71,17	94,53
31	-3,00	49,63	74,51	102,05
32	-3,10	51,60	77,90	109,91
33	-3,20	53,60	81,34	118,13
34	-3,30	55,62	84,85	126,70
35	-3,40	57,66	88,42	135,64
36	-3,50	59,73	92,04	144,94
37	-3,60	61,83	95,72	154,62
38	-3,70	63,95	99,46	164,69
39	-3,80	66,09	103,26	175,14
40	-3,90	68,26	107,12	185,98
41	-4,00	70,45	111,03	197,23
42	-4,10	72,67	115,01	208,88
43	-4,20	74,91	119,04	220,94
44	-4,30	77,17	123,13	233,41
45	-4,40	79,46	127,28	246,32
46	-4,50	81,78	131,49	259,65
47	-4,60	84,12	135,75	273,41
48	-4,70	86,48	140,08	287,62
49	-4,80	88,87	144,46	302,28
50	-4,90	91,28	148,90	317,39
51	-5,00	93,72	153,41	332,95

Combinazione n° 3 - SLER

n°	X [m]	N [kN]	T [kN]	M [kNm]
1	0,00	1,84	0,00	0,14
2	-0,10	3,08	1,23	0,20
3	-0,20	4,34	2,50	0,40
4	-0,30	5,63	3,83	0,73
5	-0,40	6,94	5,19	1,20
6	-0,50	8,27	6,60	1,82
7	-0,60	9,63	8,05	2,59
8	-0,70	11,02	9,55	3,51
9	-0,80	12,43	11,10	4,59
10	-0,90	13,86	12,69	5,84
11	-1,00	15,32	14,32	7,25
12	-1,10	16,80	16,00	8,84
13	-1,20	18,31	17,72	10,60
14	-1,30	19,84	19,49	12,55
15	-1,40	21,40	21,31	14,68
16	-1,50	22,98	23,17	17,01
17	-1,60	24,58	25,07	19,53
18	-1,70	26,21	27,02	22,25
19	-1,80	27,87	29,01	25,18
20	-1,90	29,55	31,05	28,31
21	-2,00	31,25	33,14	31,66
22	-2,10	32,98	35,26	35,23
23	-2,20	34,73	37,44	39,03
24	-2,30	36,51	39,66	43,05
25	-2,40	38,31	41,92	47,31
26	-2,50	40,13	44,23	51,80
27	-2,60	41,98	46,58	56,54
28	-2,70	43,86	48,98	61,52
29	-2,80	45,76	51,43	66,75
30	-2,90	47,68	53,91	72,25
31	-3,00	49,63	56,45	78,00
32	-3,10	51,60	59,03	84,01
33	-3,20	53,60	61,65	90,30
34	-3,30	55,62	64,32	96,86
35	-3,40	57,66	67,03	103,70
36	-3,50	59,73	69,79	110,83
37	-3,60	61,83	72,59	118,24
38	-3,70	63,95	75,44	125,95
39	-3,80	66,09	78,34	133,95
40	-3,90	68,26	81,27	142,26
41	-4,00	70,45	84,26	150,87
42	-4,10	72,67	87,28	159,79
43	-4,20	74,91	90,36	169,03
44	-4,30	77,17	93,48	178,60

n°	X [m]	N [kN]	T [kN]	M [kNm]
45	-4,40	79,46	96,64	188,48
46	-4,50	81,78	99,85	198,70
47	-4,60	84,12	103,10	209,25
48	-4,70	86,48	106,40	220,14
49	-4,80	88,87	109,74	231,38
50	-4,90	91,28	113,13	242,96
51	-5,00	93,72	116,56	254,90

Combinazione n° 4 - SLEF

n°	X [m]	N [kN]	T [kN]	M [kNm]
1	0,00	1,84	0,00	0,14
2	-0,10	3,08	1,10	0,20
3	-0,20	4,34	2,26	0,37
4	-0,30	5,63	3,45	0,67
5	-0,40	6,94	4,69	1,10
6	-0,50	8,27	5,97	1,66
7	-0,60	9,63	7,30	2,36
8	-0,70	11,02	8,68	3,20
9	-0,80	12,43	10,10	4,19
10	-0,90	13,86	11,56	5,33
11	-1,00	15,32	13,07	6,63
12	-1,10	16,80	14,63	8,08
13	-1,20	18,31	16,22	9,70
14	-1,30	19,84	17,87	11,49
15	-1,40	21,40	19,56	13,46
16	-1,50	22,98	21,29	15,60
17	-1,60	24,58	23,07	17,93
18	-1,70	26,21	24,90	20,44
19	-1,80	27,87	26,76	23,15
20	-1,90	29,55	28,68	26,06
21	-2,00	31,25	30,64	29,17
22	-2,10	32,98	32,64	32,48
23	-2,20	34,73	34,69	36,01
24	-2,30	36,51	36,78	39,75
25	-2,40	38,31	38,92	43,71
26	-2,50	40,13	41,11	47,90
27	-2,60	41,98	43,34	52,32
28	-2,70	43,86	45,61	56,97
29	-2,80	45,76	47,93	61,86
30	-2,90	47,68	50,29	66,99
31	-3,00	49,63	52,70	72,38
32	-3,10	51,60	55,15	78,01
33	-3,20	53,60	57,65	83,90
34	-3,30	55,62	60,20	90,06
35	-3,40	57,66	62,78	96,48
36	-3,50	59,73	65,42	103,18
37	-3,60	61,83	68,10	110,14
38	-3,70	63,95	70,82	117,39
39	-3,80	66,09	73,59	124,93
40	-3,90	68,26	76,40	132,76
41	-4,00	70,45	79,26	140,87
42	-4,10	72,67	82,16	149,29
43	-4,20	74,91	85,11	158,02
44	-4,30	77,17	88,10	167,05
45	-4,40	79,46	91,14	176,39
46	-4,50	81,78	94,23	186,05
47	-4,60	84,12	97,35	196,04
48	-4,70	86,48	100,53	206,35
49	-4,80	88,87	103,75	216,99
50	-4,90	91,28	107,01	227,96
51	-5,00	93,72	110,32	239,28

Combinazione n° 5 - SLEQ

n°	X [m]	N [kN]	T [kN]	M [kNm]
1	0,00	1,84	0,00	0,14
2	-0,10	3,08	0,73	0,18
3	-0,20	4,34	1,51	0,30
4	-0,30	5,63	2,33	0,50
5	-0,40	6,94	3,19	0,80
6	-0,50	8,27	4,10	1,20
7	-0,60	9,63	5,06	1,69
8	-0,70	11,02	6,06	2,29
9	-0,80	12,43	7,10	2,99
10	-0,90	13,86	8,19	3,81
11	-1,00	15,32	9,32	4,75
12	-1,10	16,80	10,50	5,81
13	-1,20	18,31	11,73	7,00
14	-1,30	19,84	13,00	8,33
15	-1,40	21,40	14,31	9,78
16	-1,50	22,98	15,67	11,38
17	-1,60	24,58	17,08	13,13
18	-1,70	26,21	18,52	15,03
19	-1,80	27,87	20,02	17,08

n°	X [m]	N [kN]	T [kN]	M [kNm]
20	-1,90	29,55	21,56	19,29
21	-2,00	31,25	23,14	21,67
22	-2,10	32,98	24,77	24,22
23	-2,20	34,73	26,45	26,94
24	-2,30	36,51	28,16	29,84
25	-2,40	38,31	29,93	32,92
26	-2,50	40,13	31,74	36,19
27	-2,60	41,98	33,59	39,65
28	-2,70	43,86	35,49	43,31
29	-2,80	45,76	37,43	47,17
30	-2,90	47,68	39,42	51,23
31	-3,00	49,63	41,46	55,51
32	-3,10	51,60	43,54	60,00
33	-3,20	53,60	45,66	64,72
34	-3,30	55,62	47,83	69,65
35	-3,40	57,66	50,04	74,82
36	-3,50	59,73	52,30	80,22
37	-3,60	61,83	54,61	85,86
38	-3,70	63,95	56,95	91,74
39	-3,80	66,09	59,35	97,87
40	-3,90	68,26	61,79	104,26
41	-4,00	70,45	64,27	110,90
42	-4,10	72,67	66,80	117,80
43	-4,20	74,91	69,37	124,96
44	-4,30	77,17	71,99	132,40
45	-4,40	79,46	74,65	140,11
46	-4,50	81,78	77,36	148,11
47	-4,60	84,12	80,12	156,39
48	-4,70	86,48	82,91	164,95
49	-4,80	88,87	85,76	173,82
50	-4,90	91,28	88,65	182,98
51	-5,00	93,72	91,58	192,44

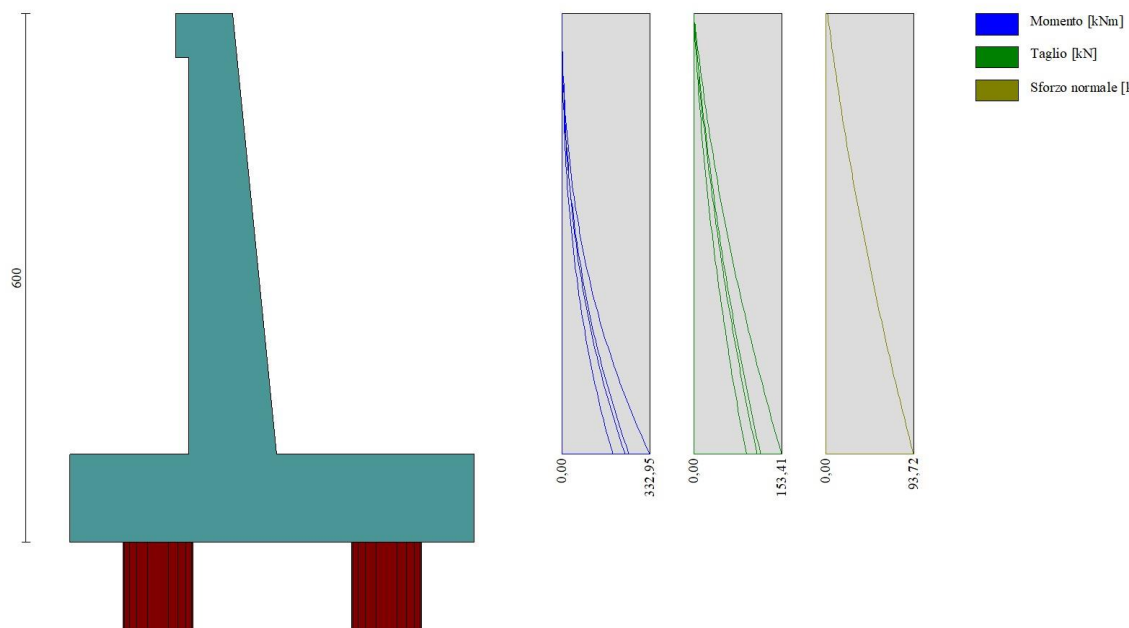


Fig. 6 - Paramento (Inviluppo)

Piastra fondazione

Combinazione n° 1 - STR (A1-M1-R3)

In	Mx [kNm]	My [kNm]	Mxy [kNm]	Tx [kN]	Ty [kN]	
9	61,76	205,88	0,00	0,00	-1072,42	MAX
28	-267,37	-245,87	0,00	0,00	81,29	MIN
9	61,76	205,88	0,00	0,00	-1072,42	MAX
28	-267,37	-245,87	0,00	0,00	81,29	MIN
24	-30,15	-28,39	23,83	-30,37	23,22	MAX
21	-30,15	-28,39	-23,83	30,37	23,22	MIN
26	14,28	-21,05	-8,35	204,23	8,42	MAX
29	14,28	-21,05	8,35	-204,23	8,42	MIN

In	Mx [kNm]	My [kNm]	Mxy [kNm]	Tx [kN]	Ty [kN]	
23	-46,38	22,60	0,00	0,00	262,21	MAX
9	61,76	205,88	0,00	0,00	-1072,42	MIN

Combinazione n° 3 - SLER

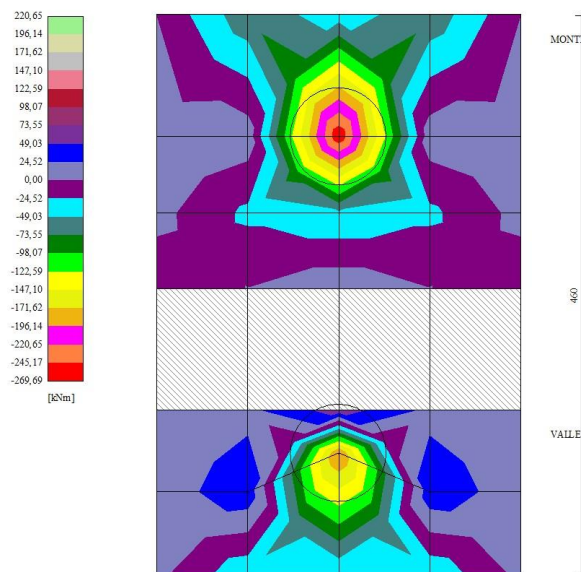
In	Mx [kNm]	My [kNm]	Mxy [kNm]	Tx [kN]	Ty [kN]	
9	61,76	205,88	0,00	0,00	-1072,42	MAX
28	-267,37	-245,87	0,00	0,00	81,29	MIN
9	61,76	205,88	0,00	0,00	-1072,42	MAX
28	-267,37	-245,87	0,00	0,00	81,29	MIN
20	-0,39	-1,29	24,85	0,00	-83,80	MAX
14	-0,39	-1,29	-24,85	0,00	-83,80	MIN
26	14,28	-21,05	-8,35	204,23	8,42	MAX
29	14,28	-21,05	8,35	-204,23	8,42	MIN
23	-37,78	56,48	0,00	0,00	304,18	MAX
9	61,76	205,88	0,00	0,00	-1072,42	MIN

Combinazione n° 4 - SLEF

In	Mx [kNm]	My [kNm]	Mxy [kNm]	Tx [kN]	Ty [kN]	
9	61,76	205,88	0,00	0,00	-1072,42	MAX
28	-267,37	-245,87	0,00	0,00	81,29	MIN
9	61,76	205,88	0,00	0,00	-1072,42	MAX
28	-267,37	-245,87	0,00	0,00	81,29	MIN
20	-0,39	-1,29	24,85	0,00	23,22	MAX
14	-30,15	-28,39	-24,85	0,00	-83,80	MIN
26	14,28	-21,05	-8,35	204,23	8,42	MAX
29	14,28	-21,05	8,35	-204,23	8,42	MIN
23	-37,78	56,48	0,00	0,00	304,18	MAX
9	61,76	205,88	0,00	0,00	-1072,42	MIN

Combinazione n° 5 - SLEQ

In	Mx [kNm]	My [kNm]	Mxy [kNm]	Tx [kN]	Ty [kN]	
9	61,76	205,88	0,00	0,00	-1072,42	MAX
28	-267,37	-245,87	0,00	0,00	81,29	MIN
9	61,76	205,88	0,00	0,00	-1072,42	MAX
28	-267,37	-245,87	0,00	0,00	81,29	MIN
20	-0,39	-1,29	24,85	0,00	23,22	MAX
14	-30,15	-28,39	-24,85	0,00	-83,80	MIN
26	14,28	-21,05	-8,35	204,23	8,42	MAX
29	14,28	-21,05	8,35	-204,23	8,42	MIN
23	-37,78	56,48	0,00	0,00	304,18	MAX
9	61,76	205,88	0,00	0,00	-1072,42	MIN



300
Fig. 7 - Piastra fondazione - Momenti Mx (Combinazione n° 1)

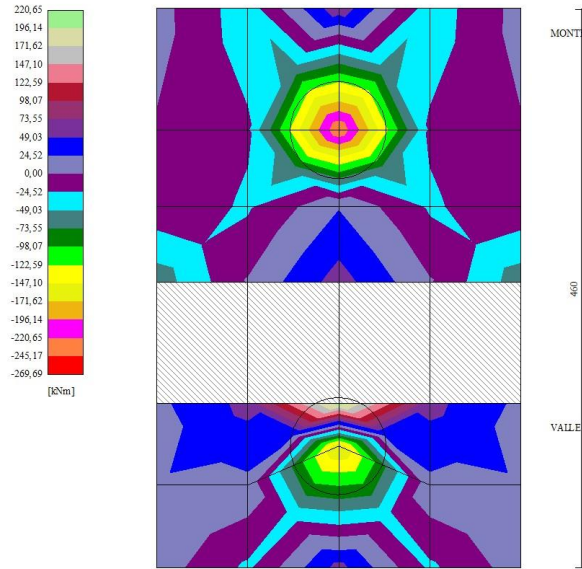


Fig. 8 - Piastra fondazione - Momenti M_y (Combinazione n° 1)

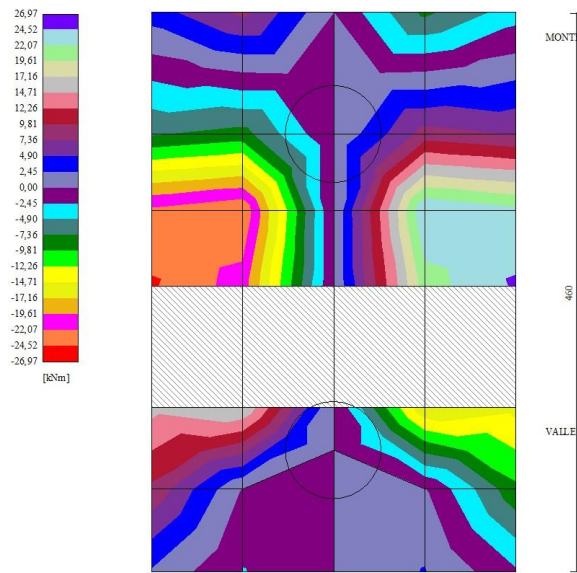


Fig. 9 - Piastra fondazione - Momento M_{xy} (Combinazione n° 3)

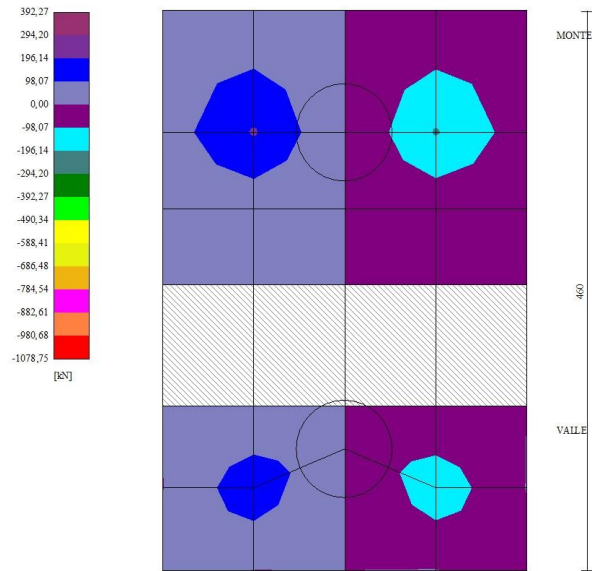


Fig. 10 - Piastra fondazione - Taglio Tx (Combinazione n° 1)

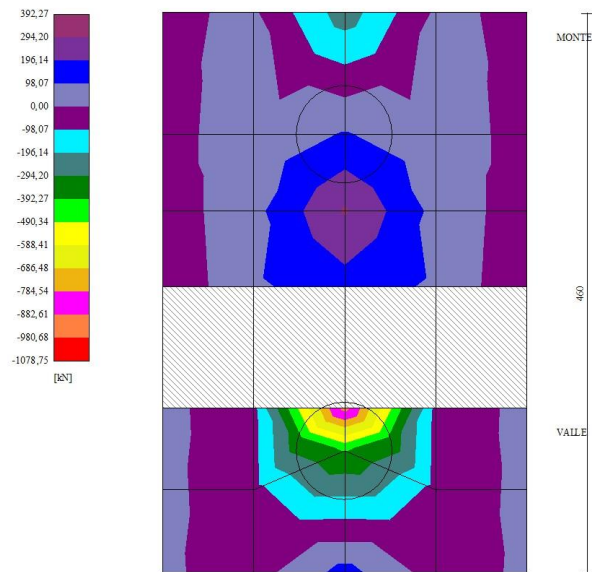
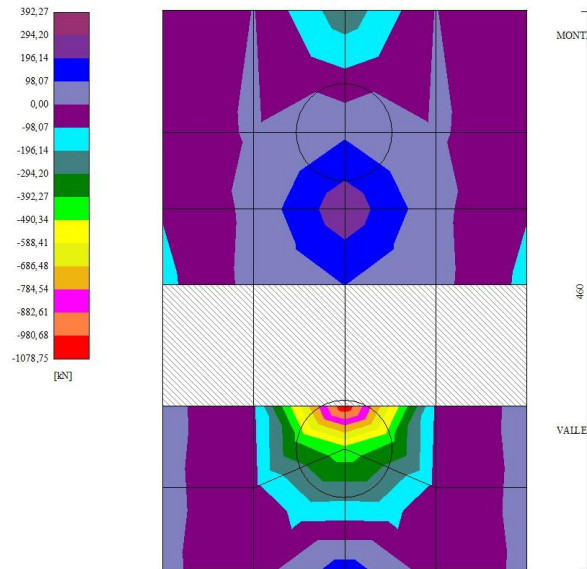


Fig. 11 - Piastra fondazione - Taglio Ty_{MAX} (Combinazione n° 3)



300
Fig. 12 - Piastra fondazione - Taglio T_{yMIN} (Combinazione n° 1)

Sollecitazioni pali

Simbologia adottata

- N Sforzo normale, espresso in [kN]. Positivo se di compressione.
T Taglio, espresso in [kN]. Positivo se diretto da monte verso valle
M Momento, espresso in [kNm]. Positivo se tende le fibre contro terra (a monte)

Combinazione n° 1 - STR (A1-M1-R3)

Palo n° 1

n°	Y [m]	Ne [kN]	Nr [kN]	Te [kN]	Tr [kN]	Me [kNm]	Mr [kNm]
1	0,00	867,19	10057,67	-285,22	-382,71	0,00	0,00
13	2,76	898,56	10008,04	7,72	-92,28	539,72	811,35
21	4,60	920,76	9999,76	142,95	214,05	368,03	670,50
47	10,58	994,46	9999,76	-1,30	3,34	-22,14	-33,70
101	23,00	1147,52	9999,76	0,02	0,04	0,00	0,00

Palo n° 2

n°	Y [m]	Ne [kN]	Nr [kN]	Te [kN]	Tr [kN]	Me [kNm]	Mr [kNm]
1	0,00	926,75	10057,81	-285,22	-382,71	0,00	0,00
13	2,76	958,00	10008,18	7,72	-92,28	539,72	811,35
21	4,60	980,17	9999,91	142,95	214,05	368,03	670,50
47	10,58	1053,86	9999,91	-1,30	3,34	-22,14	-33,70
101	23,00	1206,92	9999,91	0,02	0,04	0,00	0,00

Combinazione n° 3 - SLER

Palo n° 1

n°	Y [m]	Ne [kN]	Nr [kN]	Te [kN]	Tr [kN]	Me [kNm]	Mr [kNm]
1	0,00	859,26	10057,76	-217,07	-382,67	0,00	0,00
12	2,53	888,24	10015,76	13,98	-136,93	359,55	779,76
20	4,37	910,03	9999,85	95,09	201,39	237,61	716,70
45	10,12	980,89	9999,85	-0,17	11,18	-14,74	-29,53
101	23,00	1139,61	9999,85	0,01	0,04	0,00	0,00

Palo n° 2

n°	Y [m]	Ne [kN]	Nr [kN]	Te [kN]	Tr [kN]	Me [kNm]	Mr [kNm]
1	0,00	807,85	10057,71	-217,07	-382,67	0,00	0,00

n°	Y [m]	Ne [kN]	Nr [kN]	Te [kN]	Tr [kN]	Me [kNm]	Mr [kNm]
12	2,53	836,93	10015,70	13,98	-136,93	359,55	779,76
20	4,37	858,75	9999,79	95,09	201,39	237,61	716,70
45	10,12	929,61	9999,79	-0,17	11,18	-14,74	-29,53
101	23,00	1088,34	9999,79	0,01	0,04	0,00	0,00

Combinazione n° 4 - SLEF

Palo n° 1

n°	Y [m]	Ne [kN]	Nr [kN]	Te [kN]	Tr [kN]	Me [kNm]	Mr [kNm]
1	0,00	834,97	10057,84	-206,97	-382,65	0,00	0,00
12	2,53	864,00	10015,84	17,58	-136,91	335,10	779,71
20	4,37	885,80	9999,93	88,56	201,38	217,55	716,63
45	10,12	956,66	9999,93	-0,36	11,18	-13,75	-29,53
101	23,00	1115,39	9999,93	0,01	0,04	0,00	0,00

Palo n° 2

n°	Y [m]	Ne [kN]	Nr [kN]	Te [kN]	Tr [kN]	Me [kNm]	Mr [kNm]
1	0,00	782,19	10057,89	-206,97	-382,65	0,00	0,00
12	2,53	811,32	10015,89	17,58	-136,91	335,10	779,71
20	4,37	833,16	9999,98	88,56	201,38	217,55	716,63
45	10,12	904,02	9999,98	-0,36	11,18	-13,75	-29,53
101	23,00	1062,75	9999,98	0,01	0,04	0,00	0,00

Combinazione n° 5 - SLEQ

Palo n° 1

n°	Y [m]	Ne [kN]	Nr [kN]	Te [kN]	Tr [kN]	Me [kNm]	Mr [kNm]
1	0,00	762,10	10057,62	-176,68	-382,68	0,00	0,00
11	2,30	788,78	10022,62	6,09	-177,89	265,44	738,87
19	4,14	810,29	9999,71	70,27	182,09	179,04	758,62
45	10,12	883,98	9999,71	-0,72	11,18	-10,88	-29,53
101	23,00	1042,71	9999,71	0,01	0,04	0,00	0,00

Palo n° 2

n°	Y [m]	Ne [kN]	Nr [kN]	Te [kN]	Tr [kN]	Me [kNm]	Mr [kNm]
1	0,00	705,22	10057,72	-176,68	-382,68	0,00	0,00
11	2,30	732,00	10022,71	6,09	-177,89	265,44	738,87
19	4,14	753,57	9999,80	70,27	182,09	179,04	758,62
45	10,12	827,26	9999,80	-0,72	11,18	-10,88	-29,53
101	23,00	985,99	9999,80	0,01	0,04	0,00	0,00

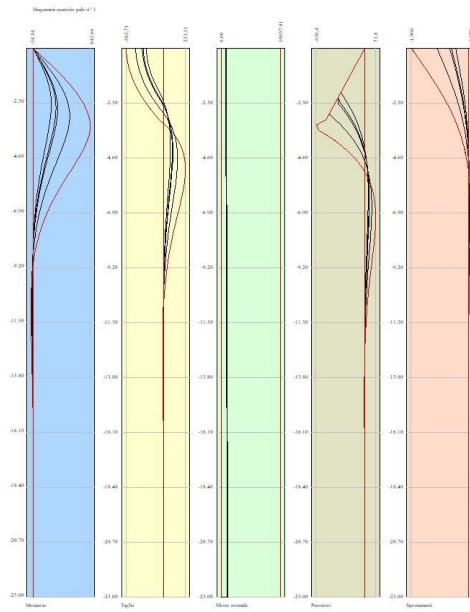


Fig. 13 - Sollecitazioni palo (Palo n° 1) (Inviluppo)

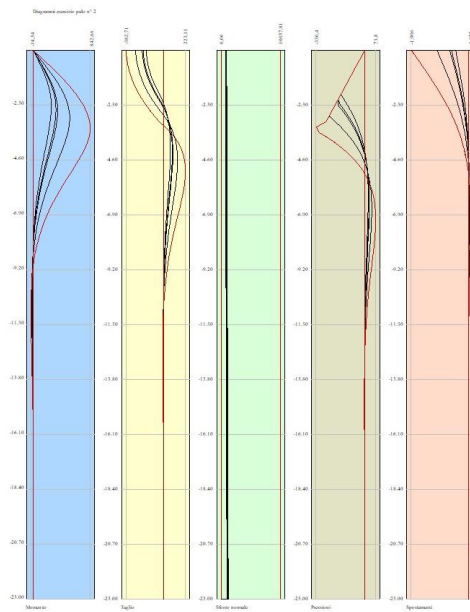


Fig. 14 - Sollecitazioni palo (Palo n° 2) (Inviluppo)

Risultati per involucro

Spinta e forze

Simbologia adottata

Ic	Indice della combinazione
A	Tipo azione
I	Inclinazione della spinta, espressa in [°]
V	Valore dell'azione, espressa in [kN]
C _x , C _y	Componente in direzione X ed Y dell'azione, espressa in [kN]
P _x , P _y	Coordinata X ed Y del punto di applicazione dell'azione, espressa in [m]

Ic	A	V [kN]	I [°]	C _x [kN]	C _y [kN]	P _x [m]	P _y [m]
1	Spinta statica	207,09	23,33	190,16	82,01	2,75	-3,50
	Peso/Inerzia muro			0,00	206,48/0,00	0,19	-4,24
	Peso/Inerzia terrapieno			0,00	309,49/0,00	1,47	-2,40
	Resistenza pali			-196,26			

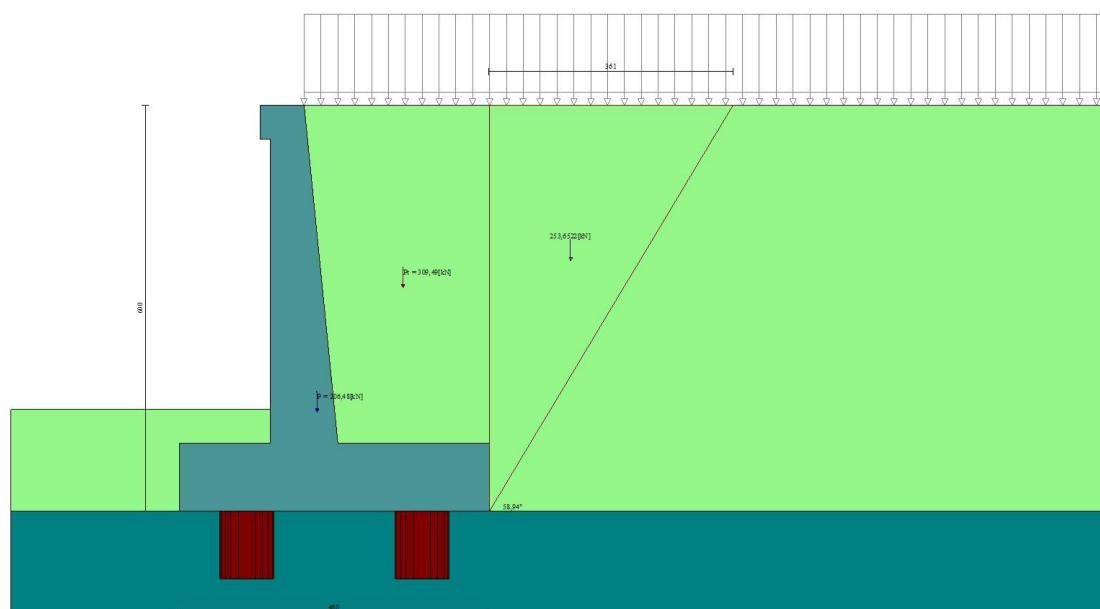


Fig. 15 - Cuneo di spinta (combinazione statica) (Combinazione n° 1)

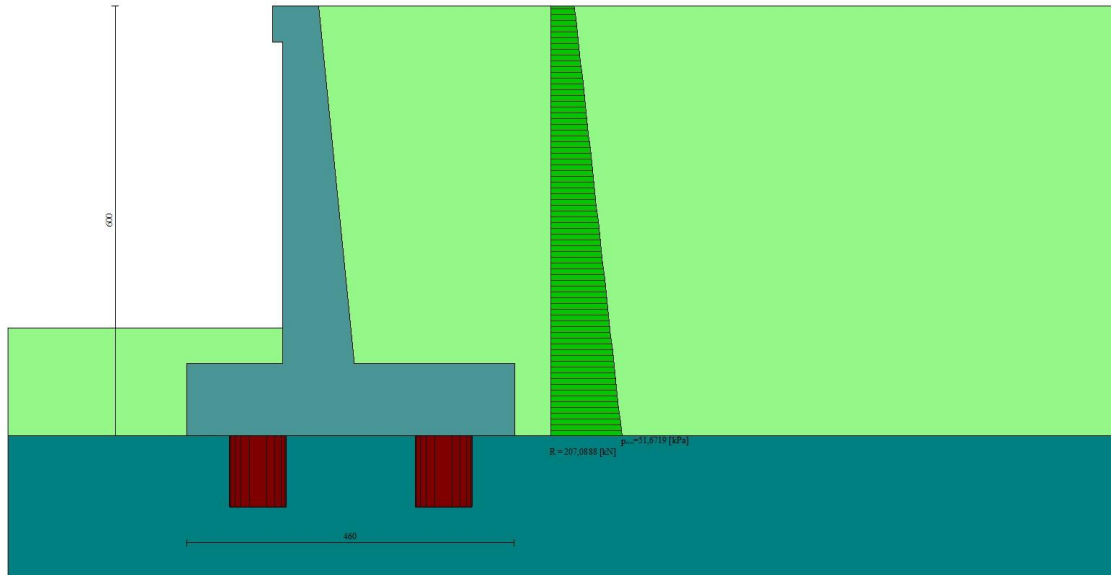


Fig. 16 - Diagramma delle pressioni (combinazione statica) (Combinazione n° 1)

Risultanti globali

Simbologia adottata

Cmb	Indice/Tipo combinazione
N	Componente normale al piano di posa, espressa in [kN]
T	Componente parallela al piano di posa, espressa in [kN]
Mr	Momento ribaltante, espresso in [kNm]
M _s	Momento stabilizzante, espresso in [kNm]
ecc	Eccentricità risultante, espressa in [m]

Ic	N [kN]	T [kN]	Mr [kNm]	M _s [kNm]	ecc [m]
1 - STR (A1-M1-R3)	597,98	190,16	475,95	1824,93	0,044
2 - GEO (A2-M2-R2)	567,53	185,29	462,05	1701,70	0,115
3 - SLER	555,70	144,72	361,45	1661,34	-0,040
4 - SLEF	539,06	137,99	341,26	1603,45	-0,042
5 - SLEQ	489,11	117,79	280,66	1429,80	-0,050

Scarichi in testa ai pali

Simbologia adottata

Cmb	Indice/Tipo combinazione
Ip	Indice palo
N	Sforzo normale, espresso in [kN]
M	Momento, espresso in [kNm]
T	Taglio, espresso in [kN]

Cmb	Ip	N [kN]	M [kNm]	T [kN]
1 - STR (A1-M1-R3)	1	867,19	0,00	-285,22
	2	926,75	0,00	-285,22

Verifiche geotecniche

Quadro riassuntivo coeff. di sicurezza calcolati

Simbologia adottata

Cmb	Indice/Tipo combinazione
S	Sisma (H: componente orizzontale, V: componente verticale)
FS _{SCO}	Coeff. di sicurezza allo scorrimento
FS _{RIB}	Coeff. di sicurezza al ribaltamento
FS _{QLIM}	Coeff. di sicurezza a carico limite
FS _{STAB}	Coeff. di sicurezza a stabilità globale
FS _{HYD}	Coeff. di sicurezza a sifonamento

FS_{UPL} Coeff. di sicurezza a sollevamento

Cmb	Sismica	FS _{SCO}	FS _{RIB}	FS _{QLIM}	FS _{STAB}	FS _{HYD}	FS _{UPL}
1 - STR (A1-M1-R3)		1.032					
2 - GEO (A2-M2-R2)					3.289		

Verifica stabilità globale muro + terreno

Simbologia adottata

Ic Indice/Tipo combinazione
C Centro superficie di scorrimento, espresso in [m]
R Raggio, espresso in [m]
FS Fattore di sicurezza

Ic	C	R	FS
	[m]	[m]	
2 - GEO (A2-M2-R2)	-3,00; 4,50	11,98	3.289

Sollecitazioni

Elementi calcolati a trave

Simbologia adottata

N Sforzo normale, espresso in [kN]. Positivo se di compressione.
T Taglio, espresso in [kN]. Positivo se diretto da monte verso valle
M Momento, espresso in [kNm]. Positivo se tende le fibre contro terra (a monte)

Elementi calcolati a piastra

Simbologia adottata

M_x, M_y Momenti flettenti, espresso in [kNm]
M_{xy} Momento torcente, espresso in [kNm]. Positivo se diretto da monte verso valle
T_x, T_y Tagli, espresso in [kN]. Positivo se tende le fibre contro terra (a monte)
I momenti flettenti sono positivi se tendono le fibre inferiori (intradosso fondazione, paramento esterno)

Paramento

n°	X	N _{min}	N _{max}	T _{min}	T _{max}	M _{min}	M _{max}
	[m]	[kN]	[kN]	[kN]	[kN]	[kNm]	[kNm]
1	0,00	1,84	1,84	0,00	0,00	0,14	0,14
2	-0,10	3,08	3,08	0,73	1,64	0,18	0,22
3	-0,20	4,34	4,34	1,51	3,33	0,30	0,48
4	-0,30	5,63	5,63	2,33	5,09	0,50	0,92
5	-0,40	6,94	6,94	3,19	6,90	0,80	1,54
6	-0,50	8,27	8,27	4,10	8,77	1,20	2,35
7	-0,60	9,63	9,63	5,06	10,69	1,69	3,36
8	-0,70	11,02	11,02	6,06	12,68	2,29	4,57
9	-0,80	12,43	12,43	7,10	14,73	2,99	5,99
10	-0,90	13,86	13,86	8,19	16,83	3,81	7,62
11	-1,00	15,32	15,32	9,32	18,99	4,75	9,47
12	-1,10	16,80	16,80	10,50	21,21	5,81	11,55
13	-1,20	18,31	18,31	11,73	23,49	7,00	13,87
14	-1,30	19,84	19,84	13,00	25,83	8,33	16,42
15	-1,40	21,40	21,40	14,31	28,22	9,78	19,21
16	-1,50	22,98	22,98	15,67	30,68	11,38	22,26
17	-1,60	24,58	24,58	17,08	33,19	13,13	25,56
18	-1,70	26,21	26,21	18,52	35,76	15,03	29,13
19	-1,80	27,87	27,87	20,02	38,39	17,08	32,96
20	-1,90	29,55	29,55	21,56	41,08	19,29	37,07
21	-2,00	31,25	31,25	23,14	43,83	21,67	41,45
22	-2,10	32,98	32,98	24,77	46,63	24,22	46,13
23	-2,20	34,73	34,73	26,45	49,49	26,94	51,09
24	-2,30	36,51	36,51	28,16	52,42	29,84	56,36
25	-2,40	38,31	38,31	29,93	55,40	32,92	61,92
26	-2,50	40,13	40,13	31,74	58,44	36,19	67,80
27	-2,60	41,98	41,98	33,59	61,53	39,65	74,00
28	-2,70	43,86	43,86	35,49	64,69	43,31	80,51
29	-2,80	45,76	45,76	37,43	67,90	47,17	87,36
30	-2,90	47,68	47,68	39,42	71,17	51,23	94,53
31	-3,00	49,63	49,63	41,46	74,51	55,51	102,05
32	-3,10	51,60	51,60	43,54	77,90	60,00	109,91
33	-3,20	53,60	53,60	45,66	81,34	64,72	118,13
34	-3,30	55,62	55,62	47,83	84,85	69,65	126,70
35	-3,40	57,66	57,66	50,04	88,42	74,82	135,64
36	-3,50	59,73	59,73	52,30	92,04	80,22	144,94
37	-3,60	61,83	61,83	54,61	95,72	85,86	154,62
38	-3,70	63,95	63,95	56,95	99,46	91,74	164,69
39	-3,80	66,09	66,09	59,35	103,26	97,87	175,14
40	-3,90	68,26	68,26	61,79	107,12	104,26	185,98
41	-4,00	70,45	70,45	64,27	111,03	110,90	197,23
42	-4,10	72,67	72,67	66,80	115,01	117,80	208,88
43	-4,20	74,91	74,91	69,37	119,04	124,96	220,94
44	-4,30	77,17	77,17	71,99	123,13	132,40	233,41
45	-4,40	79,46	79,46	74,65	127,28	140,11	246,32

n°	X [m]	Nmin [kN]	Nmax [kN]	Tmin [kN]	Tmax [kN]	Mmin [kNm]	Mmax [kNm]
46	-4,50	81,78	81,78	77,36	131,49	148,11	259,65
47	-4,60	84,12	84,12	80,12	135,75	156,39	273,41
48	-4,70	86,48	86,48	82,91	140,08	164,95	287,62
49	-4,80	88,87	88,87	85,76	144,46	173,82	302,28
50	-4,90	91,28	91,28	88,65	148,90	182,98	317,39
51	-5,00	93,72	93,72	91,58	153,41	192,44	332,95

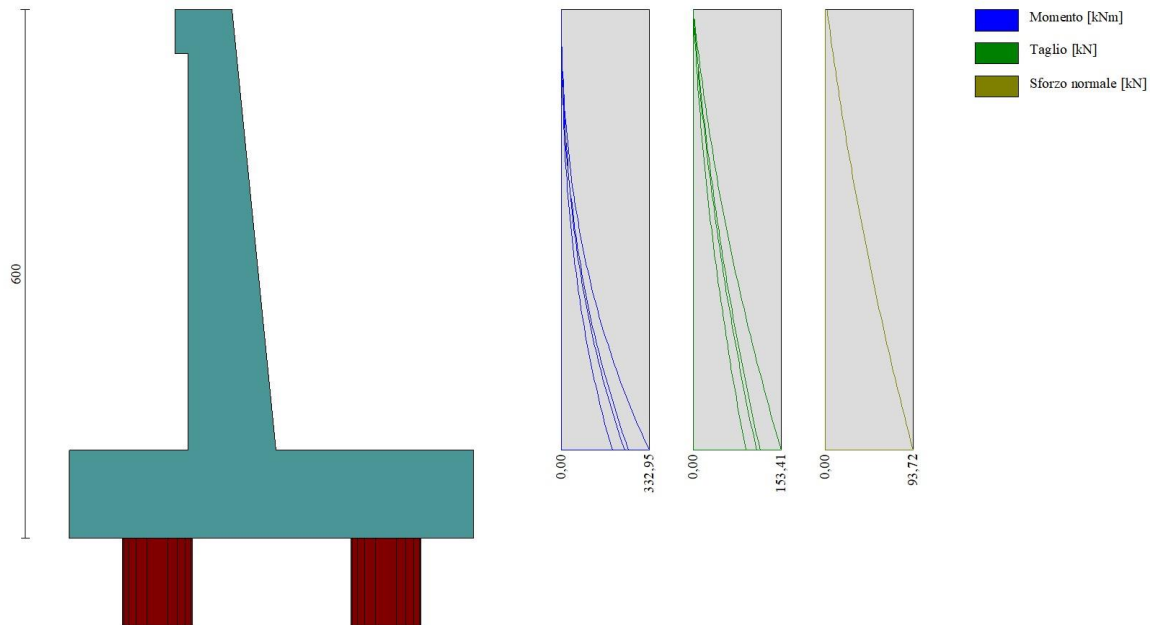


Fig. 17 - Paramento

Piastra fondazione

In	Mx [kNm]	My [kNm]	Mxy [kNm]	Tx [kN]	Ty [kN]	
9	61,76 (1)	205,88 (1)	0,00 (1)	0,00 (1)	-1072,42 (1)	MAX
28	-267,37 (1)	-245,87 (1)	0,00 (1)	0,00 (1)	81,29 (1)	MIN
9	61,76 (1)	205,88 (1)	0,00 (1)	0,00 (1)	-1072,42 (1)	MAX
28	-267,37 (1)	-245,87 (1)	0,00 (1)	0,00 (1)	81,29 (1)	MIN
20	-0,39 (3)	-1,29 (3)	24,85 (3)	0,00 (3)	-83,80 (3)	MAX
14	-0,39 (3)	-1,29 (3)	-24,85 (3)	0,00 (3)	-83,80 (3)	MIN
26	14,28 (1)	-21,05 (1)	-8,35 (1)	204,23 (1)	8,42 (1)	MAX
29	14,28 (1)	-21,05 (1)	8,35 (1)	-204,23 (1)	8,42 (1)	MIN
23	-37,78 (3)	56,48 (3)	0,00 (3)	0,00 (3)	304,18 (3)	MAX
9	61,76 (1)	205,88 (1)	0,00 (1)	0,00 (1)	-1072,42 (1)	MIN

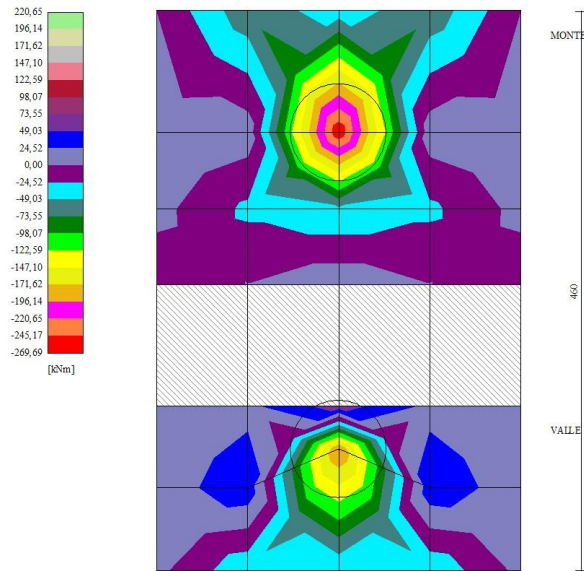


Fig. 18 - Piastra fondazione - Momento M_x (Combinazione n° 1)

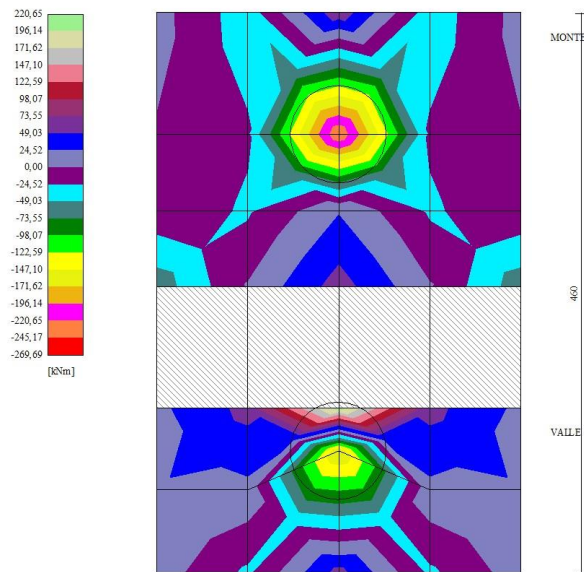


Fig. 19 - Piastra fondazione - Momento M_y (Combinazione n° 1)

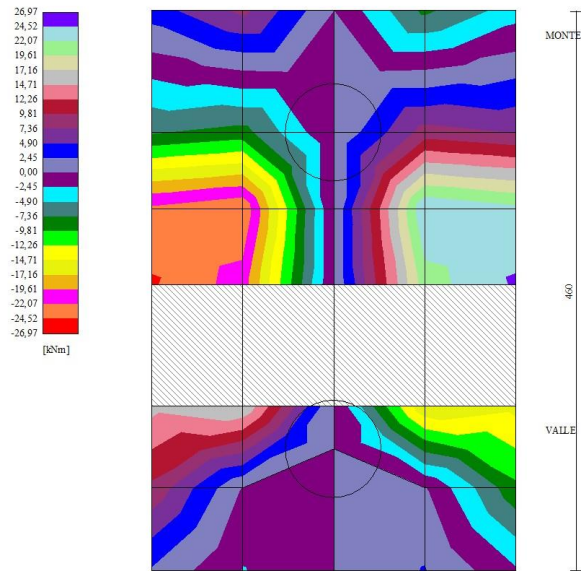


Fig. 20 - Piastra fondazione - Momento Mxy (Combinazione n° 3)

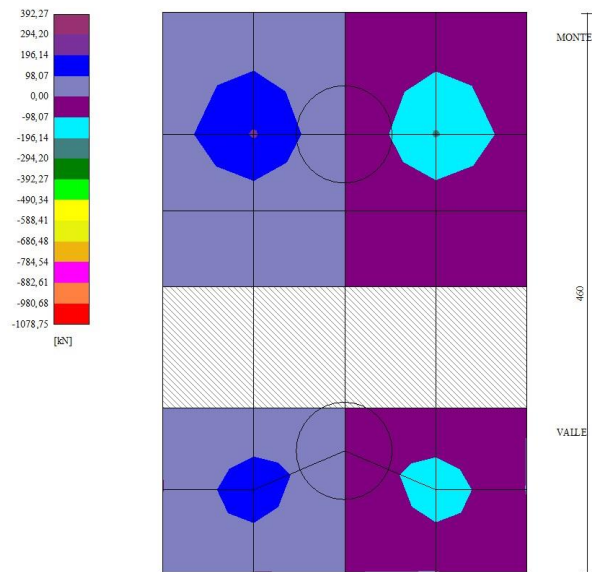
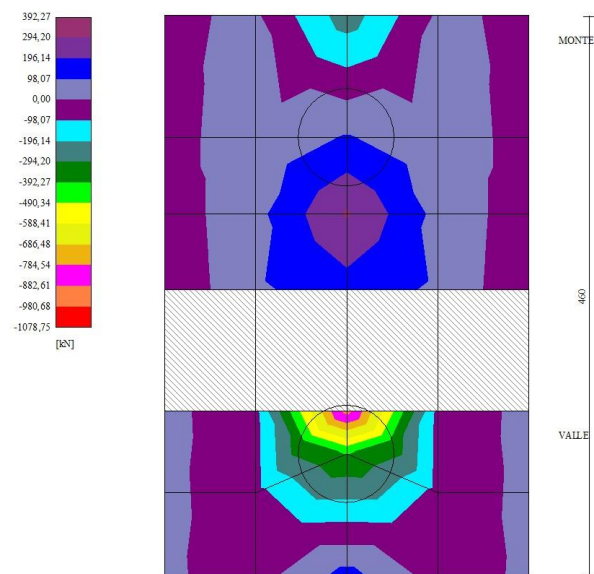
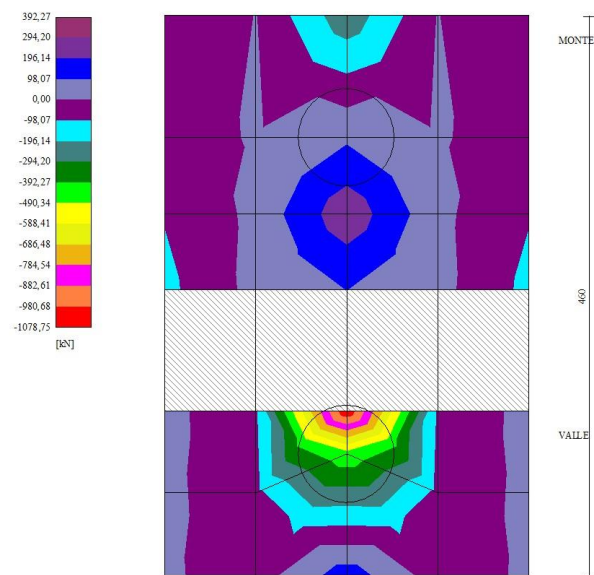


Fig. 21 - Piastra fondazione - Taglio Tx (Combinazione n° 1)



300
Fig. 22 - Piastra fondazione - Taglio T_{yMAX} (Combinazione n° 3)



300
Fig. 23 - Piastra fondazione - Taglio T_{yMIN} (Combinazione n° 1)

Sollecitazioni pali

Simbologia adottata

- N Sforzo normale, espresso in [kN]. Positivo se di compressione.
- T Taglio, espresso in [kN]. Positivo se diretto da monte verso valle
- M Momento, espresso in [kNm]. Positivo se tende le fibre contro terra (a monte)

Palo n° 1

n°	Y [m]	Ne [kN]	Nr [kN]	Te [kN]	Tr [kN]	Me [kNm]	Mr [kNm]
1	0,00	867,19	10057,67	-285,22	-382,71	0,00	0,00

n°	Y [m]	Ne [kN]	Nr [kN]	Te [kN]	Tr [kN]	Me [kNm]	Mr [kNm]
13	2,76	898,56	10008,04	7,72	-92,28	539,72	811,35
21	4,60	920,76	9999,76	142,95	214,05	368,03	670,50
47	10,58	994,46	9999,76	-1,30	3,34	-22,14	-33,70
101	23,00	1147,52	9999,76	0,02	0,04	0,00	0,00

Palo n° 2

n°	Y [m]	Ne [kN]	Nr [kN]	Te [kN]	Tr [kN]	Me [kNm]	Mr [kNm]
1	0,00	926,75	10057,81	-285,22	-382,71	0,00	0,00
13	2,76	958,00	10008,18	7,72	-92,28	539,72	811,35
21	4,60	980,17	9999,91	142,95	214,05	368,03	670,50
47	10,58	1053,86	9999,91	-1,30	3,34	-22,14	-33,70
101	23,00	1206,92	9999,91	0,02	0,04	0,00	0,00

Palo n° 1

n°	Y [m]	Ne [kN]	Nr [kN]	Te [kN]	Tr [kN]	Me [kNm]	Mr [kNm]
1	0,00	859,26	10057,76	-217,07	-382,67	0,00	0,00
12	2,53	888,24	10015,76	13,98	-136,93	359,55	779,76
20	4,37	910,03	9999,85	95,09	201,39	237,61	716,70
45	10,12	980,89	9999,85	-0,17	11,18	-14,74	-29,53
101	23,00	1139,61	9999,85	0,01	0,04	0,00	0,00

Palo n° 2

n°	Y [m]	Ne [kN]	Nr [kN]	Te [kN]	Tr [kN]	Me [kNm]	Mr [kNm]
1	0,00	807,85	10057,71	-217,07	-382,67	0,00	0,00
12	2,53	836,93	10015,70	13,98	-136,93	359,55	779,76
20	4,37	858,75	9999,79	95,09	201,39	237,61	716,70
45	10,12	929,61	9999,79	-0,17	11,18	-14,74	-29,53
101	23,00	1088,34	9999,79	0,01	0,04	0,00	0,00

Palo n° 1

n°	Y [m]	Ne [kN]	Nr [kN]	Te [kN]	Tr [kN]	Me [kNm]	Mr [kNm]
1	0,00	834,97	10057,84	-206,97	-382,65	0,00	0,00
12	2,53	864,00	10015,84	17,58	-136,91	335,10	779,71
20	4,37	885,80	9999,93	88,56	201,38	217,55	716,63
45	10,12	956,66	9999,93	-0,36	11,18	-13,75	-29,53
101	23,00	1115,39	9999,93	0,01	0,04	0,00	0,00

Palo n° 2

n°	Y [m]	Ne [kN]	Nr [kN]	Te [kN]	Tr [kN]	Me [kNm]	Mr [kNm]
1	0,00	782,19	10057,89	-206,97	-382,65	0,00	0,00
12	2,53	811,32	10015,89	17,58	-136,91	335,10	779,71
20	4,37	833,16	9999,98	88,56	201,38	217,55	716,63
45	10,12	904,02	9999,98	-0,36	11,18	-13,75	-29,53
101	23,00	1062,75	9999,98	0,01	0,04	0,00	0,00

Palo n° 1

n°	Y [m]	Ne [kN]	Nr [kN]	Te [kN]	Tr [kN]	Me [kNm]	Mr [kNm]
1	0,00	762,10	10057,62	-176,68	-382,68	0,00	0,00
11	2,30	788,78	10022,62	6,09	-177,89	265,44	738,87
19	4,14	810,29	9999,71	70,27	182,09	179,04	758,62
45	10,12	883,98	9999,71	-0,72	11,18	-10,88	-29,53
101	23,00	1042,71	9999,71	0,01	0,04	0,00	0,00

Palo n° 2

n°	Y [m]	Ne [kN]	Nr [kN]	Te [kN]	Tr [kN]	Me [kNm]	Mr [kNm]
1	0,00	705,22	10057,72	-176,68	-382,68	0,00	0,00
11	2,30	732,00	10022,71	6,09	-177,89	265,44	738,87
19	4,14	753,57	9999,80	70,27	182,09	179,04	758,62
45	10,12	827,26	9999,80	-0,72	11,18	-10,88	-29,53
101	23,00	985,99	9999,80	0,01	0,04	0,00	0,00

10.3.2 Combinazione sismica

Dati

Materiali

Simbologia adottata

n°	Indice materiale
Descr	Descrizione del materiale
Calcestruzzo armato	
C	Classe di resistenza del cls
A	Classe di resistenza dell'acciaio
γ	Peso specifico, espresso in [kN/mc]
R _{ck}	Resistenza caratteristica a compressione, espressa in [kPa]
E	Modulo elastico, espresso in [kPa]
ν	Coeff. di Poisson
n	Coeff. di omogenizzazione acciaio/cls
ntc	Coeff. di omogenizzazione cls tesoro/compresso

Calcestruzzo armato

n°	Descr	C	A	γ [kN/mc]	R _{ck} [kPa]	E [kPa]	ν	n	ntc
1	C32/40	C32/40	B450C	24,5170	40000	33642648	0.30	15.00	0.50
2	Materiale tiranti	Rck 250	Precomp	24,5170	24517	30073438	0.30	15.00	0.50

Acciai

Descr	f _{yk} [kPa]	f _{uk} [kPa]
B450C	450000	540000

Tipologie pali

Simbologia adottata

n°	Indice tipologia palo
Descr	Descrizione tipologia palo
P	Contributo portanza palo (laterale e/o punta)
T	Tecnologia costruttiva (trivellato, infisso o elica continua)
V	Vincolo palo-fondazione: Cerniera o Incastro (libero o impedito di ruotare in testa)
Imat	Indice materiale che lo costituisce
BD	usa metodo di Bustamante-Doix
PN	Portanza nota
Pp, PI	Portanza di punta e laterale caratteristica, espressa in [kN]

n°	Descr	P	T	V	Imat	BD	PN	Pp	PI
1	Palo	Laterale + Punta	Trivellato	Cerniera	1	NO	SI	10000,00	10000,00

Geometria profilo terreno a monte del muro

Simbologia adottata

(Sistema di riferimento con origine in testa al muro, ascissa X positiva verso monte, ordinata Y positiva verso l'alto)

n°	numero ordine del punto
X	ascissa del punto espressa in [m]
Y	ordinata del punto espressa in [m]
A	inclinazione del tratto espressa in [°]

n°	X [m]	Y [m]	A [°]
1	0,00	0,00	0.000
2	15,00	0,00	0.000

Inclinazione terreno a valle del muro rispetto all'orizzontale 0.000 [°]

Geometria muro

Geometria paramento e fondazione

Lunghezza muro	3,00	[m]
<u>Paramento</u>		
Materiale	C32/40	
Altezza paramento	5,00	[m]
Altezza paramento libero	4,50	[m]
Spessore in sommità	0,50	[m]
Spessore all'attacco con la fondazione	1,00	[m]
Inclinazione paramento esterno	0,00	[°]
Inclinazione paramento interno	5,70	[°]
<u>Mensola di marciapiede</u>		
Posizione rispetto alla testa del muro	0,00	[m]
Lunghezza	0,15	[m]
Spessore all'estremità libera	0,50	[m]
Spessore all'incastro	0,50	[m]
<u>Fondazione</u>		
Materiale	C32/40	
Lunghezza mensola di valle	1,35	[m]
Lunghezza mensola di monte	2,25	[m]
Lunghezza totale	4,60	[m]
Inclinazione piano di posa	0,00	[°]
Spessore	1,00	[m]
Spessore magrone	0,00	[m]

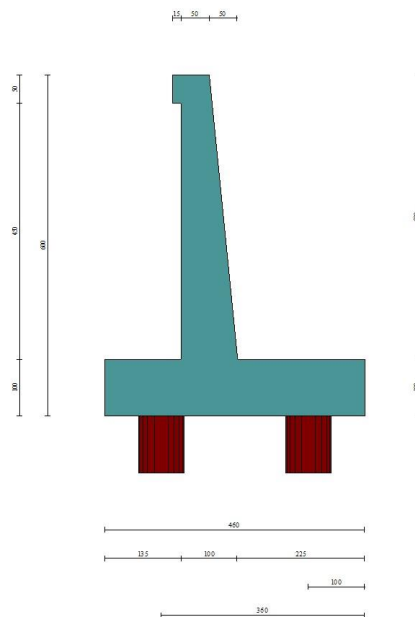


Fig. 1 - Sezione quotata del muro

Descrizione pali di fondazione

Simbologia adottata

n°	numero d'ordine della fila
X	ascissa della fila misurata dallo spigolo di monte della fondazione espressa in [m]
I	interasse tra i pali, espressa in [m]
f	franco laterale (distanza minima dal bordo laterale), espressa in [m]
Np	Numero di pali della fila
D	diametro dei pali della fila espresso in [cm]
L	lunghezza dei pali della fila espressa in [m]
α	inclinazione dei pali della fila rispetto alla verticale espressa in [°]
ALL	allineamento dei pali della fila rispetto al baricentro della fondazione (CENTRATI o SFALSATI)

n°	Tipologia	X [m]	I [m]	f [m]	Np	D [cm]	L [m]	α [°]	ALL
1	Palo	1,00	2,60	0,20	1	80,00	23,00	0,00	Centrati
2	Palo	3,60	2,60	0,20	1	80,00	23,00	0,00	Centrati

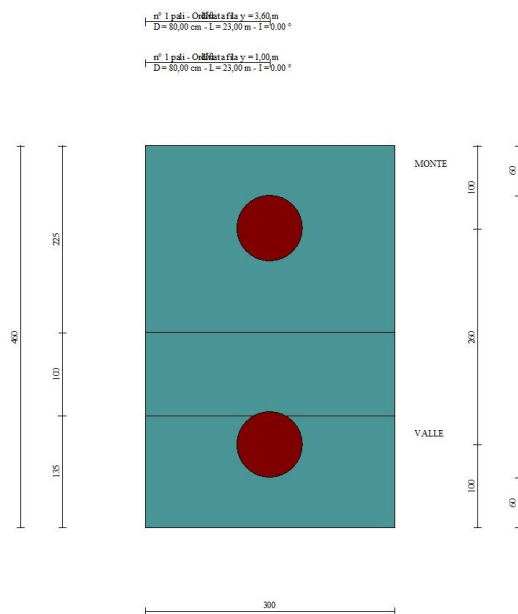


Fig. 2 - Pianta pali

Descrizione terreni

Parametri di resistenza

Simbologia adottata

n°	Indice del terreno
Descr	Descrizione terreno
γ	Peso di volume del terreno espresso in [kN/mc]
γ _{sat}	Peso di volume saturo del terreno espresso in [kN/mc]
φ	Angolo d'attrito interno espresso in [°]
δ	Angolo d'attrito terra-muro espresso in [°]
c	Coesione espressa in [kPa]
c _a	Adesione terra-muro espressa in [kPa]
Per calcolo portanza con il metodo di Bustamante-Doix	
Cesp	Coeff. di espansione laterale (solo per il metodo di Bustamante-Doix)
τ _l	Tensione tangenziale limite, espressa in [kPa]

n°	Descr	γ [kN/mc]	γ _{sat} [kN/mc]	φ [°]	δ [°]	c [kPa]	c _a [kPa]	Cesp	τ _l [kPa]	
1	Unità PR- sabbia limosa e limo sabbioso	16,0000	16,0000	32.000	32.000	10	0	1.000	0	(CAR)
				32.000	32.000	10	0			(MIN)
				32.000	32.000	10	0			(MED)
2	rilevato stradale	18,0000	18,0000	35.000	23.330	0	0	1.000	0	(CAR)
				35.000	23.333	0	0			(MIN)
				35.000	23.333	0	0			(MED)
3	terreno di riporto	18,0000	18,0000	28.000	28.000	0	0	1.000	0	(CAR)
				28.000	28.000	0	0			(MIN)
				28.000	28.000	0	0			(MED)
4	Unità CL- limo sabbioso argilloso	18,0000	18,0000	29.000	29.000	5	0	1.000	0	(CAR)
				29.000	29.000	5	0			(MIN)
				29.000	29.000	5	0			(MED)

Stratigrafia

Simbologia adottata

n°	Indice dello strato
H	Spessore dello strato espresso in [m]
α	Inclinazione espressa in [°]
Terreno	Terreno dello strato
K _{wn} , K _w t	Costante di Winkler normale e tangenziale alla superficie espressa in Kg/cm ² /cm
Per calcolo pali (solo se presenti)	
K _w	Costante di Winkler orizzontale espressa in Kg/cm ² /cm

Ks Coefficiente di spinta
Cesp Coefficiente di espansione laterale (per tutti i metodi tranne il metodo di Bustamante-Doix)

Per calcolo della spinta con coeff. di spinta definiti (usati solo se attiva l'opzione 'Usa coeff. di spinta da strato')
Kststa, Kstsis Coeff. di spinta statico e sismico

n°	H [m]	α [°]	Terreno	Kwn [Kg/cm²]	Kwt [Kg/cm²]	Kw [Kg/cm²]	Ks	Cesp	Kststa	Kstsis
1	6,00	0.000	rilevato stradale	0.000	0.000	1,000	0,500	1,000	---	---
2	3,00	0.000	terreno di riporto	0.000	0.000	10,000	0,500	1,000	---	---
3	12,00	0.000	Unità PR- sabbia limosa e limo sabbioso	0.000	0.000	10,000	0,000	1,000	---	---
4	10,00	0.000	Unità CL- limo sabbioso argilloso	0.000	0.000	10,000	0,000	1,000	---	---

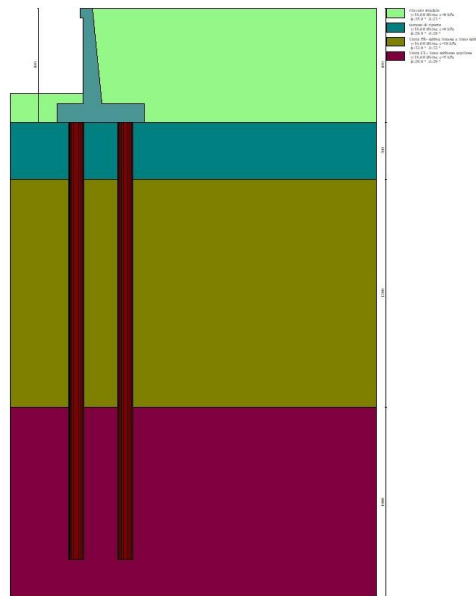


Fig. 3 - Stratigrafia

Normativa

Normativa usata: **Norme Tecniche sulle Costruzioni 2018 (D.M. 17.01.2018) + Circolare C.S.LL.PP. 21/01/2019 n.7**

Coeff. parziali per le azioni o per l'effetto delle azioni

Carichi	Effetto		Combinazioni statiche					Combinazioni sismiche		
			HYD	UPL	EQU	A1	A2	EQU	A1	A2
Permanenti strutturali	Favorevoli	$\gamma_{G1, fav}$	1.00	0.90	1.00	1.00	1.00	1.00	1.00	1.00
Permanenti strutturali	Sfavorevoli	$\gamma_{G1, sfav}$	1.00	1.10	1.30	1.30	1.00	1.00	1.00	1.00
Permanenti non strutturali	Favorevoli	$\gamma_{G2, fav}$	0.00	0.80	0.80	0.80	0.80	0.00	0.00	0.00
Permanenti non strutturali	Sfavorevoli	$\gamma_{G2, sfav}$	1.00	1.50	1.50	1.50	1.30	1.00	1.00	1.00
Variabili	Favorevoli	$\gamma_{Q, fav}$	0.00	0.00	0.00	0.00	0.00	0.00	0.00	0.00
Variabili	Sfavorevoli	$\gamma_{Q, sfav}$	1.00	1.50	1.50	1.50	1.30	1.00	1.00	1.00
Variabili da traffico	Favorevoli	$\gamma_{QT, fav}$	0.00	0.00	0.00	0.00	0.00	0.00	0.00	0.00
Variabili da traffico	Sfavorevoli	$\gamma_{QT, sfav}$	1.00	1.50	1.35	1.35	1.15	1.00	1.00	1.00

Coeff. parziali per i parametri geotecnici del terreno

Parametro		Combinazioni statiche		Combinazioni sismiche	
		M1	M2	M1	M2
Tangente dell'angolo di attrito	$\gamma_{\tan(\phi)}$	1.00	1.25	1.00	1.00
Coesione efficace	γ_c	1.00	1.25	1.00	1.00
Resistenza non drenata	γ_{cu}	1.00	1.40	1.00	1.00
Peso nell'unità di volume	γ_r	1.00	1.00	1.00	1.00

Coeff. parziali γ_R per le verifiche agli stati limite ultimi STR e GEO

Verifica	Combinazioni statiche			Combinazioni sismiche		
	R1	R2	R3	R1	R2	R3
Capacità portante	--	--	1.40	--	--	1.20
Scorrimento	--	--	1.10	--	--	1.00
Resistenza terreno a valle	--	--	1.40	--	--	1.20

Verifica	Combinazioni statiche			Combinazioni sismiche		
	R1	R2	R3	R1	R2	R3
Ribaltamento	--	--	1.15	--	--	1.00
Stabilità fronte di scavo	--	1.10	--	--	1.20	--

Carichi verticali. Coeff. parziali γ_R da applicare alle resistenze caratteristiche

Resistenza		Pali infissi			Pali trivellati			Pali ad elica continua		
		R1	R2	R3	R1	R2	R3	R1	R2	R3
Punta	γ_b	--	--	1.15	--	--	1.35	--	--	1.30
Laterale compressione	γ_s	--	--	1.15	--	--	1.15	--	--	1.15
Totale compressione	γ_t	--	--	1.15	--	--	1.30	--	--	1.25
Laterale trazione	γ_{st}	--	--	1.25	--	--	1.25	--	--	1.25

Carichi trasversali. Coeff. parziali γ_R da applicare alle resistenze caratteristiche

		R1	R2	R3
Trasversale	γ_t	--	--	1.30

Coefficienti di riduzione ζ per la determinazione della resistenza caratteristica dei pali

Numero di verticali indagate 1

$\zeta_3=1.70$ $\zeta_4=1.70$

Descrizione combinazioni di carico

Con riferimento alle azioni elementari prima determinate, si sono considerate le seguenti combinazioni di carico:

- Combinazione sismica, impiegata per gli stati limite ultimi connessi all'azione sismica E:

$$E + G_1 + G_2 + \Psi_{2,1} Q_{k1} + \Psi_{2,2} Q_{k2} + \Psi_{2,3} Q_{k3} + \dots$$

I valori dei coeff. $\Psi_{0,j}$, $\Psi_{1,j}$, $\Psi_{2,j}$ sono definiti nelle singole condizioni variabili. per I valori dei coeff. γ_G e γ_Q , sono definiti nella tabella normativa.

In particolare si sono considerate le seguenti combinazioni:

Simbologia adottata

γ Coefficiente di partecipazione della condizione
 Ψ Coefficiente di combinazione della condizione

Combinazione n° 1 - STR (A1-M1-R3) H + V

Condizione	γ	Ψ	Effetto
Peso muro	1.00	--	Favorevole
Peso terrapieno	1.00	--	Favorevole
Spinta terreno	1.00	--	Sfavorevole

Combinazione n° 2 - STR (A1-M1-R3) H - V

Condizione	γ	Ψ	Effetto
Peso muro	1.00	--	Sfavorevole
Peso terrapieno	1.00	--	Sfavorevole
Spinta terreno	1.00	--	Sfavorevole

Combinazione n° 3 - GEO (A2-M2-R2) H + V

Condizione	γ	Ψ	Effetto
Peso muro	1.00	--	Sfavorevole
Peso terrapieno	1.00	--	Sfavorevole
Spinta terreno	1.00	--	Sfavorevole

Combinazione n° 4 - GEO (A2-M2-R2) H - V

Condizione	γ	Ψ	Effetto
Peso muro	1.00	--	Sfavorevole
Peso terrapieno	1.00	--	Sfavorevole
Spinta terreno	1.00	--	Sfavorevole

Dati sismici

Comune	Roma
Provincia	Roma
Regione	Lazio
Latitudine	41.933189

Longitudine	12.601168
Indice punti di interpolazione	28292 - 28070 - 28069 - 28291
Vita nominale	50 anni
Classe d'uso	IV
Tipo costruzione	Normali affollamenti
Vita di riferimento	100 anni

	Simbolo	U.M.	SLU	SLE
Accelerazione al suolo	a_g	[m/s ²]	1.645	0.769
Accelerazione al suolo	a_g/g	[%]	0.168	0.078
Massimo fattore amplificazione spettro orizzontale	F0		2.564	2.508
Periodo inizio tratto spettro a velocità costante	Tc*		0.304	0.284
Tipo di sottosuolo - Coefficiente stratigrafico	Ss		C	1.442
Categoria topografica - Coefficiente amplificazione topografica	St		T1	1.000

Stato limite ...	Coeff. di riduzione β_m	kh	kv
Ultimo	1.000	24.174	12.087
Ultimo - Ribaltamento	1.000	24.174	12.087
Esercizio	1.000	11.759	5.880

Forma diagramma incremento sismico **Stessa forma del diagramma statico**

Opzioni di calcolo

Spinta

Metodo di calcolo della spinta	Culmann
Tipo di spinta	Spinta attiva
Terreno a bassa permeabilità	NO
Superficie di spinta limitata	NO

Stabilità globale

Metodo di calcolo della stabilità globale	Bishop
---	--------

Altro

Partecipazione spinta passiva terreno antistante	0.00
Partecipazione resistenza passiva dente di fondazione	50.00
Componente verticale della spinta nel calcolo delle sollecitazioni	NO
Considera terreno sulla fondazione di valle	NO
Considera spinta e peso acqua fondazione di valle	NO

Spostamenti

Modello a blocchi	
Non è stato richiesto il calcolo degli spostamenti	
Spostamento limite	10,00 [cm]

Opzioni calcolo pali

Portanza verticale

Metodo di calcolo della portanza alla punta	Berezantzev ridotto
Metodo di calcolo della portanza alla laterale	Integrazione delle tensioni tangenziali ($k_s \sigma_v \tan(\delta) + c_a$)
Correzione angolo di attrito in funzione del tipo di palo (infisso/trivellato)	Attiva
Andamento pressione verticale nel calcolo della portanza alla punta σ_v con la profondità	Pressione geostatica
Andamento pressione verticale nel calcolo della portanza laterale	Pressione geostatica

Portanza trasversale

Costante di Winkler: da strato	Critero rottura palo-terreno
- Spostamento limite	Non attivo
- Pressione limite	Pressione passiva con moltiplicatore M=3,00
- Palo infinitamente elastico	Non attivo

Cedimenti

Metodo di calcolo	Metodo agli elementi finiti
Spostamento limite alla punta	1,00 [cm]
Spostamento limite laterale	0,50 [cm]

Risultati per combinazione

Spinta e forze

Simbologia adottata

Ic	Indice della combinazione
A	Tipo azione
I	Inclinazione della spinta, espressa in [°]
V	Valore dell'azione, espressa in [kN]
C _x , C _y	Componente in direzione X ed Y dell'azione, espressa in [kN]
P _x , P _y	Coordinata X ed Y del punto di applicazione dell'azione, espressa in [m]

Ic	A	V [kN]	I [°]	C _x [kN]	C _y [kN]	P _x [m]	P _y [m]
1	Spinta statica	79,19	23,33	72,72	31,36	2,75	-4,00
	Incremento di spinta sismica		65,49	60,14	25,94	2,75	-4,00
	Peso/Inerzia muro			49,91	206,48/24,96	0,19	-4,24
	Peso/Inerzia terrapieno			54,38	224,96/27,19	1,50	-2,42
	Resistenza pali			-239,28			
2	Spinta statica	79,19	23,33	72,72	31,36	2,75	-4,00
	Incremento di spinta sismica		51,15	46,97	20,26	2,75	-4,00
	Peso/Inerzia muro			49,91	206,48/-24,96	0,19	-4,24
	Peso/Inerzia terrapieno			54,38	224,96/-27,19	1,50	-2,42
	Resistenza pali			-239,32			

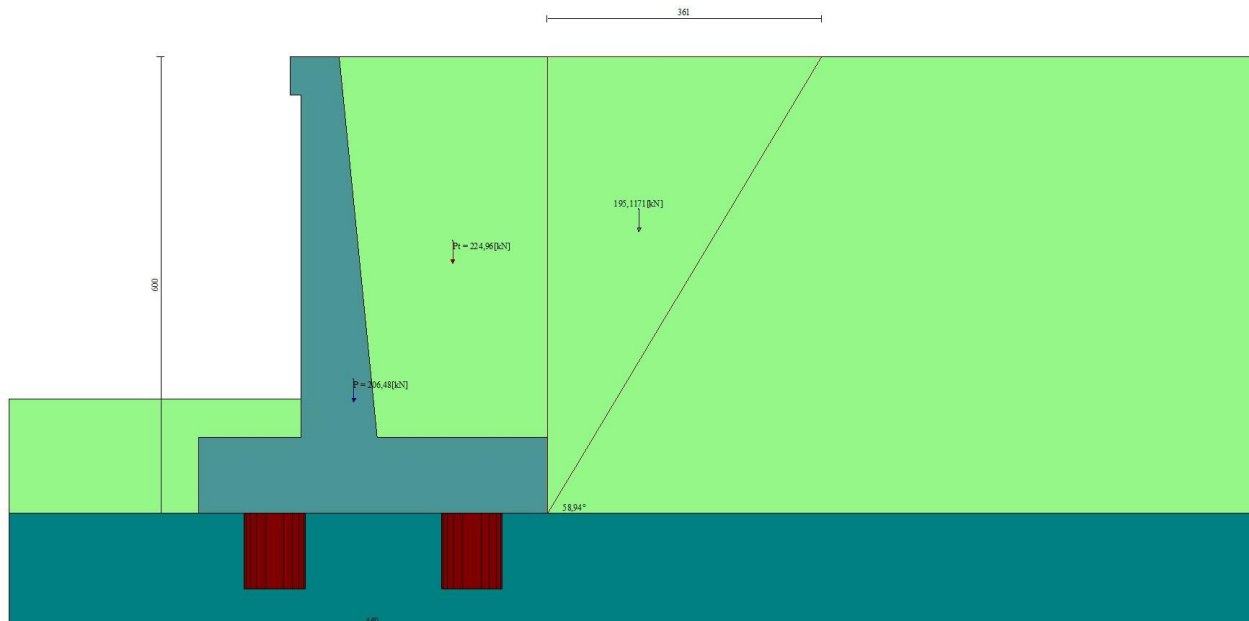


Fig. 4 - Cuneo di spinta (combinazione statica) (Combinazione n° 1)

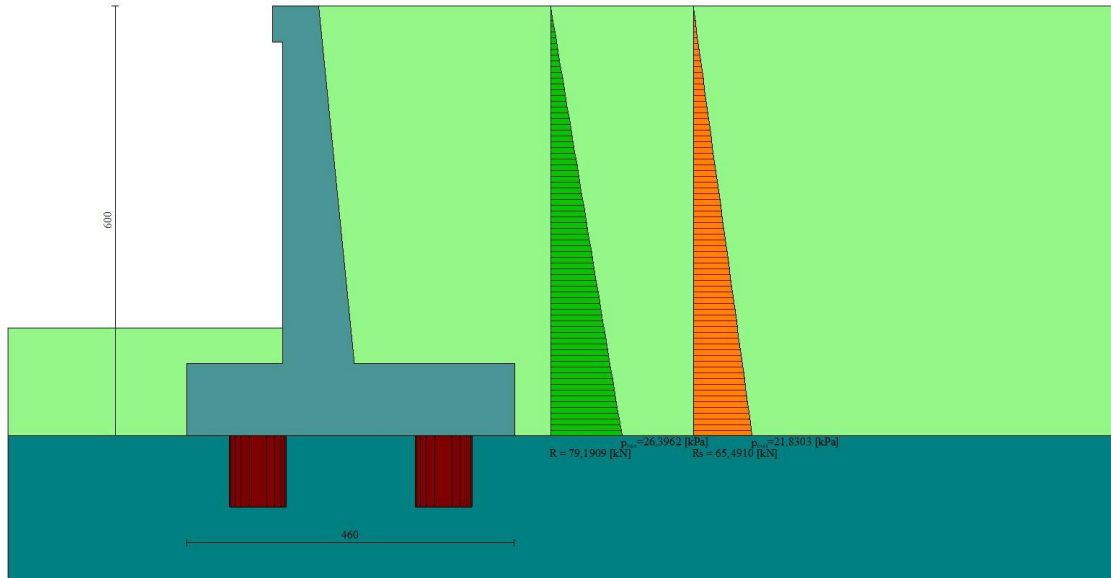


Fig. 5 - Diagramma delle pressioni (combinazione statica) (Combinazione n° 1)

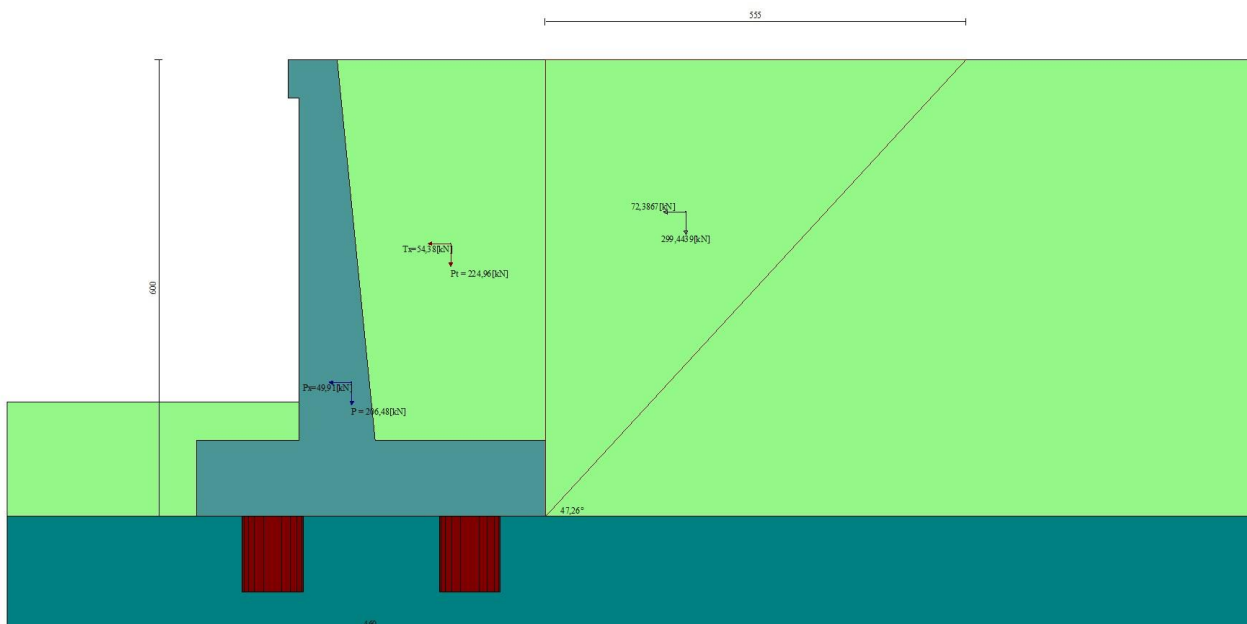


Fig. 6 - Cuneo di spinta (combinazione sismica) (Combinazione n° 1)

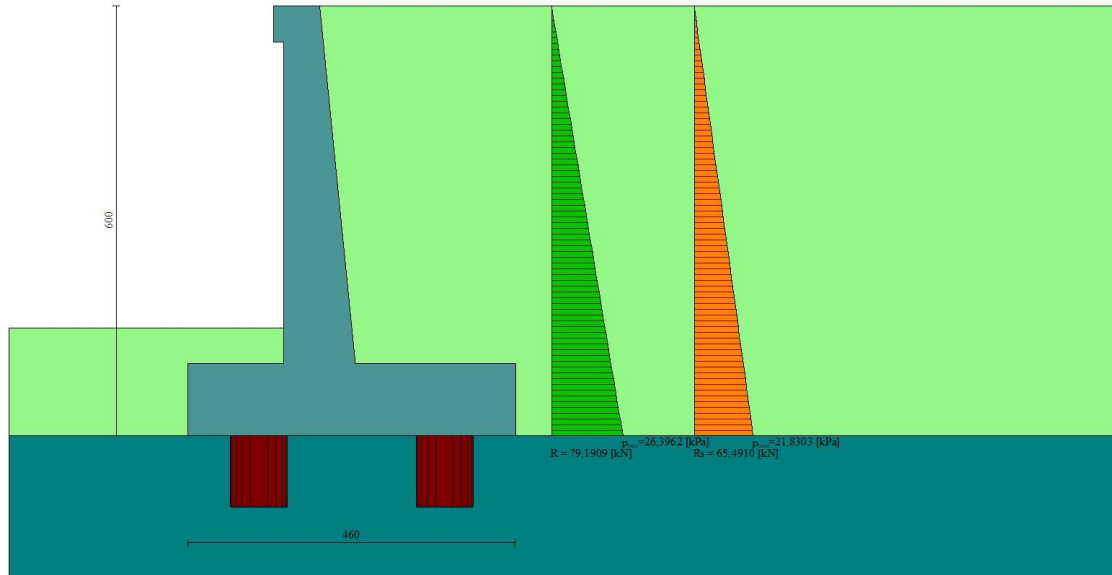


Fig. 7 - Diagramma delle pressioni (combinazione sismica) (Combinazione n° 1)

Risultanti globali

Simbologia adottata

Cmb	Indice/Tipo combinazione
N	Componente normale al piano di posa, espressa in [kN]
T	Componente parallela al piano di posa, espressa in [kN]
M _r	Momento ribaltante, espresso in [kNm]
M _s	Momento stabilizzante, espresso in [kNm]
ecc	Eccentricità risultante, espressa in [m]

Ic	N [kN]	T [kN]	M _r [kNm]	M _s [kNm]	ecc [m]
1 - STR (A1-M1-R3)	540,88	237,15	548,33	1579,30	0,393
2 - STR (A1-M1-R3)	430,91	223,98	663,88	1411,29	0,565
3 - GEO (A2-M2-R2)	540,88	237,15	548,33	1579,30	0,393
4 - GEO (A2-M2-R2)	430,91	223,98	663,88	1411,29	0,565

Scarichi in testa ai pali

Simbologia adottata

Cmb	Indice/Tipo combinazione
Ip	Indice palo
N	Sforzo normale, espresso in [kN]
M	Momento, espresso in [kNm]
T	Taglio, espresso in [kN]

Cmb	Ip	N [kN]	M [kNm]	T [kN]
1 - STR (A1-M1-R3) H + V	1	566,07	0,00	-355,71
	2	1056,57	0,00	-355,71
2 - STR (A1-M1-R3) H - V	1	365,66	0,00	-335,96
	2	927,05	0,00	-335,96

Verifiche geotecniche

Quadro riassuntivo coeff. di sicurezza calcolati

Simbologia adottata

Cmb	Indice/Tipo combinazione
S	Sisma (H: componente orizzontale, V: componente verticale)
FS _{SCO}	Coeff. di sicurezza allo scorrimento
FS _{RIB}	Coeff. di sicurezza al ribaltamento
FS _{QLM}	Coeff. di sicurezza a carico limite

FS_{STAB} Coeff. di sicurezza a stabilità globale
 FS_{HYD} Coeff. di sicurezza a sifonamento
 FS_{SUPL} Coeff. di sicurezza a sollevamento

Cmb	Sismica	FS _{sco}	FS _{RIB}	FS _{QLIM}	FS _{STAB}	FS _{HYD}	FS _{SUPL}
1 - STR (A1-M1-R3)	H + V	1.009					
2 - STR (A1-M1-R3)	H - V	1.068					
3 - GEO (A2-M2-R2)	H + V				2.739		
4 - GEO (A2-M2-R2)	H - V				2.761		

Verifica stabilità globale muro + terreno

Simbologia adottata

Ic Indice/Tipo combinazione
 C Centro superficie di scorrimento, espresso in [m]
 R Raggio, espresso in [m]
 FS Fattore di sicurezza

Ic	C [m]	R [m]	FS
3 - GEO (A2-M2-R2) H + V	-4,00; 4,50	12,49	2,739
4 - GEO (A2-M2-R2) H - V	-4,50; 4,50	12,77	2,761

Sollecitazioni

Elementi calcolati a trave

Simbologia adottata

N Sforzo normale, espresso in [kN]. Positivo se di compressione.
 T Taglio, espresso in [kN]. Positivo se diretto da monte verso valle
 M Momento, espresso in [kNm]. Positivo se tende le fibre contro terra (a monte)

Elementi calcolati a piastra

Simbologia adottata

M_x, M_y Momenti flettenti, espresso in [kNm]
 M_{xy} Momento torcente, espresso in [kNm]. Positivo se diretto da monte verso valle
 T_x, T_y Tagli, espresso in [kN]. Positivo se tende le fibre contro terra (a monte)
 I momenti flettenti sono positivi se tendono le fibre inferiori (intradosso fondazione, paramento esterno)

Paramento

Combinazione n° 1 - STR (A1-M1-R3) H + V

n°	X [m]	N [kN]	T [kN]	M [kNm]
1	0,00	2,06	0,00	0,15
2	-0,10	3,45	0,34	0,17
3	-0,20	4,86	0,76	0,24
4	-0,30	6,31	1,28	0,36
5	-0,40	7,78	1,87	0,54
6	-0,50	9,27	2,55	0,79
7	-0,60	10,80	3,32	1,13
8	-0,70	12,35	4,17	1,55
9	-0,80	13,93	5,11	2,07
10	-0,90	15,54	6,14	2,69
11	-1,00	17,17	7,24	3,43
12	-1,10	18,83	8,44	4,29
13	-1,20	20,52	9,72	5,29
14	-1,30	22,24	11,09	6,42
15	-1,40	23,99	12,54	7,71
16	-1,50	25,76	14,07	9,15
17	-1,60	27,56	15,70	10,76
18	-1,70	29,38	17,41	12,55
19	-1,80	31,24	19,20	14,52
20	-1,90	33,12	21,08	16,68
21	-2,00	35,03	23,04	19,05
22	-2,10	36,96	25,10	21,63
23	-2,20	38,93	27,23	24,42
24	-2,30	40,92	29,45	27,44
25	-2,40	42,94	31,76	30,70
26	-2,50	44,98	34,15	34,21
27	-2,60	47,06	36,63	37,96
28	-2,70	49,16	39,20	41,98
29	-2,80	51,29	41,85	46,28
30	-2,90	53,44	44,58	50,85
31	-3,00	55,62	47,40	55,71
32	-3,10	57,84	50,31	60,87
33	-3,20	60,07	53,30	66,33
34	-3,30	62,34	56,38	72,11
35	-3,40	64,63	59,54	78,21
36	-3,50	66,95	62,79	84,64
37	-3,60	69,30	66,13	91,42

n°	X [m]	N [kN]	T [kN]	M [kNm]
38	-3,70	71,67	69,55	98,54
39	-3,80	74,08	73,05	106,03
40	-3,90	76,51	76,64	113,87
41	-4,00	78,96	80,32	122,10
42	-4,10	81,45	84,08	130,71
43	-4,20	83,96	87,93	139,71
44	-4,30	86,50	91,86	149,11
45	-4,40	89,07	95,88	158,93
46	-4,50	91,66	99,99	169,16
47	-4,60	94,29	104,18	179,82
48	-4,70	96,94	108,45	190,92
49	-4,80	99,61	112,81	202,46
50	-4,90	102,32	117,26	214,46
51	-5,00	105,05	121,79	226,92

Combinazione n° 2 - STR (A1-M1-R3) H - V

n°	X [m]	N [kN]	T [kN]	M [kNm]
1	0,00	1,84	0,00	0,14
2	-0,10	2,93	0,34	0,16
3	-0,20	4,04	0,75	0,22
4	-0,30	5,17	1,24	0,33
5	-0,40	6,32	1,81	0,50
6	-0,50	7,50	2,45	0,74
7	-0,60	8,69	3,17	1,05
8	-0,70	9,91	3,97	1,44
9	-0,80	11,15	4,85	1,93
10	-0,90	12,41	5,80	2,51
11	-1,00	13,69	6,83	3,20
12	-1,10	14,99	7,94	4,00
13	-1,20	16,32	9,12	4,92
14	-1,30	17,67	10,38	5,97
15	-1,40	19,03	11,72	7,15
16	-1,50	20,42	13,14	8,49
17	-1,60	21,84	14,63	9,97
18	-1,70	23,27	16,20	11,61
19	-1,80	24,72	17,85	13,43
20	-1,90	26,20	19,58	15,42
21	-2,00	27,70	21,38	17,59
22	-2,10	29,21	23,26	19,95
23	-2,20	30,75	25,22	22,52
24	-2,30	32,32	27,25	25,29
25	-2,40	33,90	29,37	28,27
26	-2,50	35,50	31,55	31,48
27	-2,60	37,13	33,82	34,92
28	-2,70	38,78	36,17	38,60
29	-2,80	40,45	38,59	42,53
30	-2,90	42,14	41,08	46,71
31	-3,00	43,85	43,66	51,15
32	-3,10	45,58	46,31	55,86
33	-3,20	47,34	49,04	60,85
34	-3,30	49,12	51,85	66,13
35	-3,40	50,91	54,74	71,70
36	-3,50	52,73	57,70	77,57
37	-3,60	54,58	60,74	83,75
38	-3,70	56,44	63,85	90,24
39	-3,80	58,32	67,05	97,07
40	-3,90	60,23	70,32	104,22
41	-4,00	62,16	73,67	111,71
42	-4,10	64,11	77,09	119,56
43	-4,20	66,08	80,59	127,76
44	-4,30	68,07	84,17	136,32
45	-4,40	70,08	87,83	145,25
46	-4,50	72,12	91,57	154,57
47	-4,60	74,17	95,38	164,27
48	-4,70	76,25	99,27	174,37
49	-4,80	78,35	103,23	184,87
50	-4,90	80,47	107,28	195,78
51	-5,00	82,61	111,40	207,11

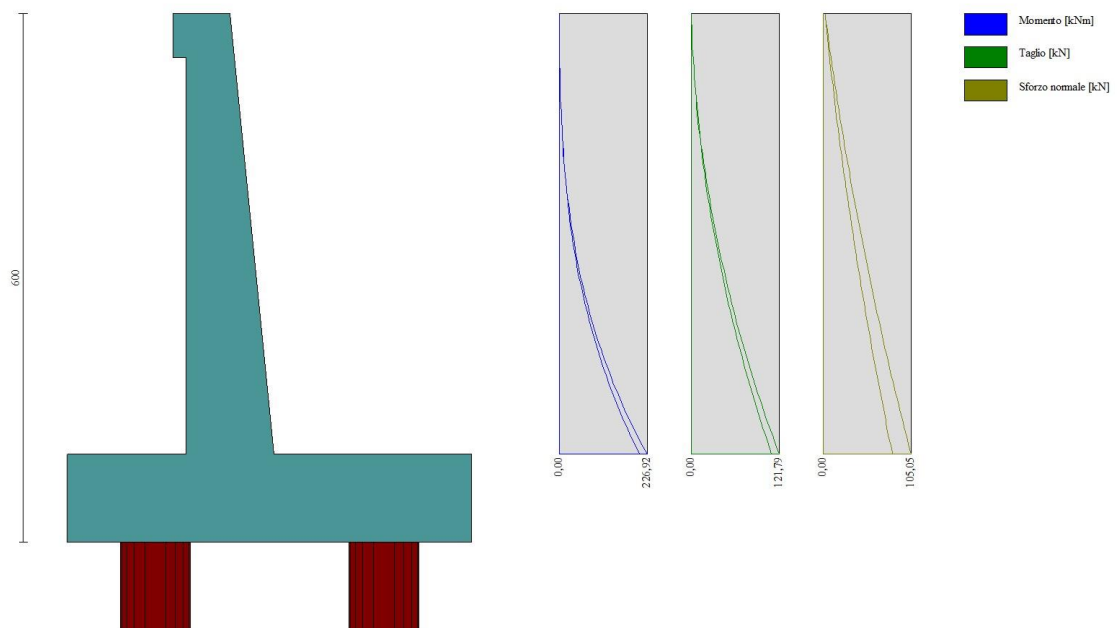


Fig. 8 - Paramento (Inviluppo)

Piastra fondazione

Combinazione n° 1 - STR (A1-M1-R3) H + V

In	Mx [kNm]	My [kNm]	Mxy [kNm]	Tx [kN]	Ty [kN]	
9	71,38	237,95	0,00	0,00	-1227,20	MAX
6	-226,53	-197,06	0,00	0,00	-526,98	MIN
9	71,38	237,95	0,00	0,00	-1227,20	MAX
6	-226,53	-197,06	0,00	0,00	-526,98	MIN
7	20,44	68,12	22,29	0,00	-109,18	MAX
12	20,44	68,12	-22,29	0,00	-109,18	MIN
3	47,29	21,43	-0,22	186,50	-85,74	MAX
11	47,29	21,43	0,22	-186,50	-85,74	MIN
5	-30,43	65,53	0,00	0,00	173,23	MAX
9	71,38	237,95	0,00	0,00	-1227,20	MIN

Combinazione n° 2 - STR (A1-M1-R3) H - V

In	Mx [kNm]	My [kNm]	Mxy [kNm]	Tx [kN]	Ty [kN]	
9	71,38	237,95	0,00	0,00	-1227,20	MAX
6	-226,53	-197,06	0,00	0,00	-526,98	MIN
9	71,38	237,95	0,00	0,00	-1227,20	MAX
6	-226,53	-197,06	0,00	0,00	-526,98	MIN
7	20,44	68,12	22,29	0,00	-109,18	MAX
12	20,44	68,12	-22,29	0,00	-109,18	MIN
3	47,29	21,43	-0,22	186,50	-85,74	MAX
11	47,29	21,43	0,22	-186,50	-85,74	MIN
5	-30,43	65,53	0,00	0,00	173,23	MAX
9	71,38	237,95	0,00	0,00	-1227,20	MIN

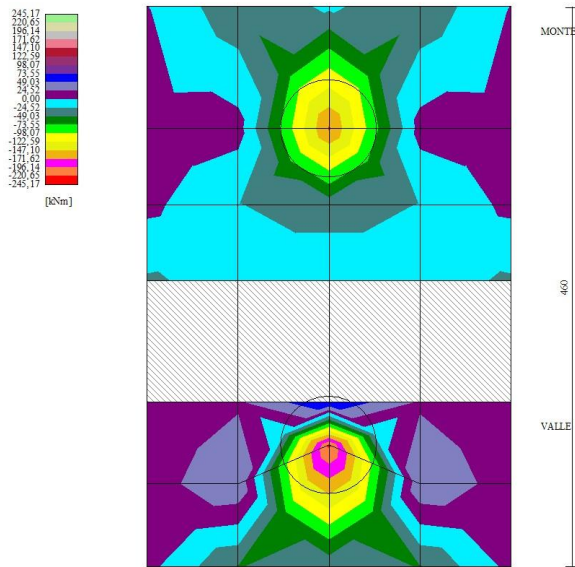


Fig. 9 - Piastra fondazione - Momenti Mx (Combinazione n° 1)

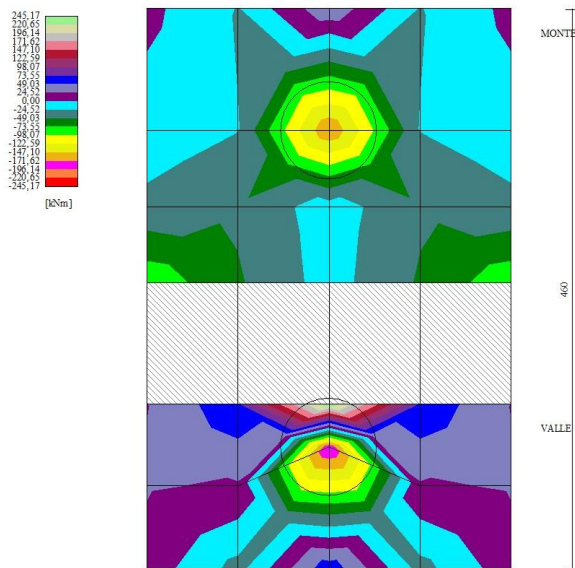


Fig. 10 - Piastra fondazione - Momenti My (Combinazione n° 1)

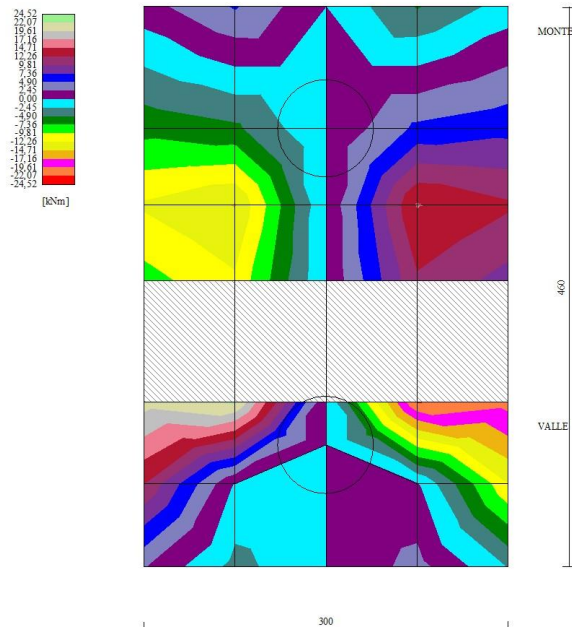


Fig. 11 - Piastra fondazione - Momento M_{xy} (Combinazione n° 1)

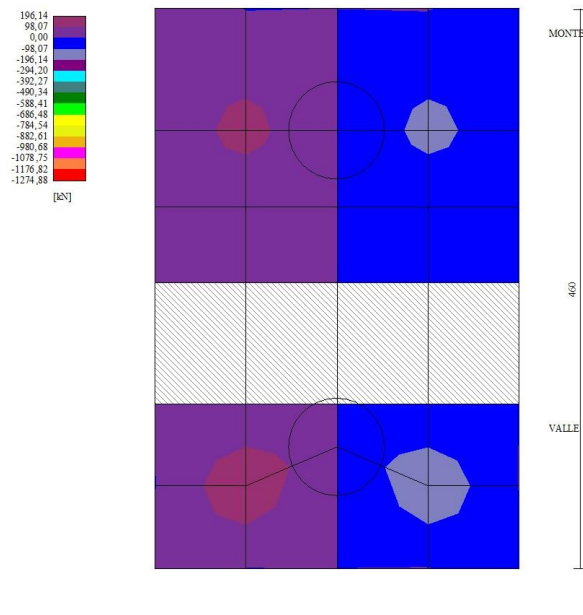
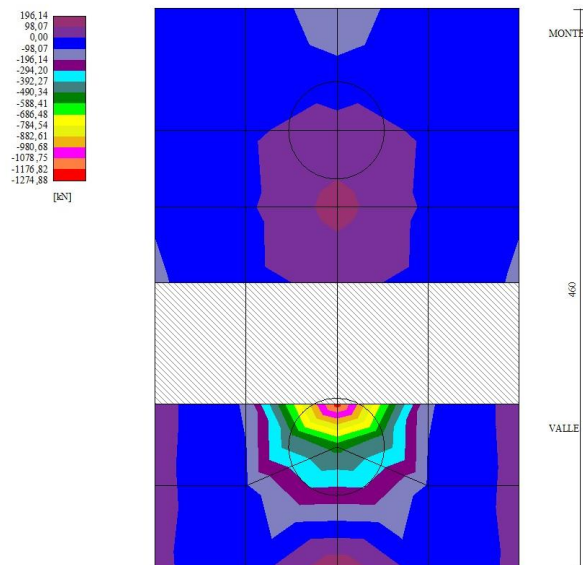


Fig. 12 - Piastra fondazione - Taglio T_x (Combinazione n° 1)



300
Fig. 13 - Piastra fondazione - Taglio Ty (Combinazione n° 1)

Sollecitazioni pali

Simbologia adottata

- N Sforzo normale, espresso in [kN]. Positivo se di compressione.
T Taglio, espresso in [kN]. Positivo se diretto da monte verso valle
M Momento, espresso in [kNm]. Positivo se tende le fibre contro terra (a monte)

Combinazione n° 1 - STR (A1-M1-R3) H + V

Palo n° 1

n°	Y [m]	Ne [kN]	Nr [kN]	Te [kN]	Tr [kN]	Me [kNm]	Mr [kNm]
1	0,00	566,07	10057,88	-355,71	-466,59	0,00	0,00
15	3,22	603,45	9999,98	42,17	-55,26	751,63	1112,77
22	4,83	623,29	9999,98	198,62	285,69	531,30	896,72
48	10,81	696,99	9999,98	-0,92	4,54	-30,86	-44,99
101	23,00	847,21	9999,98	0,03	0,05	0,00	0,00

Palo n° 2

n°	Y [m]	Ne [kN]	Nr [kN]	Te [kN]	Tr [kN]	Me [kNm]	Mr [kNm]
1	0,00	1056,57	10057,61	-355,71	-466,59	0,00	0,00
15	3,22	1092,62	9999,71	42,17	-55,26	751,63	1112,77
22	4,83	1112,46	9999,71	198,62	285,69	531,30	896,72
48	10,81	1186,16	9999,71	-0,92	4,54	-30,86	-44,99
101	23,00	1336,38	9999,71	0,03	0,05	0,00	0,00

Combinazione n° 2 - STR (A1-M1-R3) H - V

Palo n° 1

n°	Y [m]	Ne [kN]	Nr [kN]	Te [kN]	Tr [kN]	Me [kNm]	Mr [kNm]
1	0,00	365,66	9141,53	-335,96	-466,67	0,00	0,00
14	2,99	400,76	9083,62	7,27	-127,84	688,06	1083,62
22	4,83	423,43	9083,62	182,28	285,75	471,38	897,00
48	10,81	497,12	9083,62	-1,57	4,54	-28,25	-45,00
101	23,00	647,35	9083,62	0,03	0,05	0,00	0,00

Palo n° 2

n°	Y [m]	Ne [kN]	Nr [kN]	Te [kN]	Tr [kN]	Me [kNm]	Mr [kNm]
1	0,00	927,05	10057,82	-335,96	-466,67	0,00	0,00

n°	Y [m]	Ne [kN]	Nr [kN]	Te [kN]	Tr [kN]	Me [kNm]	Mr [kNm]
14	2,99	960,65	9999,90	7,27	-127,84	688,06	1083,62
22	4,83	983,30	9999,90	182,28	285,75	471,38	897,00
48	10,81	1057,00	9999,90	-1,57	4,54	-28,25	-45,00
101	23,00	1207,22	9999,90	0,03	0,05	0,00	0,00

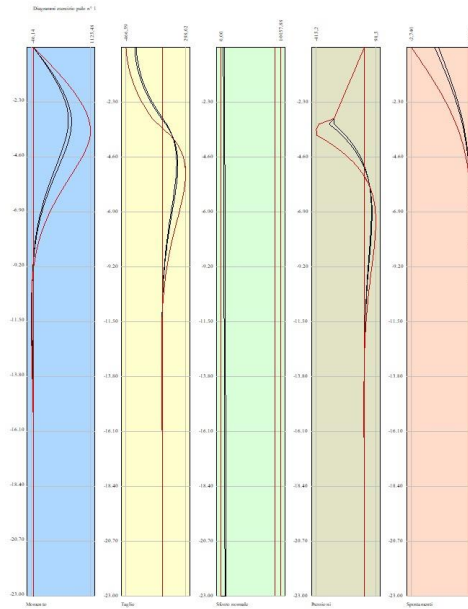


Fig. 14 - Sollecitazioni palo (Palo n° 1) (Inviluppo)

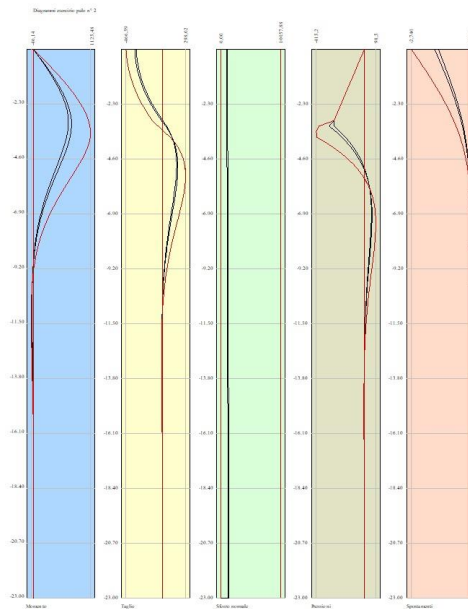


Fig. 15 - Sollecitazioni palo (Palo n° 2) (Inviluppo)

Risultati per involucro

Spinta e forze

Simbologia adottata

Ic	Indice della combinazione
A	Tipo azione
I	Inclinazione della spinta, espressa in [°]
V	Valore dell'azione, espressa in [kN]
C _x , C _y	Componente in direzione X ed Y dell'azione, espressa in [kN]
P _x , P _y	Coordinata X ed Y del punto di applicazione dell'azione, espressa in [m]

Ic	A	V [kN]	I [°]	C _x [kN]	C _y [kN]	P _x [m]	P _y [m]
1	Spinta statica	79,19	23,33	72,72	31,36	2,75	-4,00
	Incremento di spinta sismica		65,49	60,14	25,94	2,75	-4,00
	Peso/Inerzia muro			49,91	206,48/24,96	0,19	-4,24
	Peso/Inerzia terrapieno			54,38	224,96/27,19	1,50	-2,42
	Resistenza pali			-239,28			
1	Spinta statica	79,19	23,33	72,72	31,36	2,75	-4,00
	Incremento di spinta sismica		65,49	60,14	25,94	2,75	-4,00
	Peso/Inerzia muro			49,91	206,48/24,96	0,19	-4,24
	Peso/Inerzia terrapieno			54,38	224,96/27,19	1,50	-2,42
	Resistenza pali			-239,28			

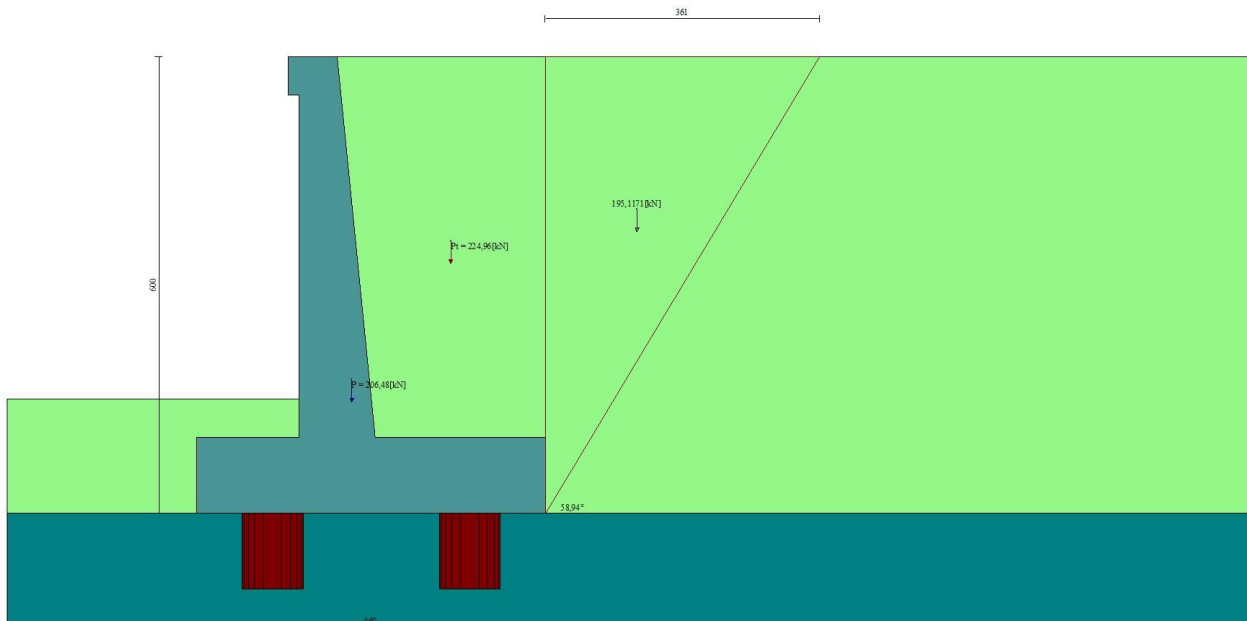


Fig. 16 - Cuneo di spinta (combinazione statica) (Combinazione n° 1)

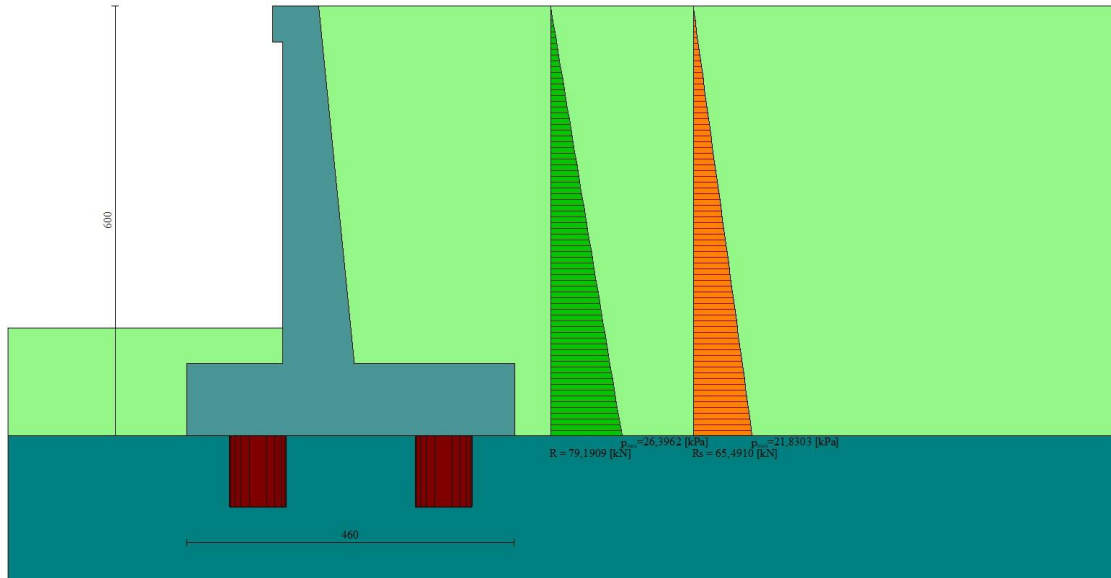


Fig. 17 - Diagramma delle pressioni (combinazione statica) (Combinazione n° 1)

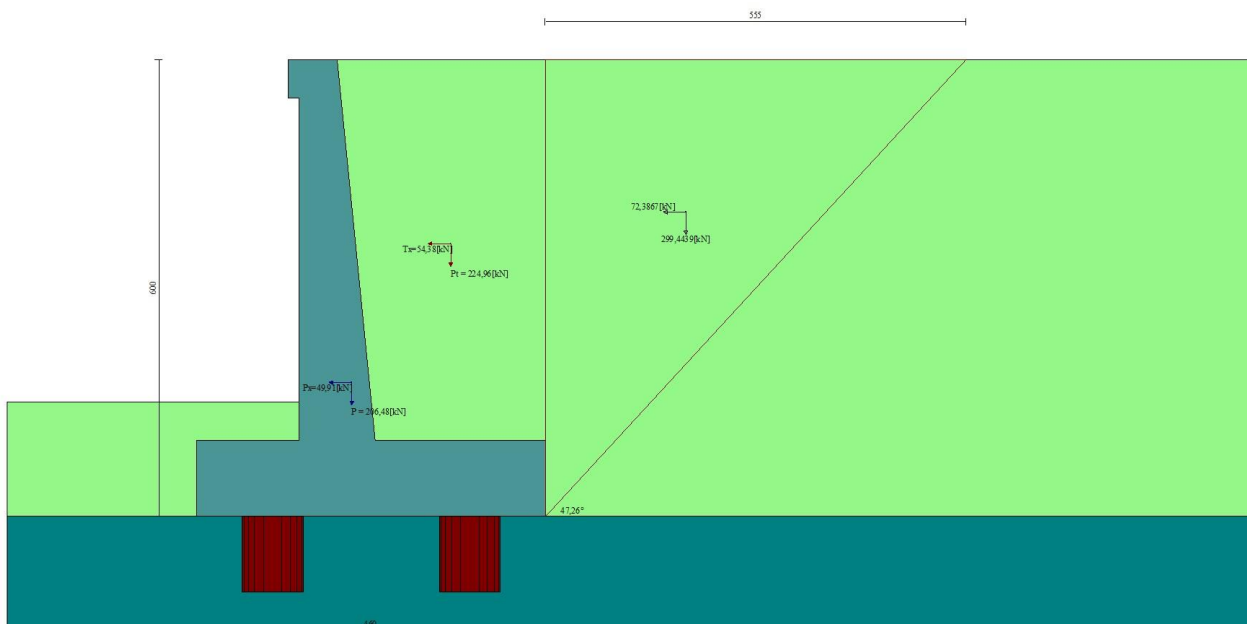


Fig. 18 - Cuneo di spinta (combinazione sismica) (Combinazione n° 1)

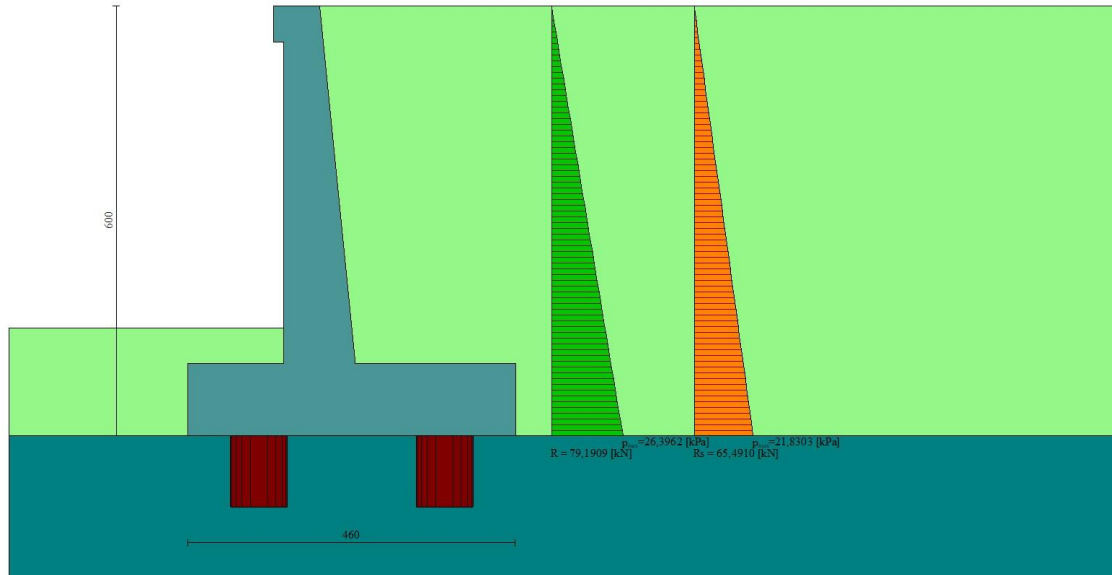


Fig. 19 - Diagramma delle pressioni (combinazione sismica) (Combinazione n° 1)

Risultanti globali

Simbologia adottata

Cmb	Indice/Tipo combinazione
N	Componente normale al piano di posa, espressa in [kN]
T	Componente parallela al piano di posa, espressa in [kN]
Mr	Momento ribaltante, espresso in [kNm]
Ms	Momento stabilizzante, espresso in [kNm]
ecc	Eccentricità risultante, espressa in [m]

Ic	N [kN]	T [kN]	Mr [kNm]	Ms [kNm]	ecc [m]
1 - STR (A1-M1-R3)	540,88	237,15	548,33	1579,30	0,393
2 - STR (A1-M1-R3)	430,91	223,98	663,88	1411,29	0,565
3 - GEO (A2-M2-R2)	540,88	237,15	548,33	1579,30	0,393
4 - GEO (A2-M2-R2)	430,91	223,98	663,88	1411,29	0,565

Scarichi in testa ai pali

Simbologia adottata

Cmb	Indice/Tipo combinazione
Ip	Indice palo
N	Sforzo normale, espresso in [kN]
M	Momento, espresso in [kNm]
T	Taglio, espresso in [kN]

Cmb	Ip	N [kN]	M [kNm]	T [kN]
1 - STR (A1-M1-R3) H + V	1	566,07	0,00	-355,71
	2	1056,57	0,00	-355,71
1 - STR (A1-M1-R3) H + V	1	566,07	0,00	-355,71
	2	1056,57	0,00	-355,71

Verifiche geotecniche

Quadro riassuntivo coeff. di sicurezza calcolati

Simbologia adottata

Cmb	Indice/Tipo combinazione
S	Sisma (H: componente orizzontale, V: componente verticale)
FS _{SCO}	Coeff. di sicurezza allo scorrimento
FS _{RIB}	Coeff. di sicurezza al ribaltamento
FS _{QLM}	Coeff. di sicurezza a carico limite

FS_{STAB} Coeff. di sicurezza a stabilità globale
 FS_{HYD} Coeff. di sicurezza a sifonamento
 FS_{SUPL} Coeff. di sicurezza a sollevamento

Cmb	Sismica	FS _{sco}	FS _{RIB}	FS _{QLIM}	FS _{STAB}	FS _{HYD}	FS _{SUPL}
1 - STR (A1-M1-R3)	H + V	1.009					
2 - STR (A1-M1-R3)	H - V	1.068					
3 - GEO (A2-M2-R2)	H + V				2.739		
4 - GEO (A2-M2-R2)	H - V				2.761		

Verifica stabilità globale muro + terreno

Simbologia adottata

I_c Indice/Tipo combinazione
 C Centro superficie di scorrimento, espresso in [m]
 R Raggio, espresso in [m]
 FS Fattore di sicurezza

I _c	C	R	FS
	[m]	[m]	
3 - GEO (A2-M2-R2) H + V		-4,00; 4,50	12,49
			2,739

Sollecitazioni

Elementi calcolati a trave

Simbologia adottata

N Sforzo normale, espresso in [kN]. Positivo se di compressione.
 T Taglio, espresso in [kN]. Positivo se diretto da monte verso valle
 M Momento, espresso in [kNm]. Positivo se tende le fibre contro terra (a monte)

Elementi calcolati a piastra

Simbologia adottata

M_x, M_y Momenti flettenti, espresso in [kNm]
 M_{xy} Momento torcente, espresso in [kNm]. Positivo se diretto da monte verso valle
 T_x, T_y Tagli, espresso in [kN]. Positivo se tende le fibre contro terra (a monte)
 I momenti flettenti sono positivi se tendono le fibre inferiori (intradosso fondazione, paramento esterno)

Paramento

n°	X	N _{min}	N _{max}	T _{min}	T _{max}	M _{min}	M _{max}
	[m]	[kN]	[kN]	[kN]	[kN]	[kNm]	[kNm]
1	0,00	1,84	2,06	0,00	0,00	0,14	0,15
2	-0,10	2,93	3,45	0,34	0,34	0,16	0,17
3	-0,20	4,04	4,86	0,75	0,76	0,22	0,24
4	-0,30	5,17	6,31	1,24	1,28	0,33	0,36
5	-0,40	6,32	7,78	1,81	1,87	0,50	0,54
6	-0,50	7,50	9,27	2,45	2,55	0,74	0,79
7	-0,60	8,69	10,80	3,17	3,32	1,05	1,13
8	-0,70	9,91	12,35	3,97	4,17	1,44	1,55
9	-0,80	11,15	13,93	4,85	5,11	1,93	2,07
10	-0,90	12,41	15,54	5,80	6,14	2,51	2,69
11	-1,00	13,69	17,17	6,83	7,24	3,20	3,43
12	-1,10	14,99	18,83	7,94	8,44	4,00	4,29
13	-1,20	16,32	20,52	9,12	9,72	4,92	5,29
14	-1,30	17,67	22,24	10,38	11,09	5,97	6,42
15	-1,40	19,03	23,99	11,72	12,54	7,15	7,71
16	-1,50	20,42	25,76	13,14	14,07	8,49	9,15
17	-1,60	21,84	27,56	14,63	15,70	9,97	10,76
18	-1,70	23,27	29,38	16,20	17,41	11,61	12,55
19	-1,80	24,72	31,24	17,85	19,20	13,43	14,52
20	-1,90	26,20	33,12	19,58	21,08	15,42	16,68
21	-2,00	27,70	35,03	21,38	23,04	17,59	19,05
22	-2,10	29,21	36,96	23,26	25,10	19,95	21,63
23	-2,20	30,75	38,93	25,22	27,23	22,52	24,42
24	-2,30	32,32	40,92	27,25	29,45	25,29	27,44
25	-2,40	33,90	42,94	29,37	31,76	28,27	30,70
26	-2,50	35,50	44,98	31,55	34,15	31,48	34,21
27	-2,60	37,13	47,06	33,82	36,63	34,92	37,96
28	-2,70	38,78	49,16	36,17	39,20	38,60	41,98
29	-2,80	40,45	51,29	38,59	41,85	42,53	46,28
30	-2,90	42,14	53,44	41,08	44,58	46,71	50,85
31	-3,00	43,85	55,62	43,66	47,40	51,15	55,71
32	-3,10	45,58	57,84	46,31	50,31	55,86	60,87
33	-3,20	47,34	60,07	49,04	53,30	60,85	66,33
34	-3,30	49,12	62,34	51,85	56,38	66,13	72,11
35	-3,40	50,91	64,63	54,74	59,54	71,70	78,21
36	-3,50	52,73	66,95	57,70	62,79	77,57	84,64
37	-3,60	54,58	69,30	60,74	66,13	83,75	91,42
38	-3,70	56,44	71,67	63,85	69,55	90,24	98,54
39	-3,80	58,32	74,08	67,05	73,05	97,07	106,03
40	-3,90	60,23	76,51	70,32	76,64	104,22	113,87
41	-4,00	62,16	78,96	73,67	80,32	111,71	122,10

n°	X [m]	Nmin [kN]	Nmax [kN]	Tmin [kN]	Tmax [kN]	Mmin [kNm]	Mmax [kNm]
42	-4,10	64,11	81,45	77,09	84,08	119,56	130,71
43	-4,20	66,08	83,96	80,59	87,93	127,76	139,71
44	-4,30	68,07	86,50	84,17	91,86	136,32	149,11
45	-4,40	70,08	89,07	87,83	95,88	145,25	158,93
46	-4,50	72,12	91,66	91,57	99,99	154,57	169,16
47	-4,60	74,17	94,29	95,38	104,18	164,27	179,82
48	-4,70	76,25	96,94	99,27	108,45	174,37	190,92
49	-4,80	78,35	99,61	103,23	112,81	184,87	202,46
50	-4,90	80,47	102,32	107,28	117,26	195,78	214,46
51	-5,00	82,61	105,05	111,40	121,79	207,11	226,92

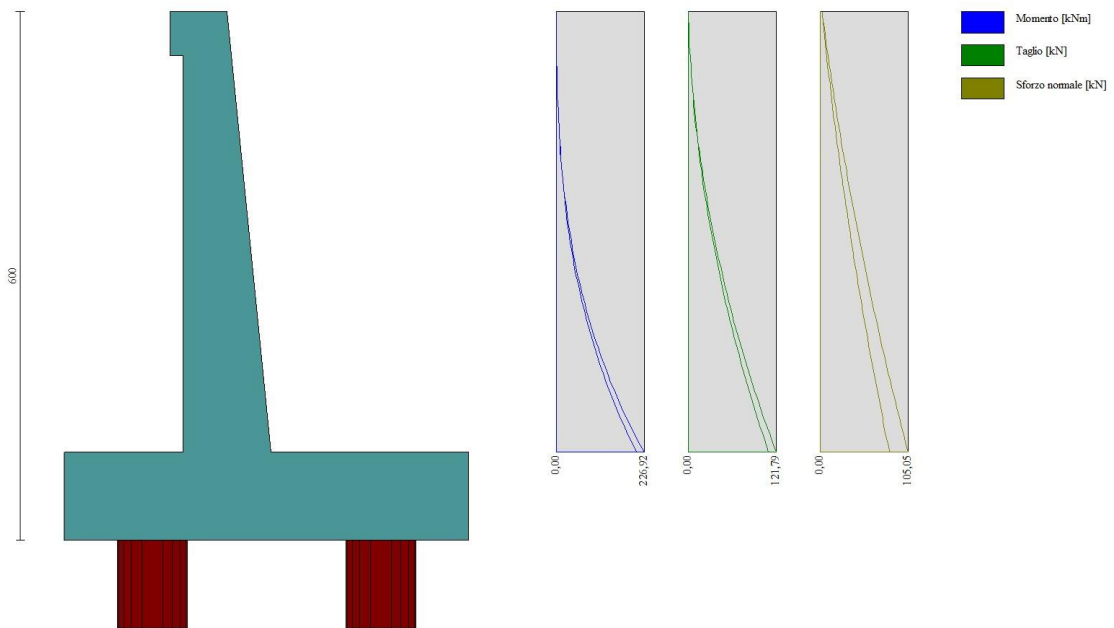


Fig. 20 - Paramento

Piastra fondazione

In	Mx [kNm]	My [kNm]	Mxy [kNm]	Tx [kN]	Ty [kN]	
9	71,38 (1)	237,95 (1)	0,00 (1)	0,00 (1)	-1227,20 (1)	MAX
6	-226,53 (1)	-197,06 (1)	0,00 (1)	0,00 (1)	-526,98 (1)	MIN
9	71,38 (1)	237,95 (1)	0,00 (1)	0,00 (1)	-1227,20 (1)	MAX
6	-226,53 (1)	-197,06 (1)	0,00 (1)	0,00 (1)	-526,98 (1)	MIN
7	20,44 (1)	68,12 (1)	22,29 (1)	0,00 (1)	-109,18 (1)	MAX
12	20,44 (1)	68,12 (1)	-22,29 (1)	0,00 (1)	-109,18 (1)	MIN
3	47,29 (1)	21,43 (1)	-0,22 (1)	186,50 (1)	-85,74 (1)	MAX
11	47,29 (1)	21,43 (1)	0,22 (1)	-186,50 (1)	-85,74 (1)	MIN
5	-30,43 (1)	65,53 (1)	0,00 (1)	0,00 (1)	173,23 (1)	MAX
9	71,38 (1)	237,95 (1)	0,00 (1)	0,00 (1)	-1227,20 (1)	MIN

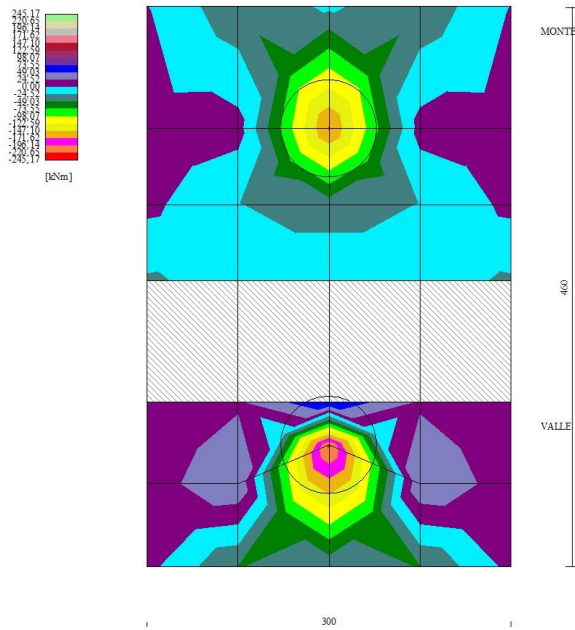


Fig. 21 - Piastra fondazione - Momento Mx (Combinazione n° 1)

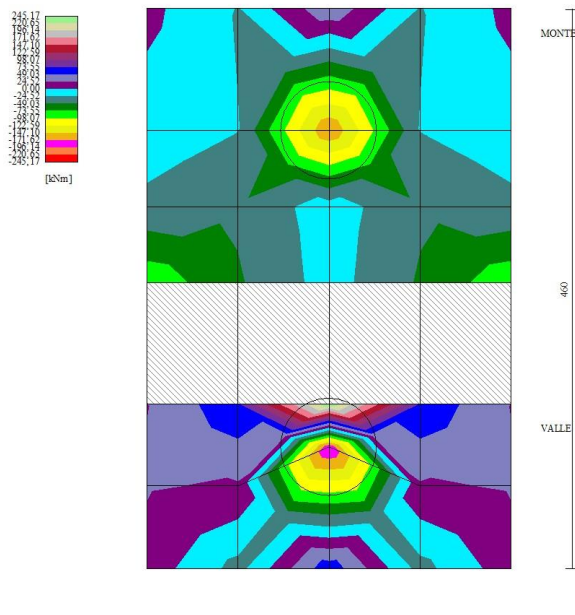


Fig. 22 - Piastra fondazione - Momento My (Combinazione n° 1)

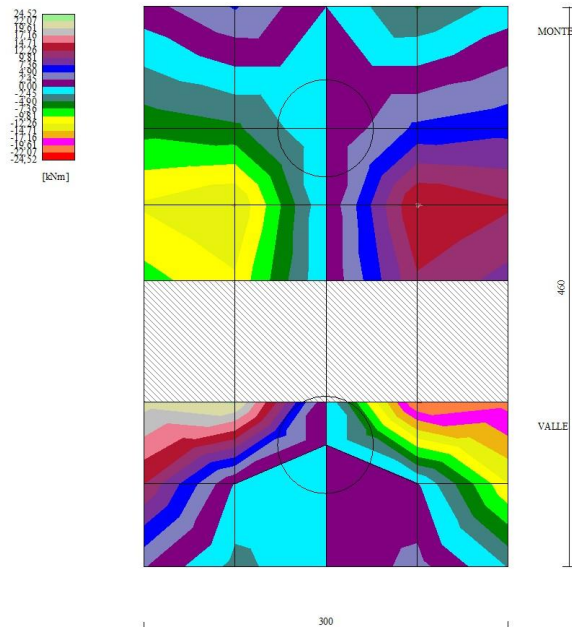


Fig. 23 - Piastra fondazione - Momento Mxy (Combinazione n° 1)

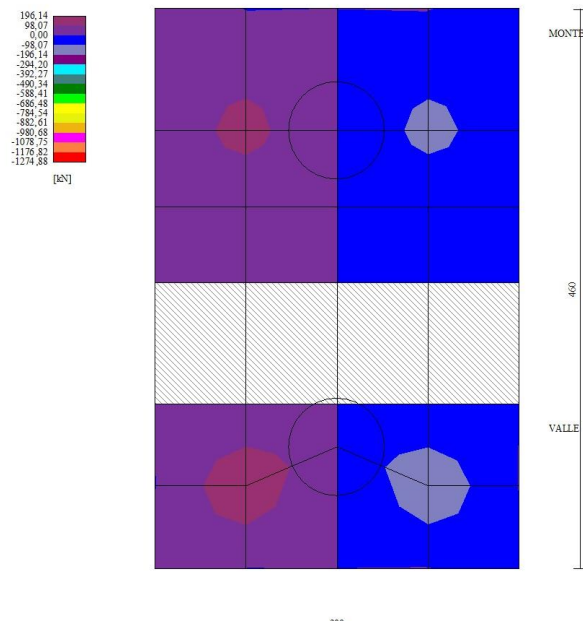
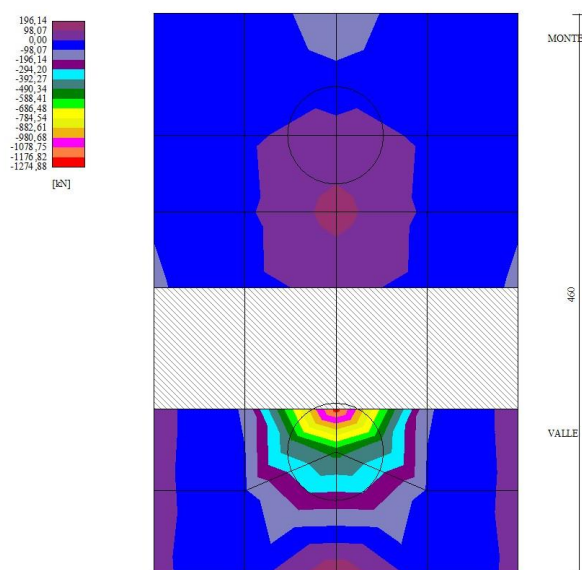


Fig. 24 - Piastra fondazione - Taglio Tx (Combinazione n° 1)



300
Fig. 25 - Piastra fondazione - Taglio Ty (Combinazione n° 1)

Sollecitazioni pali

Simbologia adottata

- N Sforzo normale, espresso in [kN]. Positivo se di compressione.
T Taglio, espresso in [kN]. Positivo se diretto da monte verso valle
M Momento, espresso in [kNm]. Positivo se tende le fibre contro terra (a monte)

Palo n° 1

n°	Y [m]	Ne [kN]	Nr [kN]	Te [kN]	Tr [kN]	Me [kNm]	Mr [kNm]
1	0,00	566,07	10057,88	-355,71	-466,59	0,00	0,00
15	3,22	603,45	9999,98	42,17	-55,26	751,63	1112,77
22	4,83	623,29	9999,98	198,62	285,69	531,30	896,72
48	10,81	696,99	9999,98	-0,92	4,54	-30,86	-44,99
101	23,00	847,21	9999,98	0,03	0,05	0,00	0,00

Palo n° 2

n°	Y [m]	Ne [kN]	Nr [kN]	Te [kN]	Tr [kN]	Me [kNm]	Mr [kNm]
1	0,00	1056,57	10057,61	-355,71	-466,59	0,00	0,00
15	3,22	1092,62	9999,71	42,17	-55,26	751,63	1112,77
22	4,83	1112,46	9999,71	198,62	285,69	531,30	896,72
48	10,81	1186,16	9999,71	-0,92	4,54	-30,86	-44,99
101	23,00	1336,38	9999,71	0,03	0,05	0,00	0,00

Palo n° 1

n°	Y [m]	Ne [kN]	Nr [kN]	Te [kN]	Tr [kN]	Me [kNm]	Mr [kNm]
1	0,00	365,66	9141,53	-335,96	-466,67	0,00	0,00
14	2,99	400,76	9083,62	7,27	-127,84	688,06	1083,62
22	4,83	423,43	9083,62	182,28	285,75	471,38	897,00
48	10,81	497,12	9083,62	-1,57	4,54	-28,25	-45,00
101	23,00	647,35	9083,62	0,03	0,05	0,00	0,00

Palo n° 2

n°	Y [m]	Ne [kN]	Nr [kN]	Te [kN]	Tr [kN]	Me [kNm]	Mr [kNm]
1	0,00	927,05	10057,82	-335,96	-466,67	0,00	0,00
14	2,99	960,65	9999,90	7,27	-127,84	688,06	1083,62
22	4,83	983,30	9999,90	182,28	285,75	471,38	897,00
48	10,81	1057,00	9999,90	-1,57	4,54	-28,25	-45,00
101	23,00	1207,22	9999,90	0,03	0,05	0,00	0,00

